

KIRIKKALE ÜNİVERSİTESİ
FEN BİLİMLERİ ENSTİTÜSÜ

MAKİNE ANABİLİM DALI
DOKTORA TEZİ

127382

R12, R22, R502 SOĞUTUCU AKIŞKANLARI VE ALTERNATİF
KARIŞIMLARININ SOĞUTMA SİSTEMLERİNDEKİ TERMODİNAMİK
ANALİZİ

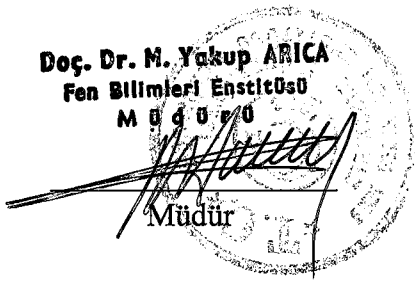
T.C. YÜKSEKOĞRETİM KURULU
DOĞU MANTAS YON MERKEZI

127382

EROL ARCAKLIOĞLU

ŞUBAT 2002

Fen Bilimleri Enstitüsü Müdürünün Onayı.



Bu tezin Doktora tezi olarak Makine Anabilim Dalı standartlarına uygun olduğunu onaylarım.

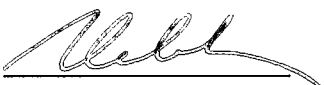

Prof. Dr. Veli ÇELİK
Anabilim Dalı Başkanı

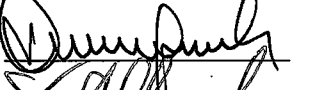
Bu tezi okuduğumuzu ve Doktora tezi olarak bütün gerekliliklerini yerine getirdiğini onaylarız.


Prof. Dr. Ali ERİŞEN
Danışman

Jüri Üyeleri

Prof. Dr. Veli ÇELİK
Prof. Dr. Ali ERİŞEN
Prof. Dr. Selim ÇETINKAYA
Prof. Dr. Duran ALTIPARMAK
Doç. Dr. Necdet ALTUNTOP




ÖZET

R12, R22, R502 SOĞUTUCU AKIŞKANLARI VE ALTERNATİF KARIŞIMLARININ SOĞUTMA SİSTEMLERİNDEKİ TERMODİNAMİK ANALİZİ

ARCAKLIOĞLU, Erol

Kırıkkale Üniversitesi

Fen Bilimleri Enstitüsü

Makine Anabilim Dalı, Doktora Tezi

Danışman: Prof. Dr. Ali ERİŞEN

Şubat 2002, 233 sayfa

Bu tez çalışmasında, klasik ve emme/sıvı hattı ısı değiştiricili buhar sıkıştırma iki farklı soğutma sistemi için, farklı soğutucu akışkanlar ve karışımıları kullanılarak, Termodinamiğin 1. ve 2. Yasası'na dayalı olarak performans analizi gerçekleştirilmiştir. Şu anda mevcut sistemlerde yaygın olarak kullanılan CFC grubundan R12, R22 ve R502 soğutucu akışkanları, HFC grubundan R134a, R152a, R125, R143a ve R32 soğutucu akışkanları, HC grubundan R290 ve R600a soğutucu akışkanları ve bunların ikili, üçlü ve dörtlü olarak farklı oranlarda karışımıları çalışma akışkanı olarak kullanılmıştır.

Global kirlenmeyi azaltmak amacıyla uluslararası düzeyde R12, R22 ve R502 yerine HFC ve HC grubu soğutucu akışkan karışımının kullanılması

düşünülmektedir. 1987'de gerçekleştirilen Montreal Protokolündeki hedeflerle uyum sağlamak üzere, çalışmanın kapsamında yeni karışımların CFC akışkanlarıyla performans açısından karşılaştırılması da yer almıştır. Performans değerlerini karşılaştırma amacıyla, sabit sıcaklığa dayalı ve sabit soğutma yüküne dayalı iki farklı yöntem kullanılmıştır.

Performans değerlerini hesaplamada kullanılan soğutucu akışkanlara ait termodinamik özellikler, Helmholtz enerji hal denklemine dayalı olarak hazırlanan ve deneysel katsayıların kullanıldığı REFPROP 6.01 yazılımından alınmıştır. Bu amaçla, bu yazılımın alt programları kullanılarak FORTRAN dilinde yeni yazılımlar hazırlanmış ve ilgili tüm performans hesaplamaları, bu yazılım aracılığıyla gerçekleştirilmiştir.

Yapılan hesaplamalarla mevcut sistemlerdeki R12 yerine %0.4'lük performans (soğutma tesir katsayısı ve oransal verim) artışıyla R290/R600a (56/44) karışımının, R22 yerine %0.8'lük performans artışıyla R32/R134a (35.2/64.8) karışımının ve R502 yerine %2'lük performans artışıyla R32/R134a (46/54) karışımının kullanılmasının mümkün olduğu sonucuna varılmıştır.

Performans analizine ait tüm sonuçlar, kapsamlı bir kaynakça olma niteliğinde, çizelge ve grafik olarak sunulmuştur.

Anahtar Kelimeler: Soğutma sistemleri, soğutucu akışkan karışımı, ekserji analizi, hal denklemleri, REFPROP.

ABSTRACT

THERMODYNAMIC ANALYSIS OF REFRIGERANTS R12, R22, R502, AND THEIR SUBSTITUTES IN REFRIGERATION SYSTEMS

ARCAKLIOĞLU, Erol

Kırıkkale University

Graduate School of Natural and Applied Sciences

Department of Mech.Eng., Ph. D. Thesis

Supervisor: Prof. Dr. Ali ERİŞEN

February 2002, 233 pages

In this study, performance analysis of two different vapor-compression refrigeration systems, one classical and the other with suction/liquid line heat exchanger has been realized based on first and second laws of thermodynamics using different refrigerant mixtures. Refrigerants R12, R22, and R502 of CFCs, R134a, R152a, R125, R143a, and R32 of HFCs, R600a, and R290 of HCs, and their binary, ternary, and mixtures of different mass ratios have been used as working fluids.

In order to decrease global pollution due to CFCs, it is considered to use the refrigerant mixtures of HFCs, and HCs instead of CFCs (R12, R22, and R502) as an international consensus. To get an agreement with the aims defined by Montreal Protocol in 1987, the performance comparison of the new mixtures with CFC refrigerants has been done in the frame of this study. To compare the performance

values, two methods based on constant temperature and constant cooling capacity have been used.

Thermodynamic properties of refrigerants that were used in the performance calculations have been taken from REFPROP 6.01 which was prepared based on Helmholtz energy equation of state, and in that experimental coefficients were used in the equation. For this aim, new software has written in FORTRAN programing language using sub-programs of REFPROP, and all related calculations of performance have been achieved by this software.

Calculations performed through the analysis have been shown that, instead of refrigerants R12, R22, and R502 which are still being used in existing refrigeration systems, the mixtures R290/R600a (56/44), R32/R134a (35.2/64.8), and R32/R134a (46/54) are recommended with the performance (coefficient of performance and rational efficiency) increments of %0.4, %0.8, and %2, respectively.

All results of the performance analysis, as a reference quality, have been presented as tables and graphics.

Key Words: Refrigeration systems, refrigerant mixtures, exergy analysis, equations of state, REFPROP.

TEŞEKKÜR

Tez çalışmam süresince her türlü destek ve yardımlarını esirgemeyen danışman hocam Prof. Dr. Ali ERİŞEN Bey'e, sürekli yardımcı olan bölüm başkanım Prof. Dr. Veli ÇELİK Bey'e, öğretim üyesi hocalarımı ve araştırma görevlisi arkadaşlarımı, yoğun çalışmalar dolayısıyla ihmal ettiğim anne, baba, eş ve çocuklara teşekkür ederim.

İÇİNDEKİLER

ÖZET.....	i
ABSTRACT.....	iii
TEŞEKKÜR.....	v
İÇİNDEKİLER.....	vi
ÇİZELGELER DİZİNİ.....	x
ŞEKİLLER DİZİNİ.....	xii
SİMGELER DİZİNİ.....	xvii
KISALTMALAR.....	xix
1. GİRİŞ.....	1
1.1. Literatür İnceleme.....	6
1.2. Soğutma Sistemleri	19
1.3. Soğutucu Akışkanlar	23
1.4. Soğutucu Akışkan Karışımıları	26
1.4.1. Kütlesel Oranlarla Alternatif Karışımlar	30
1.4.2. Karışımıları Karşılaştırma Yöntemleri	31
1.5. Ekserji Analizi.....	32
1.5.1. Ekserji	33
1.5.2. Tersinirlik ve Tersinmezlik	35
1.5.3. İş ve Isı Transferi ile Eşleşen Ekserji	35
1.5.4. Madde Akışı ile Eşleşen Ekserji ve Terimleri	37
1.5.4.1. Fiziksel Ekserji	37

1.5.4.2. Kimyasal Ekserji	39
1.5.5. Kontrol Bölgesi Analizi.....	41
1.5.5.1. Ekserji Dengesi	41
1.5.5.2. Gouy-Stodola Bağıntısı.....	42
1.5.5.3. Tersinmezlik Hızı ve Kontrol Yüzeyi	43
1.5.6. Oransal Verim.....	43
1.6. Hal Denklemleri	45
1.6.1. Etki Katsayılı Hal Denklemi.....	48
1.6.2. Van der Waals Yaklaşımı (Kübik Hal Denklemleri).....	50
1.6.2.1. Van der Waals Hal Denklemi.....	50
1.6.2.2. Redlich-Kwong Hal Denklemi	51
1.6.2.3. Soave Hal Denklemi.....	52
1.6.2.4. Peng-Robinson Hal Denklemi.....	53
1.6.3. Çok Parametreli Hal Denklemleri	54
1.6.3.1 Carnahan-Starling-De Santis Hal Denklemi	54
1.6.3.2. Helmholtz Enerji Hal Denklemi.....	55
1.6.3.3. Benedict-Webb-Rubin (BWR) ve Modified BWR Hal Denklemi.....	57
1.6.3.4. Martin-Hou Hal Denklemi	59
1.7. Sıvı Buhar Dengesi	59
1.8. Hal Denklemlerinden Termodinamik Özelliklere Geçiş	62
1.9. Çalışmanın Amacı.....	64
2. MATERİYAL ve YÖNTEM.....	66
2.1. REFPROP Programının Kullanılması.....	67
2.2. Sabit Sıcaklığa Dayalı Karşılaştırma	67
2.3. Sabit Soğutma Yüküne Dayalı Karşılaştırma	68

2.4. Performans Hesaplamaları	77
2.5. Analizi Yapılan Saf Akışkanların ve Karışımlarının Tanıtılması.....	80
3. ARAŞTIRMA BULGULARI ve TARTIŞMA.....	87
3.1. Sayısal Hesaplama Parametreleri.....	87
3.2. Sabit Sıcaklığa Dayalı Hesaplamalar.....	87
3.2.1. Saf Akışkanların İncelenmesi	88
3.2.2. Karışımının İncelenmesi.....	95
3.2.2.1. R32/R134a Karışımları	95
3.2.2.2. R290/R134a Karışımları	99
3.2.2.3. R600a/R134a Karışımları	102
3.2.2.4. R152a/R134a Karışımları	105
3.2.2.5. R125/R143a Karışımları	108
3.2.2.6. R32/R125 Karışımları	108
3.2.2.7. R125/R143a/R134a Karışımları	113
3.2.2.8. R125/R143a/R290 Karışımları	120
3.2.2.9. R32/R125/R143a Karışımları	128
3.2.2.10. R32/R125/R134a Karışımları	135
3.2.2.11. R125/R290/R134a Karışımları	142
3.2.2.12. R32/R125/R290/R134a Karışımları	149
3.2.3. R12, R22, R502 ve Alternatif Karışımının İncelenmesi	152
3.2.3.1. R12 ve Alternatif Karışımaları	152
3.2.3.2. R22 ve Alternatif Karışımaları	155
3.2.3.3. R502 ve Alternatif Karışımaları	158
3.3. Sabit Soğutma Yüküne Dayalı Hesaplamalar:.....	161
3.3.1. Saf Akışkanların İncelenmesi	161

3.3.2. Karışımların İncelenmesi.....	163
3.3.2.1. R32/R134a Karışımlı	163
3.3.2.2. R290/R134a Karışımlı	165
3.3.2.3. R600a/R134a Karışımlı	168
3.3.2.4. R152a/R134a Karışımlı	170
3.3.2.5. R125/R143a Karışımlı	170
3.3.2.6. R32/R125 Karışımlı	173
3.3.2.7. R125/R143a/R134a Karışımlı	175
3.3.2.8. R125/R143a/R290 Karışımlı	177
3.3.2.9. R32/R125/R143a Karışımlı	179
3.3.2.10. R32/R125/R134a Karışımlı	181
3.3.2.11. R125/R290/R134a Karışımlı.....	183
3.3.2.12. R32/R125/R290/R134a Karışımlı	183
3.3.3. R12, R22, R502 ve Alternatif Karışımların İncelenmesi	186
3.3.3.1. R12 ve Alternatif Karışımları	186
3.3.3.2. R22 ve Alternatif Karışımları	187
3.3.3.3. R502 ve Alternatif Karışımları.....	189
3.3.4. HSK Eşitlemeleri.....	192
4. SONUÇ.....	194
KAYNAKLAR.....	198
EK-1.....	202

ÇİZELGELER DİZİNİ

ÇİZELGE

2.1.	R12, R22 ve R502 alternatifleri karışımının KNS açısından uygunluğu	86
Ek 1.1.	Sabit sıcaklıkta saf akışkanlar için termodinamik ve performans değerleri.....	202
Ek 1.2.	Sabit sıcaklıkta R32/R134a karışımına ait değişik kütle oranları için termodinamik ve performans değerleri.....	203
Ek 1.3.	Sabit sıcaklıkta R290/R134a karışımına ait değişik kütle oranları için termodinamik ve performans değerleri.....	204
Ek 1.4.	Sabit sıcaklıkta R600a/R134a karışımına ait değişik kütle oranları için termodinamik ve performans değerleri.....	205
Ek 1.5.	Sabit sıcaklıkta R152a/R134a karışımına ait değişik kütle oranları için termodinamik ve performans değerleri.....	206
Ek 1.6.	Sabit sıcaklıkta R125/R143a karışımına ait değişik kütle oranları için termodinamik ve performans değerleri.....	208
Ek 1.7.	Sabit sıcaklıkta R32/R125 karışımına ait değişik kütle oranları için termodinamik ve performans değerleri.....	209
Ek 1.8.	Sabit sıcaklıkta R125/R143a/R134a karışımına ait değişik kütle oranları için termodinamik ve performans değerleri.....	210
Ek 1.9.	Sabit sıcaklıkta R125/R143a/R290 karışımına ait değişik kütle oranları için termodinamik ve performans değerleri.....	212
Ek 1.10.	Sabit sıcaklıkta R32/R125/R143a karışımına ait değişik kütle oranları için termodinamik ve performans değerleri.....	214
Ek 1.11.	Sabit sıcaklıkta R32/R125/R134a karışımına ait değişik kütle oranları için termodinamik ve performans değerleri.....	216
Ek 1.12.	Sabit sıcaklıkta R125/R290/R134a karışımına ait değişik kütle oranları için termodinamik ve performans değerleri.....	219
Ek 1.13.	Sabit sıcaklıkta R32/R125/R290/R134a karışımına ait değişik kütle oranları için termodinamik ve performans değerleri.....	221
Ek 1.14.	Sabit sıcaklıkta R12 ve alternatif karışımı için termodinamik ve performans değerleri.....	222
Ek 1.15.	Sabit sıcaklıkta R22 ve alternatif karışımı için termodinamik ve performans değerleri.....	224
Ek 1.16.	Sabit sıcaklıkta R502 ve alternatif karışımı için termodinamik ve performans değerleri.....	225

Ek 1.17.	Sabit soğutma yükünde saf akışkanlar için termodinamik ve performans değerleri.....	226
Ek 1.18.	Sabit soğutma yükünde R32/R134a karışımına ait değişik kütle oranları için termodinamik ve performans değerleri.....	226
Ek 1.19.	Sabit soğutma yükünde R290/R134a karışımına ait değişik kütle oranları için termodinamik ve performans değerleri.....	227
Ek 1.20.	Sabit soğutma yükünde R600a/R134a karışımına ait değişik kütle oranları için termodinamik ve performans değerleri.....	227
Ek 1.21.	Sabit soğutma yükünde R152a/R134a karışımına ait değişik kütle oranları için termodinamik ve performans değerleri.....	228
Ek 1.22.	Sabit soğutma yükünde R125/R143a karışımına ait değişik kütle oranları için termodinamik ve performans değerleri.....	228
Ek 1.23.	Sabit soğutma yükünde R32/R125 karışımına ait değişik kütle oranları için termodinamik ve performans değerleri.....	229
Ek 1.24.	Sabit soğutma yükünde R125/R143a/R134a karışımına ait değişik kütle oranları için termodinamik ve performans değerleri.....	229
Ek 1.25.	Sabit soğutma yükünde R125/R143a/R290 karışımına ait değişik kütle oranları için termodinamik ve performans değerleri.....	230
Ek 1.26.	Sabit soğutma yükünde R32/R125/R143a karışımına ait değişik kütle oranları için termodinamik ve performans değerleri.....	230
Ek 1.27.	Sabit soğutma yükünde R32/R125/R134a karışımına ait değişik kütle oranları için termodinamik ve performans değerleri.....	231
Ek 1.28.	Sabit soğutma yükünde R125/R290/R134a karışımına ait değişik kütle oranları için termodinamik ve performans değerleri.....	231
Ek 1.29.	Sabit soğutma yükünde R32/R125/R290/R134a karışımına ait değişik kütle oranları için termodinamik ve performans değerleri.....	232
Ek 1.30.	Sabit soğutma yükünde R12 ve alternatif karışımları için termodinamik ve performans değerleri.....	233
Ek 1.31.	Sabit soğutma yükünde R22 ve alternatif karışımları için termodinamik ve performans değerleri.....	233
Ek 1.32.	Sabit soğutma yükünde R502 ve alternatif karışımları için termodinamik ve performans değerleri.....	233

ŞEKİLLER DİZİNİ

ŞEKİL

1.1.	Buhar sıkıştırmalı soğutma sistemi ve T-s diyagramı.....	19
1.2.	Gerçek soğutma çevriminin T-s diyagramı.....	20
1.3.	Sıvı/emme hattı ısı değiştiricili soğutma sistemi.....	21
1.4.	İkili soğutma sistemi ve T-s diyagramı.....	22
1.5.	Buharlaşma odalı iki kademeli sıkıştırmalı ve T-s diyagramı.....	22
1.6.	Donduruculu tek kompresörlü soğutma sistemi ve T-s diyagramı.....	23
1.7.	İkili zeotropik karışım için faz diyagramı.....	28
1.8.	R500 azetropunun faz diyagramı.....	29
2.1.	Emme/sıvı hattı ısı değiştiricili soğutma sistemi.....	72
2.2.	Soğutma sistemi simülasyonu için akış şeması.....	74
3.1.	Sabit sıcaklık ve klasik çevrimde saf akışkanlar için termodinamik ve performans değerlerinin değişimi.....	90
3.2.	Sabit sıcaklık ve ısı değiştiricili çevrimde saf akışkanlar için termodinamik ve performans değerlerinin değişimi.....	92
3.3.	Sabit sıcaklık için klasik çevrimde R32/R134a karışımına ait termodinamik ve performans değerlerinin kütle oranıyla değişimi.....	96
3.4.	Sabit sıcaklık için ısı değiştiricili çevrimde R32/R134a karışımına ait termodinamik ve performans değerlerinin kütle oranıyla değişimi.....	98
3.5.	Sabit sıcaklık için klasik çevrimde R290/R134a karışımına ait termodinamik ve performans değerlerinin kütle oranıyla değişimi.....	100
3.6.	Sabit sıcaklık için ısı değiştiricili çevrimde R290/R134a karışımına ait termodinamik ve performans değerlerinin kütle oranıyla değişimi.....	101
3.7.	Sabit sıcaklık için ısı değiştiricili çevrimde R600a/R134a karışımına ait termodinamik ve performans değerlerinin kütle oranıyla değişimi.....	104
3.8.	Sabit sıcaklık için klasik çevrimde R152a/R134a karışımına ait termodinamik ve performans değerlerinin kütle oranıyla değişimi.....	106
3.9.	Sabit sıcaklık için ısı değiştiricili çevrimde R152a/R134a karışımına ait termodinamik ve performans değerlerinin kütle oranıyla değişimi.....	107
3.10.	Sabit sıcaklık için klasik çevrimde R125/R143a karışımına ait termodinamik ve performans değerlerinin kütle oranıyla değişimi.....	109
3.11.	Sabit sıcaklık için ısı değiştiricili çevrimde R125/R143a karışımına ait termodinamik ve performans değerlerinin kütle oranıyla değişimi.....	110

3.12. Sabit sıcaklık için klasik çevrimde R32/R125 karışımına ait termodinamik ve performans değerlerinin kütle oranıyla değişimi.....	111
3.13. Sabit sıcaklık için ısı değiştiricili çevrimde R32/R125 karışımına ait termodinamik ve performans değerlerinin kütle oranıyla değişimi.....	112
3.14. R125/R143a/R134a karışımı için termodinamik ve performans değerlerinin kütle oranıyla değişimi (Sabit sıcaklık, klasik çevrim, %5'lik sabit R134a yüzdesi)	114
3.15. R125/R143a/R134a karışımı için termodinamik ve performans değerlerinin kütle oranıyla değişimi (Sabit sıcaklık, klasik çevrim, %10'luk sabit R134a yüzdesi).....	115
3.16. R125/R143a/R134a karışımı için termodinamik ve performans değerlerinin kütle oranıyla değişimi (Sabit sıcaklık, klasik çevrim, %15'luk sabit R134a yüzdesi)	116
3.17. R125/R143a/R134a karışımı için termodinamik ve performans değerlerinin kütle oranıyla değişimi (Sabit sıcaklık, ısı değiştiricili çevrim, %5'luk sabit R134a yüzdesi)	117
3.18. R125/R143a/R134a karışımı için termodinamik ve performans değerlerinin kütle oranıyla değişimi (Sabit sıcaklık, ısı değiştiricili çevrim, %10'luk sabit R134a yüzdesi)	118
3.19. R125/R143a/R134a karışımı için termodinamik ve performans değerlerinin kütle oranıyla değişimi (Sabit sıcaklık, ısı değiştiricili çevrim, %15'luk sabit R134a yüzdesi)	119
3.20. R125/R143a/R290 karışımı için termodinamik ve performans değerlerinin kütle oranıyla değişimi (Sabit sıcaklık, klasik çevrim, %5'lik sabit R290 yüzdesi)	121
3.21. R125/R143a/R290 karışımı için termodinamik ve performans değerlerinin kütle oranıyla değişimi (Sabit sıcaklık, klasik çevrim, %10'luk sabit R290 yüzdesi)	122
3.22. R125/R143a/R290 karışımı için termodinamik ve performans değerlerinin kütle oranıyla değişimi (Sabit sıcaklık, klasik çevrim, %15'luk sabit R290 yüzdesi)	123
3.23. R125/R143a/R290 karışımı için termodinamik ve performans değerlerinin kütle oranıyla değişimi (Sabit sıcaklık, ısı değiştiricili çevrim, %5'luk sabit R290 yüzdesi).....	124
3.24. R125/R143a/R290 karışımı için termodinamik ve performans değerlerinin kütle oranıyla değişimi (Sabit sıcaklık, ısı değiştiricili çevrim, %10'luk sabit R290 yüzdesi)	125
3.25. R125/R143a/R290 karışımı için termodinamik ve performans değerlerinin kütle oranıyla değişimi (Sabit sıcaklık, ısı değiştiricili çevrim, %15'luk sabit R290 yüzdesi)	126

3.26. R32/R125/R143a karışımı için termodinamik ve performans değerlerinin kütle oraniyla değişimi (Sabit sıcaklık, klasik çevrim, %10'luk sabit R32 yüzdesi)	129
3.27. R32/R125/R143a karışımı için termodinamik ve performans değerlerinin kütle oraniyla değişimi (Sabit sıcaklık, klasik çevrim, %20'luk sabit R32 yüzdesi)	130
3.28. R32/R125/R143a karışımı için termodinamik ve performans değerlerinin kütle oraniyla değişimi (Sabit sıcaklık, klasik çevrim, %30'luk sabit R32 yüzdesi)	131
3.29. R32/R125/R143a karışımı için termodinamik ve performans değerlerinin kütle oraniyla değişimi (Sabit sıcaklık, ısı değiştiricili çevrim, %10'luk sabit R32 yüzdesi)	132
3.30. R32/R125/R143a karışımı için termodinamik ve performans değerlerinin kütle oraniyla değişimi (Sabit sıcaklık, ısı değiştiricili çevrim, %20'luk sabit R32 yüzdesi)	133
3.31. R32/R125/R143a karışımı için termodinamik ve performans değerlerinin kütle oraniyla değişimi (Sabit sıcaklık, ısı değiştiricili çevrim, %30'luk sabit R32 yüzdesi)	134
3.32. R32/R125/R134a karışımı için termodinamik ve performans değerlerinin kütle oraniyla değişimi (Sabit sıcaklık, klasik çevrim, %5'luk sabit R125 yüzdesi)	136
3.33. R32/R125/R134a karışımı için termodinamik ve performans değerlerinin kütle oraniyla değişimi (Sabit sıcaklık, klasik çevrim, %10'luk sabit R125 yüzdesi)	137
3.34. R32/R125/R134a karışımı için termodinamik ve performans değerlerinin kütle oraniyla değişimi (Sabit sıcaklık, klasik çevrim, %15'luk sabit R125 yüzdesi)	138
3.35. R32/R125/R134a karışımı için termodinamik ve performans değerlerinin kütle oraniyla değişimi (Sabit sıcaklık, ısı değiştiricili çevrim, %5'luk sabit R125 yüzdesi)	139
3.36. R32/R125/R134a karışımı için termodinamik ve performans değerlerinin kütle oraniyla değişimi (Sabit sıcaklık, ısı değiştiricili çevrim, %10'luk sabit R125 yüzdesi)	140
3.37. R32/R125/R134a karışımı için termodinamik ve performans değerlerinin kütle oraniyla değişimi (Sabit sıcaklık, ısı değiştiricili çevrim, %15'luk sabit R125 yüzdesi)	141
3.38. R125/R290/R134a karışımı için termodinamik ve performans değerlerinin kütle oraniyla değişimi (Sabit sıcaklık, klasik çevrim, %5'luk sabit R290 yüzdesi)	143
3.39. R125/R290/R134a karışımı için termodinamik ve performans değerlerinin kütle oraniyla değişimi (Sabit sıcaklık, klasik çevrim, %10'luk sabit R290 yüzdesi)	144

3.40. R125/R290/R134a karışımı için termodinamik ve performans değerlerinin kütle oranıyla değişimi (Sabit sıcaklık, klasik çevrim, %15'luk sabit R290 yüzdesi)	145
3.41. R125/R290/R134a karışımı için termodinamik ve performans değerlerinin kütle oranıyla değişimi (Sabit sıcaklık, ısı değiştiricili çevrim, %5'luk sabit R290 yüzdesi)	146
3.42. R125/R290/R134a karışımı için termodinamik ve performans değerlerinin kütle oranıyla değişimi (Sabit sıcaklık, ısı değiştiricili çevrim, %10'luk sabit R290 yüzdesi)	147
3.43. R125/R290/R134a karışımı için termodinamik ve performans değerlerinin kütle oranıyla değişimi (Sabit sıcaklık, ısı değiştiricili çevrim, %15'luk sabit R290 yüzdesi)	148
3.44. Sabit sıcaklık için klasik çevrimde R32/R125/R290/R134a karışımına ait termodinamik ve performans değerlerinin kütle oranıyla değişimi	150
3.45. Sabit sıcaklık için ısı değiştiricili çevrimde R32/R125/R290/R134a karışımına ait termodinamik ve performans değerlerinin kütle oranıyla değişimi	151
3.46. Sabit sıcaklık için klasik çevrimde R12 ve alternatif karışımlarına ait termodinamik ve performans değerlerinin değişimi	153
3.47. Sabit sıcaklık için ısı değiştiricili çevrimde R12 ve alternatif karışımlarına ait termodinamik ve performans değerlerinin değişimi	154
3.48. Sabit sıcaklık için klasik çevrimde R22 ve alternatif karışımlarına ait termodinamik ve performans değerlerinin değişimi	156
3.49. Sabit sıcaklık için ısı değiştiricili çevrimde R22 ve alternatif karışımlarına ait termodinamik ve performans değerlerinin değişimi	157
3.50. Sabit sıcaklık için klasik çevrimde R502 ve alternatif karışımlarına ait termodinamik ve performans değerlerinin değişimi	159
3.51. Sabit sıcaklık için ısı değiştiricili çevrimde R502 ve alternatif karışımlarına ait termodinamik ve performans değerlerinin değişimi	160
3.52. Sabit soğutma yükünde saf akışkanlar için termodinamik ve performans değerlerinin değişimi.....	162
3.53. Sabit soğutma yükünde R32/R134a karışımı için termodinamik ve performans değerlerinin kütle oranıyla değişimi.....	164
3.54. Sabit soğutma yükünde R290/R134a karışımı için termodinamik ve performans değerlerinin kütle oranıyla değişimi.....	167

3.55. Sabit soğutma yükünde R600a/R134a karışımı için termodinamik ve performans değerlerinin kütle oraniyla değişimi.....	169
3.56. Sabit soğutma yükünde R152a/R134a karışımı için termodinamik ve performans değerlerinin kütle oraniyla değişimi.....	171
3.57. Sabit soğutma yükünde R125/R143a karışımı için termodinamik ve performans değerlerinin kütle oraniyla değişimi.....	172
3.58. Sabit soğutma yükünde R32/R125 karışımı için termodinamik ve performans değerlerinin kütle oraniyla değişimi.....	174
3.59. Sabit soğutma yükünde R125/R143a/R134a karışımı için termodinamik ve performans değerlerinin kütle oraniyla değişimi.....	176
3.60. Sabit soğutma yükünde R125/R143a/R290 karışımı için termodinamik ve performans değerlerinin kütle oraniyla değişimi.....	178
3.61. Sabit soğutma yükünde R32/R125/R143a karışımı için termodinamik ve performans değerlerinin kütle oraniyla değişimi.....	180
3.62. Sabit soğutma yükünde R32/R125/R134a karışımı için termodinamik ve performans değerlerinin kütle oraniyla değişimi.....	182
3.63. Sabit soğutma yükünde R125/R290/R134a karışımı için termodinamik ve performans değerlerinin kütle oraniyla değişimi.....	184
3.64. Sabit soğutma yükünde R32/R125/R290/R134a karışımı için termodinamik ve performans değerlerinin kütle oraniyla değişimi.....	185
3.65. Sabit soğutma yükünde R12 ve alternatif karışımları için termodinamik ve performans değerlerinin değişimi.....	188
3.66. Sabit soğutma yükünde R22 ve alternatif karışımları için termodinamik ve performans değerlerinin değişimi.....	190
3.67. Sabit soğutma yükünde R502 ve alternatif karışımları için termodinamik ve performans değerlerinin değişimi.....	191

SİMGELER DİZİNİ

A	İsı geçiş alanı(m^2), Helmholtz enerji (J)
a, b, u, w, y	Hal denklemi parametreleri
c	Özgül ısı (J/kgK)
E	Ekserji (J)
f	Fugasite, ısı transfer yüzdesi
G	Gibbs enerjisi (J)
H, h	Entalpi (J, J/kg)
I	Tersinmezlik hızı (J/s)
K	Toplam ısı geçiş katsayısı
m	Kütle akışı (kg/s)
P	Basınç (Pa)
R	Gaz sabiti (J/kgK)
S, s	Entropi (J/K , J/kgK)
T	Sıcaklık ($^{\circ}C$)
U, u	İç enerji (J, J/kg)
v	Özgül hacim (m^3/kg)
Z	Sıkıştırılabilme faktörü
Q	İsı transfer hızı (J/s)
W	İş (J)
q	Birim kütle başına transfer edilen ısı miktarı (J/kg)
ε	Fiziksel / kimyasal ekserji (J/kg)
Π	Entropi üretim hızı (J/s K)
ψ	Oransal verim
τ	Boyutsuz sıcaklık
δ	Boyutsuz yoğunluk
x, y	Karışım yüzdeleri
ρ	Yoğunluk (kg/m^3)
ϕ	Fugasite katsayısı
γ	Aktivite katsayısı

ALT SİMGELER DİZİNİ

b	Buharlaştırıcı
cr	Kritik
ç	Çıkan
d	Doymuş buhar bölgesi
fiz	Fiziksel
g	Giren
h	Hava
k	Kompresör, kızgın buhar bölgesi
kim	Kimyasal
kr	Karışım
ter	Tersinir
R	İndirgenmiş
s	Soğutucu akışkan, sıvı bölgesi
y	Yoğunlaştırıcı
0	Çevre hali

ÜST SİMGELER DİZİNİ

ΔP	Basınç bileşeni
ΔT	Sıcaklık bileşeni
Q	İsıl bileşen

KISALTMALAR

BO	Basınç oranı
CFC	Kloroflorokarbon
CSD	Carnahan-Starling-DeSantis
HCFC	Hidrokloroflorokarbon
HFC	Hidroflorokarbon
HSK	Hacimsel soğutma kapasitesi
KNS	Kaynama noktası sıcaklığı
LKP	Lee-Kesler-Plocker
LMTD	Logaritmik ortalama sıcaklık farkı
OV	Oransal Verim
PR	Peng-Rebinson
RK	Redlich-Kwong
RKS	Redlich-Kwong-Soave
STK	Soğutma tesir katsayısı
TT	Toplam tersinmezlik
VLE	Sıvı-buhar dengesi

1. GİRİŞ

Termodinamiğin 1. Yasası enerjinin korunumu yasası olarak da bilinir. Buna göre izole edilmiş bir sistemde enerji var edilemez ve yok edilemez. Sadece bir şekilde başka bir şekle dönüştürülebilir. Başka bir deyişle izole edilmiş bir sistemin içeriği bütün enerjilerin toplamı zamanla değişmez. Bu enerji dönüşümlerini ve madde ile olan ilişkilerini inceleyen bilim dalı Termodinamik'tir. Herhangi bir çevrim için, bu yasa ‘Çevrim esnasındaki ısı alışverişi ile iş alışverişi birbirine eşittir.’ şeklinde ifade edilebilir.

Termodinamiğin bir çok uygulamasında sistem ve çevresinin tanımının yapılması gereklidir. Termodinamik sistem, kapalı yüzeylerle çevrili olan uzayda bir bölge ve bu bölgedeki madde miktarı olarak tanımlanır. Sistem dışındaki her şey çevre olarak düşünülür ve sistem ile çevre, sistem sınırları ile birbirinden ayrılır. Bu sınırlar hareketli veya sabit olabildiği gibi gerçek veya sanal olarak da düşünülebilir.

Termodinamik'te iki temel kavram enerji ve entropidir. Enerji, bir etki ya da değişiklik üretme yeteneği olup, depo edilmiş veya geçiş biçiminde olmak üzere iki grupta sınıflandırılabilir. Depo edilmiş enerji çeşitleri için iç enerji, potansiyel enerji, kinetik enerji, kimyasal enerji ve nükleer enerji örnek olarak verilebilir. Geçiş halindeki enerji çeşitleri ise ısı ve iş'tir. Isı, sistemin sınırlarının iki tarafındaki sıcaklık farkı nedeniyle oluşan enerji geçişidir ve kendiliğinden daima düşük sıcaklığa doğru gerçekleşir. İş ise sistem sınırlarının iki tarafında, yer değiştirme ile sonuçlanacak yükseklik, geçisi doğuran sebep basınç farkı ise basınç veya herhangi

bir kuvvet farkı nedeniyle oluşan enerji geçişidir. Bu enerji geçisi de daima basıncın azaldığı yöne doğrudur.

Entropi, verilen bir sistemin moleküler düzensizliğinin bir ölçüsüdür. Düzensizlik arttıkça entropi artar. Düzensiz molekül topluluğundan oluşan bir sistemin ise etki üretme kapasitesinin düşüklüğünden söz edilir.

Bir sistemin özelliği, gözlenebilen ve kendisini tanıtıcı herhangi bir büyülüğür. Sistemin durumu veya hali ise bu sistemin özelliklerinin bütünü ile belirlenir. Bir sistem geçirdiği bir dizi hal değişimi sonunda yeniden ilk haline dönerse bir çevrimden geçmiş olur. Başka bir deyişle çevrimin ilk ve son halleri aynıdır.

1. Yasa, bir sistemin hâl değişiminin mümkün olup olmayacağı hakkında bir açıklama getirmez. Oysa deneyler, doğadaki hâl değişimlerinin ve dolayısıyla enerji dönüşümlerinin sadece belirli yönlerde gerçekleşebileceğini göstermektedir.

Termodinamiğin 2. Yasası ise, ısı enerjisinin sadece belirli bir kısmının işe çevrilebileceğini; çevrenin iç enerjisinden faydalalarak iş elde edilemeyeceğini belirterek enerji dönüşümlerini sınıflandırmakta (düzenli, düzensiz) ve bütün doğal olayların tersinmez olduğunu vurgulayarak düzensiz enerjinin bir şekilde diğer bir şekle her dönüşümünde insanların faydalabilecekleri kısmının azalacağını ve bu nedenle de sürekli olarak değer kaybedeceğini ifade etmektedir. Yine bu yasaya göre bir sistemden çıkan enerjinin iş potansiyeli sisteme giren enerjinin iş potansiyelinden daha küçütür. Aradaki fark sözkonusu sistemde enerji dönüşümünde oluşan tersinmezlikleri verir. Tersinmezliğe sebep olan faktörlerin en önemlileri için sürtünme, kontrollsüz genleşme ve sıkıştırma, sonlu sıcaklık farkında ısı geçisi, iki

maddenin karışımı örnek olarak verilebilir. Tersinmezliğin neden olduğu iş kayıpları entropinin artmasına neden olur. İş potansiyeli tersinmezlikler kadar azalır ve aynı miktarda enerji kullanılamaz hale gelir. Tersinir süreçlerde entropi artımı olmayacağı için iş potansiyelinde azalma çevreye yapılan işe eşit olur ve bu süreçler ideal işlemler olarak tanımlanır.

Verilmiş bir ortamdan çevre durumuna tersinir bir yoldan getirilen bir sistemden elde edilecek iş miktarı maksimumdur; bu miktar kullanılabilirlik veya ekserji olarak bilinir. Faydalansılması imkansız olan enerji, anerji adını alır. Enerjinin kullanılabilir kısmından mümkün olduğu kadar çok faydalana bilmek için işlemlerdeki tersinmezliklerin giderilmesine çalışmak ve bunları tersinir işlemlere olabildiği kadar yaklaşımak gereklidir.

Herhangi bir işlemin 1. Yasaya göre verimliliğini tayin etmek her zaman mümkün değildir. Çünkü iş ve ısı, enerji tekniği bakımından (diğer enerji türlerine dönüştürülebilme özelliği bakımından) aynı değerde değildir. Bununla beraber 2. Yasa analizi ile kullanılabilir enerji kavramından yararlanarak bir işlemin ne derecede tersinir duruma yakın olduğu incelenebilir. Anerji, tersinmezliğin bir ölçüsüdür ve işlemlerdeki tersinmezlik arttıkça artar. Bu temel düşünceyle tanımlanabilecek bir verim 2. Yasa verimi, tersinmezlik oranı veya ekserji verimi olarak bilinir.

$$\varepsilon = 1 - \frac{\text{kayıp kullanılabilir enerji}}{\text{başlangıç durumunda mevcut kullanılabilir enerji}}$$

Tersinin bir süreçte $\varepsilon = 1$ dir.

İşı geçisi azalan sıcaklık yönünde doğada kendiliğinden olur. Fakat bir ortamdan daha yüksek sıcaklıktaki bir ortama ısı geçisi kendiliğinden olmaz, bu işlem bir soğutma çevrimi aracılığıyla yapılır. Soğutma çevrimlerinde dolaşan akışkanlara soğutucu akışkan adı verilir. Soğutucu akışkan dönüşümlü olarak yoğuşur, buharlaşır ve buhar fazındayken sıkıştırılır, ısı bir düşük sıcaklıktaki ortamdan yüksek sıcaklıktaki ortama dışarıdan verilen mekanik enerjiyle aktarılmış olur.

Düşük sıcaklıklı bir ortamdan daha yüksek sıcaklıktaki bir ortama ısı geçisi, ısı pompası aracılığıyla da gerçekleştirilebilir. Soğutma makinaları ile ısı pompaları aynı çevrime göre çalışırlar, fakat kullanım amaçları farklıdır. Soğutma makinasının amacı çevre sıcaklığından daha düşük sıcaklıkta olan bir ortamdan ısı çekerek ortamı düşük sıcaklıkta tutmaktır. Soğutma çevriminde daha yüksek sıcaklıktaki bir ortama ısı verilmesi sadece çevrimin tamamlanabilmesi için gerekli olan bir işlemidir. Isı pompasının amacı ise ısıtılan bir ortamı istenilen sıcaklıkta tutmaktır.

Isı pompası ve soğutma makinaları için düşük sıcaklıklı ortamdan yüksek sıcaklıklı ortama ısı veren cihazlar tanımlaması yapılsa da buharlaşma ve yoğunlaşma işlemleri esnasında gerçekleşen ısı transferleri yine doğal olarak yüksek sıcaklıktan düşük sıcaklığa doğru olmaktadır.

İnsanların günlük yaşamlarında mekanik enerji üretmek ve bir hacmi ısıtmak/soğutmak amacı ile kullanılan cihazlara büyük ihtiyaç duyulur. Enerjinin faydalansılabilen kısmının sürekli azaldığı ve mevcut enerji kaynaklarının sınırlı olduğu düşünülünce bütün makinaların her iki bakımından da en verimli şekilde kullanılması fikri doğmuştur.

Günlük hayatın yürütülmesinde kullanılan, teknolojik gelişmelerin geniş bir aralığını kapsayan soğutma makinalarının ekserji analizine büyük önem verilmiş ve bu amaçla yoğun çalışmalar yapılmıştır.

Bir soğutma sistemi tasarlarken kullanılabilecek birçok soğutucu akışkan vardır. Soğutucu akışkan seçimi uygulamaya göre değişir. İlk ticari soğutucu akışkan, 1850'lerde yapılan buhar sıkıştırmalı sistemlerde kullanılan etil eter'dir. Bunu amonyak, karbon dioksit, propan, kloro-floro-karbonlar (CFC veya Freon grubu) ve diğerleri (HFC ve HC'ler) izlemiştir. Bunlar arasında freonlar (R12, R22, R502 gibi) piyasada kullanılan soğutucu akışkanların en büyük bölümünü oluşturur.

Ozon krizi soğutma endüstrisinde soğutucu akışkanlarının dikkatle gözden geçirilmesine neden oldu ve yeni arayışları gerektirdi. Çünkü araştırmalara göre ozon tabakasının incelenmesinin en önemli sebebi atmosferdeki klor ve brom miktarlarının artmasıdır; bu zararlı maddeleri ihtiva eden CFC'ler atmosferde sera etkisine ve yeryüzünün ısınmasına katkıda bulunmaktadır. Bunun sonucu olarak birçok ülkede CFC'lerin üretimi azaltıldı veya durduruldu. Son olarak 1987'de yapılan Montreal Protokolü ve Kyoto Protokolü gereği CFC'lerin üretimi tamamiyle durdurulma aşamasına geldi.

Soğutucu akışkan olarak soğutucu akışkan karışımıları üzerine son yıllarda yoğun çalışmalar yapılmaktadır. Bu durum CFC'lerin üretiminin sınırlanmasının bir sonucu olarak ortaya çıktı. Çünkü mevcut saf soğutucu akışkanların doğrudan yerini tutacak başka saf soğutucu akışkanlar bulunamadı. Sadece R12 yerine R134a soğutucu akışkanı teklif edilmekte fakat bu da doğrudan R12'nin yerini tutamamaktadır.

Karışımlar zeotropik ve azeotropik olmak üzere iki gruba ayrılır. Zeotropik karışımlarda sabit basınçtaki faz değişiminde sıcaklık farkı ortaya çıkar. Azeotropik karışım ise saf akışkan gibi davranışır. Bu konuya ilgili ayrıntı ilerleyen kısımlarda verilecektir.

1.1. Literatür İnceleme

Konuya ilgili kaynaklardan görüleceği üzere; karışımlarla ilgili çalışmalara CFC'lerin ikili karışımları ile başlandı. Bunların saf akışkan olarak özellikleri biliniyordu, karışımlarda nasıl davranışacakları incelendi. Karışım oranlarının değiştirilmesiyle istenen özelliklerde soğutucu akışkan karışımlarına ulaşılabilceği anlaşıldı. Zeotropik karışımlardaki sıcaklık farkı ya da kayması soğutma sistemi performansında teoride de olsa artış sağladı.

Daha sonra, karışımlarda kullanılacak soğutucu akışkanlar çevresel olarak zararlı olmayan ve diğer temel özellikleri sağlayan akışkanlardan seçilmeye başlandı. Bunlar R32, R125, R134a, R143a, R152a gibi HFC'lerle R290, R600a gibi hidrokarbon (HC) akışkanlardır. Bunlardan R290 (Propan) ve R600a (İzobütan) yanıcılık özellikleri dolayısıyla karışımlarda düşük yüzdelerde tutulmaktadır.

Ch. Trepp ve arkadaşları⁽¹⁾, çevresel problemlere sebep olan R12'nin yerine kullanılmak üzere ikili soğutucu akışkan karışımıyla bazı deneyler yaptılar. Alternatif olarak R22/R142b karışımı önerildi. Deneylerde performans değerleri de bulundu ve sanayi uygulamalarında bu karışımın iyi bir alternatif olduğu belirtildi. R22/R12 ve R22/R114 karşımlarıyla da deneysel çalışma yapıldı.

Soğutma sisteminin dizaynında çalışma akışkanlarının termodinamik özelliklerinin bilinmesi çok büyük önem taşır. Çünkü soğutucu akışkan seçimi ve performans hesaplamaları bunlara bağlı olarak yapılır. Termodinamik özellik olarak sıcaklık, yoğunluk, basınc, fugasite, iç enerji, entalpi, entropi, Gibbs ve Helmholtz enerjileri, ısı kapasiteleri sayılabilir. Ayrıca doyma bölgesinde sıvı-buhar dengesi hesabı gereklidir. Bu özellikler içinde sadece basınç ve sıcaklık ölçülebilen bir özelliktir. Diğerleri ise çeşitli bağıntılarla hesaplanır. Saf akışkanların termodinamik özellikleri sıcaklık ve basıncın fonksiyonu iken karışımında karışım oranı da değişken durumundadır.

Karışuma katılabilecek akışkan sayısının fazlalığı ve karışım oranlarının değişebilirliği dikkate alınırsa bütün alternatifler için soğutucu akışkanların termodinamik özelliklerinin deneyel olarak belirlenmesinin güçlüğü ortaya çıkar⁽²⁾. Bundan dolayı soğutucu akışkan karışımının termodinamik özelliklerinin belirlenmesinde hal denklemlerini kullanma zorunluluğu doğmuştur. Temelde ideal gaz bağıntısından çıkan hal denklemleri doyma bölgesinde sıvı-buhar dengesi hesabı için kullanıldığı gibi tek fazlı bölgelerde PvT hesaplamaları için de kullanılır.

Helmholtz enerjisi ile basınç arasında temel bir ilişki vardır. Basınç ve Helmholtz enerjisi biliniyorsa herhangi bir hal denklemi kullanılarak entalpi ve entropi gibi diğer termodinamik özellikler hesaplanabilir⁽³⁾. Dolayısıyla hassas hesaplamalar için hal denklemleri üzerinde de yoğun çalışmalar yapılmaktadır.

M. Barolo, A. Bertucco ve G. Scalabrin tarafından hazırlanan makalede⁽³⁾ düşük ve biraz yüksek basınç değer aralıklarında soğutucu akışkan karışımının sıvı-buhar dengesini tahmine yönelik bir yöntem geliştirilmiştir. Karışım kurallarını

belirlemek için, değiştirilmiş Redlich-Kwong (RK) hâl denklemi ve UNIFAC yöntemi (karışımın sıvı-buhar dengesini belirleme yöntemlerinden birisi) kullanılmıştır. CFC, HCFC, HFC ve FC alt gruplarını içeren karışımlara uygulanan bu çalışmada, deneysel verileri tahminde yeterli hassasiyetin yakalandığı gözlenmiş, bazı karışımlara ait sıcaklık ve basınç eğileri verilmiştir.

Akişkan karışımları için çok sayıda hal denklemi ortaya konmuştur. Soğutucu akışkanlar ve karışımlarında kübik, etki katsayılı, Carnahan-Starling-De Santis(CSD), Helmholtz enerji hal denklemleri kullanılmaktadır. Özellikle CFC'lerin yerine kullanılacak HFC ve HC karışımlarının termodinamik özelliklerinin hesabında Helmholtz enerji hal denkleminin⁽⁴⁾ hassas sonuçlar verdiği belirtilmiştir.

M. Nagel ve K. Bier'in çalışması⁽⁵⁾ ise yeni soğutucu akışkan karışımlarının doymuş sıvı ve buhar yoğunlıklarının hesaplanması yöneliktir. R32, R125, R134a ve R143a'nın ikili ve üçlü karışımı için deneysel ve teorik değerlerin karşılaştırılması yapılmıştır.

H. Kiyoura ve arkadaşlarının yaptığı çalışma⁽⁶⁾ R32/R125 ve R32/R125/R134a soğutucu akışkan karışımlarının PVTx özelliklerinin deneysel belirlenmesiyle ilgilidir. 315 K - 440 K sıcaklık aralığı ve 1.6 MPa - 5.5 MPa basınç aralığında deneysel çalışma yapılmıştır.

E. Chung ve M. Kim'e ait çalışma⁽⁷⁾ R32/R134a karışımına ait sıvı-buhar dengesi hesabına yöneliktir. 263-323 K sıcaklık aralığında yapılan deneysel çalışmalar Redlich-Kwong-Soave (RKS) ve Peng-Rebinson (PR) hal denklemleri ile karşılaştırılmıştır.

M. Nagel ve K. Bier'in diğer bir çalışması⁽⁸⁾ ise R32/R125/R134a üçlü karışımının sıvı-buhar dengesi hesabıyla ilgilidir. Bu karışım R22 ve R502 soğutucu akışkanlarının yerine teklif edilmiştir. Gerçek karışım davranışını tesbit için kübik hal denklemleri kullanılmış ve hassas sonuçlar elde edilmiştir. Fakat bu hal denklemlerinin karışımı ait yoğunluk değerlerinde beklenen sonuçları vermediği gözlenmiştir.

K. Strom ve U. Gren'in çalışması⁽⁹⁾ R22/R114, R22/R142b ve R22/R152a zeotropik akışkan karışımı için sıvı-buhar dengesinin deneysel olarak belirlenmesine yönelikdir. 1.8 MPa'a kadar ölçümler yapılmış ve sonuçlar üç farklı hal denklemi ile karşılaştırılmıştır.

E. Fransson, A. Barreau ve J. Vidal'e ait çalışma⁽¹⁰⁾ n-Pentane/R22 ve n-Pentane/R152a ikili karışımının sıvı-buhar dengesi hesabına yönelikdir. Deneysel çalışma, farklı karışım oranları için 303-383 K sıcaklık ve 0.3-4.4 MPa basınç aralığında yapılmıştır. RKS hal denklemiyle de deneysel sonuçlar karşılaştırılmıştır.

J. Sand ve arkadaşlarının hazırladığı makale⁽¹¹⁾, karışım parametreleri'nin belirlenmesine yönelikdir. Etkileşim parametresi CSD ve Lee-Kesler-Plocke (LKP) hal denklemleri için deneysel olarak belirlenmiştir. Soğutucu akışkan olarak çevresel açıdan güvenli olanlar seçilmiştir.

G. Morrison ve M. McLinden'in çalışması⁽¹²⁾, ikili soğutucu akışkan karışımında azeotropinin ortaya çıkışıyla ilgilidir. Saf soğutucu akışkanların ve karışımının termodinamik davranışını tanımlamak için CSD hal denklemi

kullanılmıştır. Çok sayıda ikili karışım için etkileşim parametresi deneysel olarak belirlenmiştir.

D. Defibaugh ve G. Morrison'a ait çalışma⁽¹³⁾, 15 farklı karışım için etkileşim parametresinin deneysel belirlenmesine yönelikir. Bu parametreler CSD hal denkleminde kullanılmak üzere belirlenmiştir.

Y. W. Kang ve K. Y. Chung'un deneysel çalışması⁽¹⁴⁾ R32-R22, R32-R12 ve R32-R40 karışımlarının 10^0C 'deki sıvı-buhar dengesinin belirlenmesi için yapılmıştır. Sonuçlar bazı hal denklemleri ile karşılaştırılmıştır.

H. Zhang ve arkadaşları⁽¹⁵⁾, çeşitli oranlarda R32-R125 karışımının gaz fazındaki PVT özelliklerini deneysel olarak belirlemiştir. Deney sonuçları ve başka deneysel verilerle bu karışım için etki sayılı hal denklemi geliştirilmiştir.

E. Chung ve M. Kim'e ait çalışmada⁽¹⁶⁾ R32-R134a karışımı için belli bir sıcaklık aralığında izotermal sıvı-buhar dengesi değerleri deneysel olarak elde edilmiştir. DeneySEL sonuçlar PR ve RKS hal denklemi ile düzeltilmiş ve kaynaklarla karşılaştırılmıştır.

H. Kiyoura ve arkadaşları⁽¹⁷⁾ R32-R125 ve R32-R125-R134a karışımlarına ait PVTx özelliklerini belli basınç aralığında deneysel olarak belirlemiştir. Yanıcılık özelliği dolayısıyla R32'nin saf olarak kullanılmadığı, bu özelliği olmayan R125 ve R134a gibi soğutucu akışkanlarla karıştırıldığı belirtilmiştir.

T. Sato ve arkadaşlarının deneysel çalışması⁽¹⁸⁾ R32-R134a karışımının PVTx özelliklerinin belirlenmesi ile ilgilidir. 200'ü aşkın ölçüm alınmış sonuçlar kaynaklarda verilen değerlerle karşılaştırılmıştır.

K. Strom ve U. Gren'in çalışması⁽¹⁹⁾ R22-R114, R22-R142b R22-R152a karışımlarının sıvı-buhar dengesi değerlerinin deneyel ve teorik olarak bulunmasına yönelikir. LK ve CSD hal denklemleri teorik hesaplamalarda kullanılmıştır.

R. T. Roth'a ait çalışma⁽²⁰⁾, R134a-R152a karışımına ait termodinamik özelliklerin (PVTx) deneyel olarak belirlenmesi yönündedir. Oldukça geniş bir aralıkta sonuçlar alınmış Redlich-Kwong hal denklemi ile karşılaştırma yapılmıştır.

HF-R32, HF-R134a karışımının sıvı-buhar dengesi değerlerinin belirlendiği bir çalışmada⁽²¹⁾ iki farklı sıcaklıkta deneyler yapılmıştır. Karışımlara ait P-x diyagramları verilmiştir.

E. Fransson ve arkadaşlarının çalışması⁽²²⁾ n.pentane-R22, n.pentane-R152a karışımlarına ait sıvı-buhar dengesinin belirlenmesine yönelikir. Yanıcılık özelliği olan hidrokarbonların bu özelliği olmayan bir soğutucu akışkanla karıştırılması durumunda, karışım yüzdelerinin karışımı yanıcı yapmayacak şekilde seçilebileceği belirtilmiştir.

R32-R125-R134a üçlü karışımının sıvı-buhar dengesi değerlerinin belirlendiği bir başka çalışmada⁽²³⁾ kübik hal denklemleri kullanılmış, hal denklemlerinde kullanılacak parametreler her bir soğutucu akışkan için tablo halinde verilmiştir. P-x diyagramlarının da verildiği çalışmada bu üç akışkanın ikişerli karışımları için de hesaplamalar yapılmıştır.

Benzer bir çalışma da⁽²⁴⁾ R125-R143a-R134a üçlü karışımı için yapılmıştır.

H. L. Zhang ve arkadaşlarının çalışmasında⁽²⁵⁾ üç paremetreli yeni bir kübik hal denklemi geliştirilmiştir. Hal denklemleri ve sıvı-buhar dengesi hesaplamaları

hakkında teorik açıklamaların da yapıldığı çalışmada R32 ve R125 soğutucu akışkanları yeni hal denkleminde incelenmiştir.

Bazı HFC karışımlarının ısı kapasitelerinin belirlendiği bir çalışmada⁽²⁶⁾ seçilen karışımlar R12, R22 ve R502 alternatif karışımlardır. Her bir akışkana ait denklemelerde kullanılacak parametreler tablo halinde verilmiştir.

CFC'lerin yerine kullanılacak alternatif karışımların mevcutların özelliklerine yakın değerlere sahip olması gereklidir. Bu durum özellikle mevcut sistemlerde çok önemlidir. Yeni imal edilecek soğutma sistemlerinde bazı değişiklikler yapmak mümkündür ama şu anda çalışmakta olan milyonlarca soğutma sistemindeki soğutucu akışkanların değiştirilmesi söz konusu olunca iş daha da önem kazanmaktadır.

Saf akışkanlarla alternatif karışımların karşılaştırılmasında farklı yöntemler kullanılmaktadır. Bunlardan birincisi buharlaşma ve yoğunlaşma sıcaklıklarının eşit alınmasıyla yapılan karşılaştırmadır⁽²⁷⁾. Bu karşılaştırma kendi içinde farklı böülümlere ayrılmaktadır⁽²⁸⁾. İkinci karşılaştırma yöntemi ise soğutma yükünü sabit alarak yapılmaktadır⁽²⁹⁾. Bu yöntemde buharlaştırıcı ve yoğunsturucu ısı değiştirgeç büyüklükleri ve soğutucu akışkanların ısı transfer özelliklerini de sabit almaktadır.

R. Richardson ve J. Butterworth'a ait çalışmada⁽³⁰⁾ R12'nin yerine kullanılmak üzere propan/izobütan karışımı önerilmiştir. Özellikle %50'ye yakın karışımlarda R12'den daha iyi performans değerleri elde edilmiştir. Bu akışkanların yanıcılık özelliği olmasına rağmen hermetik buhar sıkıştırmalı sistemlerde güvenli bir şekilde kullanılabildiği gösterilmiştir.

W. J. Mulroy ve arkadaşlarının makalesi⁽³¹⁾, R23/R142b ve R23/R22/R142b karışımılarına ait performans değerlerinin deneysel incelenmesine yönelikir. Soğutucu akışkanla ısı transferi akışkanının sıcaklığının eşleşmesi durumunda soğutma sisteminin performansının artacağı belirtilmiştir. Bu eşleşme durumu Carnot ve Lorenz çevrimlerine göre incelenmiştir.

D. A. Didion ve D. B. Bivens'in çalışması⁽³²⁾, CFC'lere alternatif olmak üzere uygun özelliklere sahip soğutucu akışkanların teminine yönelikir. Bu çalışmada zeotropik, azeotropik ve yakın-azeotropik karışımlarla ilgili teorik bilgiler de verilmiştir.

M. S. Kim ve arkadaşlarının çalışması⁽³³⁾, hidrokarbonlardan Propan (R-290) ve İzobutanın (R-600a) HFC-134a ile karışımına yönelikir. Hidrokarbonların yanıcılık özelliklerinden dolayı bu karışımlara ait yanıcılık testleri de yapılmıştır. Tutuşma özelliği olan hidrokarbonların CFC'lerle karıştırılmasıyla tutuşma özelliğinin azalacağı belirtilmiştir.

A. Stégou-Sagia ve M. Damanakis'in çalışması⁽³⁴⁾ R22'nin yerine kullanılmak üzere R134a'nın ikili (R32-R134a) ve üçlü (R32-R125-R134a) karışımları üzerindedir. Üçlü karışımın entalpi ve entropi değerlerini hesaplamak için Peng-Rebinson hal denkleminden bağıntılar türetilmiştir.

Ö. Çomaklı ve arkadaşlarının çalışması⁽³⁵⁾, R11-R22 ve R12-R22 karışımlarının kullanıldığı bir ısı pompasında birinci ve 2. Yasa analizine yönelikir. Deneysel yapılan çalışmada bu karışımların R12 veya R22 yerine kullanılabileceği belirtilmiştir.

Hidrokarbon soğutucu akışkanlar üzerine bir çalışmada⁽³⁶⁾ ise saf ve ikili hidrokarbon karışımlarının kullanıldığı bir ısı pompasının performansı deneysel olarak belirlenmiştir. Bazı hidrokarbonların R22'den daha iyi sonuçlar verdiği gözlenmiştir. Hidrokarbonlar için tek problemin yanıcılık özellikleri olduğu belirtilmiş fakat hermetik kompresörle bu tehlikenin çok azalacağı söylemişdir. Özellikle Avrupa'da hidrokarbon soğutucu akışkanların yoğun olarak kullanıldığı belirtilmiştir.

Bir çok sayıda soğutucu akışkanın buhar sıkıştırmalı çevrimlerdeki termodinamiksel davranışını incelemek üzere yapılan teorik çalışmada⁽³⁷⁾ sistem elemanlarındaki tersinmezlik dağılımı da belirlenmiştir.

R. Camporese ve arkadaşları⁽³⁸⁾, kısa ve uzun vadede R12 ve R502'nin yerine geçmek üzere R22 ve bazı hidrokarbon karışımı üzerine çalışmışlardır. İki farklı soğutma ünitesinde R12 ve R502'nin performanslarıyla karışımının performansları karşılaştırılmıştır.

İkili soğutucu akışkan karışımının kullanıldığı klima sistemleri için bir simülasyon programının geliştirildiği çalışmada⁽³⁹⁾ uygun soğutucu akışkanlar ve karışım oranları, optimize edilmiş performans değerleri ve sistem elemanlarının büyülükleri tespit edilmektedir. Simülasyonda entalpi ve entropi değerleri için RK hal denklemi kullanılmıştır. Programın ısı pompaları için de adapte edilebileceği belirtilmiştir.

C. Aprea ve arkadaşlarının çalışması⁽⁴⁰⁾, R502'ye alternatif soğutucu akışkanların ve karışımının soğutma sistemlerindeki davranış ve performanslarının deneysel olarak belirlenmesi için gerçekleştirılmıştır. Seçilen alternatif akışkanların

2. Yasa verimleri de karşılaştırmalı olarak verilmiştir. R404A'nın en uygun seçim olacağı belirtilmiştir.

Soğutucu akışkanların tarihine göz atan bir çalışmada⁽⁴¹⁾ akışkanların çevresel etkileri, güvenilirlikleri, kimyasal ve ıslık kararlılıklarını incelenmiştir. Akışkanlar içindeki klorin ve brominin çevresel zararlara yol açtığı belirtilmiştir.

Helmholtz enerji modeline dayalı olarak soğutucu akışan karışımlarının termodinamik özelliklerinin bulunduğu bir çalışmada⁽⁴²⁾ R32/R125, R32/R134a, R125/R134a, R32/R125/R134a, R134a/R152a karışımıları kullanılmıştır. Bu karışımlar için hal denkleminde kullanılacak sabit değerler verilmiş ve kaynaklarla karşılaştırma yapılmıştır. Sıcaklık ve basınç için hassas sonuçların alındığı değer aralıkları da çalışmada açıklanmıştır.

R12'ye alternatif olarak HFC'lerden başka E134, E227, E218, E216 gibi eterlerin de kullanılabilceğini belirten diğer bir çalışmada⁽⁴³⁾ ise performans ve basınç oranına dayalı olarak karşılaştırmalar yapılmıştır.

Saf ve karışım halindeki soğutucu akışkanların kullanıldığı tek evaporatörlü bir soğutma sisteminin simülasyonunun yapıldığı bir çalışmada⁽⁴⁴⁾ kararlı haldeki sistemin performans değerini bulmak üzere Newton-Raphson ve Ardışık Yerleştirmeler metodu kullanılmıştır. Termodinamik değerler için CSD hal denkleminden faydalanyılmıştır. Her iki metot da detaylı olarak açıklanmış ve 21 karışım için sonuçlar verilmiştir.

Bir önceki çalışmanın benzeri⁽⁴⁵⁾ iki evaporatörlü soğutma sistemi için de gerçekleştirilmiştir. Bu çalışmada sadece Newton-Raphson metodu kullanılmış,

sistem daha karışık olduğu için diğer yöntemin başarısız kaldığı belirtilmiştir. İki evaporatör için iki farklı oranda soğutma yüküne dayalı inceleme yapılmıştır.

Son iki çalışmanın devamı olarak⁽²⁹⁾ Japonlar tarafından geliştirilen yüksek verimli ısı pompası sistemlerinin simülasyonu benzer yolla yapılmıştır. Özellikle HFC soğutucu akışkan karışımı üzerine çalışılmıştır.

Sıvı hattı ısı değiştirgeci olan soğutma sistemlerinin performansı ile ilgili çalışmada⁽⁴⁶⁾ saf ve karışım haldeki çok sayıda soğutucu akışkan kullanılarak inceleme yapılmıştır. Isı değiştirgecinin verimliliği ve basınç kayıplarının etkisi belirlenmiştir.

İki farklı sıcaklıkta çalışan iki buharlaştırıcılı soğutma sisteminde soğutucu akışkan karışımlarının optimum seçiminin hedefleyen teorik bir çalışmada⁽⁴⁷⁾ termodinamik değerler için REFPROP programı kullanılmıştır. En uygun karışım olarak R14-R41 karışımı belirlenmiştir.

Hidrokarbon akışkanlarından olan propan-isobütan karışımının kullanıldığı iki farklı soğutma sisteminde performans değerlerinin deneysel ve teorik olarak belirlendiği bir başka çalışmada⁽⁴⁸⁾ R12'ye göre %12'lük performans artışı elde edilmiştir. Bu karışımın uzun vadede R12-R134a karışımına da alternatif olacağı belirtilmiştir. Teorik çalışma sabit soğutma yükü esasına göre yapılmıştır.

D. Jung ve arkadaşlarının çalışması⁽⁴⁹⁾ R12 soğutucu akışkanını kullanan otomobil klimalarında alternatif soğutucu akışkanların ve karışımının termodinamik analizine yönelikdir. R12 ve alternatif akışkanların performans değerleri teorik olarak bulunmuş ve karşılaştırılmıştır. Hidrokarbon karışımının da incelendiği çalışmada propan-isobütan karışımı daha iyi bir performans göstermiştir.

Soğutucu akışkanlar üzerine genel bir değerlendirmenin yapıldığı bir çalışmada⁽⁵⁰⁾ Montreal protokolü öncesi ve sonrası durum değerlendirilmiştir. HFC'lerle birlikte flörlaştırılmış etherler, alkoller, aminler, silikon ve sülfür bileşenlerinin de incelendiği makalede soğutucu akışkanlar kendilerinden istenen özellikler açısından irdelenmiştir.

A. Bensafi ve G. G. Haselden'e ait çalışmada⁽⁵¹⁾, soğutucu akışkan karışımını kullanan klima ve ısı pompalarında karışımın doğru seçilmesi durumunda enerji tüketiminde %25'lere varan bir kazanç sağlanacağı belirlenmiştir. Kontrol sisteminin de çok önemli rol oynadığı belirtilmiştir.

Soğutma sistemlerinde 2. Yasa analizi üzerine de çalışmalar yapılmıştır.

N. Eğriçan, A. Karakaş ve S. Uygur tarafından yapılan çalışmada⁽⁵²⁾ H_2O -LiBr ve NH_3 - H_2O akışkan çiftleri kullanılarak güneş enerjisi destekli absorpsiyonlu soğutma sisteminin 2. Yasa analizi yapılmıştır. Bu sistemde enerjinin esas kaynağı güneş toplayıcısıdır. Fakat güneş enerjisinin yeterli olmadığı durumlarda yardımcı kaynak kullanılması düşünülmüştür. Entropi ve entalpi değerlerinin hesaplanması için RK hâl denkleminden faydalanylmıştır.

S. K. Chaturverdi ve arkadaşlarının çalışmásında⁽⁵³⁾ ise, güneş toplayıcısını buharlaştıracı kabul eden ısı pompası sistemine 2. Yasa analizi uygulanmıştır. Isıtma tesir katsayısı, ekserji ve toplayıcı verimi gibi bağıntılar türetilmiş ve bu bağıntılar gerçek çalışma şartlarında sistem performansını belirlemek için kullanılmıştır. Sistemdeki tersinmezliklerin kaynağı ve bunların sistem performansı üzerine etkileri incelendiğinde kompresörün, depolama tankındaki karışımın ve genleşme valfinin, sistem tersinmezliğine büyük etkileri olduğu tesbit edilmiştir.

Buharlaştırıcı ve yoğunsturucusu su soğutmalı olan bir ısı pompasının tersinmezlik analizinin yapıldığı deneysel bir çalışmada⁽⁵⁴⁾ ise tersinmezlik bağıntıları detaylı olarak anlatılmıştır. Deneysel sonuçlar hesaplanan sonuçlarla karşılaştırılmış ve sistem elemanlarındaki tersinmezlik miktarları yüzde olarak verilmiştir.

R134a soğutucu akışkanının kullanıldığı iki kademeli ve mekanik alt soğutmalı bir soğutma sistemi için 2. Yasa analizinin yapıldığı çalışmada⁽⁵⁵⁾ tersinmezlik bağıntıları verilmiş, sistem elemanlarındaki tersinmezlik miktarları ve sistemin performans değerleri bulunmuştur.

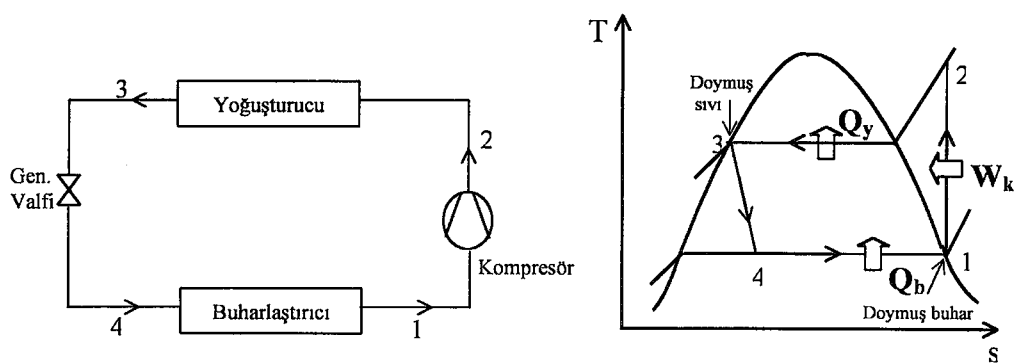
Konuya ilgili yapılan çalışmaların bir kısmında ise karışımlara ait ısı transfer özelliklerini incelenmiştir.

R32 ve R134a soğutucu akışkanlarının saf ve karışım halinde ısı transfer katsayılarının belirlendiği bir çalışmada⁽⁵⁶⁾ termodinamik değerler REFPROP programından alınmıştır.

Soğutucu akışkan ve karışımlarının termodinamik özelliklerini veren bir program⁽⁵⁷⁾ önce CSD hal denklemi kullanılarak hazırlanmıştır. Daha sonraki versiyonu⁽⁵⁸⁾ ise değiştirilerek özellikle HFC karışımlarında Helmholtz Enerji hal denklemi kullanılmıştır. Bu program 5'li karışımıma kadar soğutucu akışkanların termodinamik özelliklerini vermektedir. Doyma bölgesi, kızgın buhar bölgesi ve aşırı soğutulmuş sıvı bölgesi için, değerleri ayrı alt programlarla hesaplayan REFPROP'la akışkanlara ait T-s, P-h, P-x, T-x diyagramları da çizilebilmektedir.

1.2. Soğutma Sistemleri

Soğutma sistemleri ve ısı pompaları termodinamik uygulamalarda önemli bir yere sahiptirler. Soğutma ve ısı pompası çevriminde düşük sıcaklıktaki bir ortamdan yüksek sıcaklıktaki ortama sürekli olarak ısıl enerji transfer edilir. En yaygın olarak kullanılan soğutma çevrimi soğutucu akışkanın dönüşümlü olarak buharlaşıp yoğunlaştiği ve buhar fazında iken sıkıştırıldığı, buhar sıkıştırmalı soğutma çevrimidir. Bunun dışında soğutucu akışkanın çevrim boyunca gaz fazında kaldığı gaz akışkanlı soğutma, soğutucu akışkan buharının sıkıştırılmadan önce bir sıvuya karıştırıldığı soğurmamalı (absorpsiyonlu) soğutma, iki farklı malzemeden elektrik akımı geçmesiyle oluşan termoelektrik soğutma, gibi çeşitleri vardır. Bu çalışmada buhar sıkıştırmalı soğutma çevrimi üzerinde çalışılmıştır. Bundan sonra soğutma sistemi denilince buhar sıkıştırmalı soğutma çevrimi kast edilecektir. Bu çevrimdeki belli başlı elemanlar kompresör, yoğunşturucu, genleşme valfi ve buharlaştırıcı olarak sayılabilir.

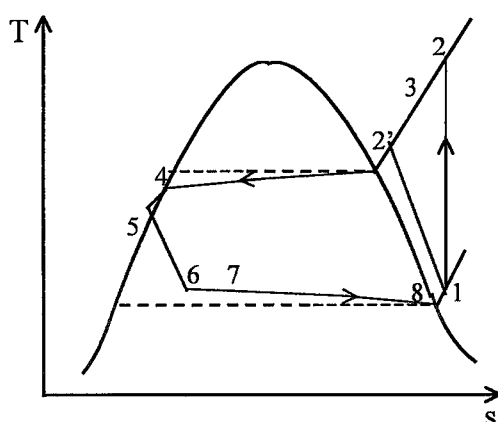


Şekil 1.1. Buhar sıkıştırmalı soğutma sistemi ve T-s diyagramı

İdeal bir soğutma çevriminde, buharlaştırıcı ve yoğunşturucudaki ısı geçişlerinde basınç kayıplarının olmadığı, kompresördeki işlemin tersinir adyabatik (izentropik) olarak gerçekleştiği, genleşme valfindeki işlemin ise izentalpik olduğu ve bu elemanlar arasındaki boru donanımlarında herhangi bir basınç kaybı olmadığı ve boru donanımı ile çevre arasında da bir ısı geçisi olmadığı kabul edilir.

T-s diyagramı Şekil 1.2.'de verilen gerçek soğutma çevrimi, ideal çevrimden birkaç açıdan farklıdır. Bu farklılık daha çok gerçek çevrimi oluşturan elemanlardaki tersinmezliklerden kaynaklanır. Tersinmezliğin iki ana kaynağı, basıncın düşmesine neden olan akış sürtünmesi ve çevreyle olan ısı alışverişidir. Gerçek çevrimde sıkıştırma işlemi izentropik değildir. Çünkü akış sürtünmesi ve ısı geçisi vardır. Sürtünme entropiyi artırır, ısı geçisi ise hangi yönde olduğuna bağlı olarak entropiyi artırır veya azaltır. Ayrıca gerçek çevrimde soğutucu akışkan buharlaştırıcıdan kızgın buhar olarak, yoğunşturucudan ise aşırı soğutulmuş sıvı olarak çıkar⁽⁵⁹⁾.

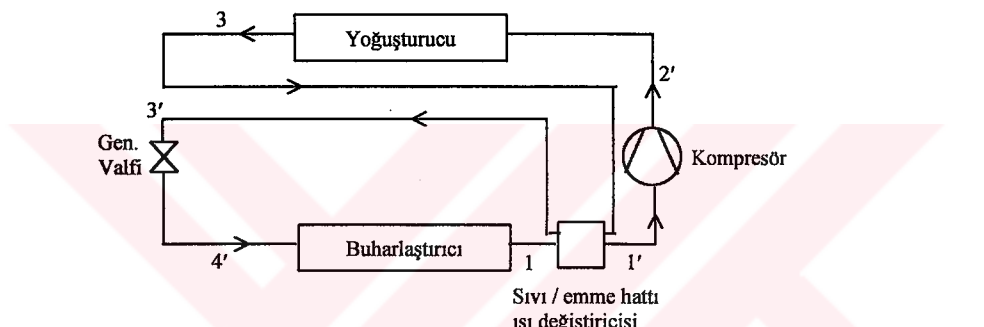
Soğutma makinası ile aynı çevrime göre çalışan ısı pompalarında da aynı şeyler geçerlidir. Isı pompaları için en çok kullanılan enerji kaynağı havadır. Bu tür ısı pompalarına hava kaynaklı ısı pompaları ismi verilir. Ayrıca toprak ve su kaynaklı



Şekil 1.2. Gerçek soğutma çevriminin T-s diyagramı

ısı pompaları da mevcuttur. Toprak ve suyun sıcaklıkları yıl içinde çok fazla değişmediği için oldukça kullanışlı enerji kaynaklarıdır.

Buharlaştırıcı çıkışındaki soğutucu akışkanla yoğuneturucu çıkışındaki akışkanın bir ısı değiştiricisinden geçirildiği soğutma çevrimleri çok yaygındır. Şekil 1.3'de görülen sistemde soğutma yükü artarken kompresör işinde artma olmaktadır. Bu sisteme ait T-s diyagramı ısı değiştiricisindeki ufak değişiklik dışında Şekil 1.2.'ye benzerdir. Verimli olup olmaması soğutucu akışkana/karışımına bağlıdır⁽⁶⁰⁾.

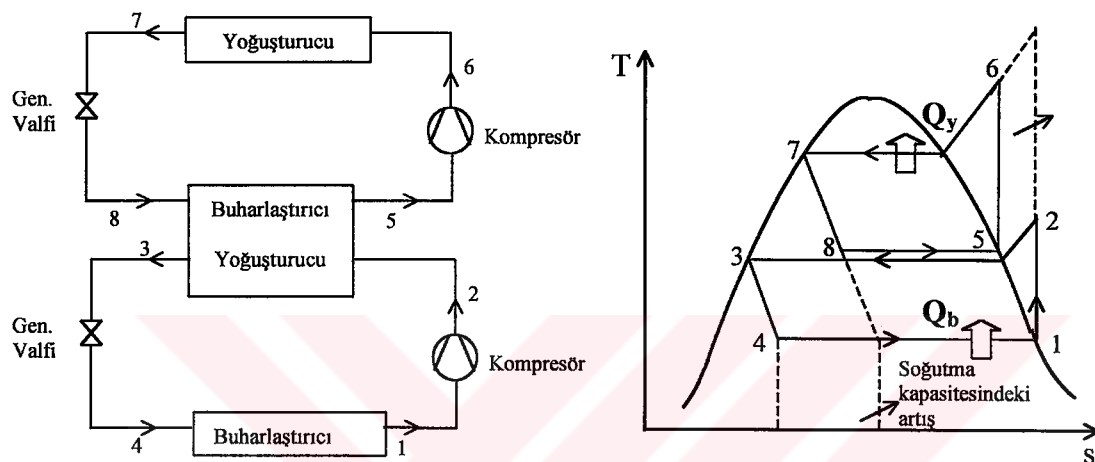


Şekil 1.3. Sıvı/emme hattı ısı değiştiricili soğutma sistemi

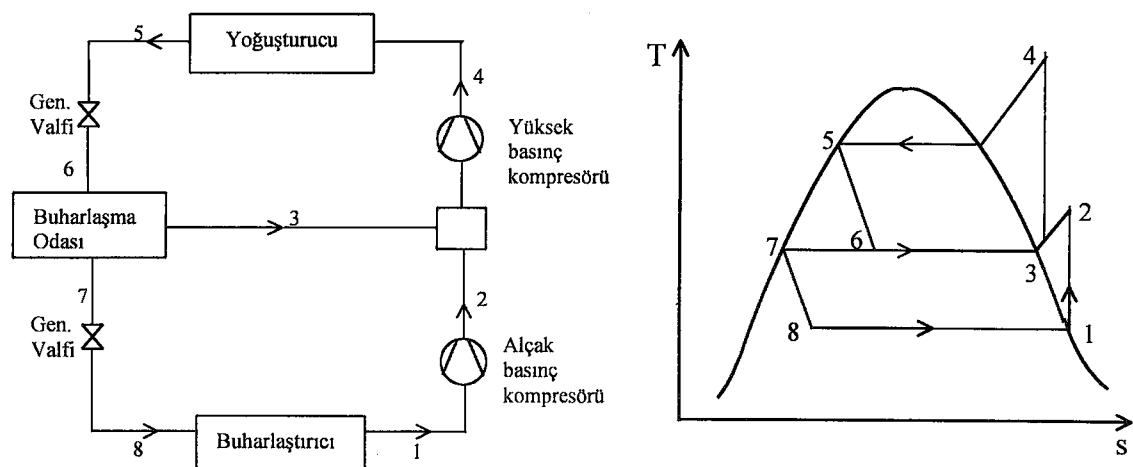
Bazı endüstri uygulamalarında düşük sıcaklıklarda soğutma gereklidir ve uygulamanın sıcaklık aralığı basit soğutma çevriminin etkin çalışabilmesi için geniş olabilir. Büyük bir sıcaklık aralığı aynı zamanda daha çok basınç kayıplarına yol açmaktadır ve kompresörün daha düşük bir verimle çalışmasına neden olmaktadır. Bu gibi durumlarda soğutma iki kademe ile gerçekleştirilebilir. Şekil 1.4.'de görüldüğü gibi birbiriyle bağlantılı çalışan iki soğutma çevrimi kullanılır. Bu çevrimlere ikili soğutma çevrimi denir. Çevrimlerde farklı soğutucu akışkanlar kullanılabilir.

İkili soğutma sisteminde her bir çevrimde aynı soğutucu akışkan dolaşıyorsa çevrimleri birbirine bağlayan ısı değiştiricisi yerine ısı alışverişinin daha iyi

sağlandığı bir karışma odası veya buharlaşma odası kullanılabilir. Şekil 1.5.'de görülen bu tür sistemlere çok kademeli sıkıştırma yapılan soğutma sistemleri denir. Bu sistemdeki sıkıştırma işlemi, ara soğutmalı iki kademeli bir sıkıştırmaya benzemektedir.

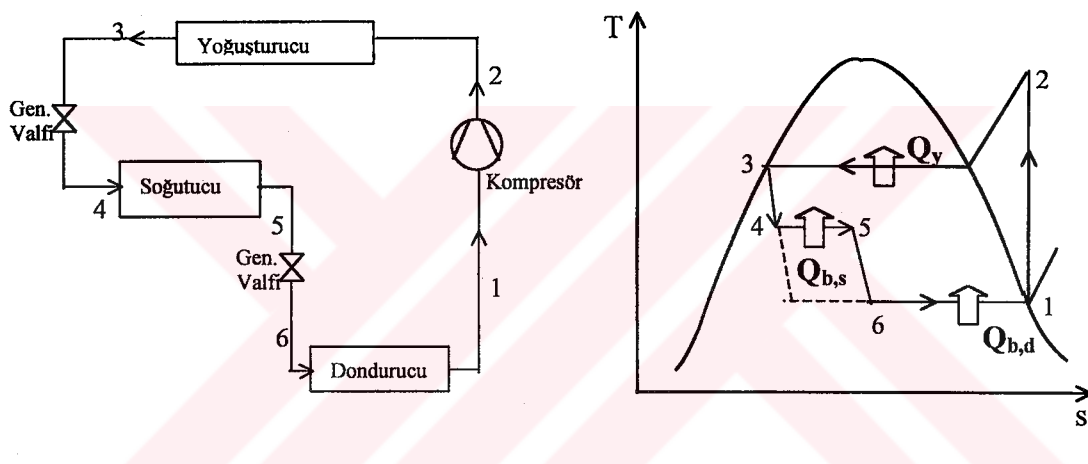


Şekil 1.4. İkili soğutma sistemi ve T-s diyagramı



Şekil 1.5. Buharlaşma odalı iki kademeli sıkıştırmalı ve T-s diyagramı

Bazı uygulamalarda aynı soğutma sistemi içinde birden çok ortamın farklı sıcaklıklarda soğutulması gerekebilir. Buharlaştırıcıdan çıkan tüm akışları tek kompresöre yönlendirmekle bu işlem gerçekleştirilebilir. Şekil 1.6.'da görülen bu sistem derin donduruculu buz dolaplarında uygulanan bir yöntemdir. Soğutucu akışkan önce soğutucu bölümündeki sıcaklığı karşı gelen daha yüksek bir basınçda daha sonra da dondurucu basıncına kışılır. Dondurucudan çıkan akışkan tek bir kompresör tarafından yoğunlaştırıcı basıncına sıkıştırılır.



Sekil 1.6. Donduruculu tek kompresörlü soğutma sistemi ve T-s diyagramı

1.3. Soğutucu Akışkanlar

Soğutma sistemi ve ısı pompalarında buharlaşma ve yoğunlaşma ile ısı transferi soğutucu akışkanlarla gerçekleştirilir. Soğutma sistemi tasarıımı, kullanılacak soğutucu akışkanının özelliklerine bağlıdır.

Soğutucu akışkanlardan, ısı geçiş kabiliyetleri ile doğrudan ilişkisi olmayan birçok koşulu yerine getirmesi beklenir. Kullanma koşullarındaki kimyasal kararlılık

en önemli özelliktir. Emniyet kodları, birçok uygulama için zehirsiz, yanmaz soğutucu akışkanların kullanımını şart koşmaktadır. Fiyat, kolayca bulunabilme, kompresör yağları ve soğutma tesisatındaki malzemeler ile uyumlu olması, göz önüne alınması gereken diğer hususlardır^(59,61).

Soğutucu akışkan seçiminde, bu akışkanlardan istenen termodinamik özelliklerin sağlanması da bakılır. Bir soğutma sisteminde, buharlaşma basıncının mümkün olduğu kadar yüksek, yoğunlaşma basıncının ise mümkün olduğu kadar düşük olması istenir. Buharlaştırıcı basıncının yüksek olması buhar yoğunluğunu arttırdığından verilen bir kompresör için daha büyük sistem kapasitesine ulaşılabilir.

Soğutucu akışkanların gizli buharlaşma ısları diğer önemli bir özelliktir. Moleküler açıdan, benzer kaynama noktalarına sahip akışkanların gizli buharlaşma ısları hemen hemen birbirinin aynıdır. Kütlesel açıdan bakıldığından ise soğutucu akışkanların gizli ıslarının çok geniş aralıkta değiştiği görülür.

Soğutucu akışkanların ısı iletim katsayısı ve viskozite özelliklerini, ısı değiştirgeçlerinin ve boru donanımının performansına etki eder. Bu akışkanlarda yüksek ısı iletim katsayısı, düşük viskozite katsayısı istenir.

R12, R22 gibi CFC olarak bilinen halojenli bileşenlerin fiziksel, elektriksel ve kimyasal özellikleri, onların güvenli ve verimli soğutucu akışkanlar olarak yaygın bir şekilde kullanılmalarını sağlamıştır. CFC'lerin bir faydası da doğal olarak yanıcı olmamalarıdır⁽⁶²⁾.

Düzen taraftan, bir soğutma sisteminden kaçan soğutucu akışkanın çevresel etkileri de göz önüne alınmalıdır. CFC'ler çok kararlı olmaları nedeniyle yıllarca atmosferde kalabilmekte ve zamanla stratosfer tabakası içinde yayılmaktadır. CFC molekülleri (örnek olarak R11 ve R12 soğutucu akışkanlarında olduğu gibi) sadece

karbon ile halojen klorin, florin ve/veya bromin içerir. Soğutucu akışkan molekülleri atmosferin üst kısımlarına ulaştığında güneş ışınlarının etkisi ile parçalanarak ozon tabakasını tahrip eden klorini açığa çıkarır. Atmosferin alt tabakalarında ise bu moleküller, yeryüzünün ısınmasına yardım eden kıızılıtesi ışınları yutar. CFC moleküllerindeki bir veya daha fazla halojen yerine bir hidrojen atomunun konulması, bunların atmosferdeki ömrünü ve çevreye olan olumsuz etkilerini büyük ölçüde azaltmaktadır⁽⁶¹⁾.

Ozon tabakasının yitirilmesi global bir meseledir. Dolayısıyla R12 ve R22 olarak bilinen halojenli bileşiklerin atmosfere olan zararları dolayısıyla üretimlerinin durdurulmasına karar verilmiştir⁽⁶³⁾. Küresel ölçekte CFC'lerin tedaricen üretiminin kaldırılmasıyla ilgili Montreal Protokolü çoğu ülkeler tarafından imzalanmıştır.

Soğutucu akışkanların termodynamik ve taşınım özellikleri tablolar ve diyagramlar halinde verilir. Tablolar her bir soğutucu akışkan için geliştirilen hal denklemleri kullanılarak oluşturulur. Örnek olarak ASHRAE'nin temel el kitabındaki tablolar hazırlanırken R134a için M. L. Huber ve arkadaşları tarafından geliştirilen hal denklemi, R125 için L. C. Wilson ve arkadaşları tarafından geliştirilen hal denklemi, R22 ve R115'in karışımı olan R502 azeotropik karışımı için J. J. Martin ve arkadaşları tarafından geliştirilen hal denklemi kullanılmıştır⁽⁶¹⁾.

Birçok soğutucu akışkan için referans hal durumu genelde, uluslararası antlaşmalara uygun olarak 0°C sıcaklığındaki doymuş sıvı entalpisi için 200 kJ/kg, entropisi için 1 kJ/kgK alınmaktadır. Ayrıcalıklı olarak, su ile kritik sıcaklıklar çok düşük olan R14 gibi akışkanlar ve aşırı soğukta kullanılan soğutucu akışkanlar için bu değerler farklıdır⁽⁶¹⁾.

1.4. Soğutucu Aışkan Karışımıları

CFC'lerin üretiminin durdurulacak olması, bunların yerine kullanılmak üzere yeni soğutucu aışkan arayışlarına neden olmuştur. Bunun bir sonucu olarak da ısı pompası ve soğutma sistemlerinde soğutucu aışkan olarak soğutucu aışkan karışımılarına yönelik ilgi son yirmi yılda çarpıcı bir şekilde artmaya başlamıştır. CFC'lerin yerine alternatif olarak soğutucu aışkan karışımı önerilmektedir⁽²⁾. Çünkü çevresel açıdan kabul görecek saf soğutucu aışkan sayısı azdır ve bu aışkanlar farklı tipteki uygulamalar için bütün sıcaklık seviyelerine cevap verememektedirler⁽⁶⁵⁾. Sadece R12 yerine kullanılmak üzere saf bir aışkan olan HFC134a önerilmektedir. Fakat bu aışkan kullanıldığından sisteme bazı değişikliklere ihtiyaç duyulmaktadır. Dolayısıyla yeni sistemlerde bu aışkan kullanılabilecekken mevcut sistemlerde problem doğurmaktadır. Yaygın olarak kullanılan R12, R22 ve R502 gibi halokarbon soğutucu aışkanları yerine geçecek aışkanların belirlenmesi ve buna yönelik olarak özellikle aışkan karışımının incelenmesi çalışmaların odak noktasını oluşturmaktadır.

Alternatif karışımlar belirlenirken dikkat edilecek husus, ilgili karışımın özelliklerinin, yerine geleceği aışkanın özelliklerine yakın olmasıdır. Yani saf aışkanların yoğunlaşma basıncı, buharlaşma entalpisi vb. özelliklerine benzer davranış gösteren karışımlar aranmalıdır. Bugün karışımlarda esas olarak beş farklı saf bileşen kullanılmaktadır. Bunlar HFC aışkanları olan R32, R125, R134a, R143a ve R152a'dır. Sıfır ozon tüketim potansiyeline sahip 4 tanesi (fakat global zarara etkisi var) de dahil hepsi yapay bileşendir. Bazı karışımlar az bir miktar da propan ve izobütan ihtiyac eder. Bir sistemde hangi karışımın kullanılacağı durumdan duruma farklıdır⁽⁶⁶⁾.

Soğutucu akışkan karışımlarının iki büyük avantajı vardır: 1-Faz değişimi esnasında sıcaklık aralığının oluşması 2- Karışımın oranının değiştirilebilmesi⁽⁶⁶⁾

Soğutucu akışkan karışımı zeotropik ve azeotropik olmak üzere iki kısma ayrılmaktadır. Zeotropik karışımında sabit basınçta faz değişimi esnasında sıcaklık değişmektedir. Dolayısıyla yoğunlaşma sıcaklığı hem basıncın hem de karışım oranının fonksiyonu olmaktadır. Karışımındaki bu sıcaklık aralığı saf bileşenlerin sahip olduğu farklı buharlaşma sıcaklıkları nedeniyledir⁽⁶⁵⁾.

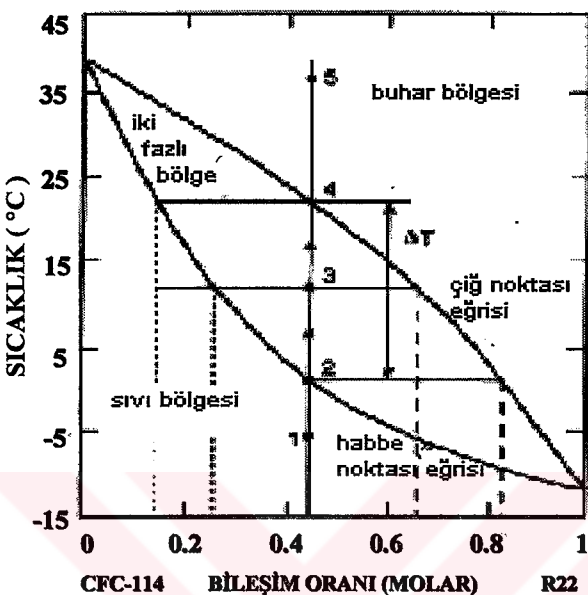
Azeotropik karışımlarda ise bu sıcaklık aralığı oluşmaz. Yani karışım o noktada aynı buhar ve sıvı bileşimine sahiptir. Karışımın sadece belli bir oranında gerçekleşen azeotropik karışım, saf soğutucu akışkan gibi davranıştır. Karışım bileşenlerinin kaynama noktalarındaki farkın küçük olması durumunda bu tür karışımların oluşma ihtimali vardır⁽⁶⁶⁾. Yani saf bir akışkanda yoğunlaşma sıcaklığı sadece basıncın fonksiyonu iken bu karışımlarda basınçla ilaveten karışım oranının da fonksiyonudur.

Zeotropik bir karışım için CFC-114 ve R22 karışımı örnek olarak verilebilir. Bu karışımın faz diyagramı Şekil 1.7.'de görülmektedir. Bu durumda karışım oranının fonksiyonu olarak iki eğri oluşur.

Alttaki eğri habbe noktası eğrisi, üstteki eğri ise çig noktası eğrisidir. Alttaki kısımda karışım sıvı fazındadır, üsttekinde ise buhar fazındadır. Ara bölgede ise karışım iki fazda bulunmaktadır.

Habbe noktası eğrisi, sıvı fazındaki bir karışım durumunda kaynamanın başladığı ve ilk buhar kabarcığınınoluştuğu noktayı gösterir. Bu ilk kabarcık, sıvının bileşiminden farklı bir bileşime sahiptir. Benzer şekilde çig noktası eğrisi de buhar

fazı soğutulduğu zaman ilk damlacıının oluşacağı durumu gösterir ve bu damla açık bir şekilde buhar fazından farklı bir bileşime sahip olacaktır⁽⁶⁶⁾.



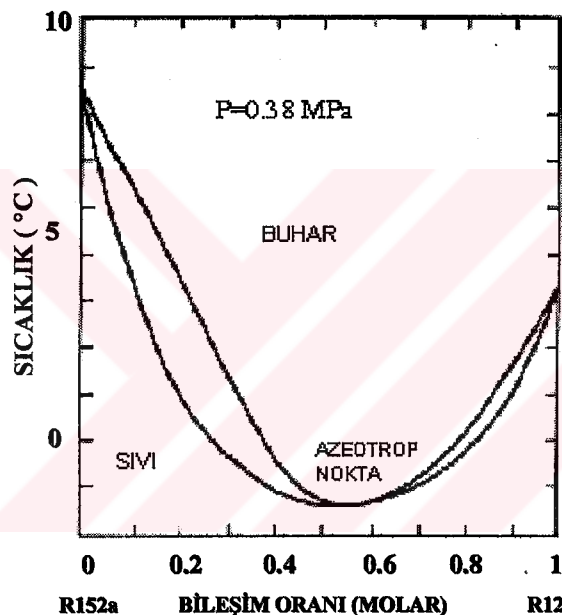
Şekil 1.7. İkili zeotropik karışım için faz diyagramı

Diğer bazı soğutucu akışkan karışımı için, karışım aralığının bir kısmında karışımı ait habbe ve çığ noktası eğrisi çakışacaktır. Dolayısıyla bu noktada bir sıcaklık aralığı oluşmayacaktır. Bu tür karışımlar ise daha önce belirtilen azeotropik karışımlardır. Azeotropik bir karışım için örnek olarak faz diyagramları Şekil 1.8.'de verilen R500 akışkanı gösterilebilir.

Soğutucu akışkan karışımı çözeltidir. Yani mekanik olarak ayırlamayacak bileşenlere sahiptir. Zeotropik karışımlar için en önemli konu faz değişimi esnasında sıcaklığın değişmesidir. Çünkü buharlaşan sıvının bileşimi ve böylece kaynama noktası sürekli olarak değişir. Sistemin ısı değiştiricisinde uygun donanım değişikliği

yapılırsa bu özellik sistemin veriminin artmasına neden olur. Diğer önemli bir konu ise faz değişimi esnasında sıvı ve buhar yüzdelerinin farklı olmasıdır⁽³²⁾.

Bir karışımın faz değişimine maruz kaldığı durumda oluşumu anlamak ve açıklamak için sabit basınçtaki faz değişimiyle ilgilenmek daha kolay olacaktır. Bu durum yaklaşık olarak bir soğutma sistemi veya ısı pompasının buharlaştırıcı ve yoğunşturucusundaki işlemle aynıdır.



Şekil 1.8. R500 azetropunun faz diyagramı

Karışımın bir faydası da Montreal protokolü gereği üretimine son verilecek olan CFC ve HCFC soğutucu akışkanlarının yerine kullanılacak olmasıdır. Bazı karışımalar mevcut ve yeni sistemlerde kullanılmak üzere ticarileştirilmiştir. İlgili karışımaların ozon tüketim potansiyeli yoktur veya en azından değiştirilecek (R12, R22 ve R502 gibi) akışkanlara göre daha az potansiyele sahiptir. Bir başka faydası da, büyük sıcaklık aralıklı karışımalar kullanılarak bazı sistemlerin optimize

edilmesine imkan sağlamasıdır. Isı kaynağı ve/veya ısı kuyusunun sıcaklık değişimiyle sıcaklık aralığı eşlenerek sistem performansı en azından teoride arttırılabilir. Bunu başarmak için ısı değiştirgecinin zıt akışlı olarak tasarılanması önemlidir. Isı kaynağı veya kuyusunun sıcaklık değişimi daha büyükse (mesela en azından 5 K) avantajlar daha da artabilir⁽⁶⁶⁾.

Bazı durumlarda çalışma akışkanının değiştirilmesi herhangi bir probleme yol açmaz. R12'den R134a'ya dönüşüm tecrübeleri kullanılabilir. Basit sistemler karışımalarla daha iyi çalışır fakat kompleks sistemlerdeki problemlerden kaçınmak ve karışımın kullanıldığı sistemi gerçek olarak optimize etmek için daha fazla bilgi ve daha iyi hesaplama aletlerine ihtiyaç duyulur⁽⁶⁶⁾.

1.4.1. Kütiesel Oranları Alternatif Karışımalar

Yapılan çalışmalar sonucu elde edilen ve şu anda kaynaklarda bulunan R12, R22 ve R502 alternatifleri karışımalar, oranlar kütlesel olmak üzere aşağıda sıralanmıştır^(8,26,30,33,34,36,38,40,48).

R12 için

- 1) R290/R600a (40/60, 43/57, 48/52, 50/50, 56/44, 60/40, 70/30, 80/20, 90/10)
- 2) R152a/R134a (14/86)
- 3) R600a/R134a (18/82)
- 4) R290/R134a (5/95)

R22 için

- 1) R32/R125/R134a (30/10/60, 10/70/20)
- 2) R32/R125/R290/R134a (20/55/5/20)

- 3) R32/R134a (25/75, 30/70)
- 4) R32/R125 (50/50)
- 5) R290/R134a (46/54)

R502 için

- 1) R32/R125/R143a (10/50/40, 10/45/45)
- 2) R125/R143a/R134a (44/52/4)
- 3) R32/R125/R134a (20/40/40)
- 4) R125/R143a/R290 (50/45/5)
- 5) R125/R290/R134a (70/10/20, 50/5/45)

Bu karışımlardan bir kısmı zeotropik bir kısmı da azeotropik karışımlardır.

1.4.2. Karışımları Karşılaştırma Yöntemleri

Saf akışkanlarla alternatif karışımların karşılaştırılmasında farklı yöntemler kullanılmaktadır. Bunlardan birincisi buharlaşma ve yoğunma sıcaklıklarının eşit alınmasıyla yapılan karşılaştırmadır⁽²⁷⁾. Karışımlarda faz değişiminde sıcaklık farkı olduğu için bu karşılaştırmada farklı durumlar ortaya çıkmaktadır. Buharlaştırıcı ve yoğunşturucuya giriş sıcaklıklarının eşit alınması, buharlaştırıcı ve yoğunşturucudan çıkış sıcaklıklarının eşit alınması, buharlaştırıcıdan çıkış ve yoğunşturucuya giriş sıcaklıklarının eşit alınması, karışımlardaki sıcaklık değişimlerinin ortalamalarının eşit alınması vb. Sıcaklıkların eşit alınması önemli bir kılavuzdur. Çünkü her bir saf akışkan belli sıcaklıklara kadar soğutma yapabilmekte ve istenen sıcaklıklar için uygun soğutucu akışkan seçilmektedir.

İkinci karşılaştırma yöntemi ise soğutma yükünü sabit alarak yapılmaktadır⁽⁴⁴⁾. Bu yöntemde buharlaştırıcı ve yoğunsturucu büyüklükleri ile soğutucu akışkanların ısı transfer özellikleri sabit alınmaktadır.

1.5. Ekserji Analizi

Katı haldeki bir maddenin molekülleri birbirlerine göre hareket etmezken gaz fazında moleküller rasgele bir hareket içindedirler. Yani bir sistem daha düzensiz bir hal alıkça moleküllerin konumu belirsizleşecektir. Bu durum moleküller düzensizlik olarak tanımlanan ‘entropi’ kavramıyla açıklanmaktadır. Termodinamiğin 2. Yasası, evrendeki tüm oluşların düzensizlik artacak yönde gelişliğini ifade eder. Entropi, enerji gibi korunan bir özellik değildir; dolayısıyla bir hal değişimi sırasında düzensizlik artışının ifadesi olan bir miktar entropi üretimi söz konusudur.

Termodinamiğin 2. Yasası aynı zamanda farklı enerji formları arasında oluşan düzensizlik miktarına dayalı olarak enerji dönüşüm sınırlarını da belirler. Enerji kalitesi bu dönüşümü gerçekleştirme kapasitesi ile eşleştir. Isıl işlemlerin performansı incelenirken enerji kalitesi dikkate alınmazsa yanlış sonuçlara ulaşılabilir. Bu nedenle standart bir enerji kalitesinin belirlenmesi gereklidir.

Enerji çeşitlerini iki gruba ayırmak mümkündür;

- 1- Kinetik ve potansiyel enerji gibi başka enerji çeşitlerine tamamen dönüştürebilen enerjiler, düzenli enerji olarak da bilinir.
- 2- Isı ve kimyasal enerji gibi başka enerji çeşitlerine kısmen dönüşenler (düzensiz enerji).

Değişik enerji şekilleri arasında olabilecek dönüşümleri, ısı transferlerinin hangi yönlerde olacağı ve herhangi bir işlemin veya kimyasal reaksiyonun gerçekleşip gerçekleşmeyeceğini belirlemek için entropinin artımı şartı kullanılabilir.

1.5.1. Ekserji

Enerji kalitesinin ısıl işlemlerin analizinde dikkate alınması gerektiği belirtilmişti. Bu sebeple, bir sistemin başlangıç ve son hallerindeki iş potansiyelini gözönüne alan bir standart, enerji kalitesi açısından bir fikir verebilecektir. Ekserji olarak isimlendirilecek böyle bir standart, çevre şartları referans olarak alınan bir enerji dönüşüm işleminde elde edilebilecek maximum iş olarak tanımlanır. Yani bir başka enerji türüne tamamen dönüştürülebilir enerjiye ekserji denir. Enerjinin işe dönüsmeyen kısmı kayıp iş olarak adlandırılır. Anerji olarak da bilinen bu kayıp başka bir enerji türüne dönüşmez. Dolayısıyla bütün enerji türleri için

$$\text{Enerji} = \text{Ekserji} + \text{Anerji} \quad (1.1)$$

eşitliği yazılabilir.

Kinetik enerji, potansiyel enerji, mekanik iş ve elektrik enerjisi tamamen ekserjidenden ibarettir. Buna karşılık akışkanın çevre durumundaki iç enerjisi, çevrenin iç enerjisi veya ısısı tamamen anerjidenden ibarettir. Sıcaklığı çevre sıcaklığından farklı olan ısının veya iç enerjinin başka enerjiye dönüştürülebilir kısmı ekserji geri kalanı ise anerjidir.

Tersinir işlemlerde ekserjinin tamamı başka enerjiye dönüşürken, tersinmez işlemlerde bir miktarı ısiya dönüşür. Dolayısıyla tersinmez işlemlerde ekserjinin bir miktarı anerjiye dönüşür. Fakat anerjiyi ekserjiye dönüştürmek imkansızdır.

Enerji dengesinde kontrol bölgesini geçen enerji transferinin üç tipi vardır. Bunlar iş, ısi ve kütle transferi ile eşleşen enerji transferidir. Ekserji dengesinde ise enerji dengesinde enerji transferine karşı gelen ekserji transferi tanımlaması yapılacaktır. Yani iş, ısi ve kütle transferi ile eşleşen ekserji transferi gibi.

Ekserji metodunda kullanılan çevre kavramı, mükemmel bir termodinamik dengenin mevcut olduğu ortam için kullanılır. Çevre iş yapma potansiyeline sahip değildir. Fakat çevrenin dışında kalan herhangi bir ortam çevreye göre iş yapma potansiyelindedir. Bu özelliği ile çevre, iş potansiyelini ölçmek için bir referans olarak kullanılır. Çevre olarak atmosfer, denizler, okyanuslar ve yer kabuğu düşünülebilir. Çevre, kendi dışındaki sistemlerle ısil, mekanik ve kimyasal etkileşime maruz kalır ve ısil, mekanik ve kimyasal potansiyel için sıfır referans seviyelerini belirler.

Diğer taraftan ekserji metodunda kullanılmak üzere sınırlı ve sınırsız denge kavramından bahsedilir. Sınırlı denge sistem ve çevre arasındaki mekanik ve ısil denge şartlarında oluşur. Bu denge şartlarında sistem ve çevresi arasında kimyasal denge yoktur, fakat basınç ve sıcaklık eşittir. Sınırsız denge ise, sistem ve çevresi arasında mekanik, ısil ve kimyasal denge şartlarında oluşur. Ayrıca basınç ve sıcaklığı ek olarak kimyasal potansiyellerinde de eşitlik vardır.

1.5.2. Tersinirlik ve Tersinmezlik

Bu kavramlar termodinamikte ve özellikle ekserji metodunda önem taşımaktadır. Tersinir bir işlemi tam olarak gerçekleştirmek mümkün değildir. Fakat bu metotla, ideale yakınlığı belirlemek ve matematiksel olarak bir sistemi tanımlamak kolay olduğundan faydalı bir kavramdır. Tersinmez işleme, evrende kaçınılmaz olarak düzensizliğe gidiş ve dolayısıyla bir entropi artışı eşlik eder. Bu durum enerjinin daha düzenli yapıdan büyük mertebede bir düzensizliğe doğru değişim gösterdiğini açıklar.

Tersinmez işlemlerde iki grup olayla karşılaşılır. Birincisi işin sistemin iç enerjisine direk dönüşümüdür. Bu kayıp, katı veya akışkan sürtünmesi, mekanik veya elektrik histerizis gibi işlemlerde ortaya çıkar. Diğer grup, anlık dengesiz işlemlerden kaynaklanır. Böyle bir işlemde bir sistem kotolsuz bir tarzda dengesiz bir halden dengeli hale hareket eder. Bu gruptaki tipik olaylar anlık kimyasal reaksiyonlar, serbest difüzyon, kontolsuz genişleme ve sıcaklık eşitlenmesidir. Tersinmez işlemler bu iki gruba ait olayların karışımından meydana gelir.

Böylece bir işlemin tersinirliği

- 1- Sistem bir dizi dengeli hallerden geçerse yani işlem sanki-statik olarak gerçekleşirse,
- 2- Sistem kayıp işle sonuçlanacak olaylardan temizlenirse, gerçekleşir.

1.5.3. İş ve İşi Transferi ile Eşleşen Ekserji

Enerjinin belirli bir formunun iş değerinin ölçüsü ekserji olarak tanımlandığı için işin ekserjiye eşit olduğu söylenebilir. Böylece ekserji hem büyülüklük hem de yön olarak iş transferi ile eşleşir. İş için kullanılan aynı W simbolü ekserji için de

kullanılır. Benzer tarzda W_x ile gösterilen iş transfer hızı ekserji transfer hızı için de kullanılacaktır.

Bir kontrol yüzeyinden gerçekleşen ısı transferinin ekserjisi, ısı transferinden elde edilebilen maximum iş miktarı kadardır. Bu transferde çevre sıfır dereceli ısıl enerji deposu olarak kabul edilir. Isı transferinin kontrol yüzeyinde T_r sıcaklığında ve Q_r ısı transfer hızı için, ısıl enerjiden maximum dönüşüm hızı,

$$W_{\max} = E^Q = Q_r \tau \quad (1.2)$$

eşitliği ile verilir. Eşitlikte yer alan τ , boyutsuz ekserjetik sıcaklığıdır ve,

$$\tau = 1 - \frac{T_0}{T_r} \quad (1.3)$$

eşitliği ile verilir. Bu değer aynı zamanda, T_0 sıcaklığındaki çevre ile T_r sıcaklığındaki ısı kaynağı arasında çalışan Carnot ısı makinasına ait ısıl verimdir. Isı transferi hızı ile eşleşen ekserji, ısıl ekserji akışı olarak bilinir ve eşitlikte görüldüğü gibi E^Q ile gösterilir. E^Q 'nın işaretini Q_r ile aynıdır. $T_r > T_0$ için, $\tau > 0$ olur ve kontrol bölgesinin ekserji kazanımı anlamını taşır.

Isı transferinin kontrol yüzeyinde değişik sıcaklık noktalarında gerçekleşmesi durumunda, Q_A ile gösterilen birim alan başına düşen ısı transfer hızı biliniyorsa, A ısı geçiş alanı olmak üzere ısıl ekserji akışı,

$$E^Q = \int_A \left(\frac{T - T_0}{T} \right) Q_A dA \quad (1.4)$$

eşitliği ile hesaplanır. Fakat işlemleri kolaylaştırmak için sıcaklık dağılımının düzgün olduğu kontrol yüzeyi seçilir. Kontrol yüzeyinin yeri ise dikkatli seçilmelidir. Çünkü bu durum genelde ısıl ekserji akışına etki edecektir.

1.5.4. Madde Akışı ile Eşleşen Ekserji ve Terimleri

Kararlı bir madde akışının ekserjisi, akış başlangıç halinden ölü hale geldiğinde elde edilebilecek maximum iş miktarıdır. Bu tarifte akışın sadece çevreyle etkileşime girdiği kabul edilir. Buradan da anlaşılacığı gibi madde akışının ekserjisini, akış hali ve çevre hali belirler. Enerjide olduğu gibi madde akışı ekserjisi de E ile gösterilir. Ekserji, bu durumda kinetik, potansiyel, fiziksel ve kimyasal ekserjilerin toplamına eşittir.

Madde akışının kinetik ve potansiyel enerjisi, enerjinin düzenli formları olduğu için tamamiyle işe çevrilebilir.

1.5.4.1. Fiziksel Ekserji

Düzensiz enerji formlarından ekserjinin türetilmesinde ilk unsur fiziksel ekserjidir. Madde akışı, çevreyle sadece ısıl etkileşimde olan fiziksel işlemlerle, başlangıç halinden P_0 ve T_0 olarak belirlenen çevre haline getirildiğinde elde edilebilen maximum iş miktarı fiziksel ekserji olarak tanımlanır.

İç tersinmezlikleri dışlayabilmek üzere, madde akışının tersinir işlemlere maruz kaldığı bir kontrol hacminde, giriş halinin P_1 basıncı ve T_1 sıcaklığı; çıkış

halinin ise çevre haline karşı gelen P_0 basıncı ve T_0 sıcaklığı olması durumunda, birim kütle başına transfer edilen ısı miktarı,

$$(q_0)_{ter} = T_0(s_0 - s_1) \quad (1.5)$$

eşitliği ile hesaplanır. Kontrol bölgesinde kararlı akış için enerji denklemi de,

$$(q_0)_{ter} - (W_x)_{ter} = h_0 - h_1 \quad (1.6)$$

eşitliği ile verilir. Kontrol hacminden çıkan tersinir iş, akışın özgül fiziksel ekserjisine eşittir ve yukarıdaki eşitlikler kullanılarak şöyle hesaplanır:

$$\epsilon_{fizl} = (W_x)_{ter} = (h_1 - T_0 s_1) - (h_0 - T_0 s_0) \quad (1.7)$$

Eşitlikte yer alan ($\beta = h - T_0 s$) terimlerine özgül ekserji fonksiyonu adı verilir ve bu fonksiyon, çevre halindeki maddenin Gibbs fonksiyonu ile aynıdır. Başlangıç hali ‘1’, çıkış hali ‘0’ indisi ile gösterilirse, özgül ekserji farkı cinsinden fiziksel ekserji,

$$\epsilon_{fizl} = \beta_1 - \beta_0 \quad (1.8)$$

eşitliği ile bulunur. Özgül ekserji fonksiyonu, çevre halindeki maddenin Gibbs fonksiyonu ile aynıdır.

Fiziksel işlemlerin analizinde, genellikle olayın iki ayrı hâli için fiziksel ekserji farklı hesaplanır.

$$\epsilon_{fiz1} - \epsilon_{fiz2} = (h_1 - h_2) - T_0(s_1 - s_2) \quad (1.9)$$

eşitliğiyle verilen bu ifadeye dikkat edilirse, çevre parametrelerinden sadece T_0 değerinin etki ettiği görülür.

Madde akışının fiziksel ekserjisi, sıcaklık ve basınç bileşeninden oluşur. Sıcaklık bileşeni, ısıl ekserji ile benzer özelliklere sahiptir ve aşağıda verilen eşitlik ile gösterilir:

$$\epsilon_1^{\Delta T} = \left[- \int_{T_i}^{T_0} \frac{T - T_0}{T} dh \right]_{P_1} \quad (1.10)$$

Basınç bileşeni ise basınç farkından doğar ve,

$$\epsilon_1^{\Delta P} = T_0(s_0 - s_i) - (h_0 - h_i) \quad (1.11)$$

eşitliği ile hesaplanır. $T_0(s_0 - s_i)$ terimi tersinir ısı geçişini, $(h_0 - h_i)$ terimi ise akışkanın ideal olmayan davranışından doğan enerji kaybını gösterir.

1.5.4.2. Kimyasal Ekserji

Madde akışı, çevre ile sadece madde alışverişi yapılan ve ısı transferine maruz kalan işlemlerle, çevre halinden ölü hale getirildiğinde elde edilebilecek maximum iş miktarı ‘kimyasal ekserji’ olarak tanımlanır. Fiziksel ekserjiyi belirlerken akımın son hali çevre hali iken kimyasal ekserjide çevre hali başlangıç hali olarak alınmaktadır.

Bir başka ifade ile kimyasal ekserji, maddenin hali çevre haliyle örtüştüğü zamanki madde akışının ekserjisidir. Tersinmezlik kavramından hareketle de kimyasal ekserji, çevre haline geçmek için gerekli minimum iş miktarıdır diye tanımlanır.

Madde akışının ekserjisini kendisinin ve çevrenin kimyasal potansiyelleri arasındaki farkla tesbit etmek için, akımın kimyasal elementlerinin özellikleri çevredeki bu elementlere uygun maddelerin seçimi ile belirlenir. Bu referans maddeleri çevre ile tamamiyle dengede olmalıdır. Standart referans maddeleri tablolar halinde verilmektedir.

Kimyasal ekserjinin ilk tarımında verilen maximum iş miktarı, işlemin tamamiyle tersinir olması durumunda elde edilebilir. Bu işlemde başlangıç hali, P_0 ve T_0 ile belirlenen çevre halidir. Son hal ise P_{00} ve T_0 ile belirlenen ölü haldır. P_{00} , kısmi basıncı gösterir. Dikkat edilirse işlemin başlangıç ve bitiş hali için T_0 sıcaklığı geçerlidir. Yani maximum iş, tersinir izotermal işlemle gerçekleşmektedir. Böylece mol başına kimyasal ekserji

$$\bar{\varepsilon}_{\text{kim}} = \bar{R} T_0 \ln \frac{P_0}{P_{00}} \quad (1.12)$$

eşitliği ile verilir.

Kimyasal ekserji, çevrenin referansı ile ilgili olduğu için bu referans kimyasal reaksiyonu hesaplamak için esas teşkil eder. Aşağıdaki hallerde kimyasal ekserji dikkate alınmaz:

- 1- İşlem kimyasal reaksiyonu içermiyorsa,
- 2- Kontrol yüzeyini geçen akımın kimyasal özelliği değişmiyorsa,
- 3- Çevre ile madde alışverişi bulunmuyorsa ve
- 4- Giren ve çıkan akımların ekserjisi ekserji dengesine katılmıyorsa.

Bu şartlar altında ekserjinin değeri relatif değerler olarak tablolarda verilir.

Bu değerler,

$$\varepsilon = h - T_0 s - \beta_a \quad (1.13)$$

eşitliği ile verilir. Bu eşitlikte yer alan β_a nın hesabı, h_a ve s_a özellikleriyle belirlenen a referansına göre

$$\beta_a = h_a - T_0 s_a \quad (1.14)$$

eşitliği ile yapılacaktır.

1.5.5. Kontrol Bölgesi Analizi

1.5.5.1. Ekserji Dengesi

Ekserji dengesi, ekserjinin azalması yasası diye ifade edilir. Kontrol bölgесine veya kontrol bölgесinden ekserji akışı, maddenin girişi, çıkışı, ısı transferi ve iş transferi ile eşleşir. Ekserji transferinin bu farklı bileşenleri genel olarak pozitif veya negatif işaretе sahip olabilir.

Kontrol bölgесine ekserji akışı, kontrol bögesinden olan ekserji akışından daima büyütür. İki arasındaki farklılık, ekserji kaybının hızını verir ve tersinmezlik hızı olarak bilinir. Bu durum bütün gerçek işlemlere uygulanabilir. Tersinir bir işlemde ekserjinin giriş ve çıkış değerleri eşittir. Bundan dolayı tersinmezlik hızı sıfırdır.

Ekserji dengesi,

$$\dot{E}_g + \dot{E}^Q = \dot{E}_f + \dot{W}_x + \dot{I} \quad (1.15)$$

eşitliği ile verilir. Bu eşitlikte yer alan ifadeler,

$$\dot{E}_g = \sum_g m\epsilon \quad (1.16)$$

$$\dot{E}_f = \sum_f m\epsilon \quad (1.17)$$

$$\dot{E}^Q = \sum_r \left[Q_r \frac{T_r - T_0}{T_r} \right] \quad (1.18)$$

$$\epsilon = (h - T_0 s) - (h_0 - T_0 s_0) + \epsilon_0 + \frac{C_0^2}{2} + g_E Z_0 \quad (1.19)$$

eşitlikleriyle verilir. Kontrol bölgesi ve çevre arasında madde alışverişinin olmadığı fiziksel işlem durumlarında kimyasal ekserji ve $(h_0 - T_0 s_0)$ terimi ekserji dengesinde ihmal edilecektir.

1.5.5.2. Gouy-Stodola Bağntısı

Açık sistem için tersinmezlik hızının en genel şekli,

$$I = T_0 \prod \quad (1.20)$$

eşitliği ile verilir. Bu eşitlik, çevre sıcaklığı ve işleme katılan bütün sistemler için entropi üretim hızının sonucunu verir. Bu eşitlikteki \prod , aşağıdaki gibi hesaplanır:

$$\dot{\Pi} = \sum_{\text{f}} m_f s_f - \sum_{\text{g}} m_g s_g - \sum_{\text{r}} \frac{Q_r}{T_r} \quad (1.21)$$

Sağdaki ilk iki terim kontrol bölgese giren ve çıkan madde akışı ile eşleşen entropi akısını verir. Son terim ise, ısil entropi akılarının toplamını verir. (1.21) ve (1.15) nolu eşitlikler birbirleriyle bağlantılıdır. Her ikisi de kontrol bölgesi için tersinmezlik hızını hesaplamada kullanılabilir.

1.5.5.3. Tersinmezlik Hızı ve Kontrol Yüzeyi

Ekserji metodunun bir özel faydası da işlem tersinmezliklerinin nümerik değerlerinin hesaplanabilmesidir. Gouy-Stodola bağıntısında görüldüğü gibi kontrol bölgesindeki tersinmezlik hızı, çevre sıcaklığı ve entropi üretim hızı kullanılarak bulunur. Entropi üretimi, fiziksel yüzeylerde meydana geldiği için fiziksel yüzeyin sınırları konrol yüzeyi ile açıkça belirlenmelidir. Bu durum bazen mevcut çevredeki iç ve dış tersinmezlikleri ayırmak için kullanılır.

Tesislerde ve bileşenlerinde tersinmezlik hızı ile kayıplar tesbit edilir, karşılaştırılır ve en büyük kaybın olduğu yer belirlenir.

1.5.6. Oransal Verim

ısil tesislerin performansını değerlendirmek amacıyla genelde iki tip kriter tanımlanır. Bunların birincisi enerji dönüşüm oranları, yani ayrıntılı ısil verim ve performans katsayılarıdır. Bu kriter, ısil tesislerin bütününe performansını

hesaplamak için kullanılır. Diğer kriter ise tesis bileşenlerine uygulanan gerçek ve ideal sonuçları veren oranlardır. Bunlara, izentropik verimler, ıslı oran ve mekanik verim örnek olarak verilebilir. Bu kriterlerin hesaplanması, enerjinin bütün formları eşdeğer olarak alınır. Yani 2. Yasa kullanılmaz.

Isı tesislerin ekserji analizinde enerji kalitesi inceleneceği için performans katsayıları yerine ekserjiye dayalı bir verim tanımlaması yapılır.

Kararlı şartlarda bir işleme maruz kalan bir sistem için işlem tamamen kayıplı olmadığı sürece ekserji transferleri, işlemin girdi ve çıktısını gösterecek gruplara ayrılabilir. Ekserji girdi ve çıktıları farklı formlar alabilirler. Bunlara iş veya ısı transferi ile eşleşen ekserji, kontrol bölgesi içinde veya dışında madde akışı ile eşleşen ekserji transferi örnek olarak gösterilebilir. Ekserji girişi veya çıkışı olmayan ekserji dengesinde ekserji transfer terimleri bulunmaz.

Bir kontrol hacminde tüm tersinmezlikleri içine alacak şekilde, giren ve çıkan ekserji değerleri toplamı dikkate alınarak ekserji dengesi,

$$\sum \Delta \dot{E}_g = \sum \Delta \dot{E}_e + \dot{I} \quad (1.22)$$

eşitliği ile verilir. Eşitlikteki ekserji terimleri iş, ısı veya madde akışına karşı gelen ekserji miktarları olabildiği gibi bir sistem için net ekserji değişim miktarını da gösterebilir. 2. Yasa gereği birim zamandaki tersinmezlik değişimi pozitif olacağı için,

$$\frac{\sum \Delta \dot{E}_e}{\sum \Delta \dot{E}_g} \leq 1 \quad (1.23)$$

bağıntısı elde edilir. Böylece bir kontrol hacminden çıkan ekserjinin giren ekserjiye oranı ‘1’den küçüktür. Bu değer tersinirlik durumunda ‘1’ olacaktır. Ekserjiye bağlı olarak bulunan bu değer ‘Oransal Verim’ olarak adlandırılır ve

$$\psi = \frac{\sum \Delta \dot{E}_g}{\sum \Delta \dot{E}_s} = 1 - \frac{\dot{I}}{\sum \Delta \dot{E}_g} \quad (1.24)$$

eşitliğiyle verilir.

Bu bölümdeki bilgiler (71,72,73,74) nolu kaynaklar kullanılarak hazırlanmıştır.

1.6. Hal Denklemleri

Soğutma sisteminin dizaynında çalışma akışkanlarının termodinamik özelliklerinin bilinmesi çok büyük önem taşır. Karışma katılabilcek akışkan sayısının fazlalığı ve karışım oranlarının değişebilirliği dikkate alınırsa bütün alternatifler için soğutucu akışkanların termodinamik özelliklerinin deneysel olarak belirlenmesinin güclüğü ortaya çıkar⁽²⁾. Bundan dolayı akışkanların termodinamik özelliklerinin matematiksel formülasyonu olan hal denklemlerini kullanma zorunluluğu doğmuştur.

Bir maddenin basıncı, sıcaklığı ve özgül hacmi arasındaki ilişkiyi veren herhangi bir bağıntiya hal denklemi denir. Denge halinde bir maddenin diğer özellikleri arasındaki ilişkileri veren bağıntılara da hal denklemi denir. Bazıları çok basit bazıları çok karmaşık olan birçok hal denklemi vardır. Bu denklemlerin en basit

ve en çok bilineni mükemmel gaz denklemidir. Bu denklem belirli sınırlar içinde gazların P-v-T ilişkisini oldukça hassas biçimde verir.

Bir hal denklemi bir akışkanın termodinamik özelliklerinin matematiksel formülasyonudur. Uygun bir şekilde formüle edilmiş hal denkleminin (yardımcı denklemelerle de birlikte olabilir) geniş sıcaklık ve basınç aralıklarında ve deneysel veri belirsizlikleri içinde deneysel özellik verilerini elde edebilmesi mümkündür⁽⁶⁷⁾. Bir hal denklemi bazı bireysel özelliklerin basit matematiksel bağıntısından ayrılır. Bu bağıntılar türev ve integral sayesinde entropi gibi doğrudan ölçülemeyen termodinamik özelliklerin tamamını verir.

Saf akışkanların termodinamik özelliklerini hesaplamak için geçen yüzyılda çok sayıda empirik modeller geliştirilmiştir. Bu modeller veya hal denklemleri genellikle üç kategoriye ayrılır: Etki katsayılı denklemler, bunları takip eden klasik van der Waals yaklaşımı ve çok parametreli denklemler. Van der Waals yaklaşımı kübik hal denklemlerini ihtiva eder. Çok parametreli denklemler ise basınç dayalı denklemleri ve temel denklemleri içerir.

Bu modeller sadece saf akışkanların özelliklerinin tahmini için değil aynı zamanda karışımların özelliklerini hesaplamak için de genişletilebilirler. Bu modellerin tamamı en azından karışımın bir fazındaki P-v-T özelliklerini hesaplamak için kullanılabilir. Sıvı ve buhar fazlarının her ikisinde de P-v-T özelliklerinin hesaplanıldığı bu modellerde genel olarak sıvı-buhar dengesi (VLE) özellikleri de hesaplanabilir. Kübik hal denklemleri kullanıldığında VLE hesaplamaları genelde P-v-T hesaplamalarına göre daha iyidir. Temel denklemden geliştirilen modeller ses hızı ve ısı kapasitesini hesaplamak için de kullanılabilir⁽⁶⁷⁾.

Mükemmel gaz denklemi basit ve kullanışlıdır. Fakat gazlar moleküller dizilişteki farklılaşma sonucu kritik nokta ve doyma eğrisi yakınılarında mükemmel gaz davranışından önemli ölçüde uzaklaşırlar. Verilen bir sıcaklık ve basınçta mükemmel gaz davranışından sapma, Z sıkıştırılabilme faktörü olarak tanımlanan bir parametre kullanılarak gösterilebilir. Bu çarpan,

$$Z = \frac{Pv}{RT} = \frac{v_{\text{gerçek}}}{v_{\text{mükemmel}}} \quad (1.25)$$

şeklinde ifade edilir. Burada $v_{\text{mükemmel}} = RT/P$ olmaktadır. Doğal olarak mükemmel gazlar için $Z=1$ 'dir. Gerçek gazlar için Z , 1'den büyük veya küçük olabilir. Z , 1 değerinden ne kadar uzaklaşırsa mükemmel gaz davranışından sapma da o kadar büyük olur.

Bir maddenin sıcaklığına veya basınçına yüksek veya düşük diye bilmek için kritik sıcaklığını ve basınçını göz önüne almak gereklidir. Değişik gazlar verilen bir basınç veya sıcaklıkta birbirinden farklı davranışları, fakat kritik sıcaklık ve basınçlarına göre indirgenmiş sıcaklık ve basınçlarda davranışları birbirine benzer. İndirgenmiş sıcaklık T_R ve indirgenmiş basınç P_R aşağıdaki gibi tanımlanır:

$$P_R = \frac{P}{P_{\text{cr}}}; \quad T_R = \frac{T}{T_{\text{cr}}} \quad (1.26)$$

Z , aynı indirgenmiş sıcaklık ve basınçta tüm gazlar için yaklaşık olarak aynı değere sahiptir. Bu olguya karşılıklı haller (corresponding states principal) ilkesi adı verilir. İndirgenmiş basınç ve indirgenmiş sıcaklığa dayalı olarak tüm gazlar için geçerli olacak şekilde genelleştirilmiş sıkıştırılabilme diyagramı elde edilmiştir. Bu diyagramdan aşağıdaki gözlemler yapılabilir⁽⁵⁹⁾:

- Çok düşük basınçlarda ($P_R \ll 1$) gazlar sıcaklık ne olursa olsun mükemmel gaz gibi davranışırlar.
- Yüksek sıcaklıklarda ($T_R > 2$), basınç çok yüksek ($P_R \ll 1$) olmadığı sürece gazlar mükemmel gaz gibi davranışırlar.
- Mükemmel gaz davranışından uzaklaşma en çok kritik nokta yakınlarında olur.

Mükemmel gaz hal denklemi basit olmakla birlikte kullanım alanı sınırlıdır. Maddelerin P-v-T ilişkilerini daha geniş sınırlar içinde herhangi bir kısıtlama olmadan ifade eden hal denklemlerine gerek duyulur. Bu denklemler doğal olarak daha karmaşıktır.

Önceleri hal denklemleri akışkanların sadece buhar fazının davranışını belirlemek için kullanılmıştır. Daha sonra ise sıvı fazlar için de kullanılmaya başlanmıştır. Böylece bu denklemler sıvı ve buhar fazlarının her ikisinin de P-v-T davranışını belirlemek için kullanılmaktadır.

Hal denklemleri sadece saf akışkanların özelliklerini tahmini için değil aynı zamanda karışıntıların özelliklerini hesaplamak için de genişletilebilirler.

1.6.1. Etki Katsayılı Hal Denklemi

Etki katsayılı hal denklemi sıkıştırılabilme faktörünü tanımlamak için özgül hacme bağlı güç serisini kullanır. Bir maddenin hal denklemi seri toplamı olarak da ifade edilebilir:

$$P = \frac{RT}{v} + \frac{RTB}{v^2} + \frac{RTC}{v^3} \Lambda \quad (1.27)$$

Bu ve buna benzer denklemler, etki katsayılı hal denklemleri; sadece sıcaklığın fonksiyonu olan $B; C, \dots$ ve benzeri katsayılar da ikinci, üçüncü, ... derece etki sayıları diye adlandırılır. Bu denklem özgül hacme bağlı güç serisi olmasına rağmen istatistiksel mekanik modellerden türetilabilir. Her bir etki katsayısı moleküller arasındaki özel tip bir etkileşimi açıklar. İkinci etki katsayısı ikili etkileşimi açıklar, üçüncü ise üçlü etkileşimi.

Etki kat sayılı hal denklemi sadece buhar fazındaki özelliklere uygulanabilir. Prensipte bu hal denklemi bütün hallere uygulanabiliyorken pratikte üçüncü dereceden daha büyük etki katsayıları deneylerden kolaylıkla bulunamaz ve böylece bu denklem geniş aralıklı formülasyonlar için kullanışlı değildir. İkinci ve üçüncü etki katsayıları 0.5 değerindeki kritik yoğunluğa kadar polar olmayan gazların buhar fazlı özelliklerini göstermek için genellikle yeterlidir. HFC soğutucu akışkanlar gibi polar akışkanlar içinse kabul edilebilir bölge küçütlür. Bu denklemeler karışımlara da uygulanabilmektedir.

Doğal olarak basınç sıfırı giderken etki katsayıları da sıfır yaklaşacak, böylece denklem mükemmel gaz hal denklemine indirgenmiş olacaktır. Genelde ikinci terimde kesilir ve

$$Z = 1 + \frac{BP}{RT} = 1 + \frac{B}{v} \quad (1.28)$$

şekline indirgenir.

1.6.2. Van der Waals Yaklaşımı (Kübik Hal Denklemleri)

Kübik hal denklemi ismi 1., 2. ve 3. derece hacim terimlerini içermesinden dolayı verilmiştir. Kübik denklemlerin avantajlarından biri iterasyon yapmaksızın köklerin bulunmasıdır. Bununla birlikte kübik denklemle eşleşen hatalar, temel hal denklemleriyle hesaplananlara göre daha yüksektir. En iyi bilinen kübik hal denklemleri Van der Waals, Redlich-Kwong (RK), Soave ve Peng-Robinson (PR) denklemleridir.

1.6.2.1. Van der Waals Hal Denklemi

Bu denklemler içinde en eskipidir. Maddenin kritik noktadaki davranışından belirlenen iki sabiti vardır. Aşağıdaki şekilde

$$\left(P + \frac{a}{v^2} \right)(v - b) = RT \quad (1.29)$$

ve farklı bir düzenlemeyle

$$P = \frac{RT}{v - b} - \frac{a}{v^2} \quad (1.30)$$

şeklinde verilir.

Van der Waals, mükemmel gaz hal denkleminde göz önüne alınmayan iki etkiyi hesaba katarak, mükemmel gaz hal denklemini iyileştirmeyi amaçlamıştır. Bunlar moleküller birbirine çeken kuvvetler ve moleküllerin kapladığı hacimdi. Denklemdeki a/v^2 terimi moleküller arası kuvvetleri, b terimi ise gaz moleküllerinin

kapladığı hacmi hesaba katar. Van der Waals bu durumu, mükemmel gaz hal denkleminde v yerine $(v-b)$ kullanarak göz önüne almıştır.

Bu denklemde yer alan iki sabitin değerleri kritik noktadan geçen eşsizlik eğrisinin birinci ve ikinci türevlerinin sıfır olduğu gözlemine dayanarak bulunur. Bu nedenle kritik noktada P' nin v 'ye göre birinci ve ikinci türevleri sıfıra eşitlenerek a ve b katsayıları aşağıdaki gibi belirlenir:

$$a = \frac{27R^2T_{cr}^2}{64P_{cr}} \quad b = \frac{RT_{cr}}{8P_{cr}} \quad (1.31)$$

Van der Waals hal denkleminin hassaslığı genellikle yetersizdir, fakat sadece kritik nokta yerine, gerçek gazın daha geniş bir aralıktaki davranışını gözlenerek bulunacak a ve b değerleri ile hassaslık bir ölçüde artırılabilir. Eksikliklerine rağmen Van der Waals denklemi, gerçek gazların davranışını modellemeye yönelik ilk çaba olduğundan tarihi bir öneme sahiptir.

1.6.2.2. Redlich-Kwong Hal Denklemi

Bu denklem aşağıdaki gibi verilir:

$$P = \frac{RT}{v - b} - \frac{a}{v(b + v)} \quad (1.32)$$

Burada

$$a = \frac{0.42748 R^2 T_{cr}^{2.5}}{P_{cr} T^{0.5}} \quad b = \frac{0.08664 RT_{cr}}{P_{cr}} \quad (1.33)$$

ile verilir. Bu hal denklemi iki sabitli diğer denklemler arasında tercih edilmektedir. Kritik bölgeleri birbirinden çok uzak olmayan akışkan karışımılarına da uygulanabilmektedir. Bu hal denkleminde diğer kübik denklemlerde olduğu gibi hacim için üç tane kök değeri çıkar. Fiziksel olarak hacim değeri gerçek ve pozitif sayı olmalıdır. $T > T_{cr}$ olması durumunda pozitif P değeri için gerçek kök çıkmaktadır. $T = T_{cr}$ için de kritik basınç değeri hariç aynı durum geçerlidir. $T < T_{cr}$ olması durumunda yüksek basınçlarda bir kök vardır. Düşük basınçlarda ise üç gerçek kök vardır. En küçük değer sıvı en büyük değer ise buhar hacmini verir. Ortadaki değerin bir önemi yoktur. Direk çözüm yapılabildiği gibi iteratif yöntemle de çözüme gidilebilir. Örneğin buhar fazı hacmini belirlemek için

$$v_{i+1} = \frac{RT}{P} + b - \frac{a(v_i - b)}{Pv_i(b + v_i)} \quad (1.34)$$

eşitliğiyle iteratif çözüm yapılabilir. Başlangıç olarak

$$v_0 = \frac{RT}{P} \quad (1.35)$$

ideal gaz eşitliği kullanılabilir.

1.6.2.3. Soave Hal Denklemi

Redlich-Kwong hal denklemindeki a sabitinde Soave tarafından bir değişiklik yapılarak elde edilmiştir. a sabiti şu şekildedir:

$$a = \frac{0.42748 R^2 T_{cr}^2}{P_{cr}} [1 + (0.48 + 1.574 w - 0.176 w^2)(1 - T_r^{1/2})]^2 \quad (1.36)$$

1.6.2.4. Peng-Robinson Hal Denklemi

Bu denklem aşağıdaki gibidir:

$$P = \frac{RT}{v - b} - \frac{a}{v^2 + 2bv - b^2} \quad (1.37)$$

a ve b sabitleri şöyledir:

$$a = \frac{0.45724 R^2 T_{cr}^2}{P_{cr}} \left[1 + \left(0.37464 + 1.54226w - 0.26992w^2 \right) \left(1 - T_r^{1/2} \right) \right]^2 \quad (1.38)$$

$$b = \frac{0.0778 RT_{cr}}{P_{cr}}$$

Kübik hal denklemleri karışımalar için kullanıldığı zaman a ve b sabitleri karışım yüzdeleriyle beraber hesaplanabilmektedir. İkili bir karışım için aşağıdaki gibi hesaplanarak ilgili hal denklemi kullanılabilmektedir:

$$a = a_1 x_1^2 + 2(1 - k_{12})(a_1 a_2)^{1/2} x_1 x_2 + a_2 x_2^2 \quad b = b_1 x_1 + b_2 x_2 \quad (1.39)$$

Burada x karışım yüzdelerini göstermektedir. k_{12} ise karışım maddeleriyle ilgili bir sabittir.

Bu dört denklemi de içine alacak şekilde iki parametreli kübik denklemler

$$P = \frac{RT}{v - b} - \frac{a}{v^2 + ubv + wb^2} \quad (1.40)$$

bağıntısı ile verilir. Bu bağlantıda u ve w değerleri sıfır alınırsa Van der Waals, $u=1$ ve $w=0$ alınırsa RK, $u=2$ ve $w=-1$ alınırsa PR hal denklemine ulaşılır. Bu ifadenin eşdeğer bir formu

$$Z^3 - (1 + B^* - uB^*)Z^2 + (A^* + wB^{*2} - uB^* - uB^{*2})Z - A^*B^* - wB^{*2} - wB^{*3} = 0 \quad (1.41)$$

şeklinde yazılır. Bu denklemin 3. dereceden olması nedeniyle bu denklemlerin tamamı kübik denklemler olarak isimlendirilir. Burada

$$A^* = \frac{aP}{R^2 T^2} \quad B^* = \frac{bP}{RT} \quad (1.42)$$

ile tanımlanır.

1.6.3. Çok Parametreli Hal Denklemleri

Bu denklemlerde basınç, ideal gazdaki karşılığı olan (RT/v) teriminin yanına birden fazla çarpan ve/veya toplam terimlerin katılmasıyla elde edilmiştir.

1.6.3.1 Carnahan-Starling-De Santis Hal Denklemi

Kritik değerlerle bulunan iki sabiti vardır. Soğutucu akışkanlar ve karışımılarına ait termodinamik özelliklerin belirlenmesinde ve sıvı-buhar dengesi hesaplarında kullanılmıştır.

$$P = \frac{RT}{v} \left[\frac{1+y+y^2-y^3}{(1-y)^3} - \frac{a}{RT(v+b)} \right] \quad (1.43)$$

Burada $y=b/4v$ şeklindedir.

Carnahan-Starling-DeSantis hal denklemi net bir şekilde kübik hal denklemi olmamasına rağmen (çünkü 5. derece hacim ifadesi vardır) aynı karakterdedir. a ve b parametreleri sıcaklığa bağlı deneysel fonksiyonlardır ve kübik hal denklemindeki ile aynı anlamda sahiptirler.

1.6.3.2. Helmholtz Enerji Hal Denklemi

Son zamanlarda saf akışkanlar için yüksek hassasiyetli çoğu hal denklemi, genel formda kullanılan indirgenmiş molar Helmholtz enerjisi ile ifade edilmiştir. Aşağıdaki gibi ifade edilir,

$$\alpha = \frac{A}{RT} = \alpha^{id} + \alpha^r = \ln \delta - N \ln \tau + \sum_i N_i \tau^{t_i} + \sum_k N_k \tau^{t_k} \delta^{d_k} \exp(-\gamma \delta^{l_k}) \quad (1.44)$$

Sağ taraftaki ilk üç terim ideal gaz katkısını (α^{id}) oluşturur. İdeal gaz katkısı şöyle ifade edilir:

$$\alpha^{id} = \frac{H_{ref}}{RT} - \frac{S_{ref}}{T} - 1 + \ln \left(\frac{T\rho}{T_{ref}\rho_{ref}} \right) + \frac{1}{RT} \int_{T_{ref}}^T C_p^{id} dT - \frac{1}{R} \int_{T_{ref}}^T \frac{C_p^{id}}{T} dT \quad (1.45)$$

Burada H_{ref} ve S_{ref} , T_{ref} ve ρ_{ref} ile belirtilenler keyfi olarak seçilen referans hali için entalpi, entropi, sıcaklık ve yoğunluk değerleridir.

Helmholtz enerji eşitliğindeki ikinci toplam, artık (residual) veya gerçek akışkan katkısıdır. Sıcaklık ve yoğunluk boyutsuz değerlerle ($\tau=T^*/T$ ve $\delta=\rho/\rho^*$) ifade edilir. Buradaki T^* ve ρ^* indirgenmiş parametrelerdir, genelde kritik parametrelere eşittir. N_i ve N_k , deneysel veriye dayalı olarak türetilmiş nümerik

katsayılardır. t_i , t_k , d_k ve l_k üsleri bir algoritma ile belirlenir. γ parametresi $l_k=0$ için sıfıra, $l_k \neq 0$ için 1'e eşittir. Bu "Helmholtz Enerji Modeli" R134a için uluslararası standart formülün esasıdır ve bu soğutucu akışkan için termodinamik özelliklerin bütününe ait tanımı verir⁽⁶⁸⁾.

Lemmon ve Tillner-Roth tarafından bağımsız bir şekilde biraz farklı bir formda geliştirilen yeni bir model, karışım kurallarını karışım bileşenlerinin Helmholtz enerjisine uygulayarak karışımların termodinamik özelliklerini hesaplar^(42,69).

$$\alpha_{\text{mix}} = \sum_{j=1}^n [x_j (\alpha_j^{\text{id}} + \alpha_j^r) + x_j \ln x_j] + \sum_{p=1}^{n-1} \sum_{q=p+1}^n x_p x_q F_{pq} \alpha_{pq}^{\text{excess}} \quad (1.46)$$

Bu karışım formülü doğrudan Helmholtz hal denklemine uygulanabilir. Bu denklemdeki ilk toplam, ideal solüsyonu gösterir; n bileşenli karışımındaki saf akışkanların her biri için ideal gaz ve artık/gerçek akışkan terimlerinden ibarettir. $x_j \ln x_j$ terimleri, x_j 'nin j bileşeninin mol yüzdesidir. Çift toplam aşırı Helmholtz enerji veya ideal solüsyondan uzaklaşmayı ifade eder. F_{pq} genelleştirilmiş parametrelerdir; bu parametreler ikili bir çiftin diğerileyile davranışını ilişkilendirir. F_{pq} , $\alpha_{pq}^{\text{excess}}$ terim(ler)i ile çarpılır; bu terimler deneysel ikili karışım verisine uydurulmuş empirik fonksiyonlardır. α_j^r ve $\alpha_{pq}^{\text{excess}}$ fonksiyonları, karışımın T_{mix} ve ρ_{mix} sıcaklık ve yoğunluğunda değil indirgenmiş τ ve δ sıcaklık ve yoğunluğunda dikkate alınır. İndirgenmiş parametreler için karışım kuralları aşağıdaki gibidir.

$$\tau = \frac{T^*}{T_{\text{mix}}}; \quad T^* = \sum_{p=1}^n \sum_{q=1}^n k_{T,pq} x_p x_q (1/2) (T_p^{\text{crit}} + T_q^{\text{crit}}) \\ \delta = \frac{\rho_{\text{mix}}}{\rho^*} ; \quad \frac{1}{\rho^*} = \sum_{p=1}^n \sum_{q=1}^n k_{V,pq} x_p x_q (1/2) \left(\frac{1}{\rho_p^{\text{crit}}} + \frac{1}{\rho_q^{\text{crit}}} \right) \quad (1.47)$$

Kritik sıcaklığı $k_{T,pq}$ ve kritik yoğunluğu $k_{V,pq}$ 'yi birleştiren karşılıklı formlar da kullanılır.

$$T^* = \sum_{p=1}^n x_p T_p^{\text{cr}} + \sum_{p=1}^{n-1} \sum_{q=p+1}^n \zeta_{pq} x_p^{\beta_{pq}} x_q; \quad \frac{1}{\rho^*} = \sum_{p=1}^n x_p \frac{1}{\rho_p^{\text{cr}}} + \sum_{p=1}^{n-1} \sum_{q=p+1}^n \xi_{pq} x_p x_q \quad (1.48)$$

Sadece sınırlı sıvı-buhar dengesi verisi kullanılabilirse, $\alpha_{pq}^{\text{excess}}$ terimi sıfır alınabilir ve sadece $k_{T,pq}$ ve/veya $k_{V,pq}$ parametreleri kullanılabilir. Lemmon⁽⁴⁾ tarafından, hidrokarbonlar, inorganik moleküller (CO_2 da dahil) ve HFC'lardan oluşan 28 ikili çifte dayalı genelleştirilmiş $\alpha_{pq}^{\text{excess}}$ fonksiyonu belirlenmiştir.

Bu modeldeki türetilmiş parametrelerin büyük esnekliği, yeterli deneysel veri kullanılması şartıyla karışımların geniş bir değişiklikte hassas bir gösterimine müsaade eder⁽⁴²⁾.

1.6.3.3. Benedict-Webb-Rubin (BWR) ve Modified BWR Hal Denklemi

Geniş aralıktaki şartları sağlamak amacıyla dizayn edilen en eski hal denklemelerinden biri de Benedict, Webb ve Rubin tarafından geliştirilmiştir.

$$P = \rho RT + \left(B_0 RT - A_0 - \frac{C_0}{T^2} \right) \rho^2 + (bRT - a)\rho^3 \\ + a\alpha\rho^6 + \frac{c\rho^3(1+\gamma\rho^2)}{T^2} \exp(-\gamma\rho^2) \quad (1.49)$$

Bu denklemde 8 tane deneysel sabit vardır. Bu denklemin sağ tarafındaki ilk terim ideal gaz kanunudur. Daha sonraki iki grup terim ise ikinci ve üçüncü etki katsayılı terimlere benzer terimlerdir. Bu terimler düşük yoğunluklu buhar bölgesinde denklemenin uygun davranış sergilemesini temin eder. Son iki grup terim ise deneyeldir; eksponansiyel fonksiyon, yüksek yoğunluklu sıkıştırılmış sıvı durumlarında hassasiyeti artırmak için kullanılır.

BWR hal denklemi nitrojenin özelliklerini belirlemek amacıyla Jacobsen ve Stewart tarafından düzeltilmiş ve genişletilmiştir. Bu düzeltilmiş denklem (MBWR) daha sonra hidrokarbonları, croyejenleri (He vb.) ve soğutucu akışkanları içeren çok geniş aralıktaki sıcaklık, basınc ve yoğunluk için bir akışkanın özelliklerinin belirlenmesinde hassas olarak kullanılmaktadır. MBWR denklemi R123'ün özellikleri için mevcut uluslararası standardın esasıdır.

MBWR denklemi sıcaklığın ve molar yoğunluğun açık bir fonksiyonu olarak basıncı ifade eder.

$$P = \sum_{i=1}^9 a_i \rho^i + \exp(-\rho^2 / \rho_{cr}^2) \sum_{i=10}^{15} a_i \rho^{2i-17} \quad (1.50)$$

Bu denklemde a_i , 32 düzgün parametrenin toplamı ile bulunan sıcaklığın fonksiyonudur. Entalpi, entropi gibi enerji miktarlarının tamamının tanımlanması için MBWR denklemi tamamen basınçla dayalı hal denklemi gibi ideal gaz halinin molar ısı kapasitesi için bir ifadeyle birleştirilir.

1.6.3.4. Martin-Hou Hal Denklemi

Bu denklem van der Waals itici (repulsive) terimini çok genişletilmiş deneysel baskın terimle birleştirir.

$$P = \frac{RT}{V - b} + \sum_{i=2}^5 \frac{A_i + B_i T + C_i \exp(-KT/T^{\alpha})}{(V - b)^i} \quad (1.51)$$

Bu denklemde K ve A_i , B_i ve C_i 'ler parametrelerdir. Etki katsayıları hal denklemiyle beraber Martin-Hou denklemi sıvı bölgesinde geçerli değildir. Doymuş sıvı hali özelliklerinin hesaplanmasıında doymuş sıvı yoğunluğu ve buhar basıncı için yardımcı denklemelerle birlikte kullanılır. Doyma entalpisi, buhar fazlı özelliklerden ve Clapeyron denklemiyle yardımcı denklemelerden elde edilir.

$$H_{\text{vap}} - H_{\text{liq}} = T(V_{\text{vap}} - V_{\text{liq}}) \frac{dP_{\text{sat}}}{dT} \quad (1.52)$$

Downing, daha eski soğutucu akışkanların çoğu için uygun parametrelerin derlenmesiyle bu hal denklemi hakkında geniş bir bilgi vermiştir⁽⁶⁷⁾.

1.7. Sıvı Buhar Dengesi

Bir tek soğutucu akışkan, doymuş sıvı ve doymuş buhar durumları arasında sabit basınçta yoğunluğu veya buharlaştığı zaman sıcaklık sabit kalır. Fakat ikili karışımında sabit basınçta bile sıcaklık giderek değişir.

Bazı termodinamik uygulamalarda gazların veya sıvıların çok bileşenli karışımılarına ait özellikler, sıcaklığa ve basınçca bağlı olduğu kadar karışım oranına da bağlıdır.

Karışımlarla ilgili bazı problemlerin çözümünde saf maddelerin ‘fugasite’ adı ile anılan özelliğinin kullanılması büyük önem taşır. Fugasite, basınc boyutunda olan bir büyülüktür ve basınç yerine fugasite kullanıldığı zaman ideal gazlar için yazılmış bulunan eşitlikler gerçek gazlar için de kullanılabilir. Karışımındaki herbir i bileşeninin termodinamik olarak denge şartı

$$f_i^b = f_i^s \quad (1.53)$$

ile verilir. Burada f , fugasite; b , buhar; s ise sıvayı gösterir. Esas problem, karışım bileşimi ile fugasite arasında bağıntı kurmaktadır. Bir karışımında bileşenin fugasitesi sıcaklığına, basıncına ve karışımın oranına bağlıdır. Buhar fazı için bileşim y mol yüzdesi ile ifade edilir. Sıcaklık, basınç ve mol yüzdesi ile fugasite arasında bağıntı kurmak için

$$\phi_i = \frac{f_i^b}{y_i P} \quad (1.54)$$

eşitliği ile verilen fugasite katsayısını bilmek gereklidir. Bu katsayı sıcaklığa, basınç ve çok bileşenli karışımın buhar fazındaki bütün mol yüzdelerine bağlıdır. i bileşeninin sıvı fazındaki fugasitesi γ_i aktivite katsayısı sebebi ile o fazdaki karışım oraniyla ilgilidir. a_i i bileşeninin aktivitesini göstermek üzere

$$\gamma_i = \frac{a_i}{x_i} \quad (1.55)$$

şeklinde gösterilir. Basıncın γ_i ’ye etkisi çok yüksek basınç değerlerinde daima azdır.

Belirli sıcaklık ve basınçta saf bir sıvının fugasitesini hesaplamak için buhar basıncı ve sıvı yoğunluğunun bilinmesi gereklidir. Ayrıca hal denklemine ihtiyaç vardır. Saf sıvısının T sıcaklığı ve P basıncında fugasitesi,

$$f_i^s(T, P, x_i = 1) = P_{vp_i}(T) \phi_i^s(T) \exp \int_{P_{vp_i}}^P \frac{V_i^s(T, P)}{RT} dP \quad (1.56)$$

eşitliği ile verilir.

Yukarıdaki denklemlerden hareketle, sıvı-buhar dengesini veren esas ifade,

$$y_i P = \gamma_i x_i P_{vp_i} \kappa_i \quad (1.57)$$

eşitliğidir. κ_i düzeltme katsayısı olup, düşük basınçlarda 1'e çok yakındır. Biraz yüksek basınçlarda ise 1 alınması çok yanlış sonuçlar getirmemektedir. Bu katsayı 1 alındığında, aktivite kasayısı da 1 alınırsa bu ifade Raoult kanunu haline dönüşür. Raoult kanunu uygun bir referans olması açısından kolaylık sağlar.

Fugasite katsayısının hesabı hal denklemi kullanılmak suretiyle de yapılabilir.

$$K_i = \frac{y_i}{x_i} \quad (1.58)$$

ile gösterilen bir katsayı fugasite katsayısı eşitliği ile beraber kullanılarak,

$$K_i = \frac{y_i}{x_i} = \frac{\phi_i^b}{\phi_i^s} \quad (1.59)$$

şeklinde de yazılabilir. Z_i , genel mol yüzdesi olmak üzere,

$$z_i = x_i x + y_i (1 - x) \quad (1.60)$$

$$x_i = \frac{z_i}{K_i + x(1 - K_i)} \quad (1.61)$$

olarak yazılabilir⁽³⁾.

1.8. Hal Denklemlerinden Termodinamik Özelliklere Geçiş

Bir hal denklemi bağımsız değişkenlere dayanarak bazı termodinamik özellikleri gösterir. Termodinamik özellikler genellikle basınç, Z sıkıştırılabilme faktörü veya A Helmholtz enerjisidir. Bağımsız değişkenler ise genellikle sıcaklık ve yoğunluk, karışım içinse bileşimdir. P, Z veya A ile bir hal denklemi kullanılarak diğer bütün termodinamik özellikler uygun işlemlerle hesaplanabilir. Başlama noktası ise Helmholtz enerjisi ile basınç arasındaki ilişkidir ve aşağıdaki gibi tanımlanır^(3,70):

$$P = -\left(\frac{\partial A}{\partial V}\right)_T \quad (1.62)$$

Eğer hal denkleminde basınç gözüköyorsa bir integrale gerek duyulur:

$$A^r(T, \rho) = A - A^{id} = - \int_V^\infty (P - RT\rho) dV \quad (1.63)$$

Bu integral ilgili hacim ve $V = \infty$ sınırlarında gerçekleştirilir, burada bütün akışkanların davranışları ideal gaz sınırına yaklaşır. Böylece indirgenmiş/artık (residual) özellik kavramı ortaya çıkar. 'r' ve 'id' indisleri indirgenmiş miktar ve ideal gaz referans halini gösterir.

Entropi, entalpi, iç enerji ve Gibbs enerjisi ise aşağıdaki bağıntılarla hesaplanır. Karışımalar için de geçerli olan bu bağıntılardaki $(S-S^{id})$, $(H-H^{id})$ gibi terimler çıkış (departure) fonksiyonu olarak isimlendirilir⁽³⁾.

$$S - S^{id} = - \left(\frac{\partial (A - A^{id})}{\partial T} \right)_V \quad (1.64)$$

$$H - H^{id} = (A - A^{id}) + T(S - S^{id}) + RT(Z - 1) \quad (1.65)$$

$$U - U^{id} = (A - A^{id}) + T(S - S^{id}) \quad (1.66)$$

$$G - G^{id} = (A - A^{id}) + RT(Z - 1) \quad (1.67)$$

$$\ln \frac{f}{P} = \frac{A - A^{id}}{RT} + \ln \frac{V}{V^{id}} + (Z - 1) - \ln Z \quad (1.68)$$

Basıncı dolayımsız veren (pressure-explicit) bir hal denklemi, termodinamik özelliklerin tamamının tanımlanması sırasında ideal gaz halinin ısı kapasitesi için yardımcı bir denkleme ihtiyaç duyar. Helmholtz enerjisine dayalı bir denklem ise genellikle indirgenmiş ve ideal gaz bölgelerinin toplamı olarak yazılır ve böylece yardımcı bir denkleme ihtiyaç duymaz.

RKS hal denkleminden türetilen entalpi ve entropi bağıntıları^(3,52) aşağıda verilmiştir;

$$h = x_1 u_1^0 + x_2 u_2^0 + Pv + \frac{3a_{kr}}{2b_{kr} T^{1/2}} \ln \frac{v}{v+b_{kr}} \quad (1.69)$$

$$s = x_1 s_1^0 + x_2 s_2^0 + R \ln \frac{v-b_{kr}}{RTx_2} + \frac{a_{kr}}{2b_{kr} T^{3/2}} \ln \frac{v}{v+b_{kr}} + Rx_1 \ln \frac{x_2}{x_1} \quad (1.70)$$

Bu eşitliklerdeki u^0 ve s^0 değerleri, ideal gaz hâli entropi ve iç enerji değerlerini gösterir. x 'ler sıvı yüzdesini, v değeri ise sıvı özgül hacmini karşılar.

1.9. Çalışmanın Amacı

Bu tez çalışmasında ise R32, R125, R134a, R143a, R152a, R290 ve R600a saf soğutucu akışkanlarıyla bunların ikili, üçlü ve dörtlü karışımıları, ayrıca kaynaklarda bulunan R12, R22 ve R502 alternatif karışımlara ait termodinamik ve performans değerleri sayısal hesaplamalar sonucunda belirlenmiştir. Alternatif karışım belirleme esaslarına dayalı olarak R12, R22 ve R502 için farklı alternatif karışımlar belirlenerek bunlara ait hesaplamalar da gerçekleştirilmiştir. Ayrıntılar ilerleyen bölümlerde açıklanacaktır.

Hesaplanan değerler şunlardır: Saf akışkanlara ve karışımlarına ait Kaynama Noktası Sıcaklıklar (KNS), Termodinamiğin 1. Yasasına dayalı Soğutma Tesir Katsayıları (STK), kompresör yer değiştirme hacminin bir ölçüsü olan Hacimsel Soğutma Kapasiteleri (HSK), yoğunsturucu basıncının buharlaştırıcı basıncına oranı olan Basınç Oranları (BO), birim HSK başına STK değerlerini vermek üzere STK/HSK değerleri, kompresör işleri (W_k) ve Termodinamiğin 2. Yasasına dayalı olarak hesaplanan Oransal Verim (OV) ile Toplam Tersinmezlik (TT) değerleri.

Bu hesaplamalar sabit sıcaklık esasına dayalı olarak klasik ve emme hattı ısısı değiştiricili soğutma sistemleri için, sabit soğutma yükü esasına dayalı olarak da yalnızca emme hattı ısısı değiştiricili soğutma sistemleri için gerçekleştirilmiştir. Termodinamik değerler REFPROP 6.01 programıyla hesaplanabilmektedir. Fakat özellikle sabit soğutma yüküne dayalı hesaplarda gerekli entalpi ve entropi

değerlerini programdan hesaplayıp çözüm yapmak mümkün değildir. Çünkü belli şartları sağlayana kadar sürekli olarak termodinamik değerler kullanılmakta ve bu işlem yüzlerce iterasyonu bulabilmektedir. Bu da elle yapılmayacak kadar zordur. REFPROP programının entalpi ve entropi değerlerini hesaplayan alt programları ve gerekli diğer alt programlar kullanılarak çalışmamıza uygun şekilde hem sabit sıcaklık yöntemi için hem de sabit soğutma yöntemi için birer program yazılmıştır. Ayrıntılar ileriki bölümlerde geniş olarak anlatılacaktır.

Sabit soğutma yüküne dayalı hesaplamlarda kaynaklarda bulunan bir soğutma sistemi için gerekli değerler alınmış ve ardışık yerleştirmeler yöntemiyle çözüm yapılmıştır. İlgili kaynaklardaki hesaplamlar CSD hal denklemi kullanılarak yapılmış olup bu çalışmada Helmholtz Enerji hal denklemine dayalı REFPROP programı kullanılmıştır.

2. MATERİYAL ve YÖNTEM

Mevcut soğutucu akışkanlarla alternatiflerini performanslarıyla bağlı olarak karşılaştırmak için bir referans belirleme zorunluluğu vardır. Alternatif soğutucu akışkan karışımının belirlenmesinde ve karşılaştırma yapılmasında ise temelde sabit sıcaklığa ve sabit soğutma yüküne dayalı karşılaştırma yapılmaktadır.

Sabit sıcaklığa dayalı karşılaştırmada birim kütleli soğutucu akışkan ve karışımı için hesaplamalar yapılmıştır. Dolayısıyla soğutma sisteminin boyutları dikkate alınmamıştır. Bu anlamda bu hesaplama şekli teorik hesaplamaların temelini oluşturmaktadır.

Sabit soğutma yüküne dayalı karşılaştırmada ise soğutucu akışkan ve karışımının kütlesel debisi hesaplamalara dahil edilmiştir. Akışkanlara ve ısı değiştiricilerine (yoğuşturucu ve buharlaştırıcı) ait ısı transfer katsayıları ile ısı değiştiricilerinin boyutları, ortalama bir değer de olsa dikkate alınmıştır. Ayrıca Termodinamik ve Isı Transferi eşitlikleri sağlanacak şekilde modelleme yapılmıştır. Bu anlamda sabit soğutma yüküne dayalı karşılaştırma yöntemi, gerçege çok daha yakın sonuçlar veren bir yöntemdir. Sıcaklığa dayalı karşılaştırmada klasik ve sıvı/basma hattı ısı değiştiricili soğutma çevrimi, sabit soğutma yüküne dayalı karşılaştırmada ise sadece sıvı/basma hattı ısı değiştiricili soğutma çevrimi kullanılmıştır.

R12, R22 ve R502 soğutucu akışkanları ile birlikte bunların alternatifleri için kaynaklarda bulunan karışımı, bunları oluşturan saf akışkanlar ve alternatif

karışım olarak kaynaklarda verilen ikili, üçlü ve dörtlü karışımının farklı oranlarda karışımıları için 1. ve 2. Yasa analizi yapılmış ve birbirleriyle karşılaştırılmıştır.

2.1. REFPROP Programının Kullanılması

REFPROP, saf soğutucu akışkan ve 5'li karışımı kadar soğutucu akışkan karışımının termodinamik özelliklerini veren bir paket programdır. Özellikle HFC karışımında Helmholtz Enerji Hal Denklemini, diğer karışımlarda ise ilgili karışımı uygun hal denklemlerini kullanmaktadır. Doyma bölgesi, kızgın buhar bölgesi ve aşırı soğutulmuş sıvı bölgesi için ve bilinen özelliklere göre hesaplanacak termodinamik değerleri ayrı alt programlarla hesaplayan REFPROP'la akışkanlara ait T-s, P-h, P-x, T-x diyagramları da çizilebilmektedir. Noktasal olarak değer alınabilen programda bir soğutma sisteminin, basit olarak performans değerleri bulunamamakta ve doğrudan simülasyonu yapılamamaktadır. Bu amaçla alt programların kullanıldığı özel amaçlı programların yazılması gereklidir. REFPROP Fortran programlama diliyle yazıldığı için özel amaçlı programların da bu programlama diliyle yazılması en uygun yoldur. Aksi taktirde yirmi bin satırı aşkın alt programların farklı dile çevrilmesi gereklidir.

2.2. Sabit Sıcaklığa Dayalı Karşılaştırma

Soğutucu akışkanların birbirleriyle karşılaştırılmasında temel yöntemlerden biri de sıcaklığı dayalı karşılaştırmadır. Soğutucu akışkanlarının performansının belirlenmesinde yoğunlaşma ve buharlaşma sıcaklıklarını dikkate alındığı için bu

karşılaştırma önemli bir kılstastır. Yoğunlaşma ve buharlaşma sıcaklıklarına dayalı 4 farklı yöntemin olduğu daha önce belirtilmiştir. Bu çalışmada bu yöntemlerden ‘buharlaştırıcı ve yoğunsturucu çıkış sıcaklıklarının eşit, dolayısıyla sabit alınması’na dayalı hesaplamalar yapılmıştır. Buharlaştırıcı ve yoğunsturucu, hava soğutmalı ısı değiştiricisidir ve hava sıcaklıklarının değişmediği kabul edilmiştir.

Buharlaştırıcı çıkış sıcaklığı olarak -20 , -10 ve 0°C , yoğunsturucu çıkış sıcaklığı olarak da 35°C alınmıştır. Kullanılan soğutma sistemleri ise Şekil 1.1.’deki klasik sistemle Şekil 1.3.’deki sıvı/basma hattı ısı değiştiricili sistemdir. Her iki sistem için hesaplamalar yapılmış ve ısı değiştiricili sistemin hangi karışımarda daha verimli olduğu incelenmiştir.

Hesaplamalarda basınç düşümü ve boru bağlantılarındaki ısı kaybı ihmal edilmiştir. Kompresörde izentropik sıkıştırma, genleşme valfinde ise izentalpik genleşme dikkate alınmıştır. Isı değiştiricili sistemde ısı değiştiricinin, buharlaştırıcıdan doymuş buhar olarak çıkan soğutucu akışkanı aşırı kızdırma ile 32°C 'ye çıkardığı düşünülmüştür.

Her bir çevrim için REFPROP'un alt programları kullanılarak ve yukarıda belirtilen şartlar dikkate alınarak, termodinamik ve performans değerlerini hesaplayan program yazılmıştır.

2.3. Sabit Soğutma Yüküne Dayalı Karşılaştırma

Deneysel çalışmaların çok pahalı ve zaman alıcı olması dolayısıyla teorik ve/veya sayısal çalışmalar önem kazanmaktadır.

Kararlı haldeki ıslı sistemlerin simülasyonu için bilinmeyen değişkenlerin bulunmasında Newton-Raphson ve Ardışık Yerleştirme (Successive Substitution) teknikleri kullanılmaktadır^(44,45,75). Bu çalışmada Successive Substitution (SS) tekniği kullanılmıştır.

SS tekniğinde belirli şartlar sağlanana kadar çok sayıda döngü yaptırılarak çözüme ulaşılır^(44,75). Bu çalışma için belirli şartlar, termodinamik ve ısı transferi kurallarıyla bağlıdır. Buharlaştırıcı ve yoğunşturucuda soğutucu akışkanın faz değişimi (gizli ısı) ile soğutma ve ısıtma yükleri hesaplanır. Bu değerler havanın aldığı ve verdiği ısı miktarlarına (duyularız ısı) da eşittir. Aynı değerler ısı transferi bağıntılarını (LMTD yöntemi) da desteklemelidir. Ayrıca Termodinamiğin 1.Yasası da sağlanmalıdır. Yani soğutma yükü ile kompresör işinin toplamı ısıtma yükünü vermelidir.

Bu çalışmada kullanılan Şekil 2.1'deki soğutma sisteminde buharlaştırıcı ve yoğunşturucunun ikisi de zıt akışlı ve hava soğutmalı bir ısı değiştiricisidir. Bu bölümde verilen eşitlikler bu sistem için tanımlanmıştır.

Gerçekleşen ısı transferleri soğutucu akışkanların faz değişimleri, hava debileri ve sıcaklıklarını ve bir de logaritmik ortalama sıcaklık farkı hesaplamaları dikkate alınarak hesaplanabilir.

Bu hesaplamalar buharlaştırıcıda düşünülürse, soğutma yükü için, Şekil 2.1'deki nokta tanımlamalarına uygun olarak,

$$Q_b = m_s * (h_1 - h_7) = m_{hb} * c_p * (T_{h1} - T_{h7}) = K_b * A_b * LMTD_b \quad (2.1)$$

eşitlikleri geçerlidir. Benzer şekilde yoğunşturucu içinse

$$Q_y = m_s * (h_3 - h_6) = m_{hy} * c_p * (T_{h3} - T_{h6}) = K_y * A_y * LMTD_y \quad (2.2)$$

eşitlikleri yazılır.

Logaritmik ortalama sıcaklık farkı (LMTD), ısı değiştirgeindeki akışkanların giriş ve çıkıştaki sıcaklık farkları dikkate alınarak hesaplanır^(29,45,44). Buharlaştırıcıda doyma bölgesi ve kızgın buhar bölgesi için, yoğunlukucuda ise doyma bölgesi, kızgın buhar bölgesi ve aşırı soğutulmuş sıvı bölgesi için sıcaklık değişimleri farklıdır. Mesela soğutucu akışkan için yoğunlukucunun kızgın buhar bölgesinde 30°C'lik sıcaklık farkı oluşabilirken doyma bölgesinde 1-10°C aralığında sıcaklık farkı oluşabilmektedir. Bu farklılık dikkate alınarak her bir bölge için ayrı ayrı LMTD hesabı yapılacaktır. Bu hesaplamada soğutucu akışkan için doymuş sıvı ve doymuş buhar sıcaklıklarına karşı gelen hava sıcaklıkları enerji dengesinden kolaylıkla hesaplanır. Örnek olarak, buharlaştırıcıda doymuş buhar sıcaklığına karşı gelen hava sıcaklığı

$$m_s * (h_1 - h_8) = m_{hb} * c_p * (T_{h1} - T_{h8}) \quad (2.3)$$

bağıntısından T_{h8} sıcaklığı çekilerek bulunur. Çünkü diğer değerler adım adım hesaplanmakta ve bilinmeyen olarak sadece T_{h8} sıcaklığı kalmaktadır. Benzer şekilde yoğunlukucudaki hava sıcaklıkları da bulunur. Böylece her bir bölge için LMTD ifadeleri aşağıdaki gibi yazılır;

$$LMTD_{bk} = \frac{(T_{h1} - T_1) - (T_{h8} - T_8)}{\ln((T_{h1} - T_1)/(T_{h8} - T_8))}$$

$$LMTD_{bd} = \frac{(T_{h8} - T_8) - (T_{h7} - T_7)}{\ln((T_{h8} - T_8)/(T_{h7} - T_7))}$$

$$LMTD_{yk} = \frac{(T_3 - T_{h3}) - (T_4 - T_{h4})}{\ln((T_3 - T_{h3})/(T_4 - T_{h4}))} \quad (2.4)$$

$$LMTD_{yd} = \frac{(T_4 - T_{h4}) - (T_5 - T_{h5})}{\ln((T_4 - T_{h4})/(T_5 - T_{h5}))}$$

$$LMTD_{ys} = \frac{(T_5 - T_{h5}) - (T_6 - T_{h6})}{\ln((T_5 - T_{h5})/(T_6 - T_{h6}))}$$

Buharlaştırıcı ve yoğunsturucu için toplam LMTD değeri ise her bir bölgedeki değerler kullanılarak aşağıdaki gibi hesaplanır;

$$\begin{aligned} LMTD_b &= f_{bd} * LMTD_{bd} + (1 - f_{bd}) * LMTD_{bk} \\ LMTD_y &= f_{yd} * LMTD_{yd} + f_{ys} * LMTD_{ys} + (1 - f_{yd} - f_{ys}) * LMTD \end{aligned} \quad (2.5)$$

f ile gösterilenler her bir bölgede gerçekleşen ısı transferi yüzdeleridir ve soğutucu akışkana ait entalpi değerleri veya hava'ya ait sıcaklıklar kullanılarak aşağıdaki gibi hesaplanır:

$$f_{bd} = (T_{h8} - T_{h7}) / (T_{h1} - T_{h7}) = (h_8 - h_7) / (h_1 - h_7)$$

$$f_{bk} = 1 - f_{bd}$$

$$f_{yd} = (T_{h4} - T_{h5}) / (T_{h3} - T_{h6}) = (h_4 - h_5) / (h_3 - h_6) \quad (2.6)$$

$$f_{yk} = (T_{h3} - T_{h4}) / (T_{h3} - T_{h6}) = (h_3 - h_4) / (h_3 - h_6)$$

$$f_{ys} = 1 - f_{yd} - f_{yk}$$

Bu yüzdeler her bir bölgedeki basınç düşümünde de dikkate alınacaktır. Dolayısıyla;

$$P_4 = P_3 - f_{yk} * \Delta P_y$$

$$P_5 = P_4 - f_{yd} * \Delta P_y$$

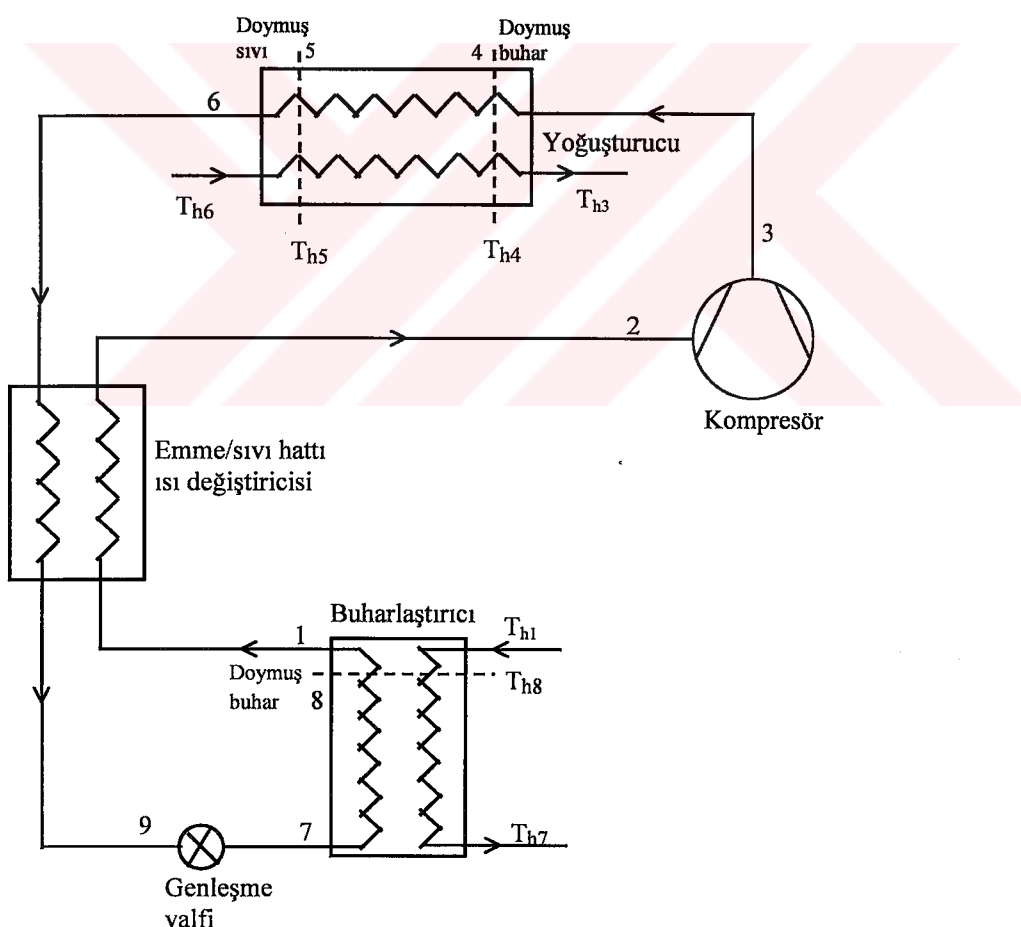
$$P_6 = P_3 - \Delta P_y$$

(2.7)

$$P_8 = P_7 - f_{bd} * \Delta P_b$$

$$P_1 = P_7 - \Delta P_b$$

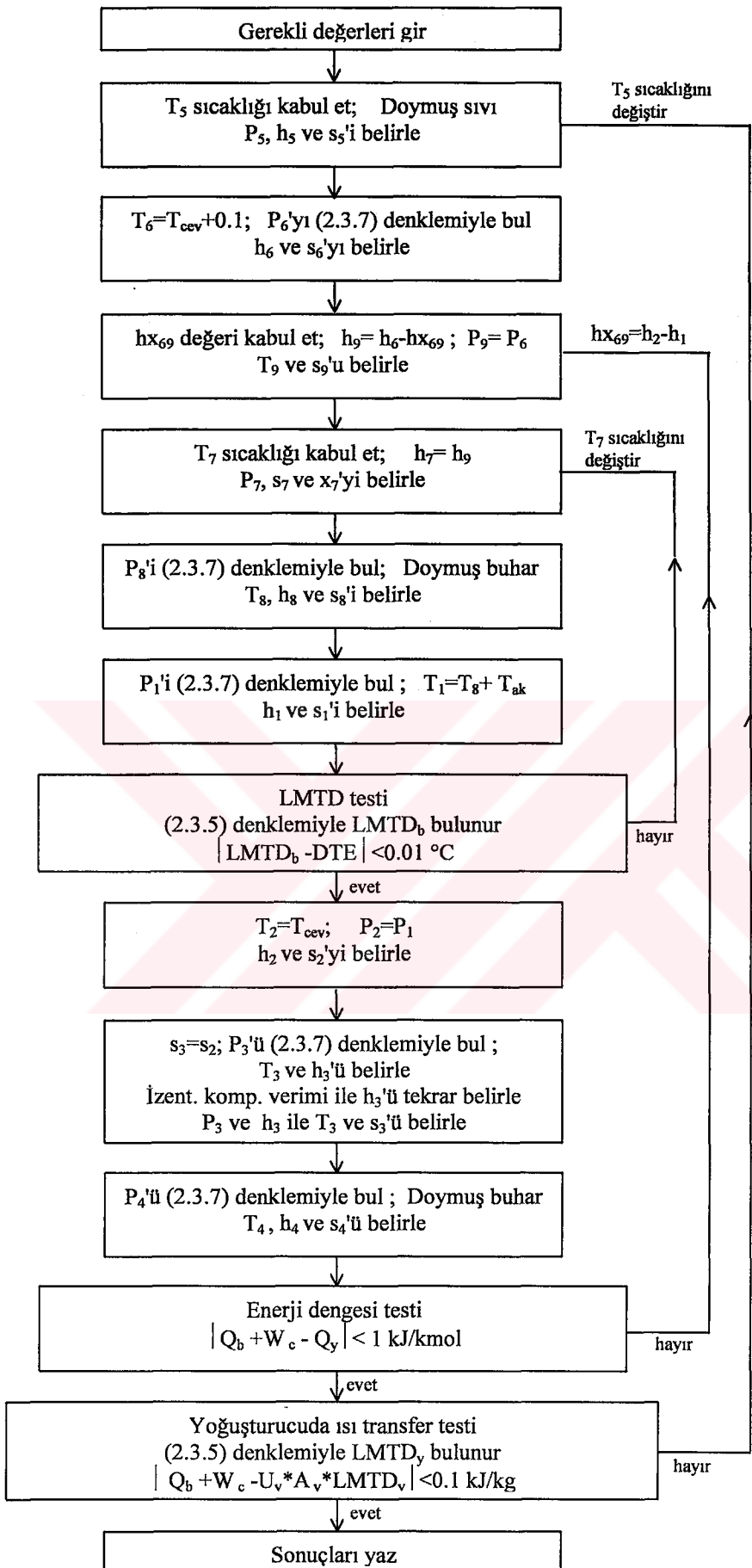
bağıntıları geçerlidir.



Şekil 2.1. Emme/sıvı hattı ısı değiştiricili soğutma sistemi

Çözüme şu şekilde başlanır: Yoğunlukcuda doymuş sıvı halindeki soğutucu akışkanın (5 noktası, T_5) sıcaklığı için bir değer kabul edilir. Bu sıcaklıkla doymuş sıvı basıncı, entalpi ve entropi değerleri hesaplanır. Yoğunlukcuda çıkışında (6 noktası) soğutucu akışkan aşırı soğutulmuş sıvı bölgesindedir. Burada sıcaklık en fazla çevre sıcaklıına kadar düşebilir. Fakat bunun pratikte gerçekleşmesi mümkün değildir ve bu noktadaki sıcaklık çevre sıcaklıından 0.1°C fazla kabul edilir. Sıvı bölgesindeki ısı transfer yüzdesi kadar basınç düşümü ile de yoğunlukcuda çıkışındaki basınç hesaplanır. Sıvı bölgesinde sıcaklık ve basınç bilindiği için entalpi ve entropi değerleri hesaplanır. Emme hattı ısı değiştirici ısı transfer miktarı için başlangıçta bir değer (hx_{6-9}) kabul edilerek eşanjör çıkışındaki (9 noktası) entalpi değeri belirlenir. Isı değiştiricisindeki basınç düşümü ihmal edilerek basınç ve entalpi değerleri ile ısı değiştiricisi çıkışındaki sıcaklık ve entropi değerleri hesaplanır. Buharlaştırıcı girişinde (7 noktası) izentalpik genleşme dolayısıyla entalpi değeri bellidir ve soğutucu akışkanın sıcaklığı için bir değer kabul edilerek basınç, entropi ve kalite değerleri hesaplanır. Doyma bölgesindeki basınç düşümü ile doymuş buhar basınç belirlenir (8 noktası). Bu basınç değeri ile bu noktadaki sıcaklık, entalpi ve entropi değerleri hesaplanır. Buharlaştırıcı çıkışı (1 noktası) kızgın buhar bölgesindedir. Aşırı kızdırma sıcaklığı ve kızgın buhar bölgesindeki basınç düşümü ile sıcaklık ve basınç belli olduğu için bu nokta için de entalpi ve entropi değerleri belirlenir.

Isı transferi bağıntıları ile doymuş buhar sıcaklığına karşı gelen hava sıcaklığı belirlenir. Böylece bu aşamada buharlaştırıcının bütün değişkenler belirlenmiştir. Buharlaştırıcıda ortalama logaritmik sıcaklık farkı (LMTD) bağıntısı ile soğutma yükü tekrar hesaplanır ve karşılaştırılır. Bulunan değer belirlenen hata payı içinde ise bir sonraki aşamaya geçilir. Hata miktarı fazla ise buharlaştırıcı girişinin yeni bir



Sekil 2.2. Soğutma sistemi simülasyonu için akış şeması

sıcaklık belirlenir ve aynı işlemler belirlenen hata payı sağlanana kadar tekrarlanır.

Buharlaştırıcı giriş sıcaklığı belirlenince kompresör girişi (2 noktası) ile çözümeye devam edilir. Kompresör girişinde sıcaklık, ortam sıcaklığıdır ve emme hattı ısı değiştirgecinde basınç düşümü dikkate alınmadığı için basınç da bellidir. Bilinen basınç ve sıcaklık değerleri ile kompresör girişindeki entalpi ve entropi değerleri hesaplanır.

Kompresör çıkışı (3 noktası) için öncelikle izentropik sıkıştırma dikkate alınır. Dolayısıyla entropi değeri bellidir. Daha önceden yoğunşturucu çıkış basıncı belirlendiği için bu değerin üzerine yoğunşturucudaki basınç düşümü ilave edilerek kompresör çıkışındaki basınç değeri de belirlenir. Basınç ve entropi değerleri kullanılarak kompresör çıkışındaki sıcaklık ve entalpi değeri hesaplanır.

Kompresördeki sıkıştırma işlemi其实 izentropik değildir. Dolayısıyla izentropik verim bağıntısı ile kompresör çıkışındaki gerçek entalpi değeri bulunur. Basınç ve entalpi değerleri kullanılarak gerçek sıcaklık ve entropi değerleri belirlenir. Yoğunşturucudaki doymuş buhar değerleri (4 noktası), basınç düşümü ile doymuş buhar basıncı bulunarak elde edilir. Dolayısıyla doymuş buhar sıcaklığı, entalpisi ve entropisi belirlenmiş olur.

Bu aşamada enerji dengesi testi yapılır. Şöyle ki; Termodinamiğin 1.Yasası gereği soğutma yükü ile kompresör işinin toplamı ısıtma yükünü verecektir. Enerji dengesi belli bir hata payı içinde ise çözümeye devam edilir. Aksi durumda emme hattı ısı değiştirgecindeki transfer edilen ısı miktarı değiştirilir. Kompresör girişi ile buharlaştırıcı çıkışındaki soğutucu akışkanın entalpi farkı, değiştiricideki ısı transferi miktarına eşit olduğu için yeni durumda bu değer alınır ve emme hattı ısı değiştiricisi

çıkışına (9 noktası) geri dönülür. Bu döngü enerji dengesi sağlanana kadar devam eder.

Enerji dengesi sağlandıktan sonra, logaritmik ortalama sıcaklık farkına dayalı olarak yoğunşturucuda tekrar bir test yapılır. Bu test de yoğunşturucuda ısıyı alan havanın çıkış sıcaklıklarının test edilmesi ile ilgilidir. Bir önceki enerji dengesi geçerlidir. Fakat ısıtma yükü hesabında logaritmik ortalama sıcaklık farkına dayalı ısı transfer bağıntısı kullanılır. Bu testte de belli bir hata payının (Şekil 2.2'de görüldüğü gibi) altında çözüm bulunursa soğutma sisteminin tamamı için çözüm bulunmuştur. Aksi durumda yoğunşturucudaki doymuş sıvı sıcaklığı yanlış seçilmiş ve değer değiştirilerek aynı işlemler tekrarlanır.

Tipik bir tek buharlaştırıcılı soğutma sisteminde çalışılan tüm soğutucu akışkanlar ve karışımıları için 185 W'lik soğutma yükü dikkate alınmıştır. Soğutma sisteminin temel elemanları hava soğutmalı buharlaştırıcı ve yoğunşturucu, debisi ayarlanabilen kompresör, emme hattı ısı değiştirgeci ve kılcal tüplü genleşme valfidir. Bütün akışkanlar için kompresörde 0.85'lük izentropik verim öngörülmüştür. Hava soğutmalı buharlaştırıcıda havanın giriş sıcaklığı -11°C , çıkış sıcaklığı -18°C alınmıştır. Giriş ve çıkış sıcaklık farkı düşük olması nedeniyle özgül ısı değeri sabit alınabilir, dolayısıyla 185 W'lik soğutma yükü için $c_p=1004.2 \text{ J/kgK}$ alınarak hava debisi 0.026318 kg/s bulunur. Böylece fan aracılığıyla bu miktarda hava girişi sağlanmalıdır. Soğutucu akışkan için buharlaştırıcıda 10 kPa'lık bir basınç düşümü dikkate alınmıştır.

Hava soğutmalı yoğunşturucuda ise havanın yoğunşturucuya giriş sıcaklığı için çevre sıcaklığı alınacaktır. Çıkış sıcaklığı ise soğutucu akışkana göre değişecektir.

Hava debisi bir fan aracılığıyla 0.05425 kg/s 'de tutulmaktadır ve yoğunşturucuda soğutucu akışkan için $15 \text{ kPa}'\text{l}\text{i}\text{k}$ basınç düşümü dikkate alınmıştır.

U^*A değerleri 'Oak Ridge National Laboratory' raporlarından⁽⁴⁴⁾ ortalama olarak yoğunşturucu için $10 \text{ W/}^\circ\text{C}$, buharlaştırıcı için $20 \text{ W/}^\circ\text{C}$ alındı. Buharlaştırıcı ve yoğunşturucu için 0.8 değerinde bir ısı değiştiricisi etkenliği dikkate alındı.

2.4. Performans hesaplamaları

Termodinamiğin 1. Yasasına dayalı performans hesaplaması soğutma tesir katsayısı olarak adlandırılır. Soğutma tesir katsayısı soğutma yükünün kompresör işine oranıdır.

Termodinamiğin 2. Yasasına dayalı performans analizinde ise ekserji (kullanılabilirlik) analizi ve Oransal (2.Yasa) verim hesaplamaları vardır. Hesaplamlarda dikkate alınan soğutma sistemleri için ekserji girdisi olarak sadece kompresör girişi vardır. Düşük sıcaklıklı ısı değiştiricisinde (buharlaştırıcı) sıcaklık, ortam sıcaklığından düşük olduğu için ısı girdisi, ekserji çıktısı olacaktır. Dolayısıyla ekserji çıktısı olarak buharlaştırıcı ve yoğunşturucuda gerçekleşen ısı transferi ile eşleşen ıslı ekserjiler vardır. Böylece ekserji çıktısı

$$E^Q = \int \left(\frac{T - T_0}{T} \right) dQ \quad (2.8)$$

ıslı ekserji ifadesinden Şekil 1.1. ve Şekil 1.3.'deki sabit sıcaklıklı sistemler için aşağıdaki gibi hesaplanır.

$$\sum E_f = Q_b \frac{T_0 - T_b}{T_b} \quad (2.9)$$

Şekil 2.1.'deki sabit soğutma yüküne dayalı sistem için de aşağıdaki bağıntı geçerlidir:

$$\begin{aligned} \sum E_f &= \int \left(\frac{T_0 - T}{T} \right) m_b c_b dT + \int \left(\frac{T - T_0}{T} \right) m_y c_y dT \\ &= m_b c_b (T_0 \ln T - T) \Big|_{T_{h7}}^{T_{h1}} + m_y c_y (T - T_0 \ln T) \Big|_{T_{h6}}^{T_{h3}} \\ &= m_b c_b \left(T_0 \ln \left(\frac{T_{h1}}{T_{h7}} \right) - (T_{h1} - T_{h7}) \right) + m_y c_y \left((T_{h3} - T_{h6}) - T_0 \ln \left(\frac{T_{h3}}{T_{h6}} \right) \right) \end{aligned} \quad (2.10)$$

Sistemdeki toplam tersinmezklik miktarı ise

$$I = T_0 \Pi = \sum_f m_f s_f - \sum_g m_g s_g - \sum_r \frac{Q_r}{T_r} \quad (2.11)$$

ifadesinden sabit sıcaklığa dayalı karşılaşturmada Şekil 1.1. ve Şekil 1.3.'deki sistemler ve sabit soğutma yüküne dayalı karşılaşturmada Şekil 2.1.'deki sistem için sırasıyla

$$I = T_0 \Pi = T_0 \left[\frac{Q_y}{T_y} - \frac{Q_b}{T_b} \right] \quad (2.12)$$

$$I = T_0 \Pi = T_0 \left[m_b c_b \ln \left(\frac{T_{h7}}{T_{h1}} \right) + m_y c_y \ln \left(\frac{T_{h3}}{T_{h6}} \right) \right] \quad (2.13)$$

eşitlikleriyle bulunur. Şekil 2.1.'deki sistemin her bir elemanında gerçekleşen tersinmezlik miktarları ise yoğunıştırıcı, buharlaştırıcı, kompresör, genleşme valfi ve emme hattı ısı değiştiricisi (SLHE) için sırasıyla

$$\begin{aligned} I_y &= T_0 [m_s(s_6 - s_3) + m_e(s_{s3} - s_{s6})] \\ I_b &= T_0 [m_s(s_1 - s_7) + m_e(s_{s7} - s_{s1})] \\ I_k &= T_0 m_s (s_3 - s_2) \\ I_{gv} &= T_0 m_s (s_7 - s_9) \\ I_{SLHE} &= T_0 m_s (s_2 + s_9 - s_1 - s_6) \end{aligned} \quad (2.14)$$

eşitlikleriyle verilir. Şekil 1.1.'deki sistemin her bir elemanında gerçekleşen tersinmezlik miktarları ise yoğunıştırıcı, buharlaştırıcı, kompresör ve genleşme valfi için sırasıyla,

$$\begin{aligned} I_y &= T_0 [m_s(s_3 - s_2) + Q_y / T_y] \\ I_b &= T_0 [m_s(s_1 - s_4) - Q_b / T_b] \\ I_k &= T_0 m_s (s_2 - s_1) \\ I_{gv} &= T_0 m_s (s_4 - s_3) \end{aligned} \quad (2.15)$$

eşitlikleriyle verilir. Şekil 1.3.'deki sistemin her bir elemanında gerçekleşen tersinmezlik miktarları ise yoğunışturucu, buharlaştırıcı, kompresör, genleşme valfi ve SLHE için sırasıyla,

$$\begin{aligned}\dot{I}_y &= T_0 [m_s (s_3 - s_{2'}) + Q_y / T_y] \\ \dot{I}_b &= T_0 [m_s (s_1 - s_{4'}) - Q_b / T_b] \\ \dot{I}_k &= T_0 m_s (s_{2'} - s_{1'})\end{aligned}\tag{2.16}$$

$$\dot{I}_{SLHE} = T_0 m_s (s_{1'} - s_1 + s_{3'} - s_3)$$

eşitlikleriyle verilir.

Sistem için oransal verim

$$\psi = 1 - \frac{I}{W_k}\tag{2.17}$$

bağıntısıyla hesaplanır.

2.5. Analizi Yapılan Saf Akışkanların ve Karışımlarının Tanıtılması

Çalışmada esas alınan saf akışkanlar uygulamada yaygın olarak kullanılan R12, R22 ve R502 (azeotrop bir karışımıdır, saf akışkan grubuna dahil edilmiştir) ile çevresel açıdan problem doğurmayan R32, R125, R134a, R143a, R152a, R290 ve R600a akışkanlarıdır.

CFC grubundan olan R12, R22 ve R502'nin üretimi birçok ülkede durdurulmuştur. Diğer saf akışkanların ikili, üçlü ve dörtlü olarak farklı oranlarda karışımı, değişik araştırma merkezlerince R12, R22 ve R502 için alternatif karışım olarak teklif edilmektedir. Bu alternatif karışımlar da çalışma konusu yapılmıştır. Parantez içindeki değerler kütle yüzdelerini göstermek üzere alternatif karışımlar aşağıda verilmiştir.

R12 için alternatif karışımlar^(30,38,40,43,49) ve kütle yüzdeleri:

- 1) R290/R600a (40/60, 43/57, 48/52, 50/50, 56/44, 60/40, 70/30, 80/20, 90/10)
- 2) R152a/R134a (14/86)
- 3) R600a/R134a (18/82)
- 4) R290/R134a (5/95)

R22 için alternatif karışımlar^(8,33,34) ve kütle yüzdeleri:

- 1) R32/R125/R134a (30/10/60, 10/70/20)
- 2) R32/R125/R290/R134a (20/55/5/20)
- 3) R32/R134a (25/75, 30/70)
- 4) R32/R125 (50/50)
- 5) R290/R134a (46/54)

R502 için alternatif karışımlar^(38,40) ve kütle yüzdeleri:

- 1) R32/R125/R143a (10/50/40, 10/45/45)
- 2) R125/R143a/R134a (44/52/4)
- 3) R32/R125/R134a (20/40/40)
- 4) R125/R143a/R290 (50/45/5)
- 5) R125/R290/R134a (70/10/20, 50/5/45)

Yukarıda belirtilen saf akışkanlar ve alternatif karışımlara ilaveten, alternatif karışımlar esas alınarak bunların farklı oranlarda karışımıları da çalışma konusu yapılmıştır. Bu ikili, üçlü ve dörtlü karışımlar, parantez içindeki değerler kütle oranını vermek üzere aşağıda verilmiştir.

- 1) R32/R134a (10/90, 20/80, 40/60, 50/50, 60/40, 70/30, 80/20, 90/10)
- 2) R290/R134a (10/90, 20/80, 30/70, 50/50, 60/40, 70/30, 80/20, 90/10)
- 3) R600a/R134a (10/90, 30/70, 40/60, 50/50, 60/40, 70/30, 80/20, 90/10)
- 4) R152a/R134a (10/90, 30/70, 40/60, 50/50, 60/40, 70/30, 80/20, 90/10)
- 5) R125/R143a (10/90, 20/80, 30/70, 40/60, 60/40, 70/30, 80/20, 90/10)
- 6) R32/R125 (10/90, 20/80, 30/70, 40/60, 60/40, 70/30, 80/20, 90/10)
- 7) R125/R143a/R134a (15/81/4, 25/71/4, 35/61/4, 45/81/4, 55/41/4, 65/31/4, 75/21/4, 15/75/10, 25/65/10, 35/55/10, 45/45/10, 55/35/10, 65/25/10, 75/15/10, 15/70/15, 25/60/15, 35/50/15, 45/40/15, 55/30/15, 65/20/15, 75/10/15)
- 8) R125/R143a/R290 (10/85/5, 20/75/5, 30/65/5, 40/55/5, 50/45/5, 60/35/5, 70/25/5, 10/80/10, 20/70/10, 30/60/10, 40/50/10, 50/40/10, 60/30/10, 70/20/10, 10/75/15, 20/65/15, 30/55/15, 40/45/15, 50/35/15, 60/25/15, 70/15/15)
- 9) R32/R125/R143a (10/10/80, 10/20/70, 10/30/60, 10/40/50, 10/60/30, 10/70/20, 20/10/70, 20/20/60, 20/30/50, 20/40/40, 20/50/30, 20/60/20, 20/70/10, 30/10/60, 30/20/50, 30/30/40, 30/40/30, 30/50/20, 30/60/10)
- 10) R32/R125/R134a (5/5/90, 15/5/80, 25/5/70, 35/5/60, 45/5/50, 55/5/40, 65/5/30, 75/5/20, 5/10/85, 15/10/75, 25/10/65, 35/10/55, 45/10/45, 55/10/35, 65/10/25, 75/10/15, 5/15/80, 15/15/70, 25/15/60, 35/15/50, 45/15/40, 55/15/30, 65/15/20, 75/15/10)

- 11) R125/R290/R134a (10/5/85, 20/5/75, 30/5/65, 40/5/55, 60/5/35, 70/5/25,
10/10/80, 20/10/70, 30/10/60, 40/10/50, 50/10/40, 60/10/30, 10/15/75, 20/15/65,
30/15/55, 40/15/45, 50/15/35, 60/15/25)
- 12) R32/R125/R290/R134a (10/55/5/30, 30/55/5/10, 30/45/5/20, 40/35/5/20,
10/65/5/20)

İkili karışımlar için birinci bileşenin oranı 10'ar artırılarak (veya ikinci bileşeninki 10'ar azaltılarak) yeni karışımlar belirlenmiştir Üçlü karışımlar içinse herbir üçlü karışımından en düşük orana sahip akışkanın oranı 3 farklı değerde sabit tutulup diğer ikisinin oranı 10'ar artırılarak veya azaltılarak yeni karışımlar belirlenmiştir.

Saf akışkanlardan R32, R125, R134a, R143a ve R152a HFC grubunda, R290 ve R600a HC grubunda yer almaktadır. Böylece, karışımların tamamı CFC'lerin dışında kalmaktadır.

Yukarıda belirtilen saf akışkanlar, alternatif karışımlar ve diğer karışımlar için önceki bölümde sözü edilen hesaplamalar, hem sabit sıcaklığa dayalı karşılaştırma yöntemiyle hem de sabit soğutma yüküne dayalı karşılaştırma yöntemiyle gerçekleştirılmıştır.

Soğutucu akışkanlar için Kaynama Noktası Sıcaklığının (KNS) yüksekliği akışkanı daha az uçucu kılan bir özellikle. HSK, akışkanın birim hacminin soğutma kapasitesini gösterirken aynı zamanda kompresör yer değiştirme hacmini de ifade eder. Herhangi bir akışkan için uçuculuğun yüksek olması daha büyük HSK'yı ve daha düşük BO değerini beraberinde getirir. Bu durum fiziksel bir olgu olarak gözükmeektedir.

Herhangi bir soğutma sisteminde çevrimdeki akışkanın yerine başka bir akışkanı, başkaca bir sistem değişikliği yapmaksızın (yani soğutma sisteminin kompresörünün aynı kalması gerekliliği) kullanabilmek ancak her iki akışkan için de HSK'ların birbirine çok yakın olması ile mümkün olabilir. Örneğin R12 yerine R125 kullanılaraksa R125'in HSK'sı R12'nin HSK'sından büyük olduğu için kompresör yer değiştirme hacmi küçültülmelidir. Ayrıca ilgili akışkanların sıcaklığa bağlı kaynama basıncı eğrilerinin yakın olması istenir. Saf akışkanlara ait çizelgelere HSK açısından bakıldığından R12, R22 ve R502'nin yerine doğrudan kullanılabilecek saf akışkan gözükmemektedir.

Bir akışkan yerine başka bir saf akışkan kullanabilmenin ötesinde bir saf akışkan yerine saf akışkan karışımlarının kullanılabilmesi de hem bilimsel araştırmalar açısından hem de uygulama açısından öneme sahip olmaktadır. Böyle bir inceleme birinin yerine diğerinin kullanılmasıyla sağlanamayan performans değerlerine ulaşabilme açısından gerekli bir alternatif olarak ortaya çıkar. Bu anlamda, uygulamadaki soğutma tesislerinde kullanılan ve uluslararası anlaşmalarla belirli bir tarihte hiç kullanılmayacak olan R12, R22, R502 gibi akışkanların yerine geçebilecek akışkan karışımının incelenmesi ilgi çekici olmaktadır. Kaynaklarda ve uygulamada bu konuda yapılan çalışmalar da, sözü edilen saf akışkanlar yerine aşağıda yazılan karışımın onların alternatif olarak kullanılabilecekleri öne sürülmüştür. Alternatif karışımlardan bazıları doğrudan mevcut sistemlerde kullanılabilecekken bazıları da yeniden tasarlanacak sistemlerde kullanılabilecek durumdadır. Bunu da daha önce açıklandığı gibi HSK değeri tayin etmektedir. Bu durum, bir saf akışkanın yerine kendisinin uçuculuğundan daha fazla ve daha az olanları seçilerek gerçekleştirilebilir. Diğer taraftan uçuculuğun göstergesi, daha önce de söylendiği gibi kaynama noktası sıcaklığıdır. Böylece yukarıdaki kriterin, bir

saf akışkan için kendisinin KNS'sinden daha yüksek ve daha düşük KNS'lere sahip iki akışkanı seçmekte (üçlü karışımalar için en az bir bileşenin) gerçekleştirilebileceği düşünülebilir. Alternatif karışım oluşturmada diğer bir kriter de oluşturulan karışımın saf olanınkine göre daha büyük bir STK'ya sahip olması için buharlaştırıcıda ve yoğunşturucudaki ısı değiştiricilerine ait her iki akışkan için söz konusu olacak sıcaklık kaymalarıdır. Bu aynı zamanda iyi uyuşan sıcaklık kaymalarının tersinmezlikleri azaltması ile de alternatif bir anlam ifade etmektedir. Alternatif karışımı ait STK'nın yerine kullanıldığı saf akışkanından yüksek olabilmesi karışımı oluşturan bileşenlerin STK'larının yerine geçikleri saf akışkanından büyük olmaları ile sağlanabilir. Yine bu sonuç da sıcaklık kaymalarının uyumlu olması ile örtüşen bir değerlendirmedir. Yukarıda R12, R22 ve R502 için kaynaklardan alınmış alternatif karışımalar sözü edilen bu değerlendirmelerle ilerleyen kısımda ele alınacaktır.

Aşağıda sırayla R12, R22 ve R502'nin alternatif karışımıları önce KNS açısından Çizelge 2.1'de değerlendirilmektedir. Bu çizelgedeki değerler dikkate alındığında; R12, R22 ve R502'nin hepsi için geçerli olmak üzere, şimdije kadar yapılan araştırmalarda takdim edilen alternatifleri oluşturan bileşenlerin sözü edilen akışkanların KNS'sinin altında ya da üstünde yer alması bakımından uygunlukları da verilmiştir. Çizelgeden, uygun olanlar için bileşen KNS'lerinin temsilcisi olduğu akışkanların KNS'sine göre altta ve üstte yer aldığı; uygun olmayanların ise sözkonusu akışkanın KNS'sinin ya altında ya da üstünde yer aldığı gözlenmektedir. Bu çizelgeye göre belirlenmiş olan uygunsuz alternatifler de uygun olanlarının yanında, kaynaklarda ilgili 3 akışkan için alternatif olarak tanımlanmış olmaları nedeniyle diğer performans kriterleri açısından da incelenmeye devam edilecektir. KNS açısından uygun gözükmeyen karışımalar, azeotrop karışımalar

olması dolayısıyla özellikle tercih edilmektedir. Daha önce de belirtildiği gibi azeotrop karışımlar saf akışkan gibi davranışının için özelliklerinin belirlenmesi daha kolay olmaktadır.

Kaynaklarda bu üç akışkan için teklif edilen alternatif akışkan karışımıları da iki türlü düşünülmektedir. Birincisi mevcut sistemlerdeki R12, R22 ve R502'nin yerine kullanılacak karışımlar, diğeri de yeni tasaranacak sistemlerde kullanılacak karışımlar. Dolayısıyla yukarıda özellikle HSK'ların eşit olması gerekliliği birinci tür için geçerlidir. Yeni tasaranacak sistemlerde zaten kullanılacak yeni akışkan dikkate alınacaktır.

Çizelge 2.1. R12, R22 ve R502 alternatifleri karışımlarının KNS açısından uygunluğu

Alternatif Karışımlar		KNS Değerleri (°C)				Uygunluk
		1.bileşen	2.bileşen	3.bileşen	4.bileşen	
R12 (-29.75)	R152a/R134a	-24	-26.07			-
	R600a/R134a	-11.61	-26.07			-
	R290/R134a	-42.09	-26.07			+
	R290/R600a	-42.09	-11.61			+
R22 (-40.81)	R32/R125/R134a	-51.65	-48.14	-26.07		+
	R32/R125/R290/R134a	-51.65	-48.14	-42.09	-26.07	+
	R32/R134a	-51.65	-26.07			+
	R32/R125	-51.65	-48.14			-
	R290/R134a	-42.09	-26.07			+
R502 (-45.26)	R32/R125/R143a	-51.65	-48.14	-47.22		-
	R125/R143a/R134a	-48.14	-47.22	-26.07		+
	R32/R125/R134a	-51.65	-48.14	-26.07		+
	R125/R143a/R290	-48.14	-47.22	-42.09		+
	R125/R290/R134a	-48.14	-42.09	-26.07		+

3. ARAŞTIRMA BULGULARI ve TARTIŞMA

3.1. Sayısal Hesaplama Parametreleri

İncelemesi yapılacak saf akışkanlar ve karışımıları için öncelikle Kaynama Noktası Sıcaklıklarını (KNS) tespit edilmiş daha sonra Termodinamiğin 1.Yasasına dayalı olarak hesaplanan Soğutma Tesir Katsayıları (STK), soğutma kapasitesinin kompresöre girişteki akışkan özgül hacmine bölünmesi ile elde edilen Hacimsel Soğutma Kapasiteleri (HSK), yoğunsturucu basıncının buharlaştırıcı basıncına oranı olan Basınç Oranları (BO), birim HSK başına STK'yi vermek üzere STK/HSK değerleri, kompresör işleri (W_k) ve Termodinamiğin 2.Yasasına dayalı olarak hesaplanan Oransal Verim (OV) ile Toplam Tersinmezlikler (TT) çizelge ve grafik olarak verilmiştir. Sabit sıcaklığa dayalı hesaplamalarda Şekil 1.1.'deki klasik çevrim ve Şekil 1.3.'deki emme/sıvı hattı ısı değiştiricili çevrim, sabit soğutma yüküne dayalı hesaplamalarda ise Şekil 2.1.'deki sıvı/emme hattı ısı değiştiricili çevrim dikkate alınmıştır.

3.2. Sabit Sıcaklığa Dayalı Hesaplamalar

Bu hesaplamalarda, çevrimde buharlaştırıcı ve yoğunsturucu çıkışındaki sıcaklıklar sabit alınarak hesaplamalar yapılır. Sözü edilen bütün saf akışkanlar ve karışımıları için KNS, STK, HSK, BO, STK/HSK, W_k , OV ve TT değerleri, çizelge

ve grafik olarak verilmiştir. Bu değerler klasik ve emme/sıvı hattı ısı değiştiricili çevrim için üç farklı buharlaştırıcı sıcaklığında (T_b) elde edilmiştir.

35°C'lik sıcaklık yoğunsturucu çıkış sıcaklığı olarak sabit alınırken, -20, -10 ve 0°C'lik sıcaklıklar parametrik anlamda buharlaştırıcı çıkış sıcaklıklarını olarak alınmıştır. Bu alınan değerler bir simülasyon sonucu bulunan değerler değil doğrudan kabul olarak alınmış değerlerdir. Buharlaştırıcı sıcaklığı (veya basıncı) ile yoğunsturucu sıcaklığı (veya basıncı) arasındaki fark azaldıkça STK değeri artacaktır. Pratikte ulaşılamayacak değerler dikkate alınırsa STK değerlerinin çok yüksek çıkacağı bir gerçektir. Teorik bir çalışma olması dolayısıyla sadece değişimin gözlenmesi amaçlandığından bu durum dikkate alınmamıştır. Şekillerin tamamında – 20, -10 ve 0 olarak gösterilen değerler yukarıda bahsedilen buharlaştırıcı sıcaklıklarını ifade etmektedir.

Bütün akışkanlar ve karışımalar dikkate alınırsa STK değerleri 2.8-10 arası değişirken oransal verim değerleri de %60-75 aralığında olmaktadır. Bu değerlerin üst sınırları genel olarak emme/sıvı hattı ısı değiştiricisinin kullanıldığı sistemde, alt sınırları da klasik sistemde elde edilmektedir.

3.2.1. Saf Akışkanların İncelenmesi

Saf akışkanlar için KNS, STK, HSK, BO, STK/HSK, W_k , OV ve TT değerleri Çizelge Ek 1.1.'de yer almaktadır, ayrıca bu değerler klasik çevrim için Şekil 3.1.'de ısı değiştiricili çevrim için de Şekil 3.2.'de çubuk diyagram olarak görülmektedir.

R600a sahip olduğu STK değerleriyle dikkat çekmektedir. Fakat kaynama noktası sıcaklığının yüksek olması nedeniyle kısıtlı uygulamaya sahiptir. Ayrıca

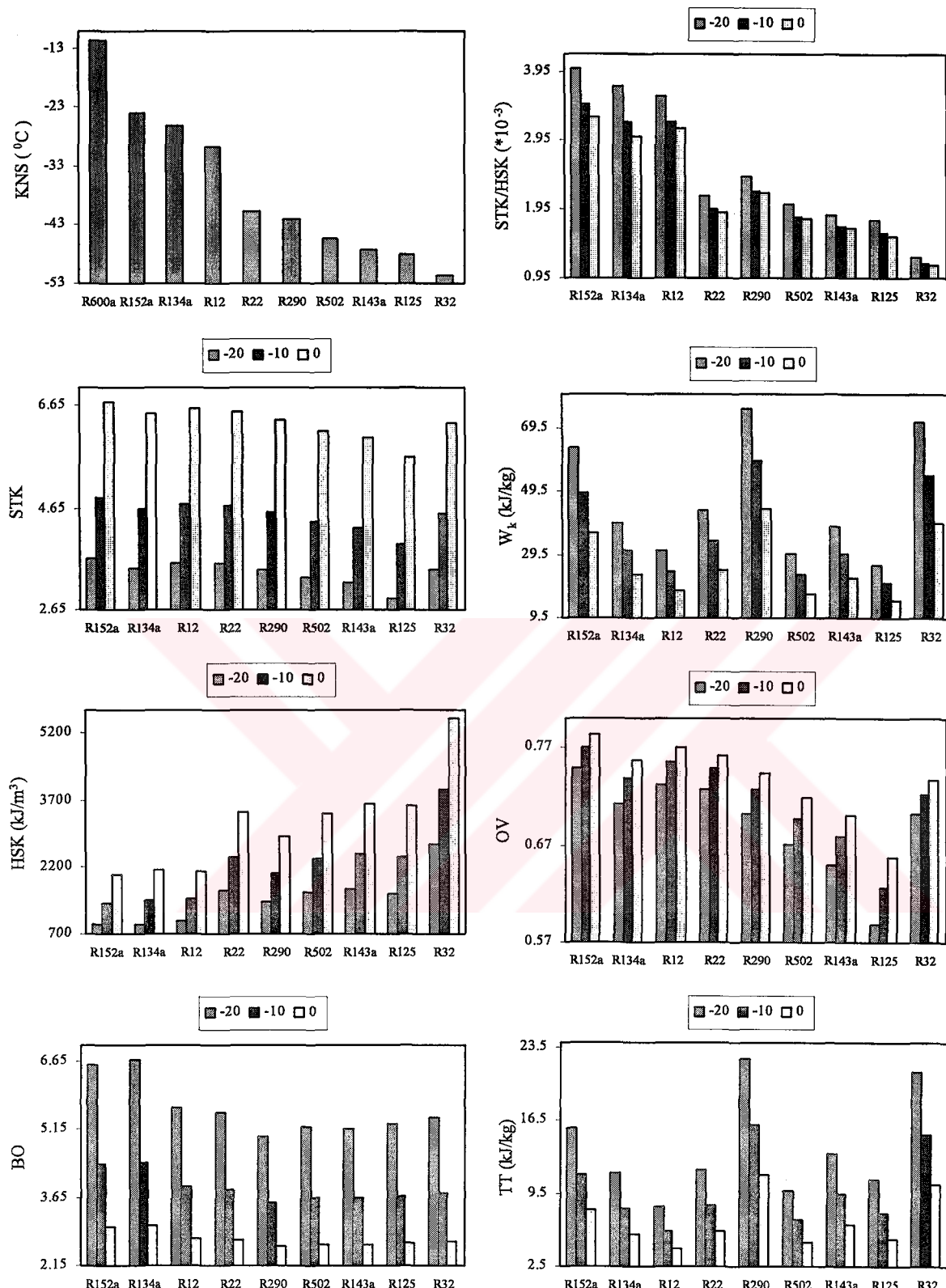
doymuş buhar eğrisinin dik (biraz da sola yatık) olması nedeniyle, kompresörde sıkıştırma sonucu ulaşılan durum doyma bölgesinde gözüktüğü için klasik çevrimde dikkate alınmamıştır. Ayrıca -20°C ve -10°C 'deki doyma basıncları atmosfer basıncından düşüktür ve bu durum sisteme atmosfer havası taşıması sebebiyle olumsuzluk arzeder. Fakat, teknolojik anlamda gelişmelerin paralelinde yeterli sızdırmazlık sağlanabilir. Bu sebeple ısı değiştiricili çevrimde bu akışkan için ilgili sıcaklıklar da dikkate alınmıştır.

Yukarıda numaraları verilen çizelge ve diyagramlardan, aşağıdaki değerlendirmeler yapılabilir:

Klasik çevrim için KNS'nin azalmasına göre düzenlenmiş akışkan sırası ile akışkanlara ait STK'ların sıralanışı R32 ve R134a'daki küçük sapmalar dışında uyum göstermektedir. Bir başka değişle KNS'nin düşmesi ile STK'nın azalması paralellik göstermektedir. Isı değiştiricili çevrim için sıralamanın başındaki 3-4 akışkan için ufak düzensizlik gözlense de KNS sıralamasına genelde uyum vardır. Dolayısıyla klasik çevrimde en yüksek STK değeri R152a'da en düşük ise R125'te, ısı değiştiricili çevrimde ise en büyük STK R600a'da, en düşük ise R32'de elde edilmektedir. STK değerleri 2.8 ile 6.7 arasında değişmektedir.

Her bir akışkan için klasik ve ısı değiştiricili çevrimlerde sabit buharlaştırıcı sıcaklığı (T_b) arttıkça STK değerleri artmaktadır. Ayrıca T_b arttıkça STK açısından akışkanlar birbirine yaklaşmaktadır. Kaynama noktası sıcaklığı yükseldikçe her iki sistem için de daha yüksek STK elde edilebileceği söylenebilmektedir.

R125, R143a, R134a, R290, R12 ve R502'de ısı değiştiricili çevrim daha yüksek STK değerleri vermeye, R32, R152a ve R22'de ise fark az da olsa klasik



Şekil 3.1. Sabit sıcaklık ve klasik çevrimde saf akışkanlar için termodinamik ve performans değerlerinin değişimi

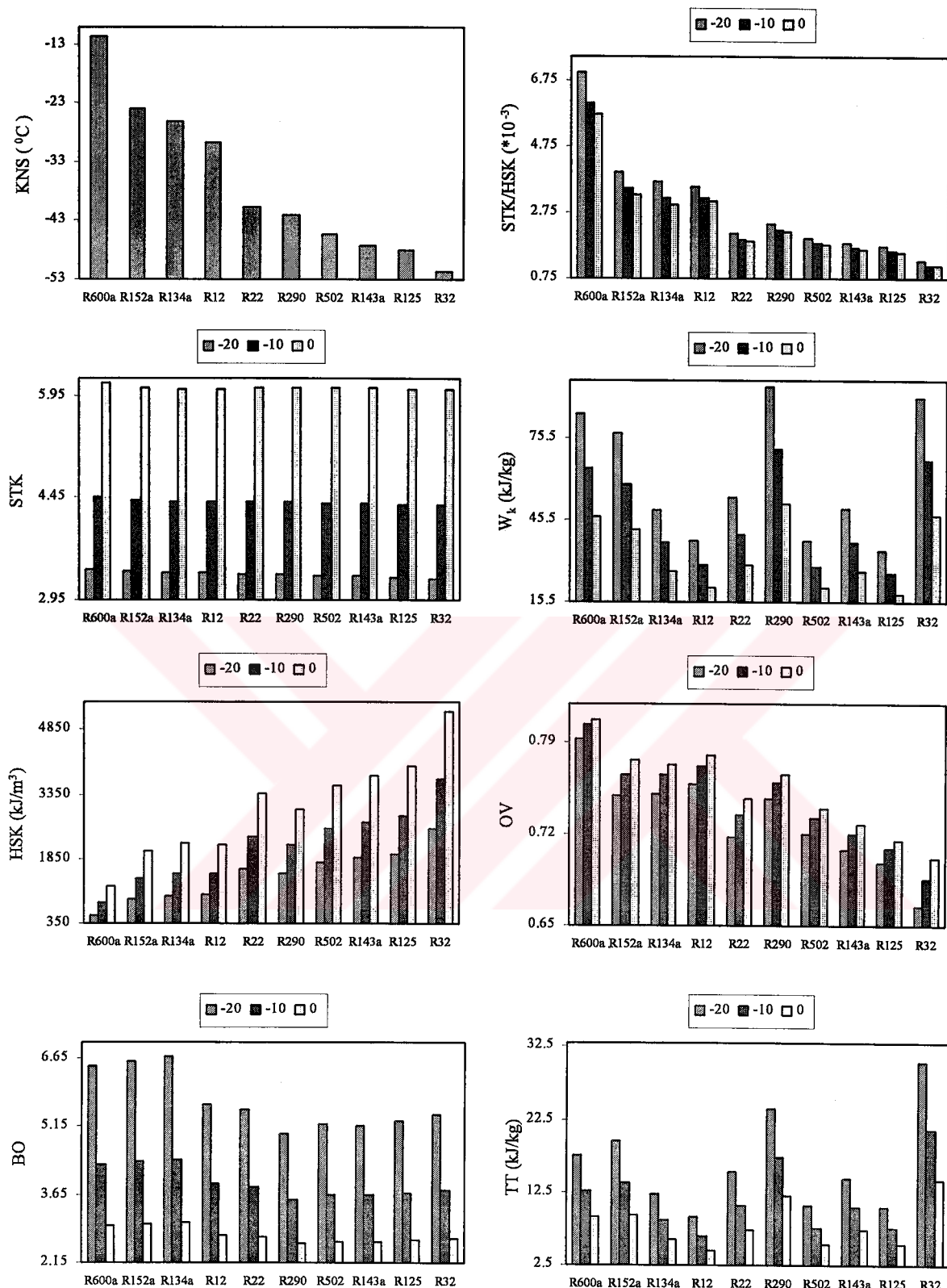
çevrimde daha yüksek STK değerleri elde edilmektedir.

Çalışmada kullanılan soğutucu akışkanlara ait HSK ve BO değerleri yine KNS sırası esas alınmak üzere aynı çizelge ve diyagramlarda görülmektedir. Bütün akışkanlar için buharlaştırıcı sıcaklığı yükseldikçe bekleniği üzere HSK artmakta BO düşmektedir.

Sabit buharlaştırıcı sıcaklığı arttıkça hem klasik hem ısı değiştiricili çevrimde HSK değerleri artış göstermektedir. Isı değiştiricinin kullanılması R134a, R12, R290, R502, R143a, R125'te HSK'yi artırmasına karşılık R152a, R22 ve R32'de azalmaya yol açmaktadır. Isı değiştiricinin HSK'ya olan etkisi STK'ya olan etkisiyle akışkanlar açısından paralellik göstermektedir. KNS'ye göre yapılan akışkan sıralaması ile HSK sıralaması ufak sapmalarla birlikte ters yönde uyum göstermektedir. Diğer bir deagine KNS'ler azalırken HSK'lar artış eğilimindedir.

R12 yerine klasik sistemde diğer saf akışkanlar kullanılmak istendiğinde R152a ve R134a dışındaki akışkanlar (ısı değiştiricili çevrim için R152a, R134a ve R600a) daha büyük HSK değerlerine sahip oldukları için daha küçük kompresör yer değiştirme hacmi temin edilmelidir. R152a ve R134a ise aynı sistemde yeterli kapasiteyi sağlayamayacaktır. Fakat tek sıradışı durum; her iki çevrimde de 0°C sabit buharlaştırıcı sıcaklığında R134a akışkanının HSK'sının R12'den büyük çıkmasıdır. R22 yerine klasik sistemde R143a, R125 ve R32 kullanılabilecekken ısı değiştiricili çevrimde R502 akışkanı da kullanılabilecektir. R502 yerine ise klasik ve ısı değiştiricili çevrimde R143a, R125 ve R32 akışkanları kullanılabilecektir.

Klasik ve ısı değiştiricili çevrimler için aynı kalan BO'nun akışkanlara göre aldığı değerler de aynı çizelge ve grafiklerde görülmektedir. İlgili basınç değerleri



Şekil 3.2. Sabit sıcaklık ve ısı değiştiricili çevrimde saf akışkanlar için termodinamik ve performans değerlerinin değişimi

yoğuşturucu ve buharlaştırıcıdaki sıcaklıklara karşı gelen kaynama ya da doyma basınçlarıdır. Sabit buharlaştırıcı sıcaklığı arttıkça basınç oranları düşmektedir. Bu düşmenin nedeni akışkanlar için kaynama noktalarına ait P-T diyagramından gözlenebilmektedir. Bu diyagramlarda KNS yükseldikçe basınç oranlarının düşeceği eğrilerden takip edilebilir. Akışkanların KNS sıralamasına göre de yine BO'larda ilk 3-4 akışkan için ufak karmaşa görülmesine rağmen genel eğilim düşme yönündedir.

Yukarıdaki değerlendirmeleri STK ile ilintili hale getirmek üzere aynı çizelge ve grafiklerde STK/HSK sütunu düzenlenmiştir. Bu sütun birim HSK için akışkanların sahip oldukları STK'ları göstermektedir. Böylece birinin yerine diğerinin kullanılabilme olasılığı için bir iyilik sıralaması ortaya çıkmaktadır. Bu sıralamalar da KNS sırasıyla büyük oranda uyum göstermektedir. Sabit buharlaştırıcı sıcaklığı yükseldikçe akışkanların bu anlamdaki iyilikleri azalmaktadır. Ayrıca KNS sıralaması azalan yönde bu iyiliğin azalması ile örtüşmektedir. Yani kısaca KNS'si yüksek olan akışkanın birim HSK için STK'ları da yüksek veya tersi geçerli olmaktadır. Hatta, KNS'leri birbirine yakın olan R152a, R134a ve R12'nin STK/HSK değerleri de birbirine yakın çıkmaktadır. Bu değerler klasik ve ısı değiştiricili çevrim için hemen hemen aynı kalmakta ve yapılan değerlendirmeler hem klasik hem de ısı değiştiricili çevrim için geçerli olmaktadır.

Kompresör işi de (akışkanın birim kütlesine kazandırdığı enerji) aynı çizelge ve grafiklerde gösterilmiştir. İki çevrimde de en az iş R125'te, en fazla iş R290'da harcanmaktadır. Kompresör işinin STK ile ters orantılı bir davranış göstereceği beklenen bir gelişmedir. Fakat en fazla işin R290'da çıkması buharlaşma entalpisi ile açıklanabilir. Çünkü soğutucu akışkanın birim kütlesi için hesaplamalar yapılmıştır.

Termodinamiğin 2. Yasası'na dayalı hesaplanan OV ve TT değerleri de aynı çizelge ve şekillerde yer almıştır. Soğutma çevrimi kapalı bir çevrim olması dolayısıyla, OV hesabında entropi değerleri hesaba katılmamaktadır. Dolayısıyla STK'daki akışkanlara göre dağılım aynen OV için de geçerlidir. Yani klasik çevrimde R152a'nın ısı değiştiricili çevrimde de R600a'nın avantajı OV değerlerinde de görülmektedir.

2. Yasaya göre değişim TT'de daha net gözükmektedir. Klasik çevrimde en fazla tersinmezlik -20°C 'lik buharlaştırıcı sıcaklığı için 22.486 kJ/kg'luk değerle R290'da meydana gelirken bunu 21.282 kJ/kg'luk değerle R32 takip etmekte ve en düşük tersinmezlik 8.239 kJ/kg'luk değerle R12'de gerçekleşmektedir. Bu sıralama farklı değerlerle diğer buharlaştırıcı sıcaklıklarını için de geçerlidir. Buharlaştırıcı sıcaklığı arttıkça beklendiği gibi bütün akışkanlarda tersinmezlik azalmaktadır. -20°C ile 0°C arasında tersinmezlikte meydana gelen en büyük azalma %51.9'la R125'te, en küçük azalma da %49.8'le R12'de gerçekleşmektedir. Isı değiştiricili çevrimde ise en fazla tersinmezlik -20°C 'lik buharlaştırıcı sıcaklığı için 30.388 kJ/kg'luk değerle R32'de meydana gelmekte ve bunu aynı sıcaklık için 23.842 kJ/kg'luk değerle R290 takip etmektedir. En düşük değer ise yine aynı sıcaklık için 9.21 kJ/kg'luk değerle R12'ye aittir. -20°C ile 0°C arasında tersinmezlikte meydana gelen en büyük azalma %53.5'le R32'de en küçük azalma da %49.2'yle R125'de gerçekleşmektedir.

Isı değiştiricili çevrimin kullanılması açısından en olumsuz durum R32'de gözükmekte, çünkü tersinmezlikte %35-40 mertebesinde artma gözlenmektedir. En avantajlı durum ise R125 akışkanı için geçerlidir. Tersinmezlikte az da olsa azalma

bile gözlenmektedir. R32'den sonra R22 akışkanında da %23-30 mertebesinde artma gözlenmektedir.

3.2.2. Karışımların İncelenmesi

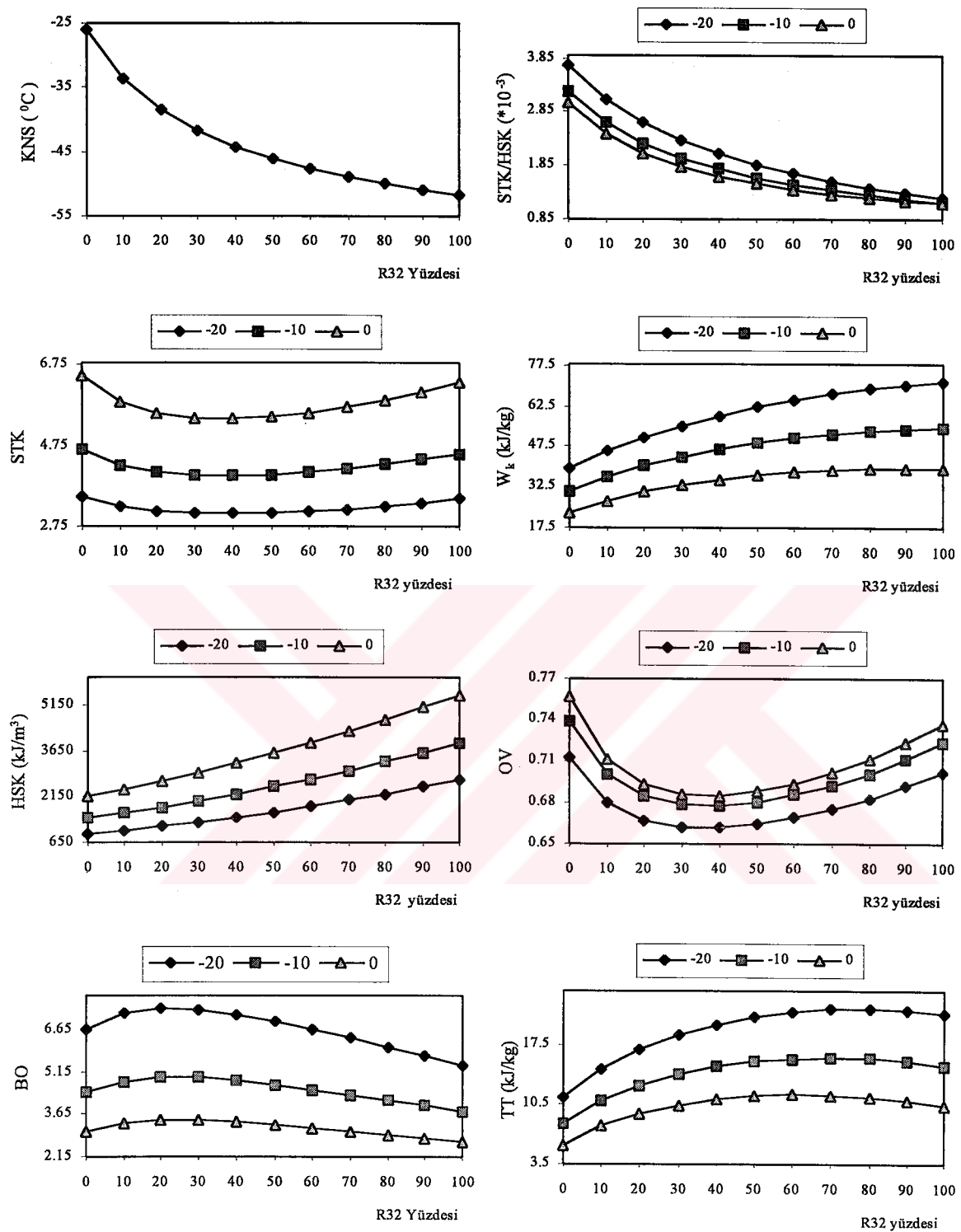
Karışımların kullanılma amacı daha önce açıklanmıştı. Bu alt başlıkta ikili, üçlü ve dörtlü karışımın klasik ve ısı değiştiricili çevrimde farklı buharlaştırıcı sıcaklıklarında kullanılmalıyla çevrim için ulaşılacak performans değerleri incelenecaktır.

Zeotropik karışımlarda faz değişimi esnasında sıcaklık farkının olduğu önceki bölümlerde belirtilmişti. Karışımlara ait KNS değeri olarak doymuş sıvı sıcaklığı alınmıştır. Çünkü ilk buharlaşma doymuş sıvı eğrisinden itibaren başlamaktadır. BO değerleri hem klasik hem de ısı değiştiricili çevrim için aynıdır.

3.2.2.1. R32/R134a Karışımları

R32'nin KNS değerinin R134a'dan daha düşük olduğu daha önce belirtilmiştir. Dolayısıyla bu karışımı ait KNS değerleri R32 kütle yüzdesinin artması ile azalmaktadır. (Çizelge Ek 1.2., Şekil 3.3.-3.4.)

Buharlaştırıcı sıcaklığının artmasıyla bekleniği gibi STK değerleri artmaktadır. STK değişimi klasik çevrimde 50/50 oranındaki karışımı kadar azalmakta daha sonra ise artmaktadır. Isı değiştiricili çevrimde ise bu 60/40 oranından sonra artma gözlenmektedir. Klasik çevrimde en yüksek STK değeri 90/10 oranında, en düşük STK değeri ise 40/60 oranında elde edilmektedir. Isı değiştiricili



Şekil 3.3. Sabit sıcaklık için klasik çevrimde R32/R134a karışımına ait termodinamik ve performans değerlerinin kütle oranıyla değişimi

çevrimde ise en yüksek değer 10/90 oranındaki karışımında, en düşük değer ise 50/50 oranındaki karışımında elde edilmektedir. STK'nın değişimi KNS'deki değişimden dolayı beklenen sonucu vermemektedir. Isı değiştirgecinin kullanımı 40/60 oranındaki karışımıma kadar avantajlı iken 50/50 oranı ve daha sonraki karışımlarda ise bu sağlanamamaktadır.

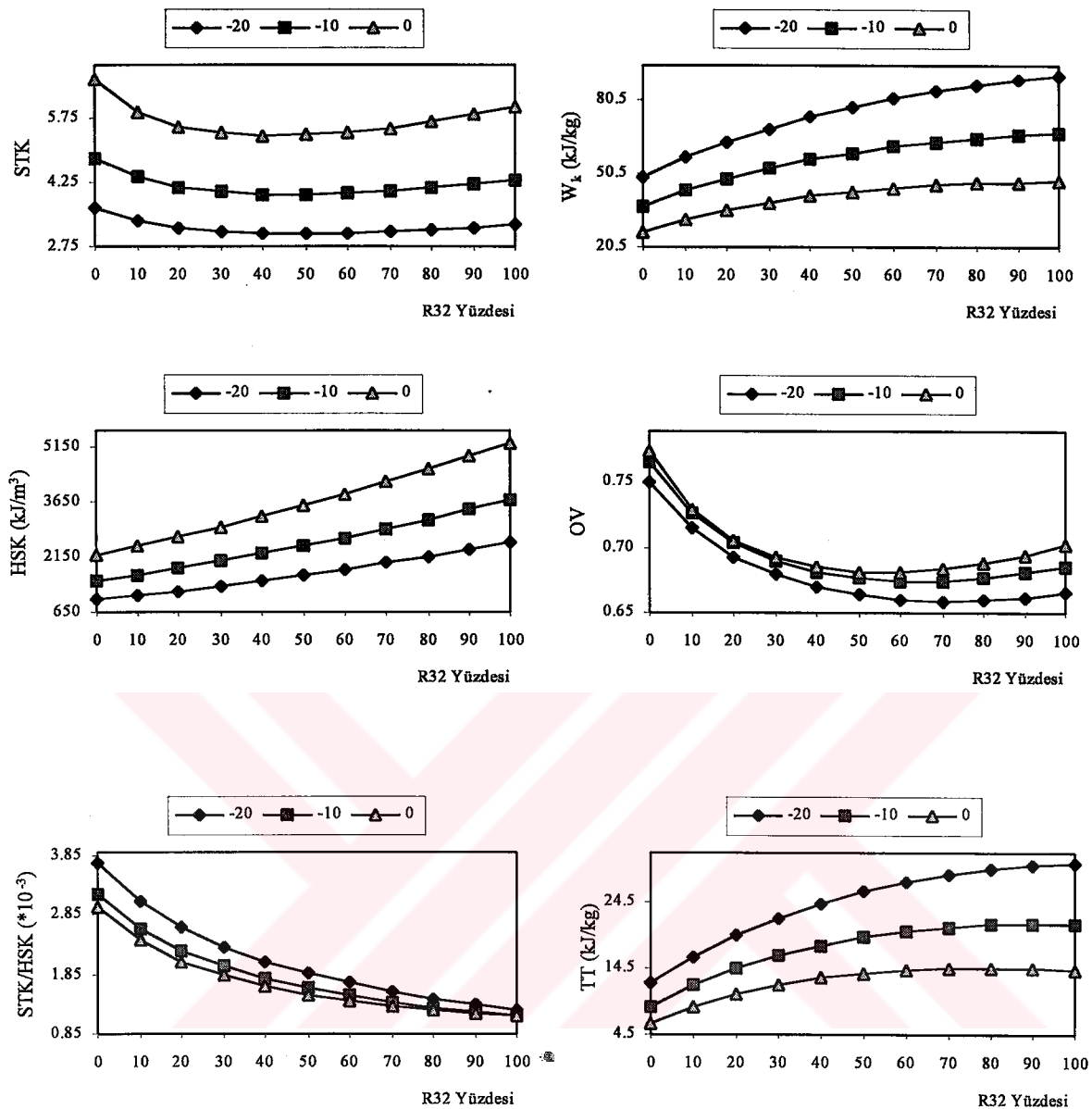
Buharlaştırıcı sıcaklığı arttıkça ve R32 oranı arttıkça HSK değeri artmaktadır. Bu değişim KNS ile uyum içindedir. Isı değiştirgecinin kullanılması ile 40/60 oranındaki karışımıma kadar HSK değeri artmakta, daha sonraki oranlarda ise azalmaktadır. Bu durum avantajlı olması bakımından STK için de geçerli idi.

BO değeri ise en yüksek 20/80 oranındaki karışımında elde edilmekte, bundan önceki ve sonraki karışımlarda ise azalmaktadır. BO'nun değişimi ise 20/80 oranındaki karşımdan sonra R32'nin artan yüzdesine paralel olarak KNS ve HSK ile uyum göstermektedir.

STK değişimi beklenenden farklı iken STK/HSK değişimi KNS ve HSK değişimi ile uyum içindedir. Dolayısıyla HSK arttıkça ve KNS düştükçe STK/HSK değişimi de azalmaktadır. Bu durum iki çevrim için de geçerlidir. Genelde ısı değiştiricili çevrimde daha düşük STK/HSK değerleri elde edilmektedir.

Kompresör işi de HSK değişimi gibi R32 yüzdesi arttıkça artmaktadır. Buharlaştırıcı sıcaklığı arttıkça bekendiği gibi kompresör işi azalmaktadır. İki çevrim için de bu durum geçerlidir. Isı değiştiricili çevrimde bekendiği gibi kompresör işi artmaktadır.

OV değişimi genelde STK değişimi ile benzerlik taşımakta, sadece ısı değiştiricili çevrimde en düşük değer 60/40 oranındaki karışımında elde edilmektedir.



Şekil 3.4. Sabit sıcaklık için ısı değiştiricili çevrimde R32/R134a karışımına ait termodinamik ve performans değerlerinin kütle oranıyla değişimi

Yine STK'daki gibi 40/60 oranındaki karışımıma kadar ısı değiştiricili çevrim avantajlı olmaktadır.

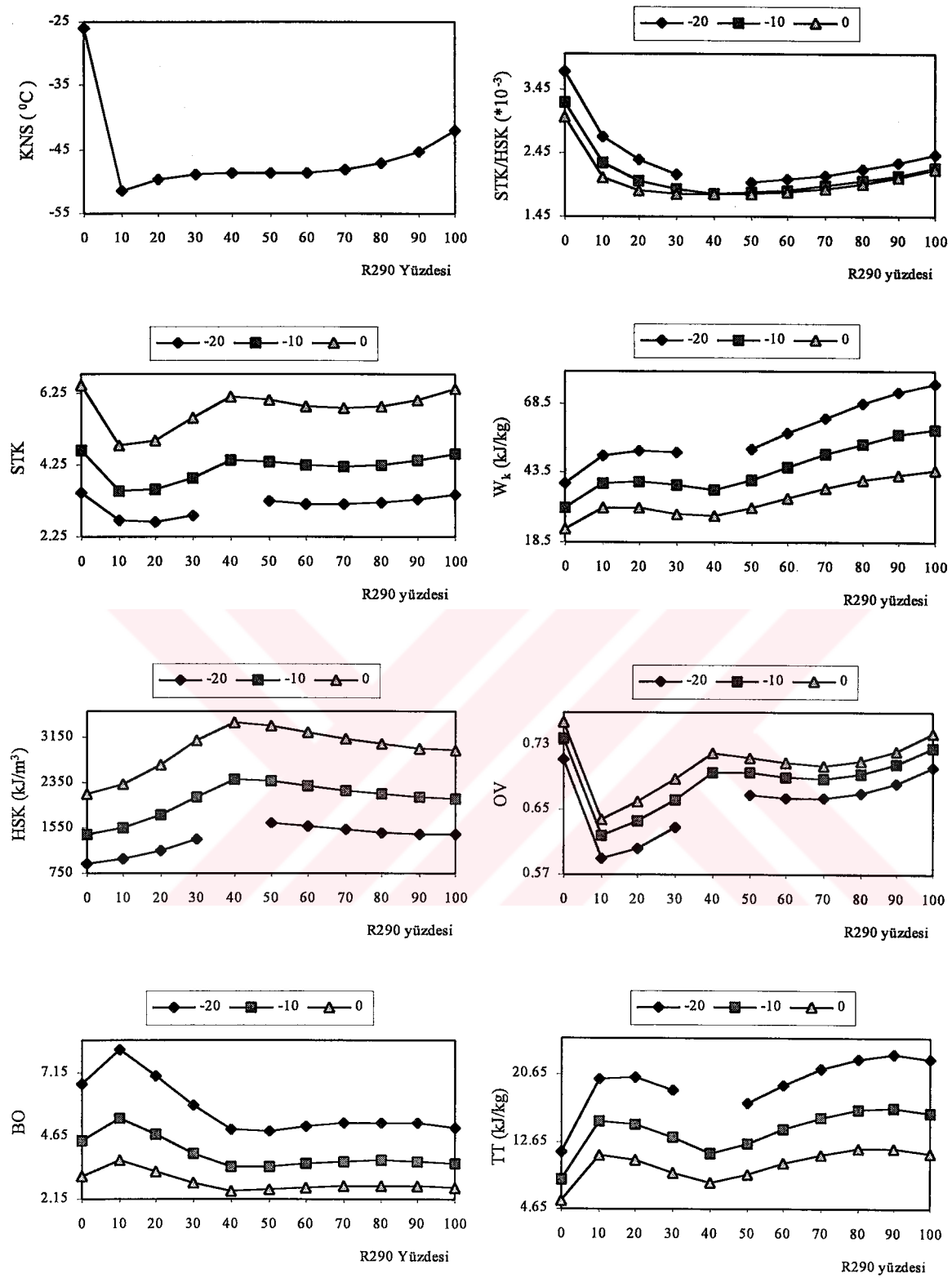
TT değişimi de kompresör işiyle benzerlik arz etmektedir. Yani genel itibariyle R32 oranı arttıkça TT artmaktadır. Fakat klasik çevrimde 70/30 oranındaki karışımından sonra TT'de azalma gözlenmektedir. Isı değiştirgecinin kullanımı bütün karışımlarda TT'de artışa neden olmaktadır.

Bu ikili karışımın 25/75 ve 30/70 oranındaki karışımları R22 için alternatif karışım olarak teklif edilmektedir.

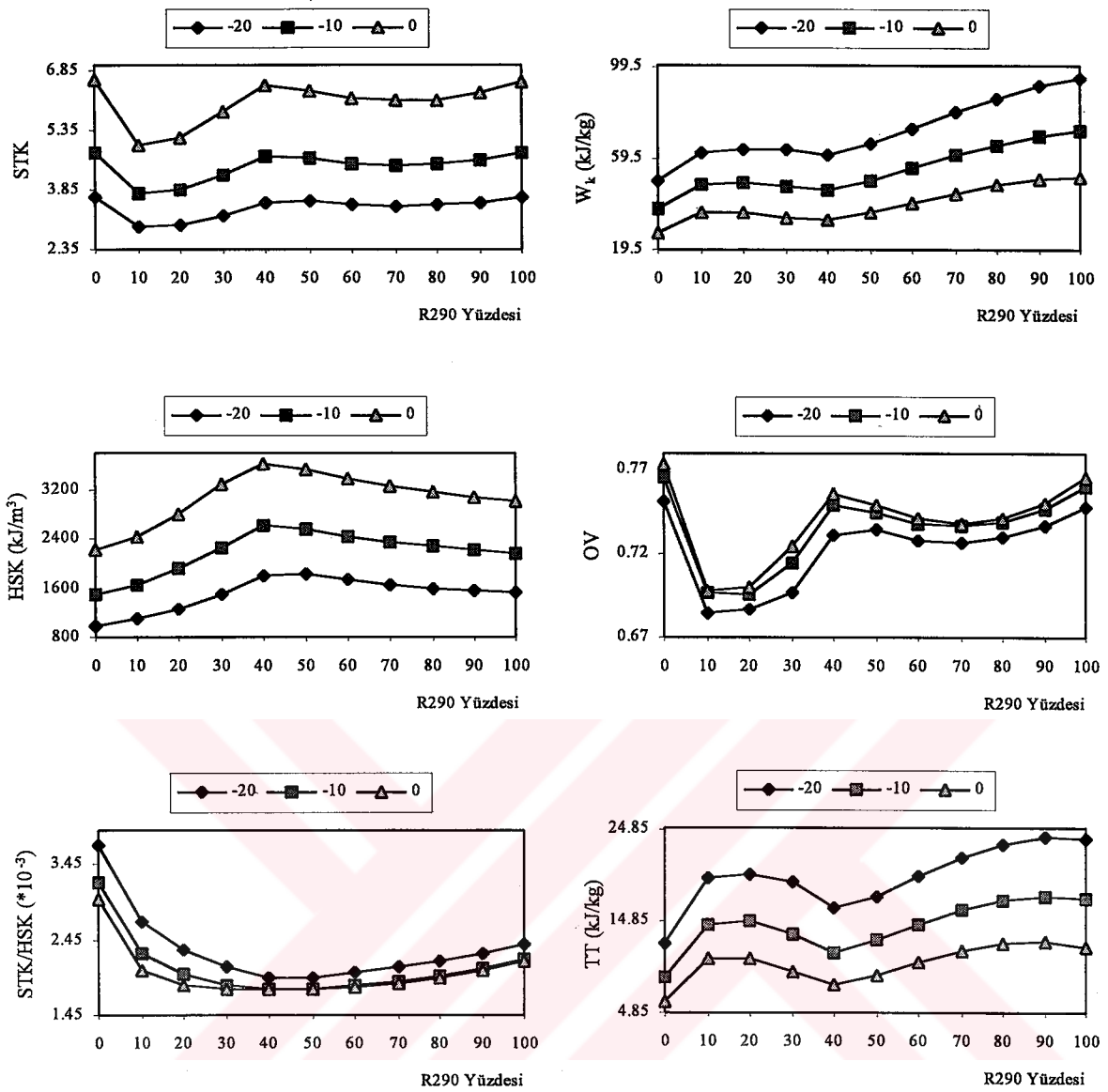
3.2.2.2. R290/R134a Karışımları

R290'nın KNS değeri R134a'dan daha yüksektir. (Çizelge Ek 1.3., Şekil 3.5.-3.6.) Karışma ait KNS değerleri ise bu iki bileşenin KNS değerleri arasında değişmesi beklenirken R290'nın KNS değerinden daha düşük değerler elde edilmektedir. Bu durum 46/54 oranında karışımın azeotrop bir karışım oluşmasıyla açıklanabilir. En düşük KNS değeri ani bir düşüşle 10/90 oranında elde edilmekte ve daha sonra R290 oranı arttıkça KNS değeri artmaktadır.

Buharlaştırıcı sıcaklığının artması ile STK değerleri belirgin olarak artmaktadır. STK değişimi iki çevrimde de 40/60 oranına kadar artış göstermekte, daha sonra 80/20 oranına kadar azalmakta ve tekrar artış göstermektedir. En yüksek STK değeri 40/60 oranında elde edilmektedir. Dolayısıyla KNS'deki değişime göre beklenen davranış STK'da gerçekleşmemektedir. Isı değiştiricili çevrim tamamıyla avantajlı gözükmektedir.



Şekil 3.5. Sabit sıcaklık için klasik çevrimde R290/R134a karışımına ait termodinamik ve performans değerlerinin kütle oranıyla değişimi



Sekil 3.6. Sabit sıcaklık için ısı değiştiricili çevrimde R290/R134a karışımına ait termodinamik ve performans değerlerinin kütle oranıyla değişimi

HSK değişimi her iki çevrimde de 40/60 oranına kadar artmakta daha sonra azalmaktadır. Dolayısıyla en yüksek HSK değerine 40/60 oranında ulaşmaktadır. Isı değiştiricili çevrimde daha yüksek HSK değerleri elde edilmektedir.

BO değişimi 40/60 oranına kadar azalmakta daha sonra az da olsa artış göstermekte, 80/20 oranında sonra tekrar azalmaktadır.

STK/HSK değişimi klasik ve ısı değiştiricili çevrimde 40/60 oranına kadar azalmakta daha sonra artış göstermektedir. Isı değiştiricili çevrimde daha düşük değerler elde edilmektedir.

Kompresör işi buharlaştırıcı sıcaklığının artması ile belirgin bir şekilde artmakta, genel itibariyle R290 oranı arttıkça da artış göstermektedir. Isı değiştiricili çevrimde daha yüksek iş girdisi olmaktadır.

OV değerleri açısından ısı değiştiricili çevrim avantajlıdır. İki çevrimde de STK değişimine benzer değişim elde edilmekte fakat sabit buharlaştırıcı sıcaklıklar arasında STK'da olduğu kadar farklılık olmamaktadır.

Bu ikili karışımın 46/54 oranındaki karışımı R22 için, 5/95 oranındaki karışımı da R12 için alternatif karışım⁽³³⁾ olarak kaynaklarda verilmektedir.

3.2.2.3. R600a/R134a Karışımı

Bu karışımın 18/82 oranında azeotrop bir karışımı söz konusudur ve bu R12 için alternatif bir karışım olarak kaynaklarda verilmektedir. Azeotrop noktaya kadar KNS değeri bileşenlerin KNS değerlerinin altına düşmekte daha sonra R600a oranı arttıkça KNS de yükselmektedir. (Çizelge Ek 1.4., Şekil 3.7.-3.8)

R600a'nın daha önce belirtilen özelliği gereği klasik çevrimde bu ikili karışım hesaplamaya dahil edilmemiştir. Böylece sadece ısı değiştiricili çevrim dikkate alınmıştır.

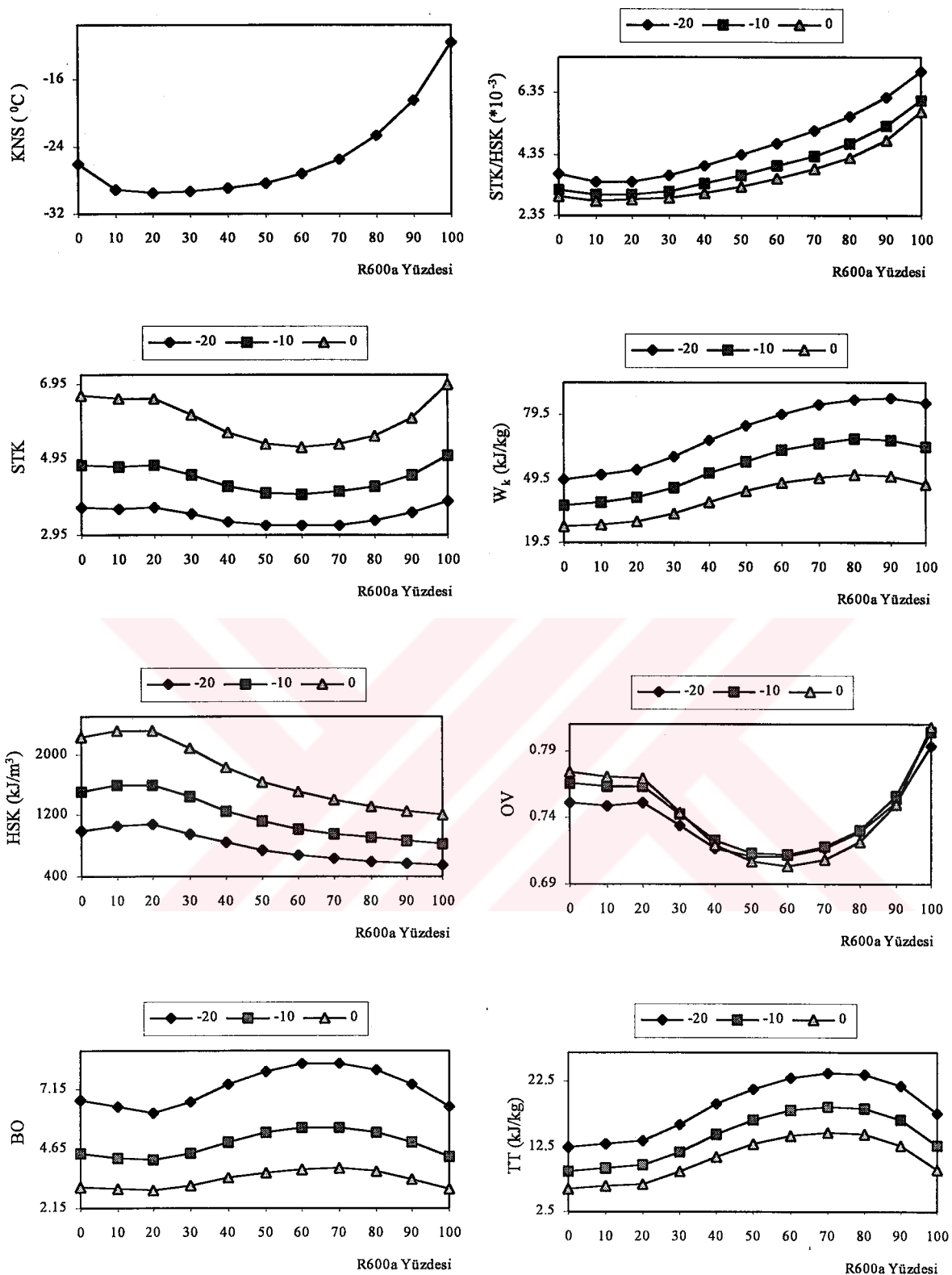
Buharlaştırıcı sıcaklığının düşmesiyle belirgin olarak STK artmaktadır. En yüksek STK değerleri 20/80 oranındaki karışımda elde edilmektedir. R600a'nın daha düşük oranlarında da yakın STK değerleri geçerlidir. 20/80 karışımından sonra R600a'nın %60 oranına kadar STK'da düşme olmakta ve sonra bu oran arttıkça tekrar yükselme görülmektedir. Böylece en düşük STK değerlerine 60/40 oranındaki karışımda ulaşılmaktadır.

HSK değerleri de 20/80 oranındaki karışımda (azeotrop noktaya yakın) en yüksek seviyededir. R600a'nın oranının azalması ve artması ile HSK değeri düşmektedir. Böylece KNS değişimiyle uyumlu bir davranış gözlenmektedir.

BO değişimi ise STK ile uyumlu gözükmemektedir. STK'nın yükseldiği yerlerde BO düşmektedir. Kompresör işi, R600a oranının artması ile artmaka, bu artış azeotrop noktadan sonra daha belirgin olmaktadır.

OV değişimi de beklentiği şekilde STK ile benzerlik taşımaktadır. Fakat farklı buharlaştırıcı sıcaklıklarında STK kadar değişiklik olmamaktadır. Ayrıca bazı oranlarda T_b yükseldikçe beklenliğinin aksine OV'de düşme dahi gözlenmektedir.

TT değişimi STK değişimi ile uygunluk arz etmektedir. Buharlaştırıcı sıcaklığının yükselmesi belirgin olarak TT değerleri artmaktadır. STK'nın en düşük olduğu yerde de en yüksek TT değeri elde edilmektedir.



Şekil 3.7. Sabit sıcaklık için ısı değiştiricili çevrimde R600a/R134a karışımına ait termodinamik ve performans değerlerinin kütle oranıyla değişimi

3.2.2.4. R152a/R134a Karışımı

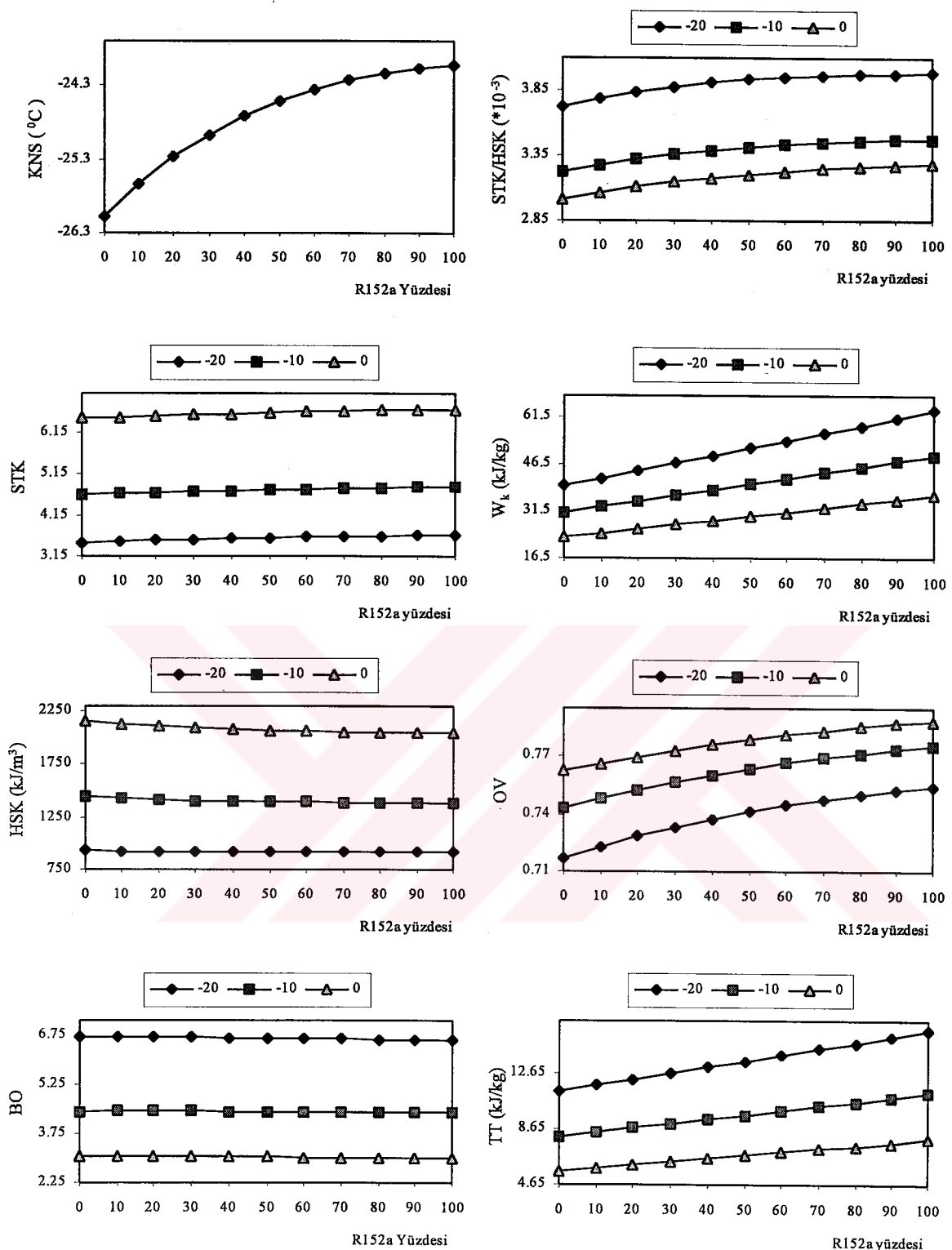
R152a oranının artması ile KNS değeri artmaktadır. Bu durum beklenen bir değişimdir. Çünkü R152a'nın KNS değeri R134a'nın değerinden yüksektir. (Çizelge Ek 1.5., Şekil 3.8.-3.9.)

STK değişimi iki çevrim için de T_b arttıkça artmaktadır. Sabit T_b 'ler için R152a oranının artması ile klasik çevrimde STK az miktarda artmakta, ısı değiştiricili çevrimde ise hemen hemen aynı kalmaktadır. -20 ve -10°C 'lik T_b sıcaklığında genelde ısı değiştiricili çevrim avantajlı iken, 0°C 'lik T_b sıcaklığında klasik çevrim avantajlı gözükmemektedir.

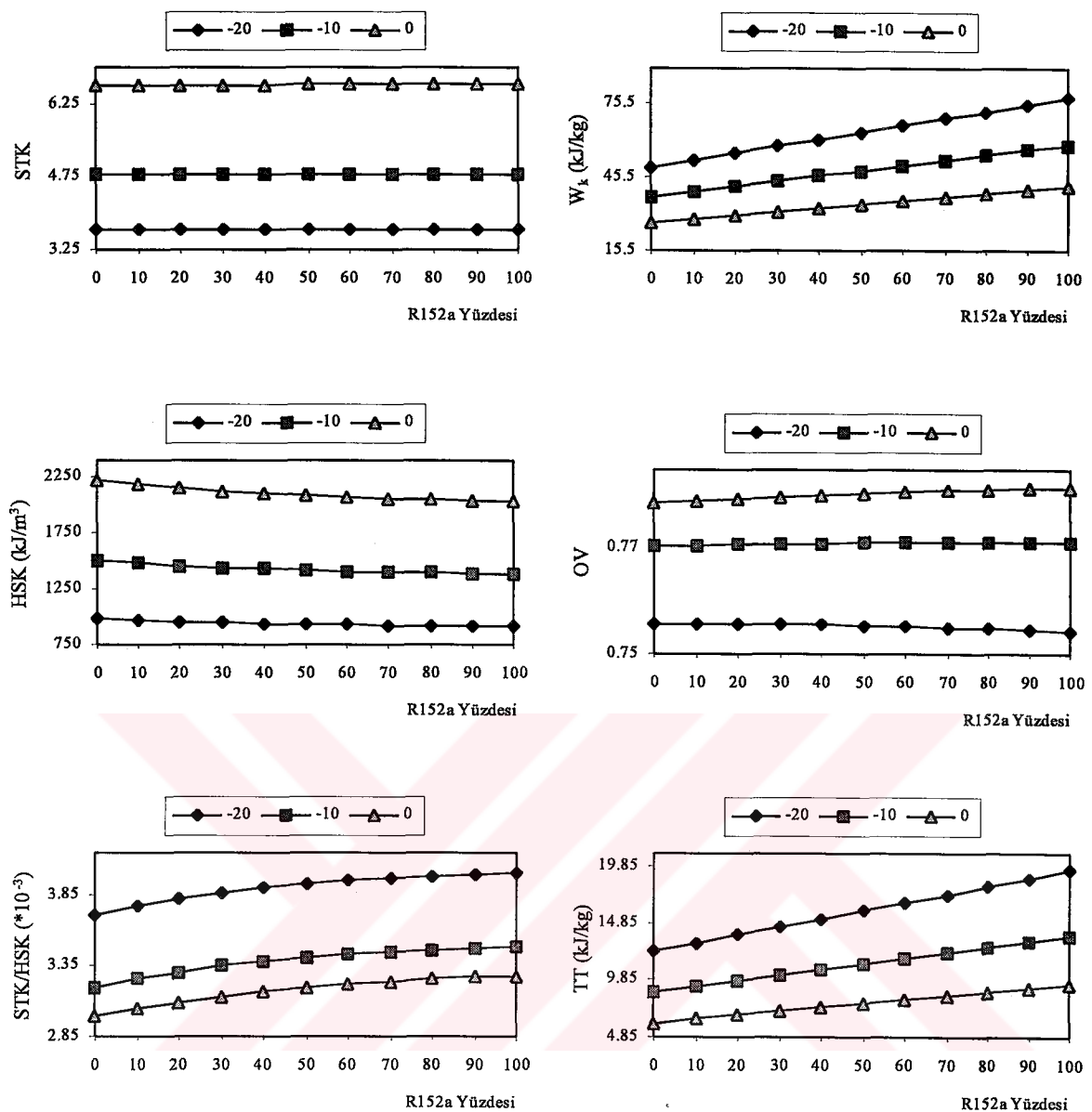
HSK değişimi de STK'da olduğu gibi iki çevrimde de T_b arttıkça artmakta, sabit T_b 'ler için R152a oranının artması ile küçük miktarlarda azalmaktadır. Böylece STK ve HSK değişimleri beklentiği şekilde gerçekleşmektedir.

BO değişimi T_b düştükçe artmakta, sabit T_b için R152a oranı arttıkça az da olsa azalmaktadır. W_k ve TT değişimi iki çevrim için de, T_b azaldıkça ve sabit T_b için R152a oranı arttıkça artış göstermektedir. OV değişimi de STK'da olduğu gibi iki çevrimde de T_b arttıkça yükselmektedir. R152a oranının artmasıyla ısı değiştiricili çevrimde OV hemen hemen aynı kalırken, klasik çevrimde artış göstermektedir. Genelde ısı değiştiricili çevrim avantajlı durumdadır.

14/86 oranındaki karışımı, R12 için alternatif karışım olarak teklif edilmektedir.



Şekil 3.8. Sabit sıcaklık için klasik çevrimde R152a/R134a karışımına ait termodinamik ve performans değerlerinin kütle oranıyla değişimi



Şekil 3.9. Sabit sıcaklık için ısı değiştiricili çevrimde R152a/R134a karışımına ait termodinamik ve performans değerlerinin kütleye oranıyla değişimi

3.2.2.5. R125/R143a Karışımı

Bileşenlerin KNS'leri birbirine oldukça yakın olduğu için hemen hemen 40/60 oranına kadar azeotropluk söz konusudur. Bu durum KNS değişiminde de gözlenmektedir. Çünkü bu orana kadar karışımın KNS değeri bileşenlerinkinden daha yüksek olmaktadır. (Çizelge Ek 1.6., Şekil 3.10.-3.11.)

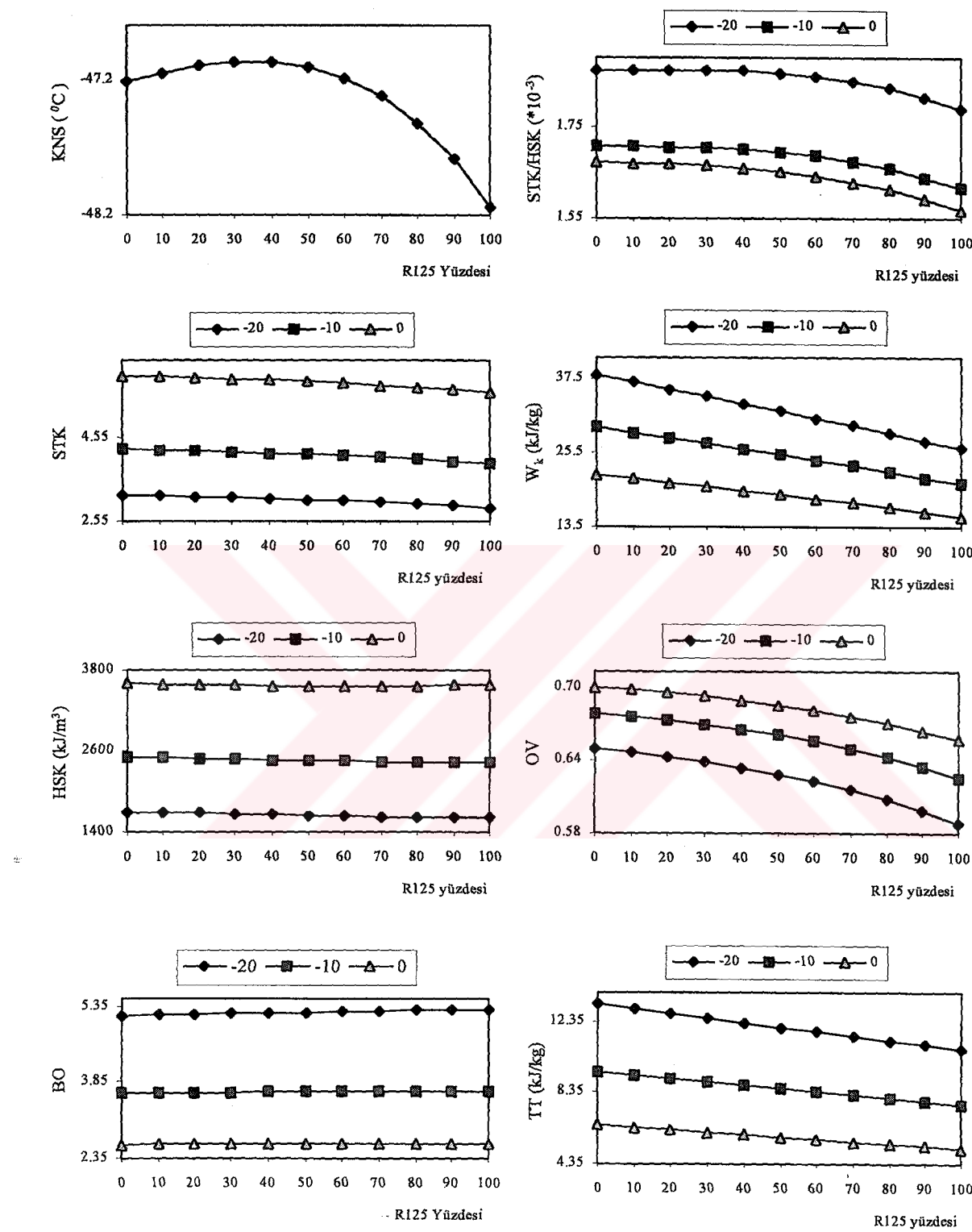
STK değişimi iki çevrim için de T_b arttıkça artmaktadır. Sabit T_b 'ler için R125 oranının artması ile klasik çevrimde STK azalmakta, ısı değiştiricili çevrimde ise hemen hemen aynı kalmaktadır. 10/90 oranındaki karışımında en yüksek STK değerleri elde edilmektedir. Isı değiştiricili çevrim ise her durumda daha yüksek STK değerlerine sahiptir.

HSK değişiminde T_b 'nin etkisi STK'daki gibidir. Sabit T_b 'ler için R125 oranının artması ile klasik çevrimde HSK'lar azalırken, ısı değiştiricili çevrimde ise artmaktadır.

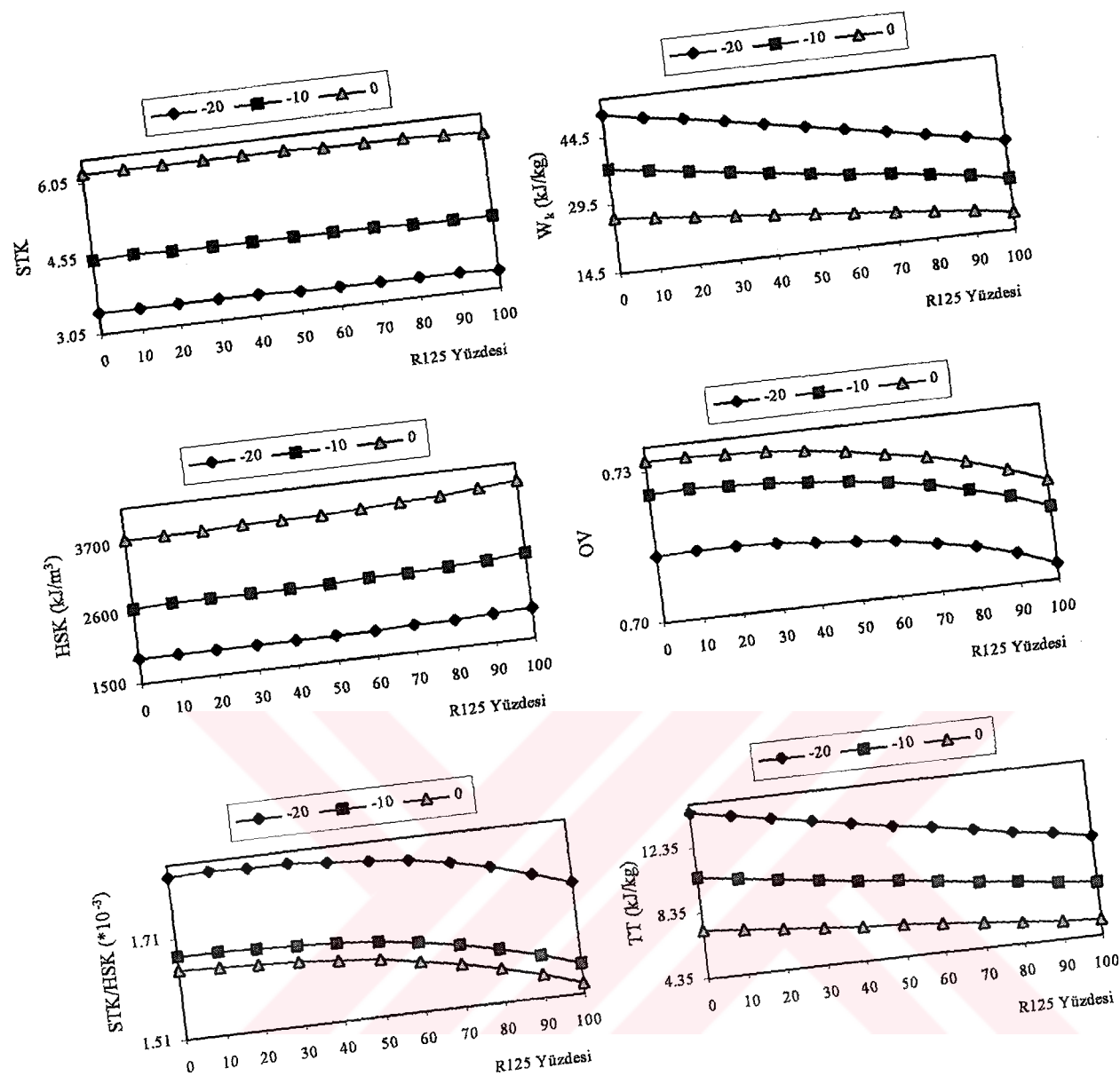
BO değişimi ise bekleniği şekilde T_b 'nin azalması ile ve R125 oranının artması ile artış göstermektedir. W_k ve T_T değişimi iki çevrim için de, T_b ve sabit T_b için R125 oranı azaldıkça artış göstermektedir.

3.2.2.6. R32/R125 Karışımı

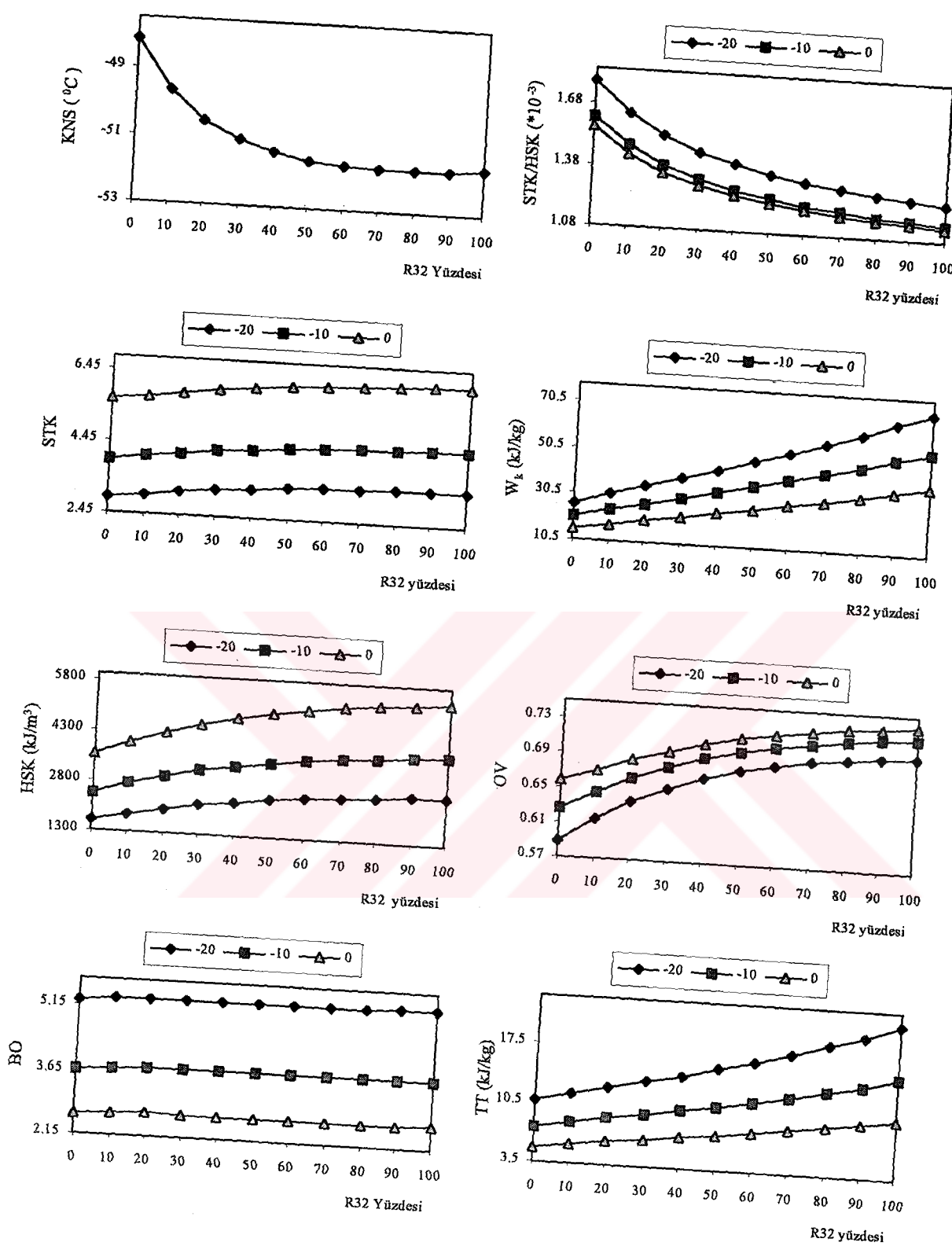
60/40 oranından sonra azeotropluk gözlenmektedir. Dolayısıyla KNS değeri 60/40 oranından sonra iki bileşenin de altında bir değere düşmektedir. 60/40 oranından önce R32 yüzdesinin artmasıyla R32'nin değerine yaklaşarak KNS azalmaktadır. (Çizelge Ek 1.7., Şekil 3.12.-3.13.)



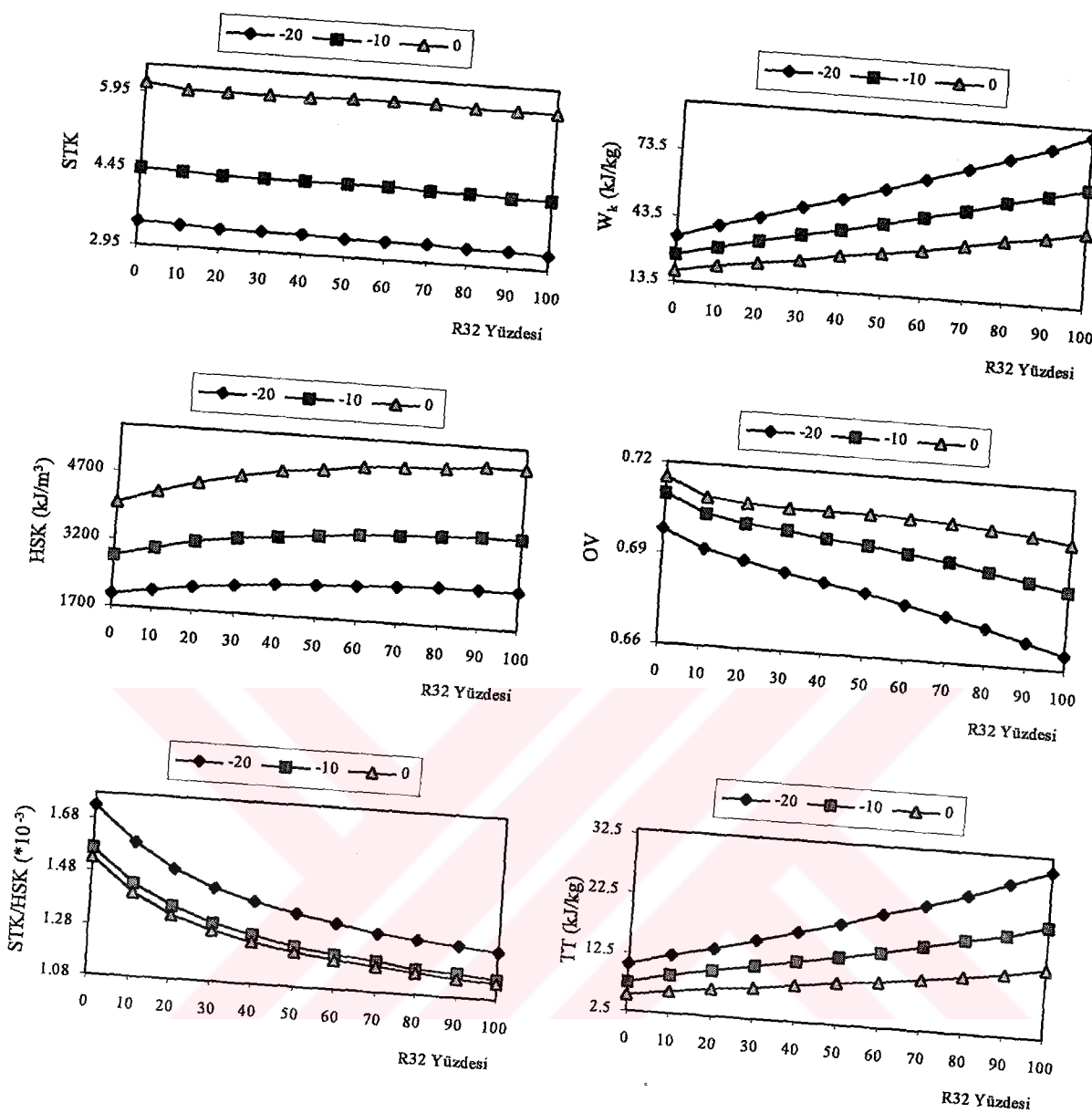
Şekil 3.10. Sabit sıcaklık için klasik çevrimde R125/R143a karışımına ait termodinamik ve performans değerlerinin kütle oranıyla değişimi



Şekil 3.11. Sabit sıcaklık için ısı değiştiricili çevrimde R125/R143a karışımına ait termodinamik ve performans değerlerinin kütle oranıyla değişimi



Şekil 3.12. Sabit sıcaklık için klasik çevrimde R32/R125 karışımına ait termodinamik ve performans değerlerinin kütle oranıyla değişimi



Şekil 3.13. Sabit sıcaklık için ısı değiştiricili çevrimde R32/R125 karışımına ait termodinamik ve performans değerlerinin kütle oranıyla değişimi

STK değişimi iki çevrim için de T_b arttıkça artmaktadır. Sabit T_b 'ler için R32 oranının artması ile klasik çevrimde STK'lar artarken ısı değiştiricili çevrimde azalmaktadır. 50/50 oranına kadar ısı değiştiricili çevrim avantajlı iken R32 oranı %50'yi geçtikten sonra klasik çevrim avantajlı olmaktadır.

HSK değişimi ise iki çevrim için de T_b ve sabit T_b 'ler için R32 oranı arttıkça yükselmektedir. BO değişimi de T_b azaldıkça ve sabit T_b 'ler için R32 oranı arttıkça yükselmektedir. W_k değişimi ise iki çevrimde de BO ile aynı değişime maruz kalmaktadır. OV değişimi STK ile TT değişimi ise W_k ile benzerlik taşımaktadır.

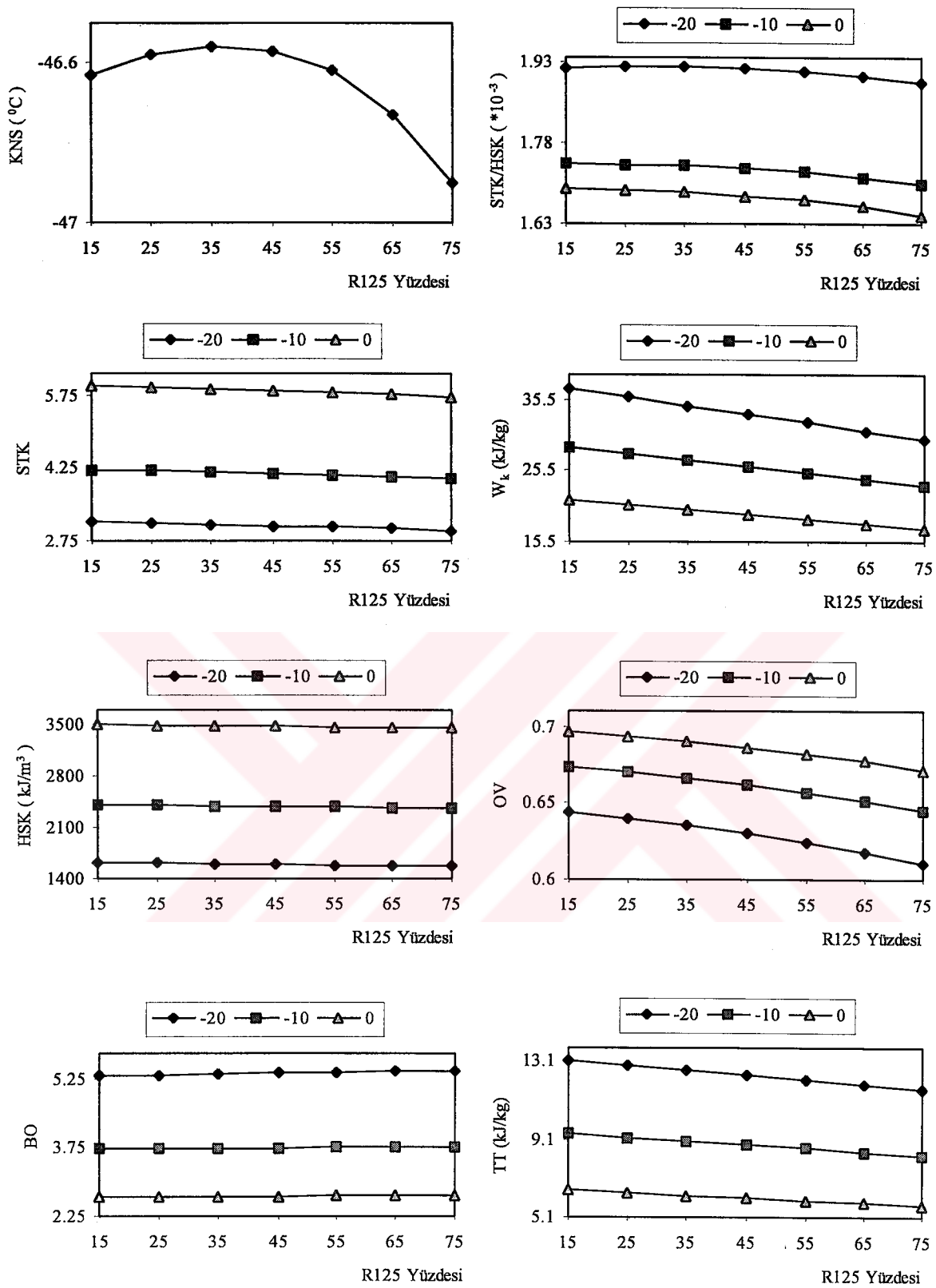
50/50 oranındaki karışımı, R22 için alternatif karışım olarak verilmektedir.

3.2.2.7. R125/R143a/R134a Karışımı

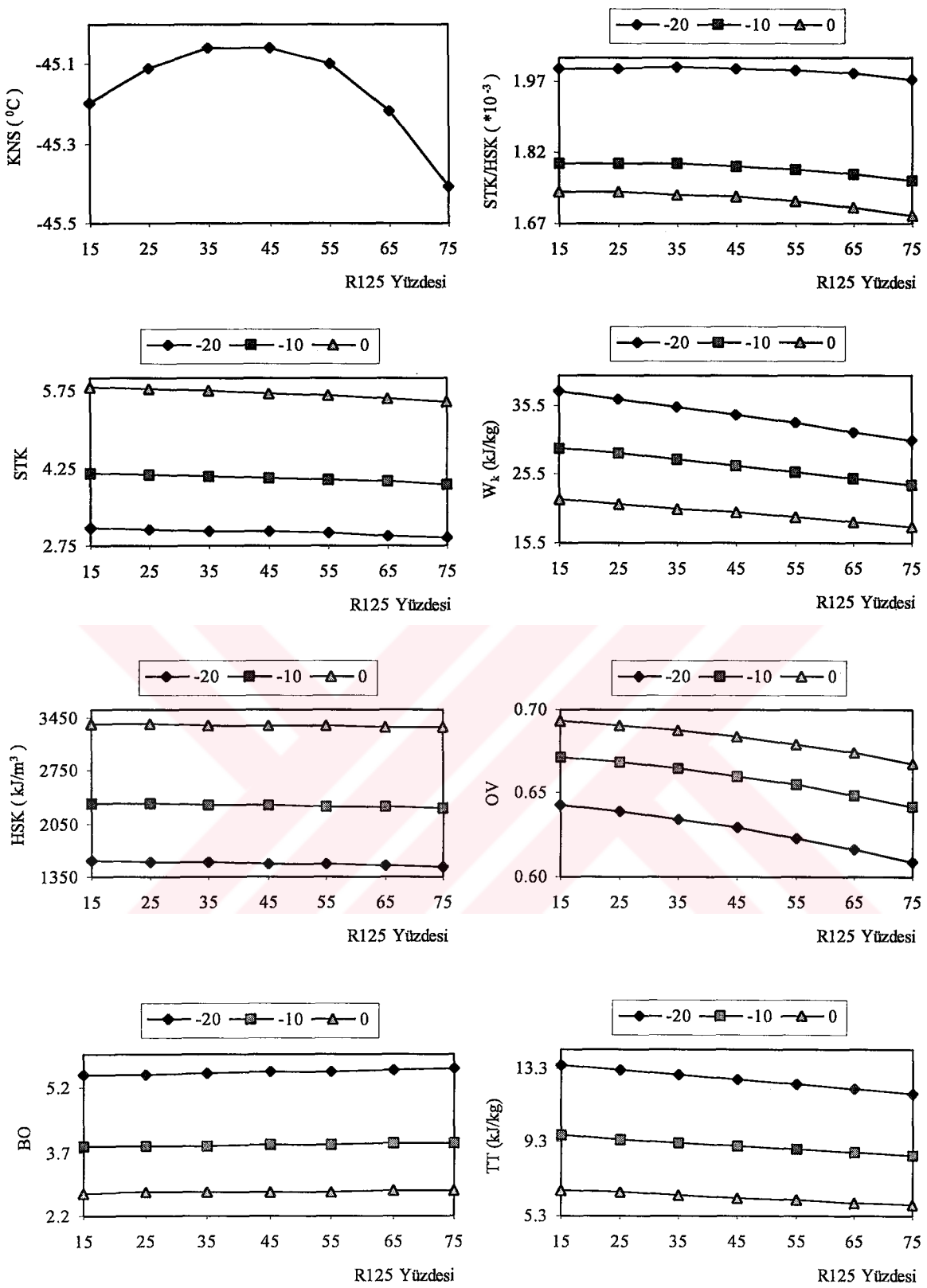
Sabit R134a yüzdeleri için %35'lik R125 oranına kadar KNS değerleri yükselmekte, sonra R125 oranı arttıkça düşmektedir. (Çizelge Ek 1.8., Şekil 3.14.-3.19.)

İki çevrimde de T_b arttıkça STK artmaktadır. Isı değiştiricili çevrim hep avantajlı durumdadır. İki çevrimde de sabit R125 oranı için R134a oranı arttıkça ve sabit R134a oranı için R125 oranı arttıkça STK düşmektedir. Dolayısıyla R125 ve R134a'nın düşük oranları avantajlı olmaktadır.

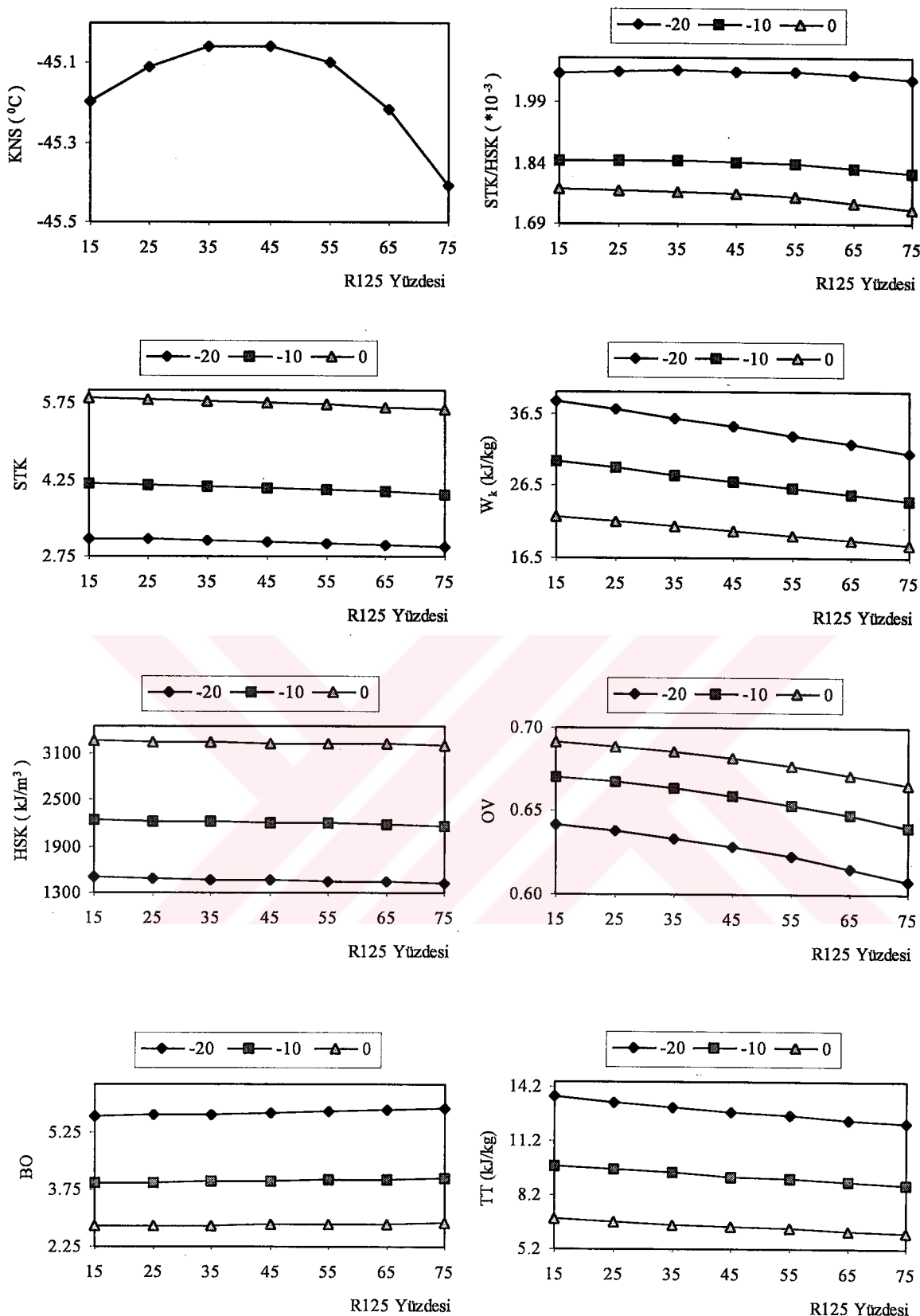
HSK değerleri de ısı değiştiricili çevrimde daha yüksektir. STK'da olduğu gibi iki çevrimde de sabit R125 oranı için R134a oranı arttıkça ve sabit R134a oranı için R125 oranı arttıkça HSK düşmektedir.



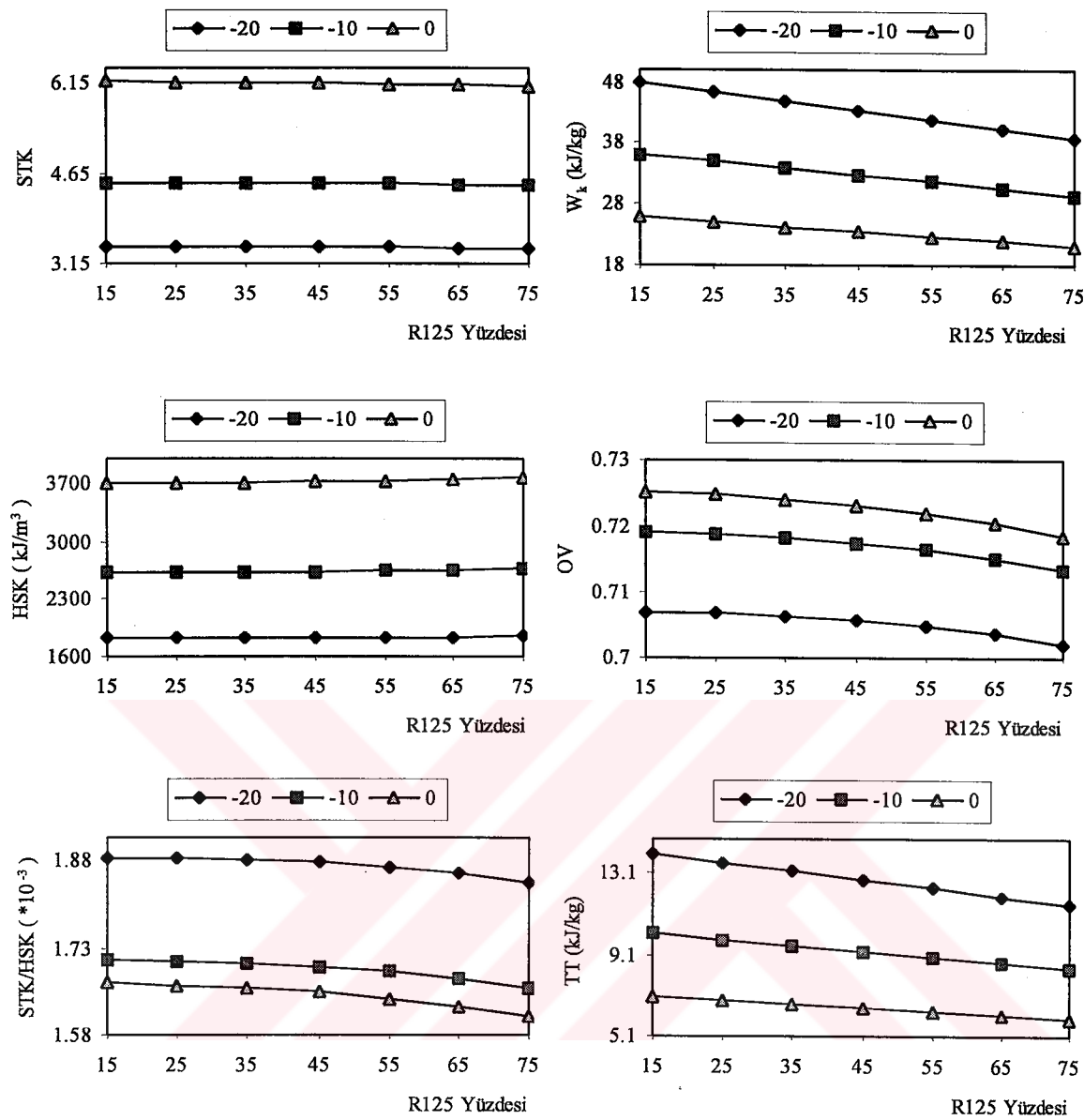
Şekil 3.14. R125/R143a/R134a karışımı için termodinamik ve performans değerlerinin kütle oranıyla değişimi (Sabit sıcaklık, klasik çevrim, %5'lik sabit R134a yüzdesi)



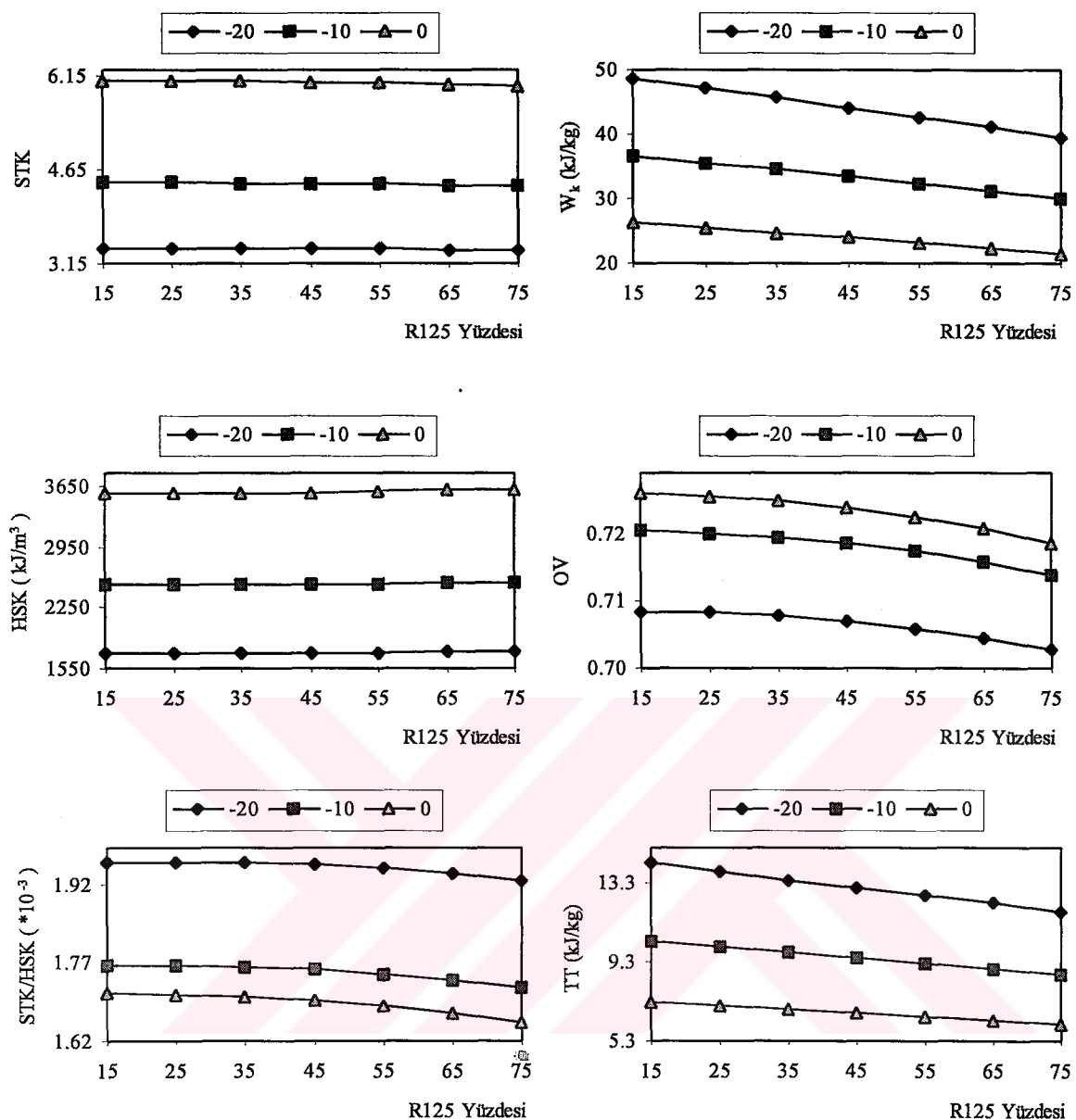
Şekil 3.15. R125/R143a/R134a karışımı için termodinamik ve performans değerlerinin kütle oranıyla değişimi (Sabit sıcaklık, klasik çevrim, %10'luk sabit R134a yüzdesi)



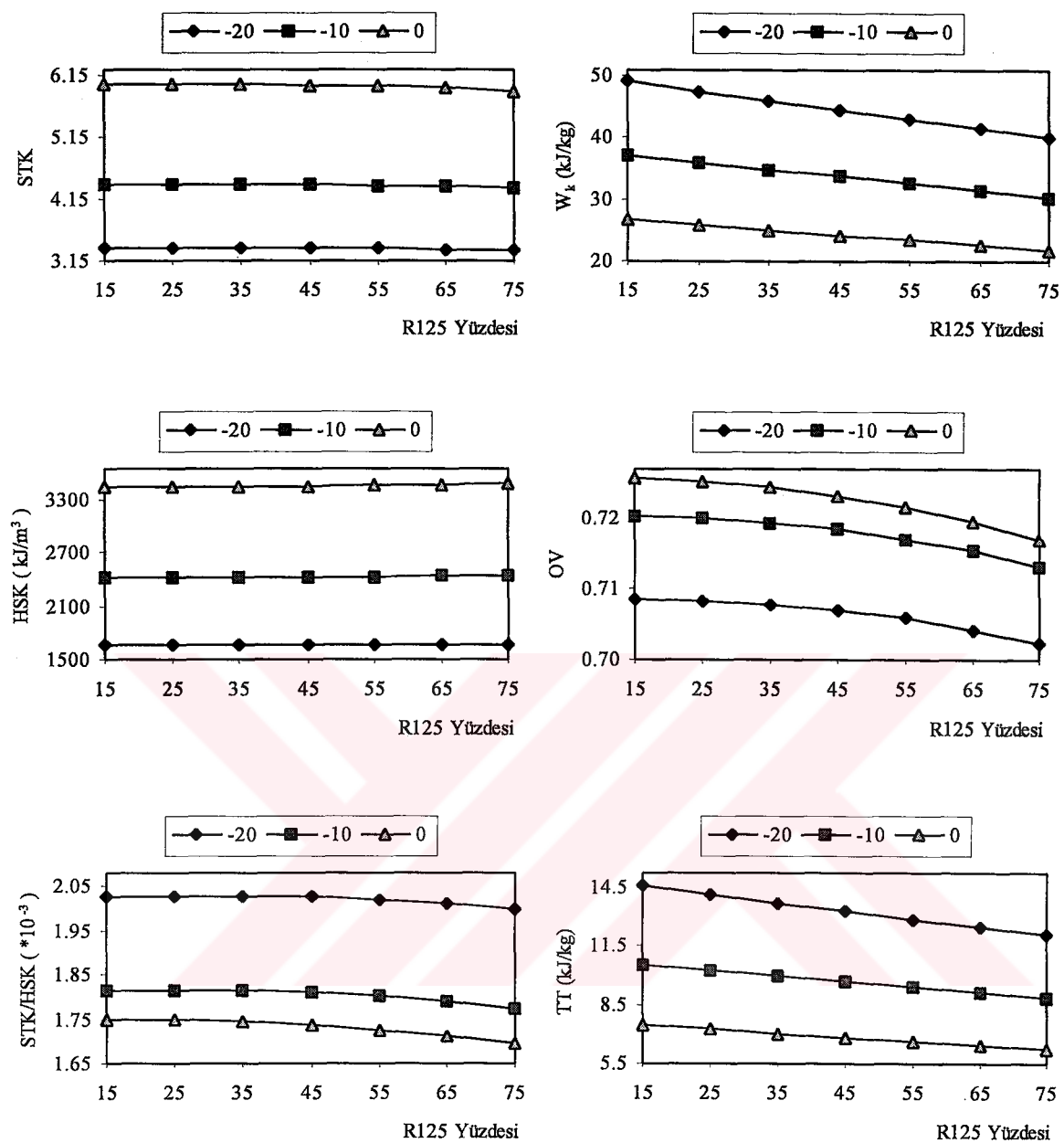
Şekil 3.16. R125/R143a/R134a karışımı için termodinamik ve performans değerlerinin kütleye oranıyla değişimi (Sabit sıcaklık, klasik çevrim, %15'lik sabit R134a yüzdesi)



Şekil 3.17. R125/R143a/R134a karışımı için termodinamik ve performans değerlerinin kütte oranıyla değişimi (Sabit sıcaklık, ısı değiştiricili çevrim, %5'lik sabit R134a yüzdesi)



Şekil 3.18. R125/R143a/R134a karışımı için termodinamik ve performans değerlerinin kütle oranıyla değişimi (Sabit sıcaklık, ısı değiştiricili çevrim, %10'luk sabit R134a yüzdesi)



Şekil 3.19. R125/R143a/R134a karışımı için termodinamik ve performans değerlerinin kütle oranıyla değişimi (Sabit sıcaklık, ısı değiştiricili çevrim, %15'lik sabit R134a yüzdesi)

BO değerleri beklendiği gibi T_b düştükçe artmaktadır. Ayrıca sabit R125 oranı için R134a oranı arttıkça ve sabit R134a oranı için R125 oranı arttıkça BO değerleri artmaktadır.

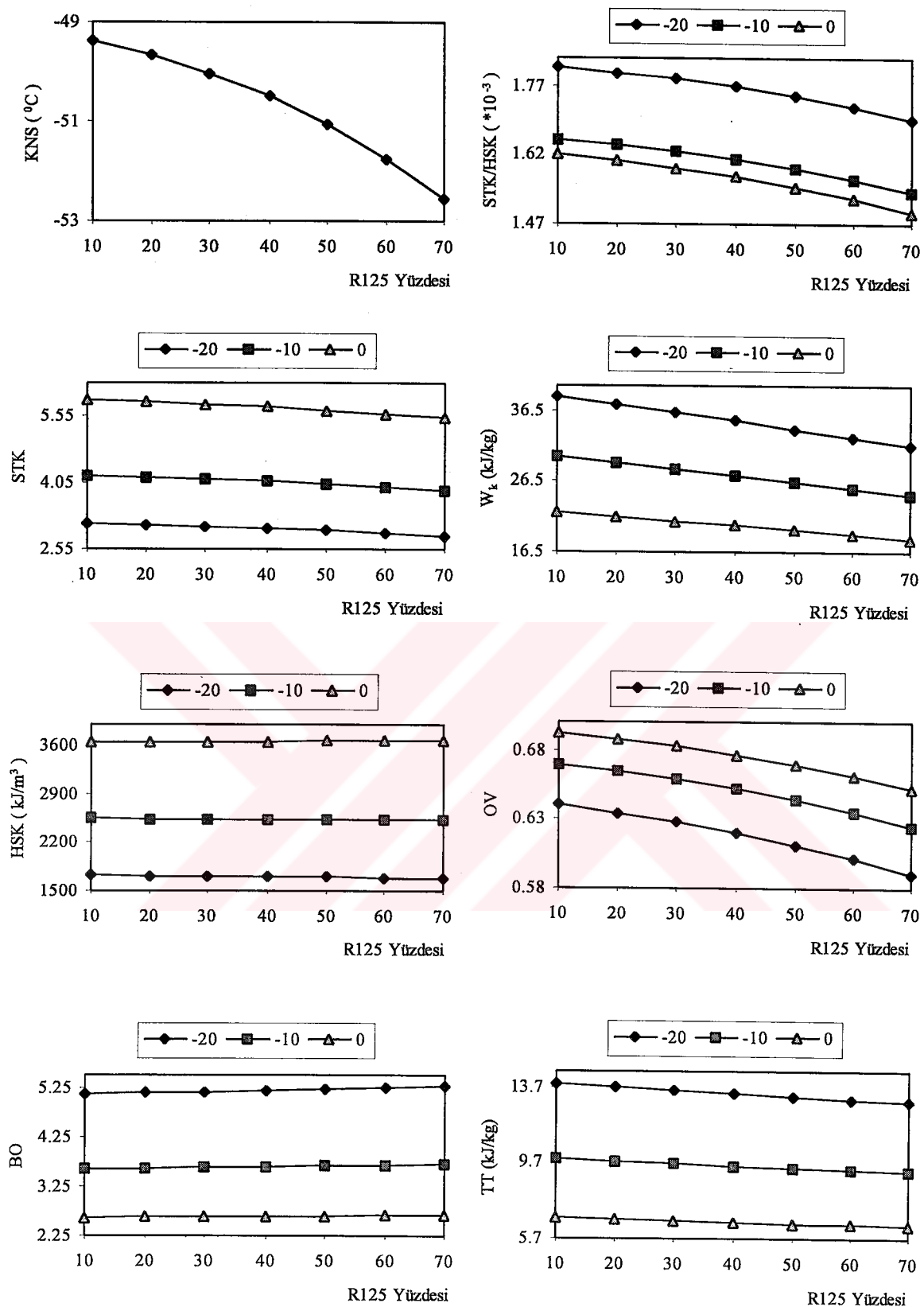
Kompresör işi ısı değiştiricili çevrimde daha yüksek değerler almakta, T_b düştükçe de beklendiği gibi azalmaktadır. Harcanan iş sabit R125 oranı için R134a oranı arttıkça artarken sabit R134a oranı için R125 oranı arttıkça azalmaktadır.

OV değişimi STK ile benzer davranış göstermektedir. TT değişimi de bileşen oranları açısından OV ile aynı şekilde değişmekte, T_b açısından ise tam bir ters davranış ortaya çıkmaktadır.

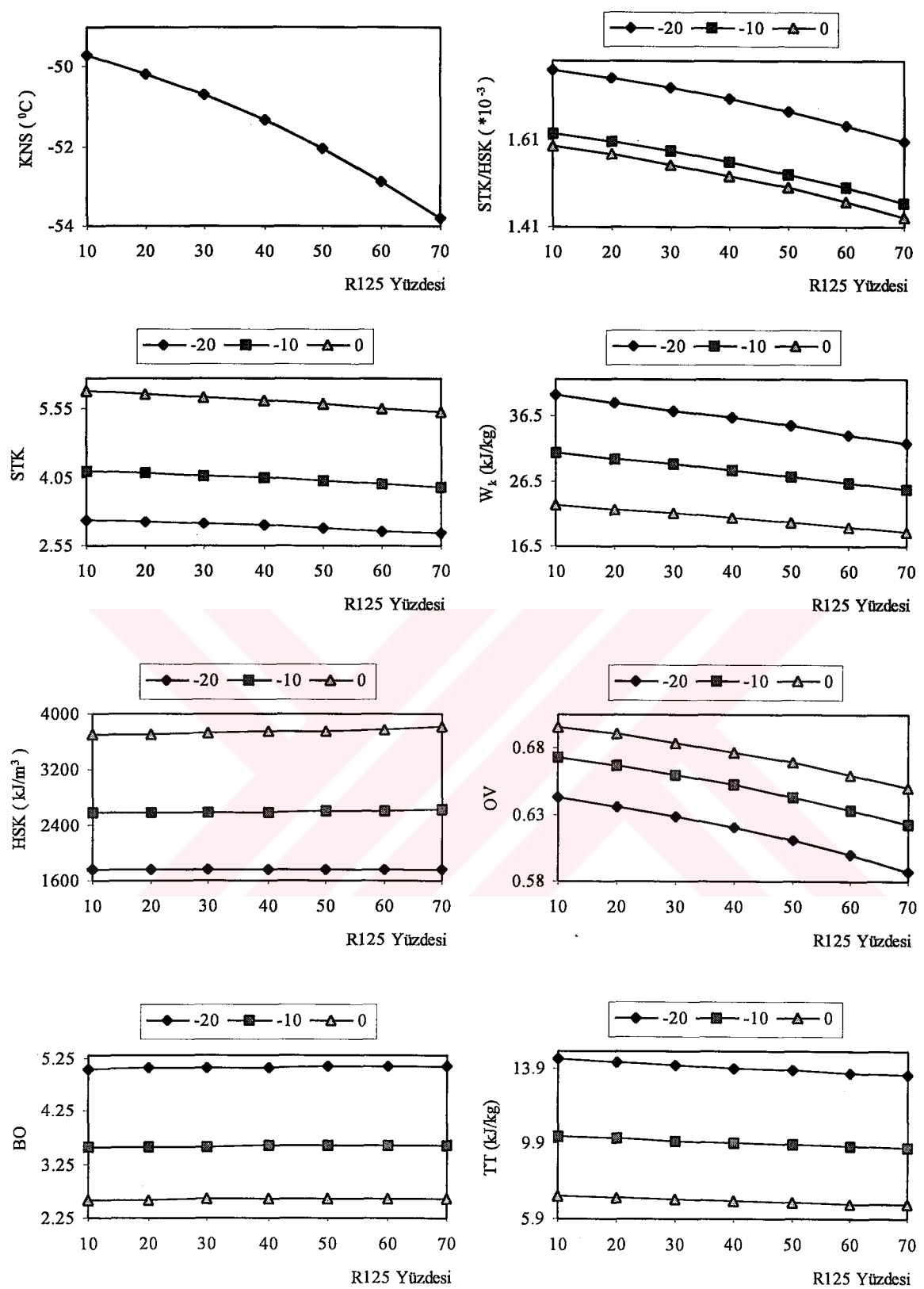
3.2.2.8. R125/R143a/R290 Karışımı

R290 ve R125 oranının azalması ile KNS değerleri yükselmektedir. (Çizelge Ek 1.9., Şekil 3.20.-3.25.)

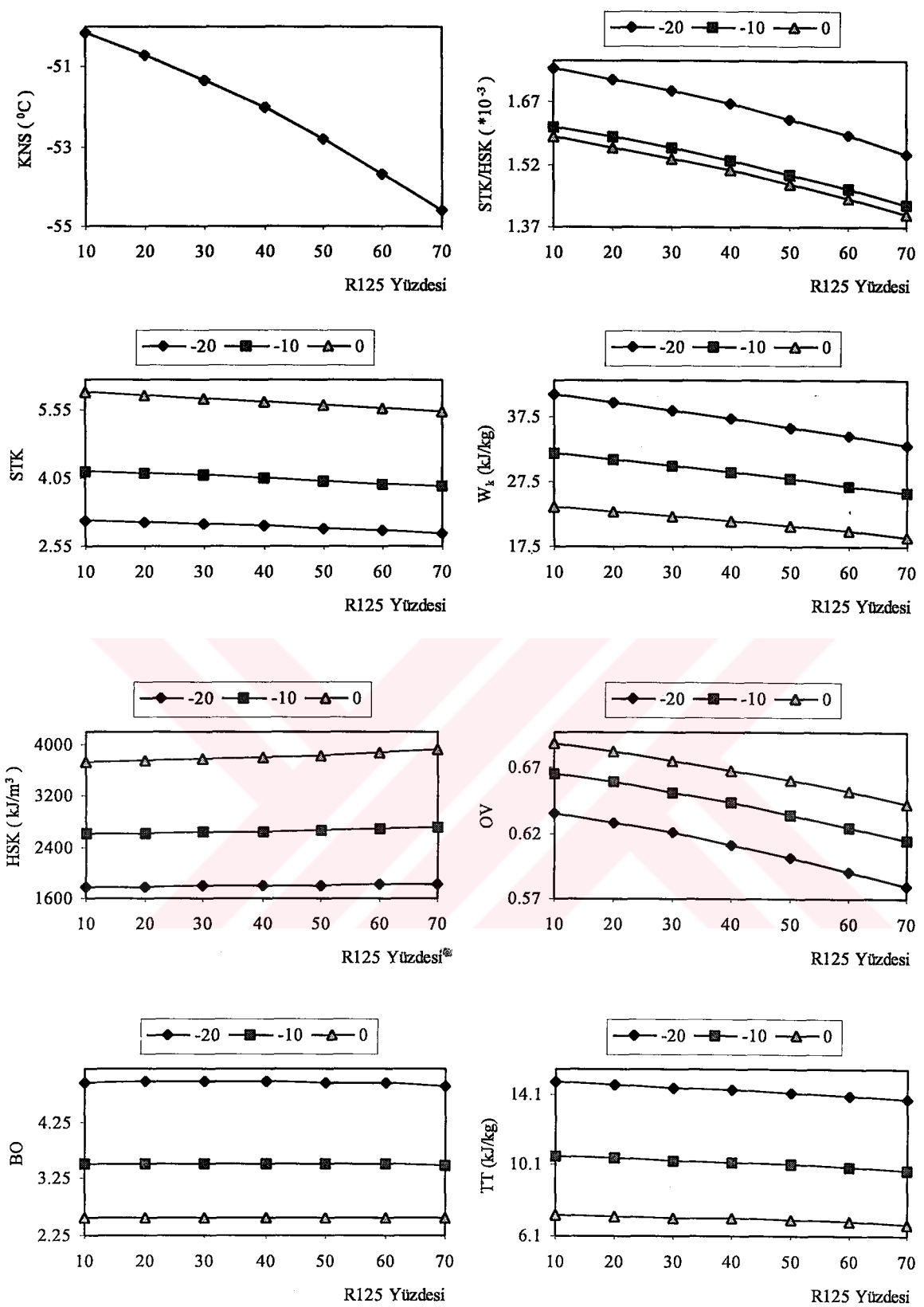
STK değerleri ısı değiştiricili çevrimde daha yüksektir. İki çevrimde de sabit R290 oranı için R125 oranı arttıkça STK değerleri düşerken sabit R125 oranı için R290 oranının değişmesi ile STK'nın değişimi açısından belirginlik yoktur. Klasik çevrimde R290'nın %5 ve %15'luk sabit oranlarında hemen hemen aynı STK değerleri elde edilirken %10'luk sabit oranda STK değerleri daha düşük kalmaktadır. Isı değiştiricili çevrimde ise R290'nın %5 ve %10'luk sabit oranlarında STK değerleri birbirine yakın iken %15'luk sabit oranda STK değerleri bir miktar artmış durumdadır. Böylece R125 ve R290'nın düşük oranları avantajlı durumdadır.



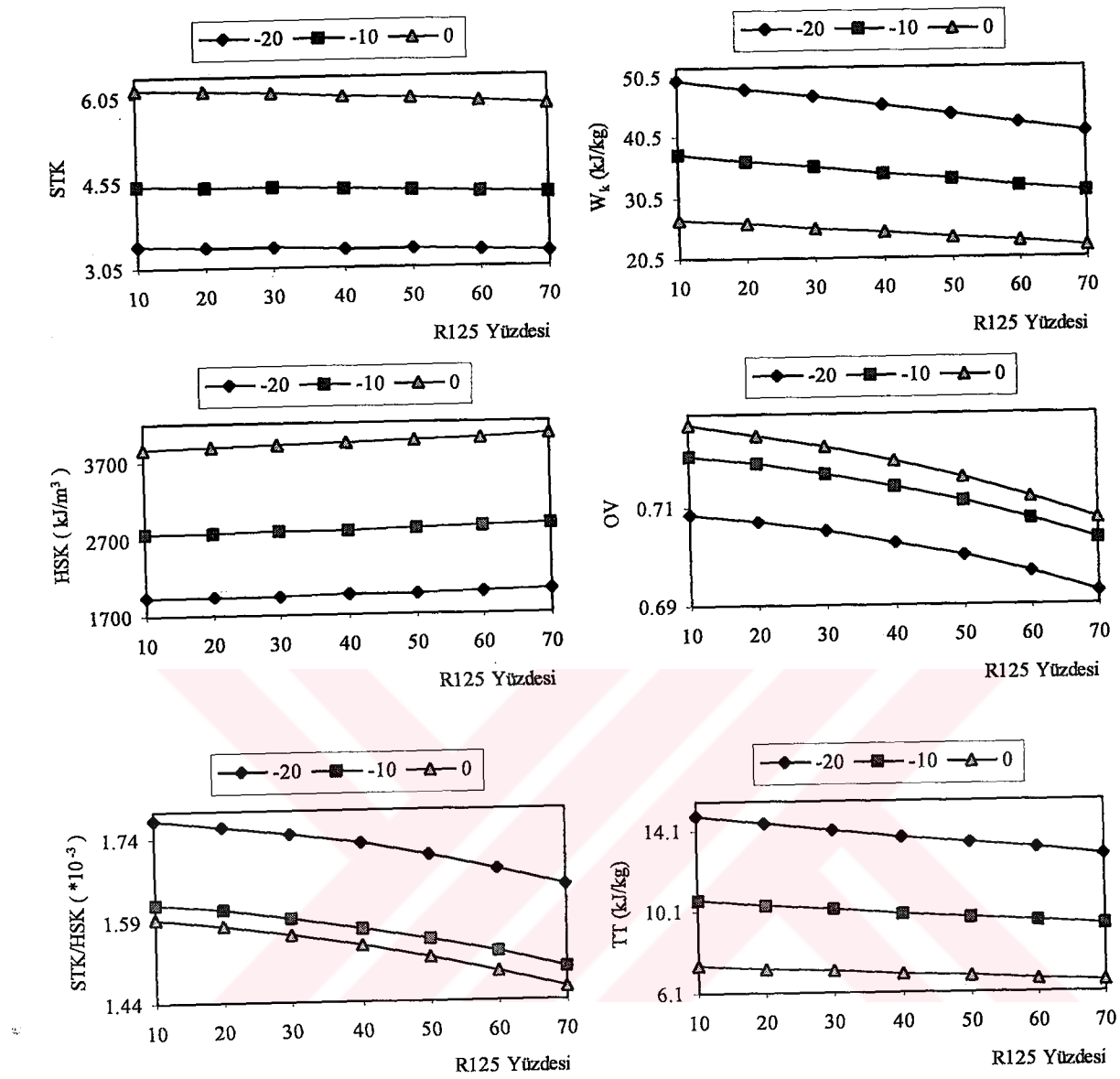
Şekil 3.20. R125/R143a/R290 karışımı için termodinamik ve performans değerlerinin kütleye göre değişimi (Sabit sıcaklık, klasik çevrim, %5'lik sabit R290 yüzdesi)



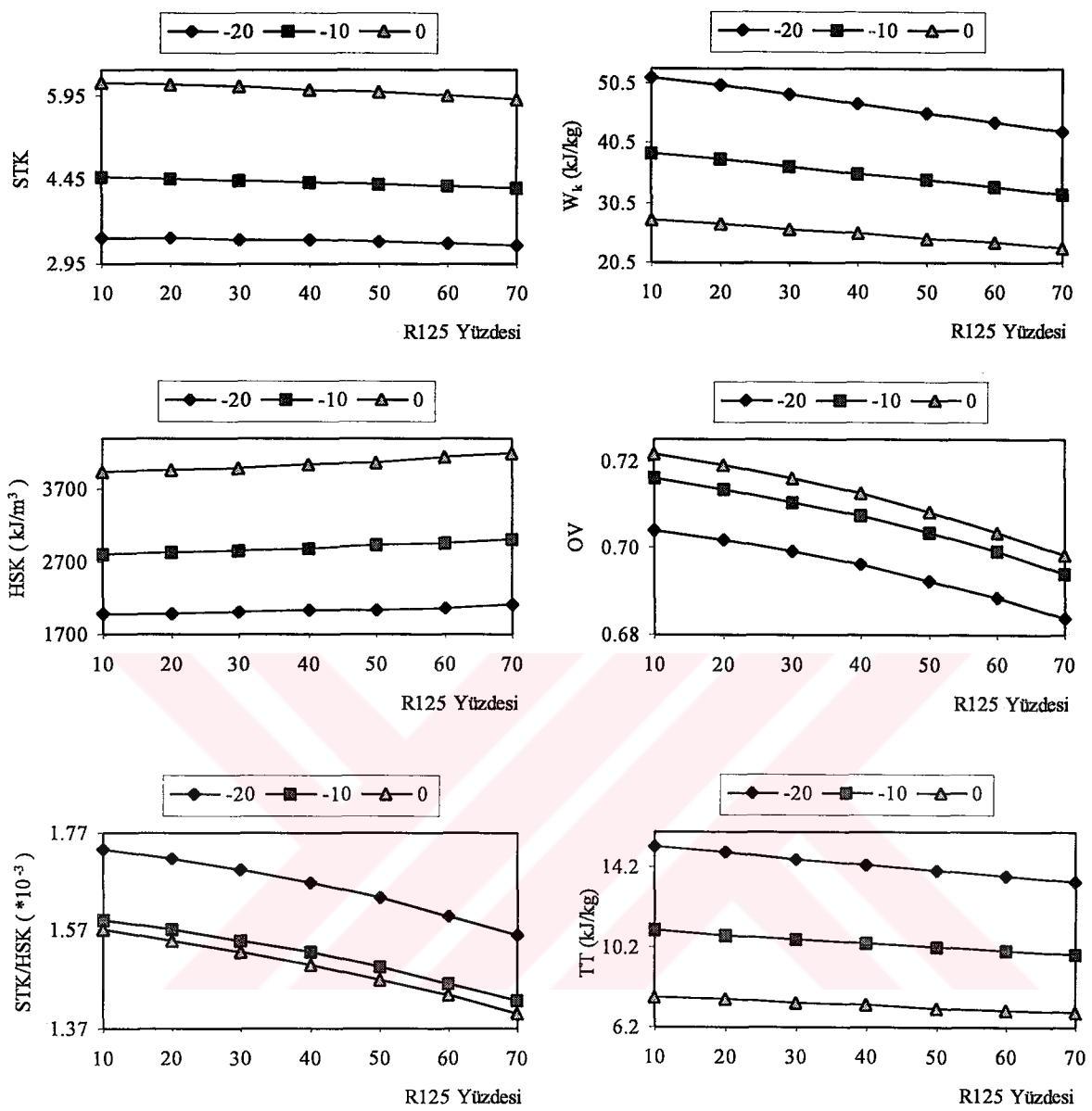
Şekil 3.21. R125/R143a/R290 karışımı için termodinamik ve performans değerlerinin kütle oranıyla değişimi (Sabit sıcaklık, klasik çevrim, %10'luk sabit R290 yüzdesi)



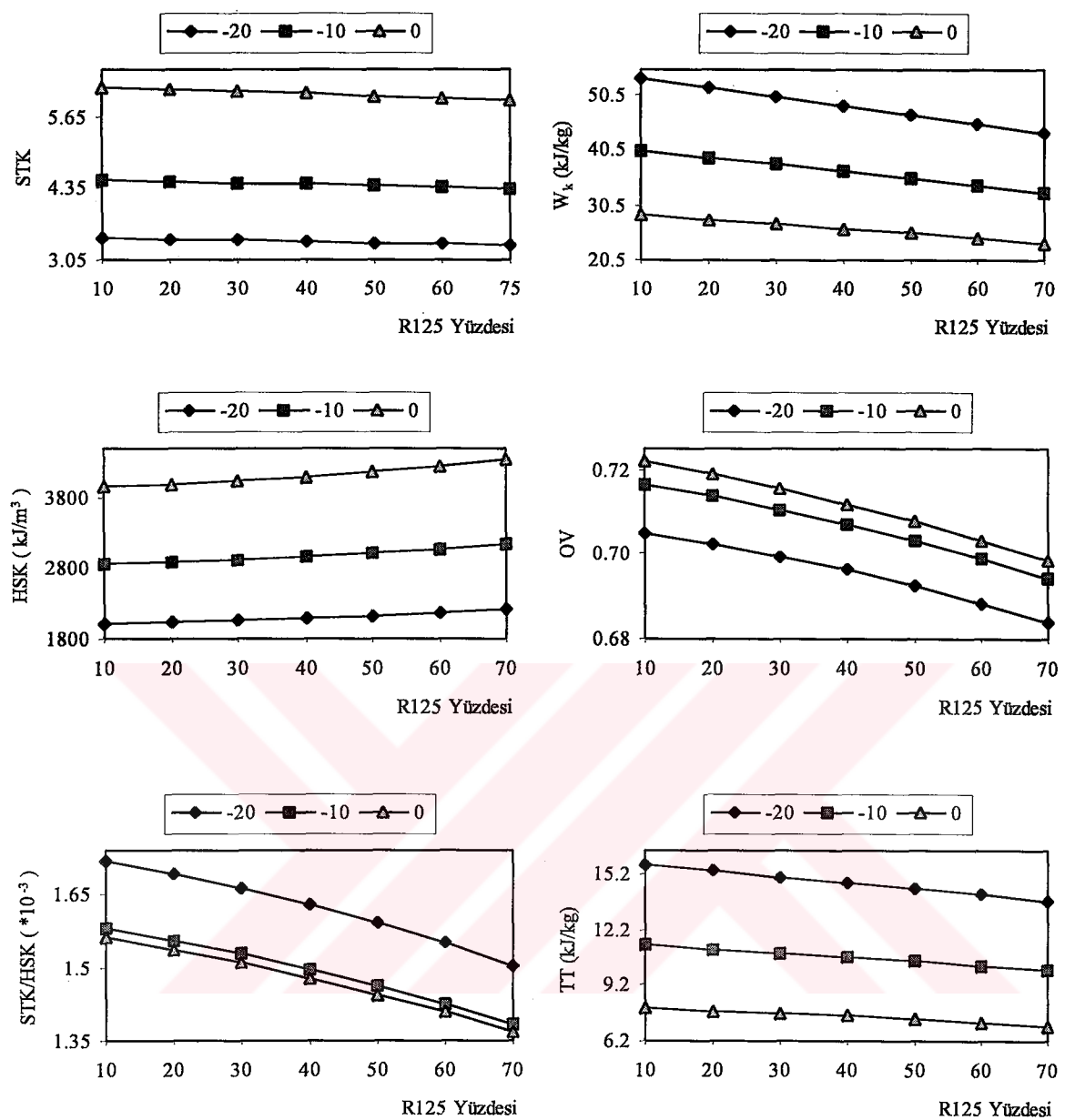
Şekil 3.22. R125/R143a/R290 karışımı için termodinamik ve performans değerlerinin kütle oranıyla değişimi (Sabit sıcaklık, klasik çevrim, %15'lik sabit R290 yüzdesi)



Şekil 3.23. R125/R143a/R290 karışımı için termodinamik ve performans değerlerinin kütle oranıyla değişimi (Sabit sıcaklık, ısı değiştiricili çevrim, %5'lik sabit R290 yüzdesi)



Şekil 3.24. R125/R143a/R290 karışımı için termodinamik ve performans değerlerinin kütle orayıyla değişimi (Sabit sıcaklık, ısı değiştiricili çevrim, %10'luk sabit R290 yüzdesi)



Şekil 3.25. R125/R143a/R290 karışımı için termodinamik ve performans değerlerinin kütle oranıyla değişimi (Sabit sıcaklık, ısı değiştiricili çevrim, %15'lik sabit R290 yüzdesi)

HSK değişiminde farklı durumlar sözkonusudur. İSİ değiştiricili çevrimde daha yüksek HSK değerleri elde edilmektedir. İki çevrimde de sabit R125 oranı için R290 oranı arttıkça HSK değerleri artmaktadır. İSİ değiştiricili çevrimde sabit R290 oranı için R125 oranı arttıkça HSK değerleri artarken klasik çevrimde netlik sözkonusu değildir.

Sabit R125 oranı için R290 oranı arttıkça BO değerleri düşerken sabit R290 oranı için R125 oranının değişimiyle BO değişimi belirgin değildir. W_k değerleri beklentiği şekilde ısı değiştiricili çevrimde daha yüksektir. Her iki çevrim için sabit R290 oranında R125 oranı arttıkça ve sabit R125 oranında R290 oranı azaldıkça W_k değerleri artmaktadır. Dolayısıyla R290'nın düşük R125'in de yüksek oranları avantajlı durumdadır.

OV değerleri ısı değiştiricili çevrimde yüksektir. Sabit R290 oranında R125 oranı arttıkça iki çevrimde de OV değerleri azalırken sabit R125 oranında R290 oranının değişmesiyle OV değişiminde düzenli olarak azalma veya artma olmamaktadır.

TT değerleri ısı değiştiricili çevrimde yüksektir ve buharlaştırıcı sıcaklığının artması ile azalmaktadır. Sabit R290 oranı için R125 oranı azaldıkça ve sabit R125 oranı için R290 oranı arttıkça iki çevrimde de TT değerleri artmaktadır.

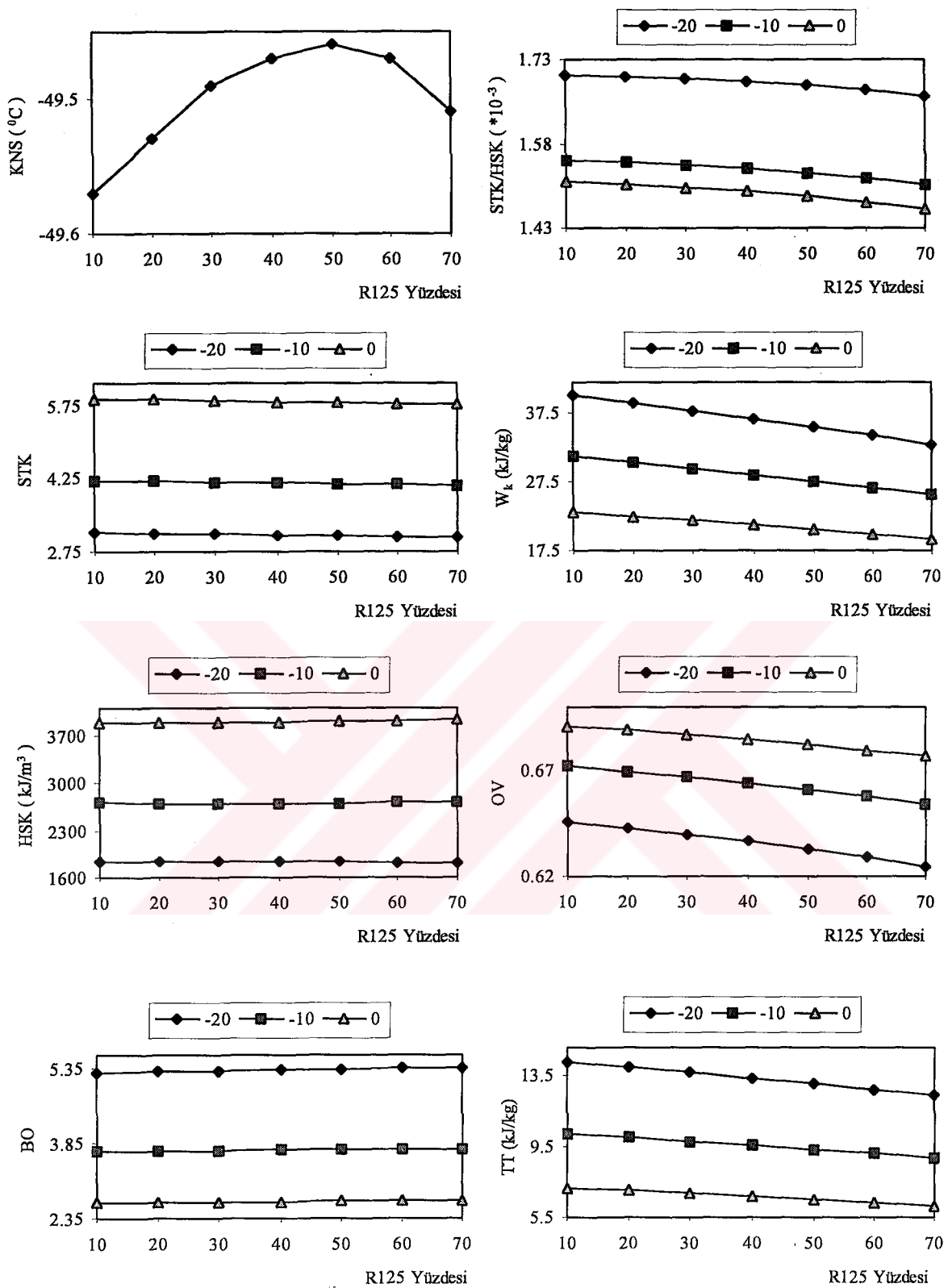
3.2.2.9. R32/R125/R143a Karışımı

R32 oranı azaldıkça ve R125 oranı arttıkça KNS değeri genelde artmaktadır. (Çizelge Ek 1.10., Şekil 3.26.-3.31.) Klasik çevrimde sabit R125 oranında R32 oranı arttıkça ve sabit R32 oranında R125 oranı azaldıkça STK değerleri artmaktadır. Isı değiştiricili çevrimde sabit R32 oranında R125 oranının değişmesiyle STK değerleri yaklaşık aynı kalmaktadır. Özellikle %10'luk R32 oranında ve -20°C'lik buharlaştırıcı sıcaklığında STK hiç değişimmemektedir. Sabit R125 oranında ise R32 oranının artması ile az da olsa STK değerleri düşmektedir. Isı değiştiricili çevrim her durumda avantajlıdır. Klasik çevrimde 30/10/60 oranındaki karışım, ısı değiştiricili çevirmde 10/70/20 oranındaki karışım en yüksek STK değerlerini almaktadır.

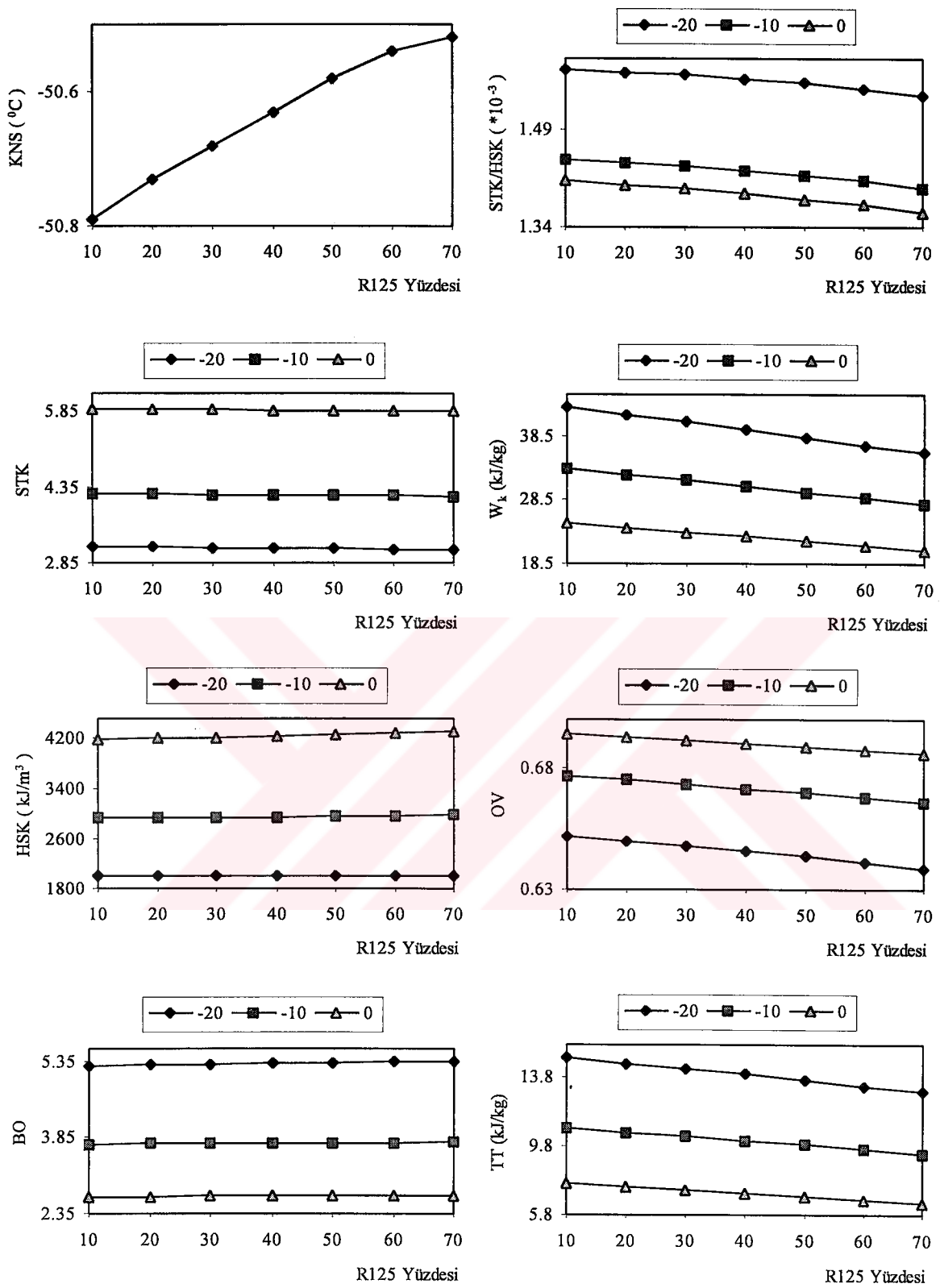
Her iki çevrimde, sabit R125 oranı için R32 oranı arttıkça ve sabit R32 oranı için R125 oranı arttıkça HSK değerleri artmaktadır. Sabit R32 oranı için R125 oranı arttıkça BO değerleri artmaktadır. %20'luk sabit R32 oranında, sabit %10 ve %30 oranına göre daha yüksek BO değerleri elde edilmektedir.

İki çevrimde de sabit R32 oranı için R125 oranı azaldıkça ve sabit R125 oranı için R32 oranı arttıkça W_k değerleri artmaktadır. Beklendiği gibi ısı değiştiricili çevrimde daha fazla iş girdisi olmaktadır.

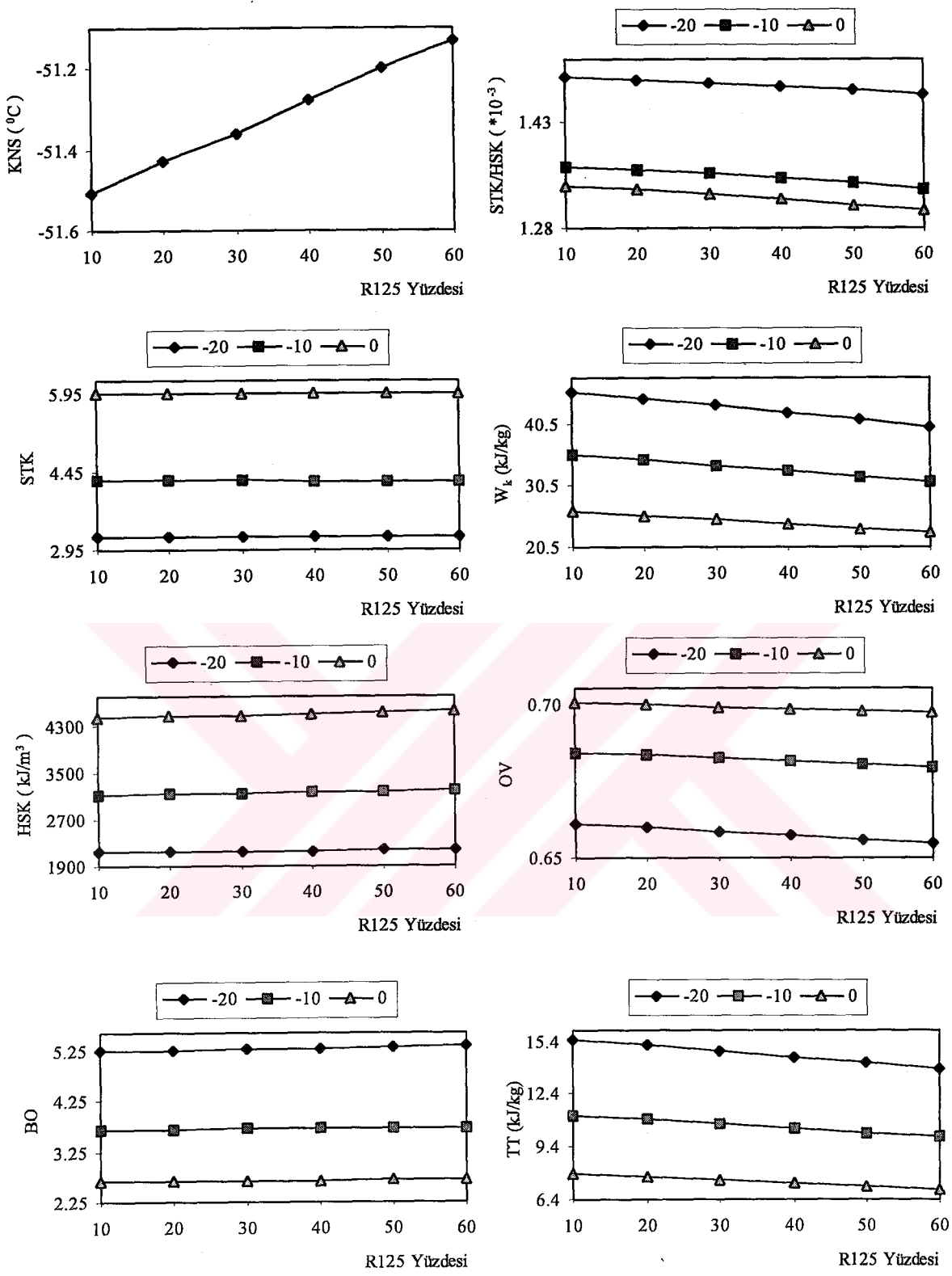
Sabit R125 oranında R32 oranının artması ile klasik çevrimde OV değerleri artarken ısı değiştiricili çevrimde azalmaktadır. Sabit R32 oranında R125 oranı arttıkça klasik çevrimde OV azalırken, ısı değiştiricili çevrimde ise çok yakın değerler elde edilmektedir. Benzer durum STK değişiminde de gözlenmiştir. Isı değiştiricili çevrimde OV değerleri daha yüksektir. TT değişimi W_k değişimi ile paralellik taşımaktadır.



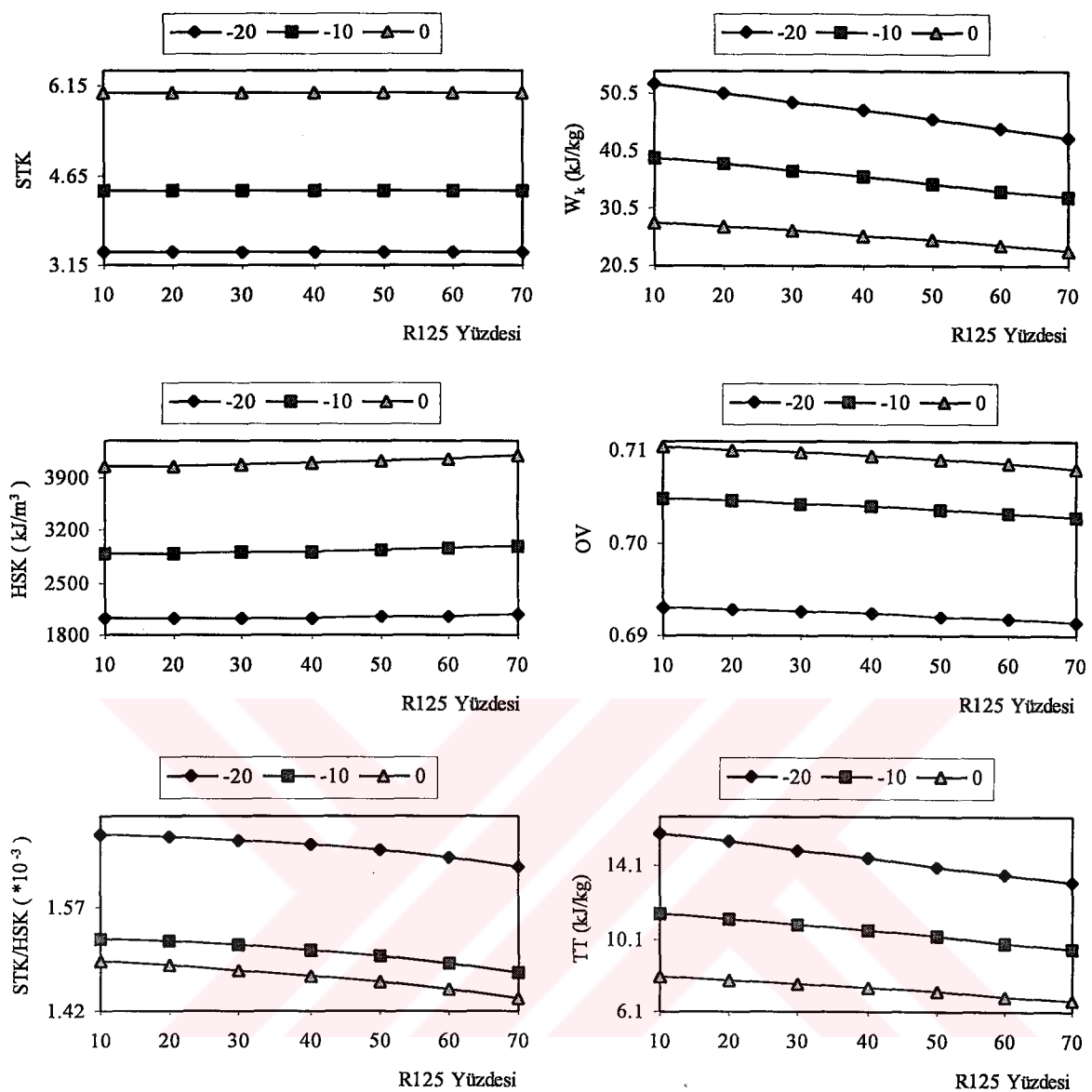
Şekil 3.26. R32/R125/R143a karışımı için termodinamik ve performans değerlerinin kütleye oraniyla değişimi (Sabit sıcaklık, klasik çevrim, %10'luk sabit R32 yüzdesi)



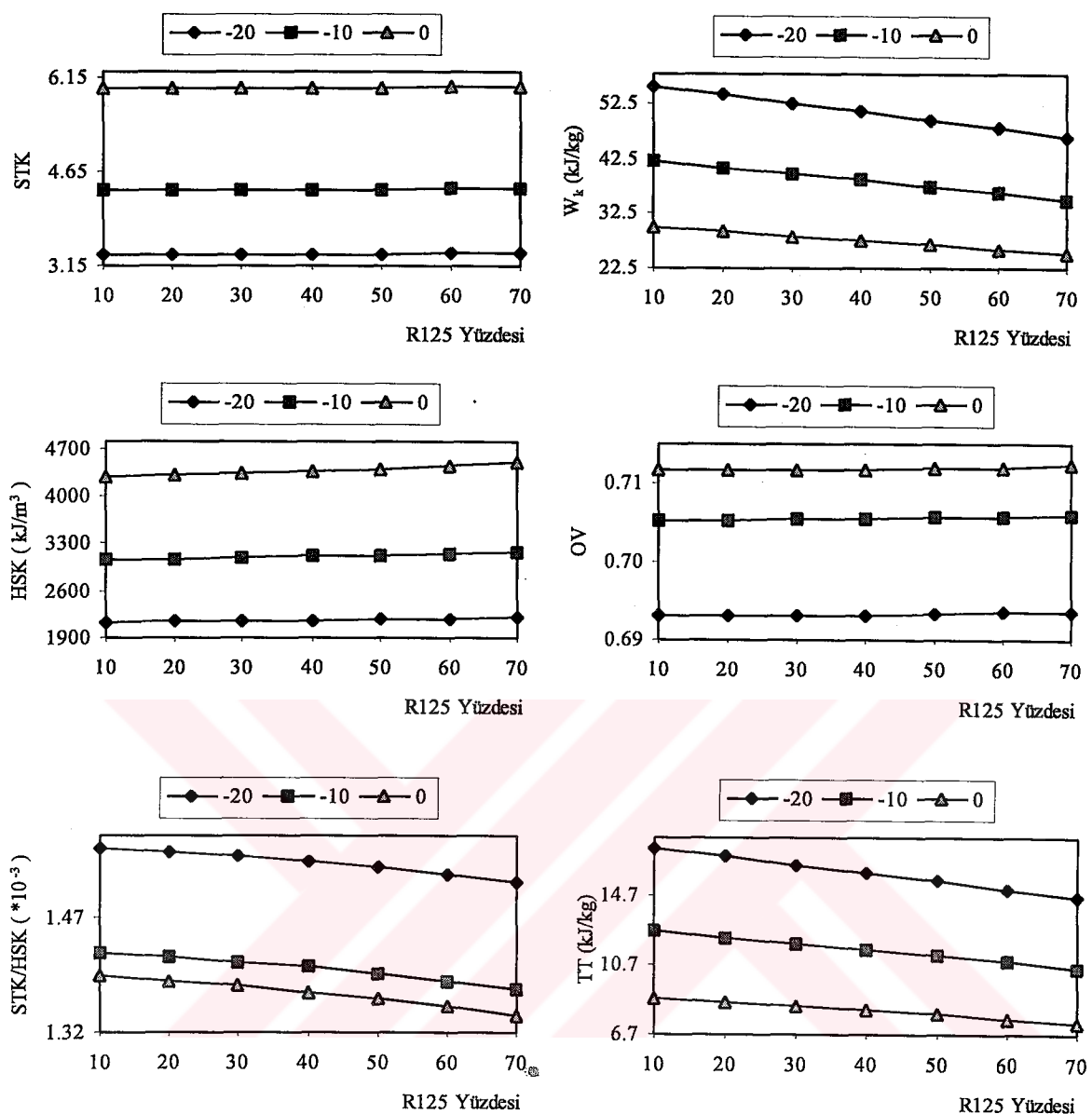
Şekil 3.27. R32/R125/R143a karışımı için termodinamik ve performans değerlerinin kütle oranıyla değişimi (Sabit sıcaklık, klasik çevrim, %20'lik sabit R32 yüzdesi)



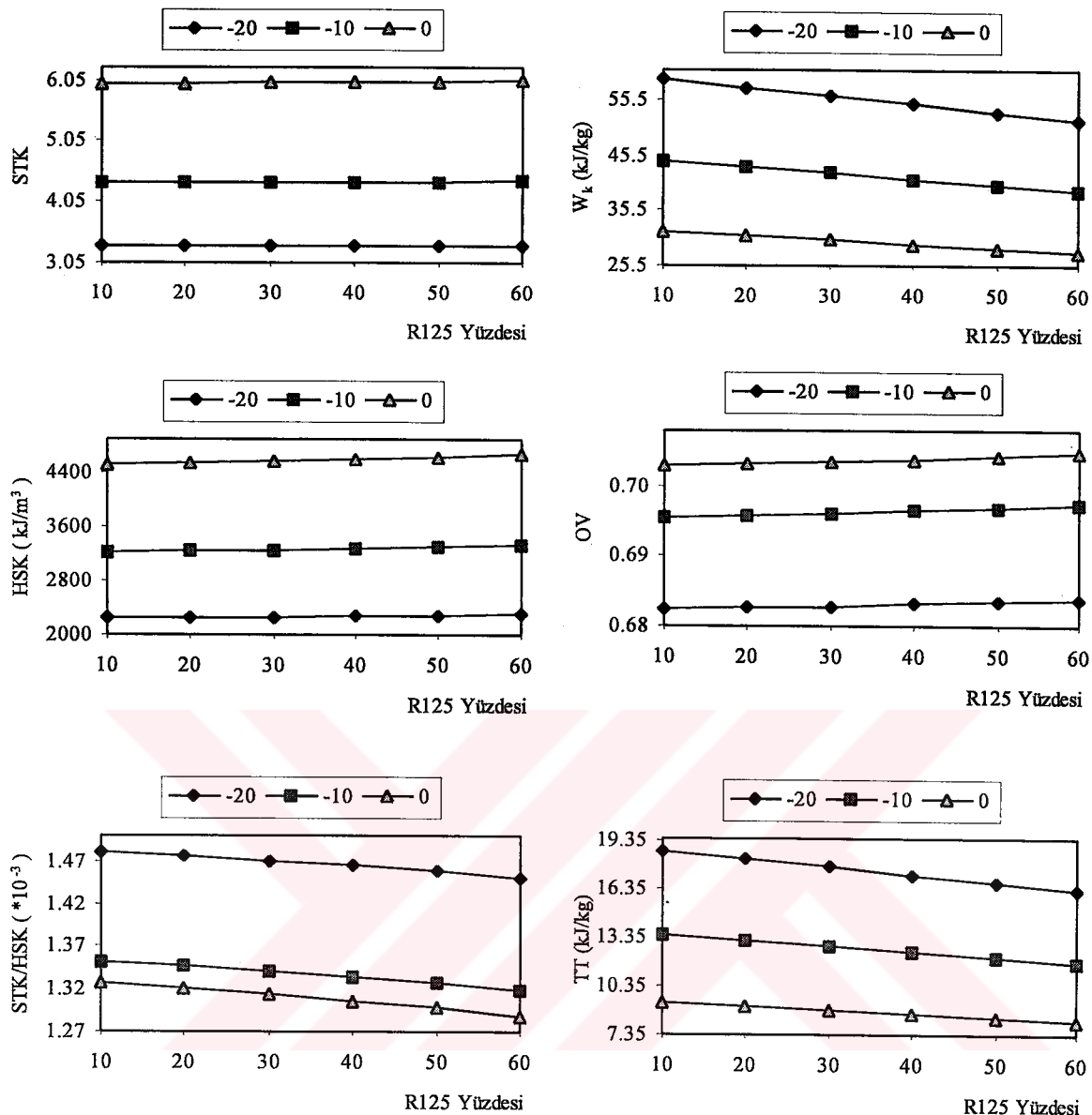
Şekil 3.28. R32/R125/R143a karışımı için termodinamik ve performans değerlerinin
kütle oranıyla değişimi (Sabit sıcaklık, klasik çevrim, %30'luk sabit R32
yüzdesi)



Şekil 3.29. R32/R125/R143a karışımı için termodinamik ve performans değerlerinin
kütle oranıyla değişimi (Sabit sıcaklık, ısı değiştiricili çevrim, %10'luk
sabit R32 yüzdesi)



Şekil 3.30. R32/R125/R143a karışımı için termodinamik ve performans değerlerinin kütle oranıyla değişimi (Sabit sıcaklık, ısı değiştiricili çevrim, %20'lik sabit R32 yüzdesi)



Şekil 3.31. R32/R125/R143a karışımı için termodinamik ve performans değerlerinin
kütle oranıyla değişimi (Sabit sıcaklık, ısı değiştiricili çevrim, %30'luk
sabit R32 yüzdesi)

3.2.2.10. R32/R125/R134a Karışımı

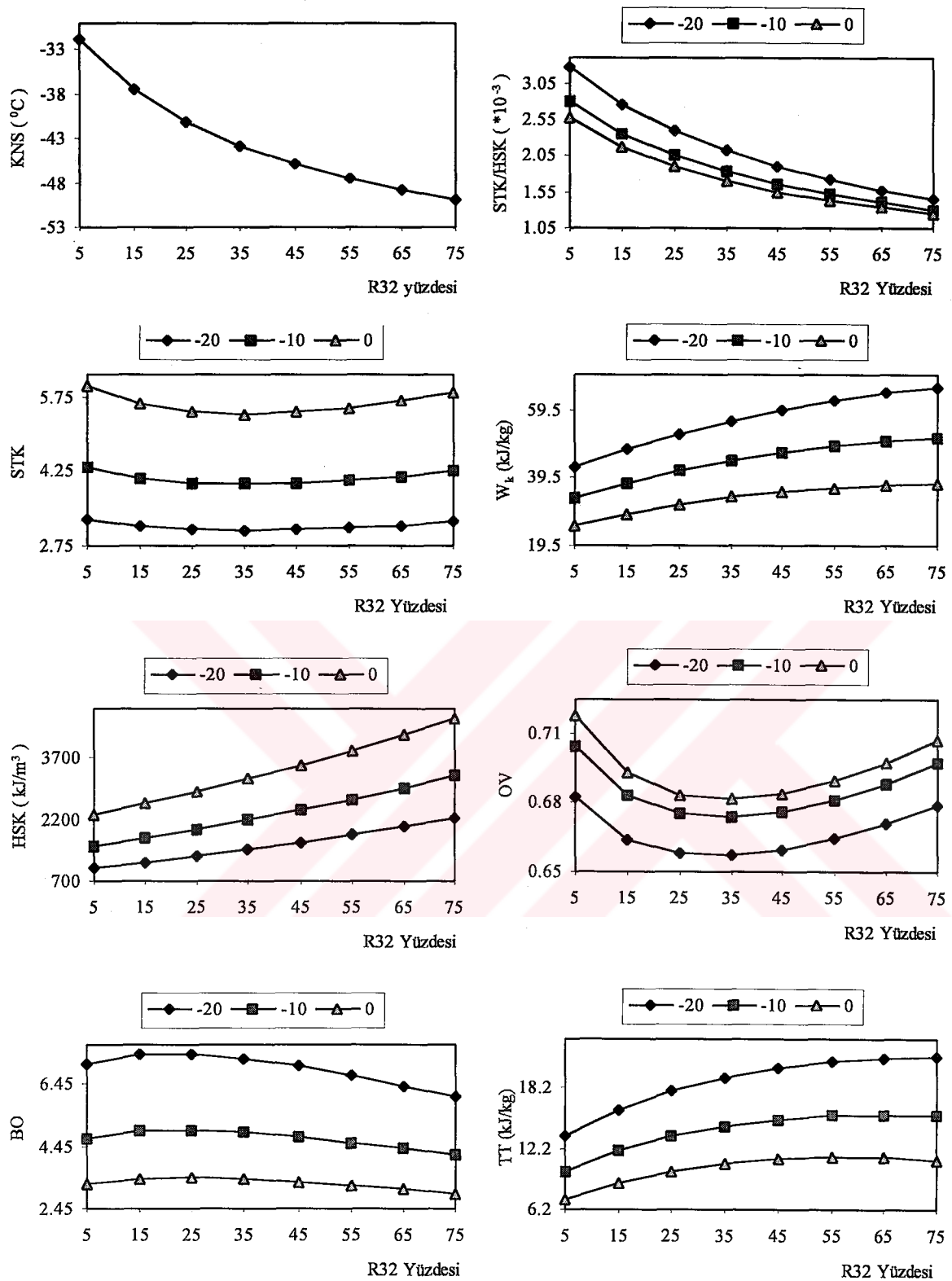
Sabit R32 oranında R125 oranı arttıkça ve sabit R125 oranında R32 oranı arttıkça KNS değerleri düşmektedir. (Çizelge Ek 1.11., Şekil 3.32.-3.37.)

Sabit R32 oranı için R125 oranı arttıkça iki çevrimde de STK değerleri azalmaktadır. Sabit R125 oranında ise R32'nin %35 veya %45'lik oranına kadar STK düşmekte daha sonra R32 oranının artışıyla STK da artmaktadır. Bu durum genelde iki çevrim için de geçerlidir. Klasik çevrimde 75/15/10 oranında, ısı değiştiricili çevrimde 5/5/90 oranında en yüksek STK değerlerine ulaşılmaktadır.

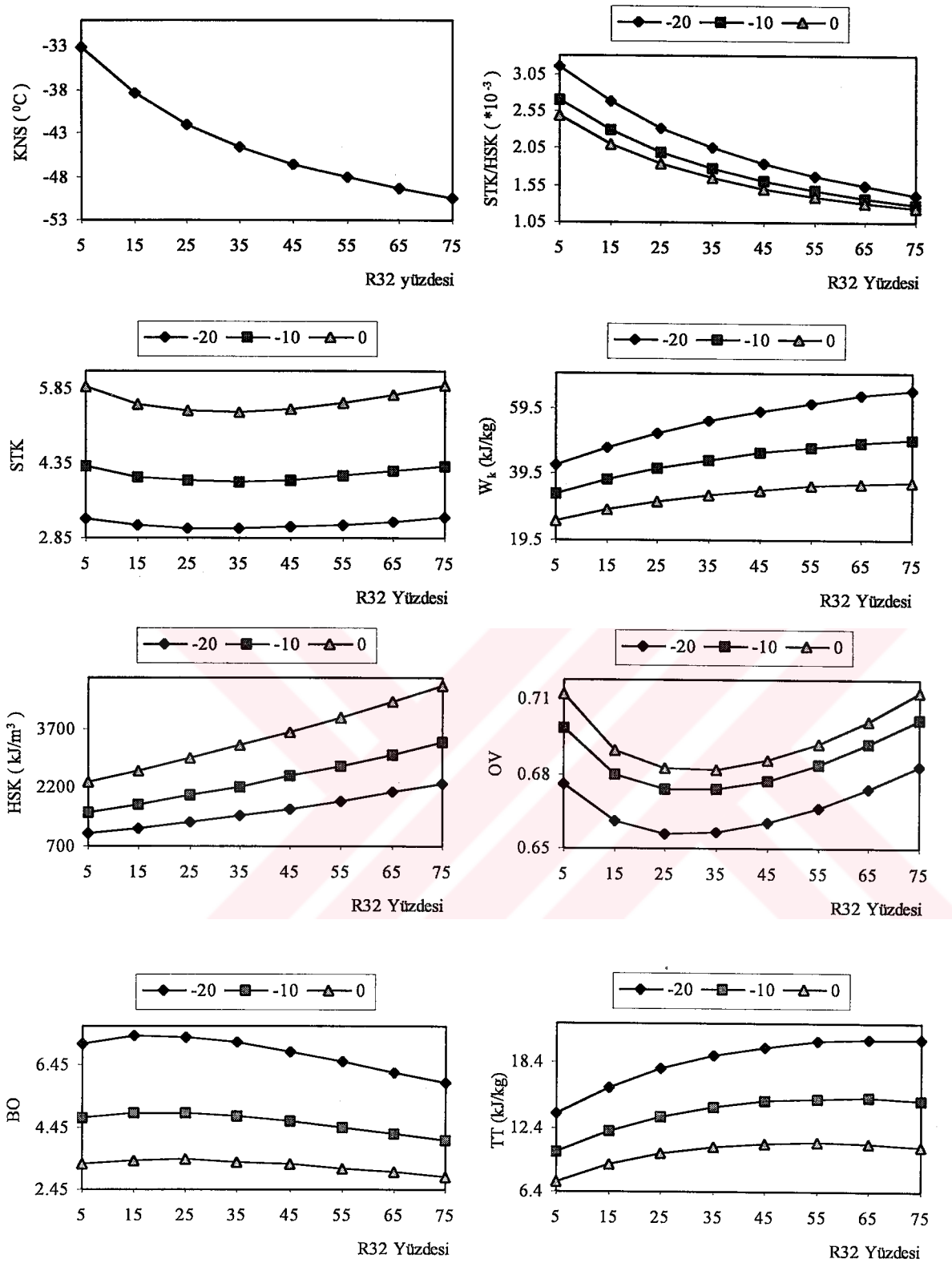
Sabit R32 oranı için R125 oranı arttıkça ve sabit R125 oranı için R32 oranı arttıkça HSK değerleri artmaktadır. Bu değişimi genelde STK ile uyumlu gözükmemektedir. Benzer şekilde BO değişimi de HSK değişimi ile paralellik arz etmektedir.

Herbir çevrim için sabit R125 oranında R32 oranı arttıkça ve sabit R32 oranında R125 oranı azaldıkça harcanan iş azalmaktadır. Beklendiği üzere ısı değiştiricili çevrimde daha yüksek değerler elde edilmektedir.

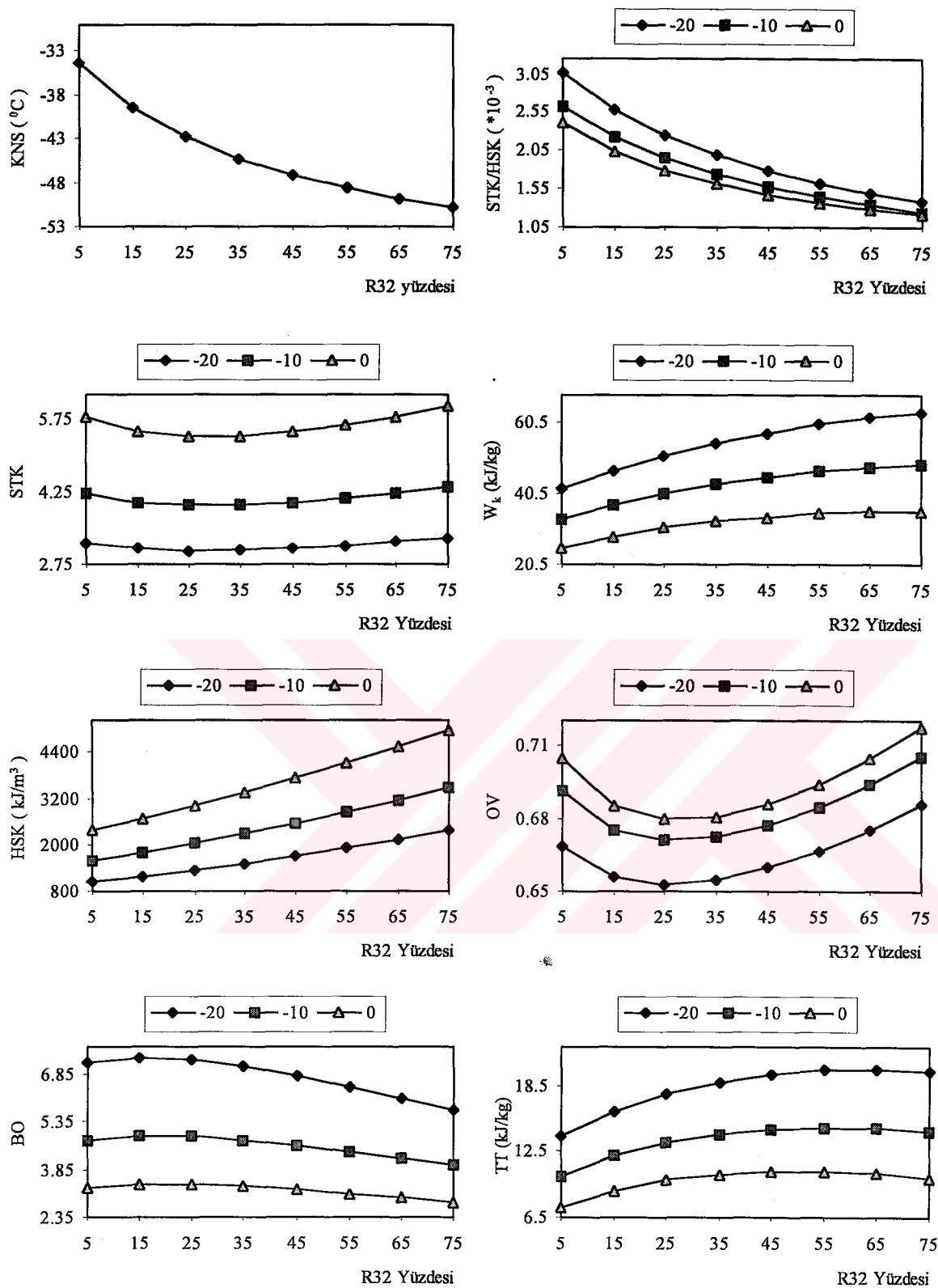
OV değişimi ısı değiştiricili çevrimde birkaç nokta hariç genel olarak STK değişimiyle paralellik taşımaktadır. TT değişimi iki çevrimde de sabit R125 oranında R32 oranı arttıkça ve sabit R32 oranında R125 oranı arttıkça artmaktadır. İlk durum W_k değişimiyle ile uyumlu iken sonraki durum beklenin tersine gerçekleşmektedir.



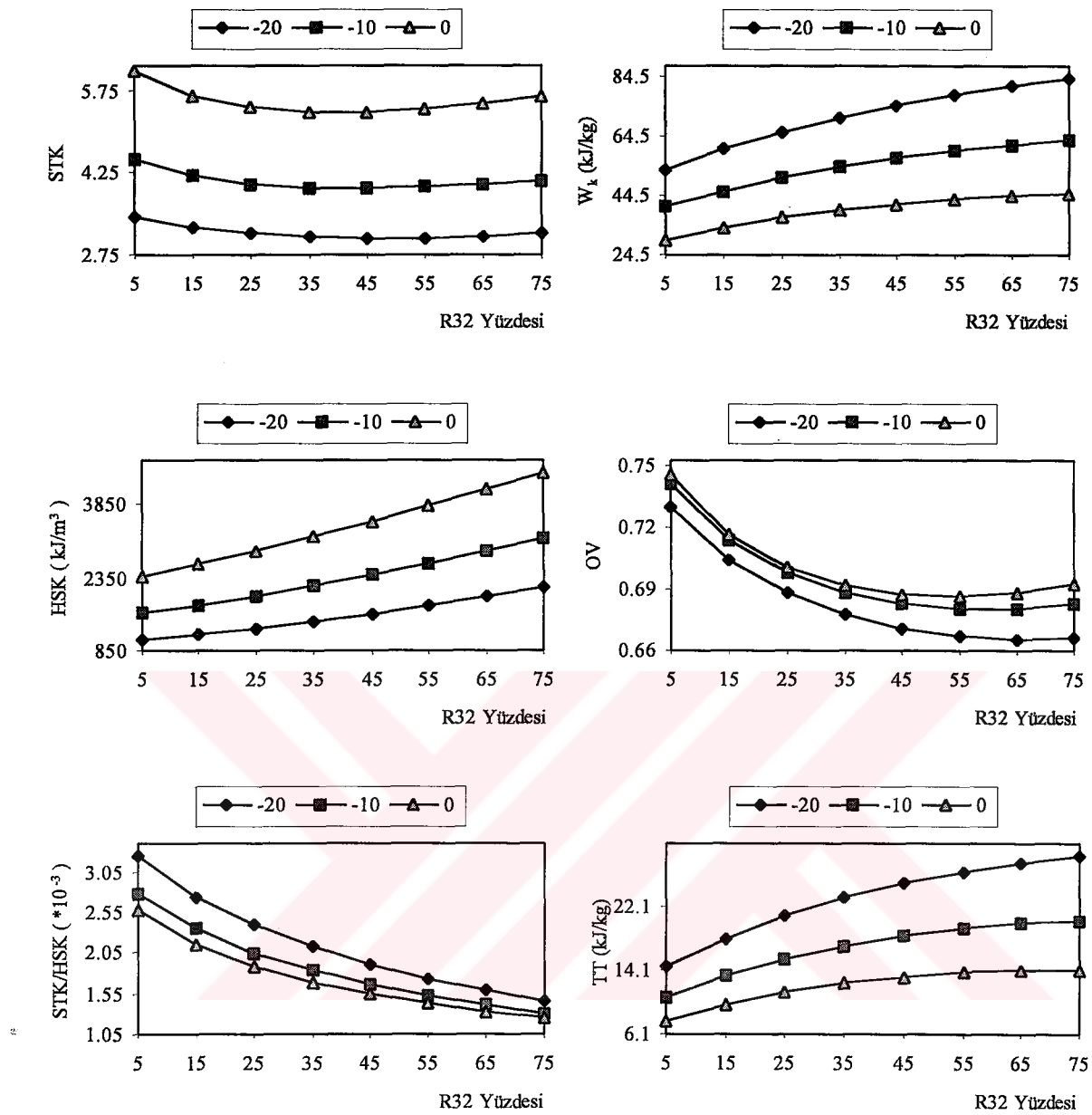
Şekil 3.32. R32/R125/R134a karışımı için termodinamik ve performans değerlerinin kütle oranıyla değişimi (Sabit sıcaklık, klasik çevrim, %5'lik sabit R125 yüzdesi)



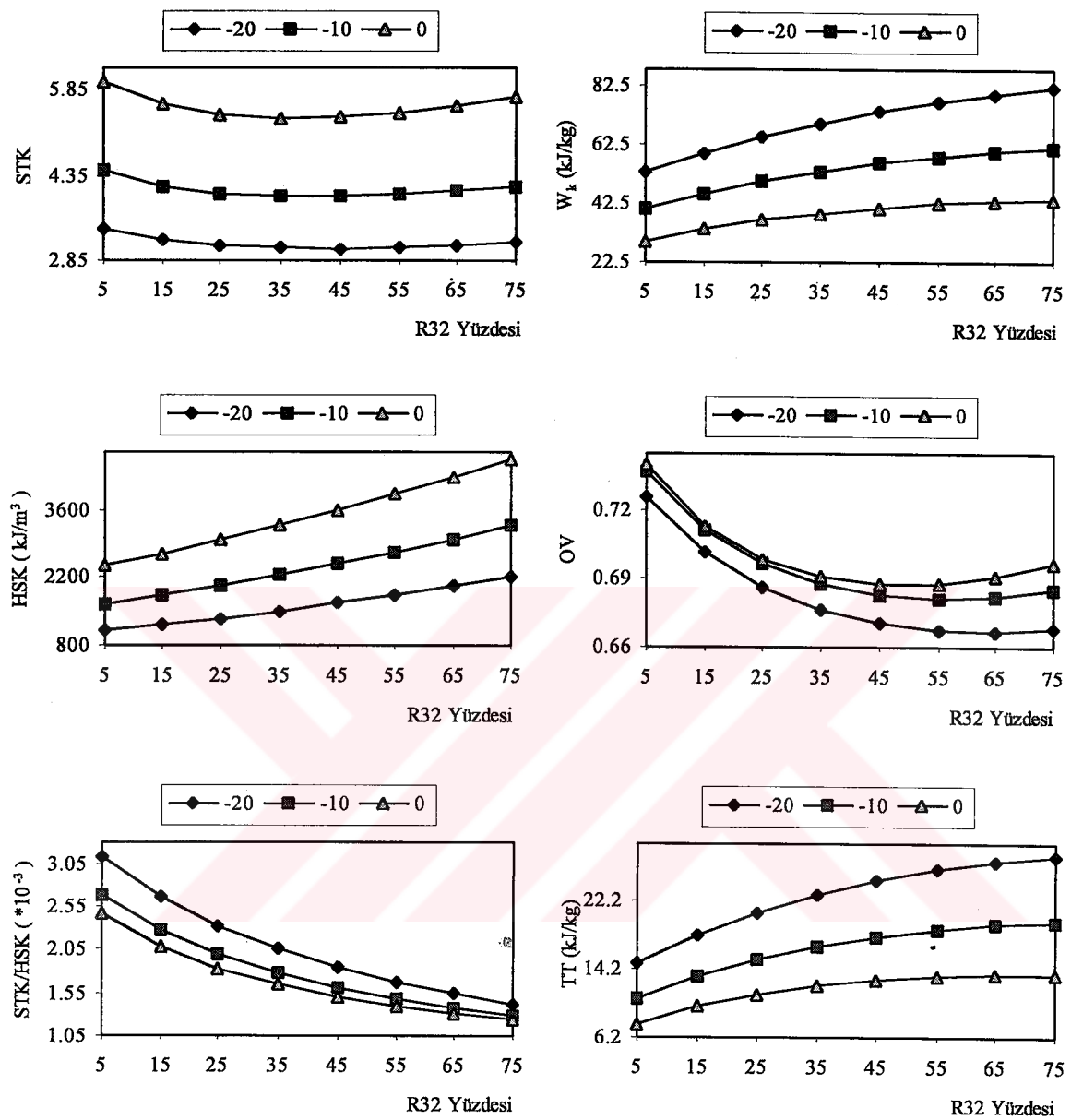
Şekil 3.33. R32/R125/R134a karışımı için termodinamik ve performans değerlerinin
kütle oranıyla değişimi (Sabit sıcaklık, klasik çevrim, %10'luk sabit R125
yüzdesi)



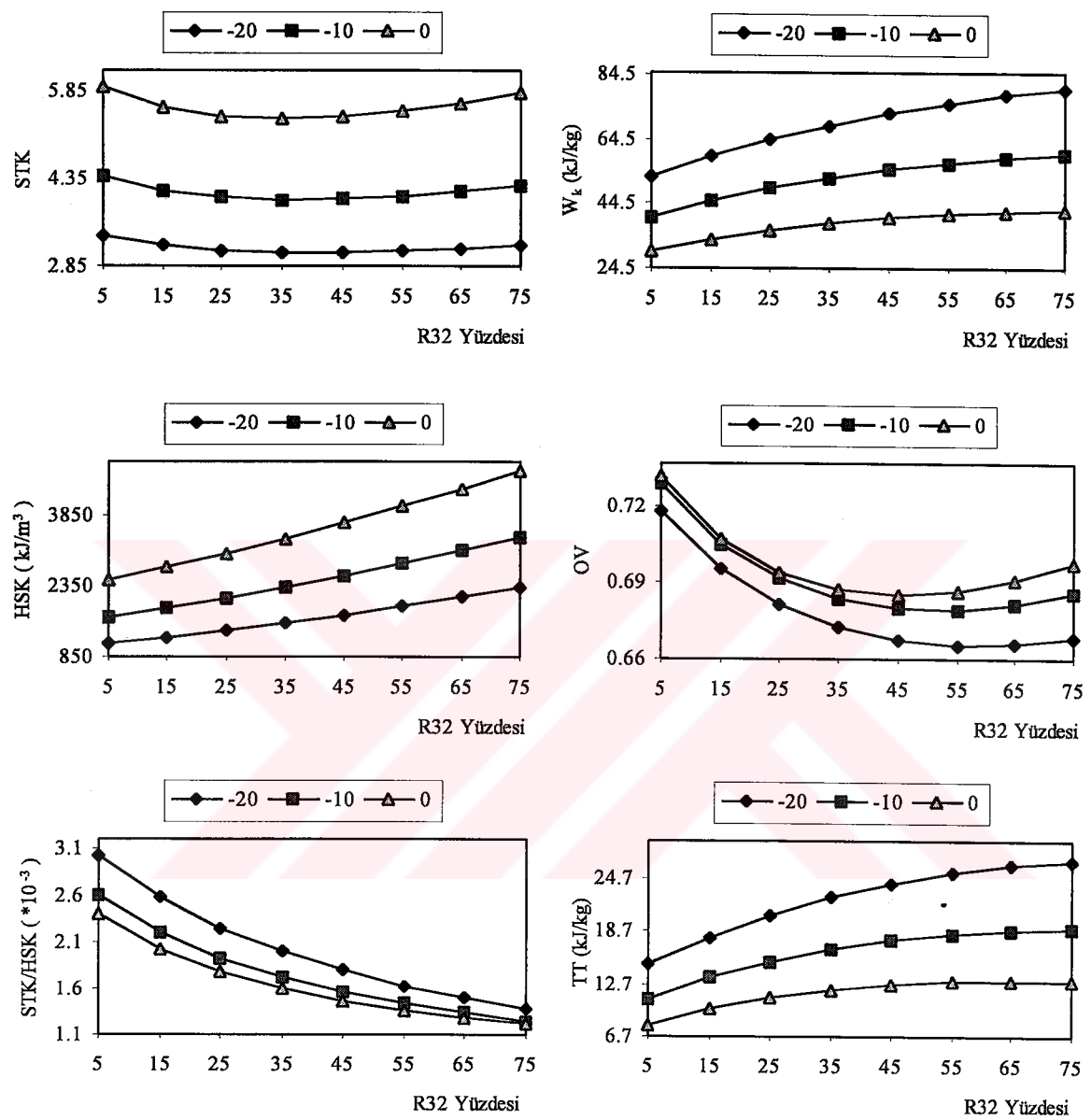
Şekil 3.34. R32/R125/R134a karışımı için termodinamik ve performans değerlerinin kütle oranıyla değişimi (Sabit sıcaklık, klasik çevrim, %15'lik sabit R125 yüzdesi)



Şekil 3.35. R32/R125/R134a karışımı için termodinamik ve performans değerlerinin
kütle oranıyla değişimi (Sabit sıcaklık, ısı değiştiricili çevrim, %5'lik
sabit R125 yüzdesi)



Sekil 3.36. R32/R125/R134a karışımı için termodinamik ve performans değerlerinin
kütle oraniyla değişimi (Sabit sıcaklık, ısı değiştiricili çevrim, %10'luk
sabit R125 yüzdesi)



Şekil 3.37. R32/R125/R134a karışımı için termodinamik ve performans değerlerinin
kütle oranıyla değişimi (Sabit sıcaklık, ısı değiştiricili çevrim, %15'lik
sabit R125 yüzdesi)

3.2.2.11. R125/R290/R134a Karışımı

R290 ve R125 oranlarının artması ile KNS değerleri azalmaktadır. (Çizelge Ek 1.12., Şekil 3.38.-3.43.)

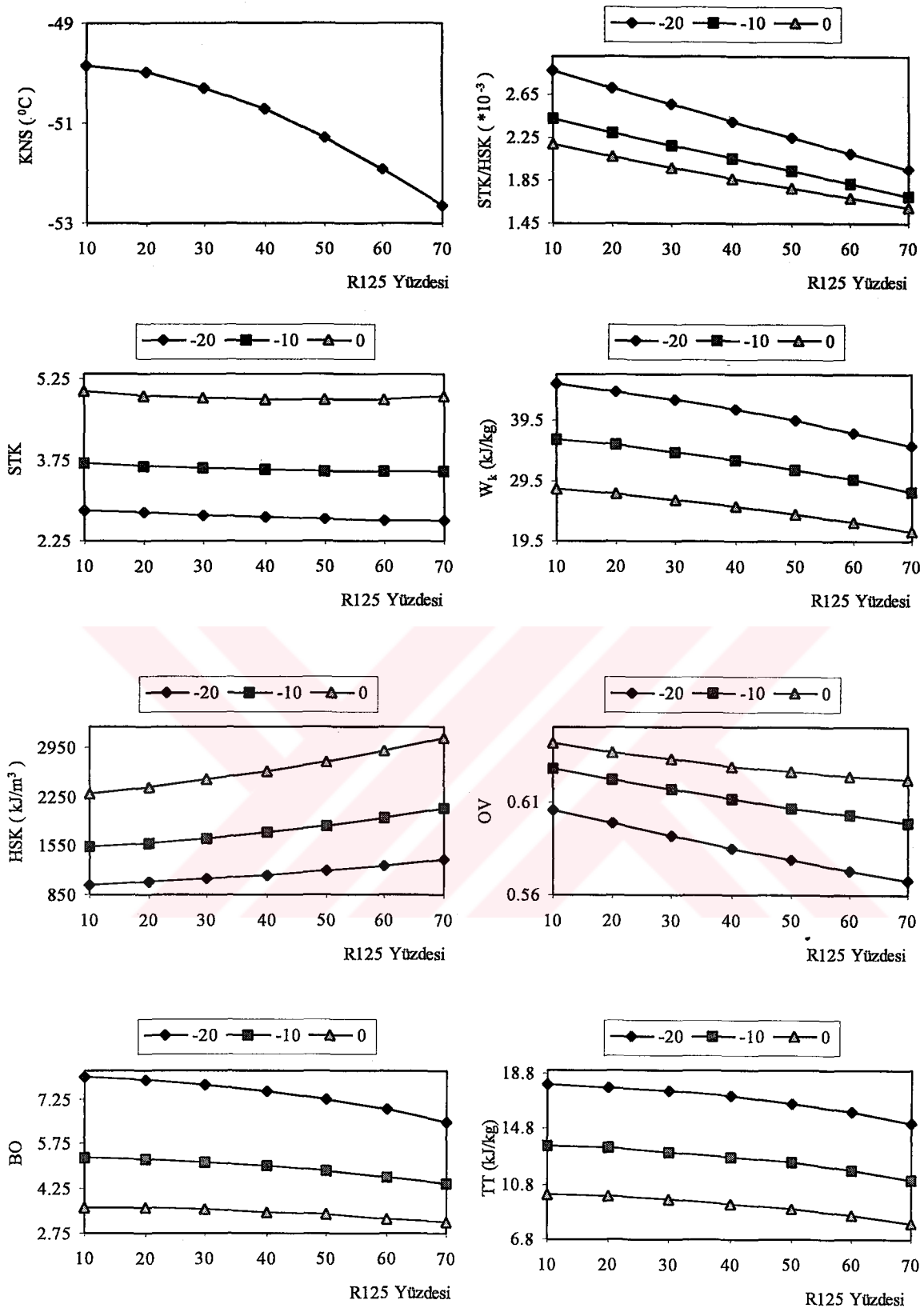
Sabit R125 oranında R290 oranı arttıkça iki çevrimde de STK değerleri azalmaktadır. Sabit R290 oranında ise R125 oranının değişmesiyle düzenli bir değişim gözlenmemektedir. Klasik çevrimde 10/5/85 oranında ($T_b=0^{\circ}\text{C}$ hariç), ısı değiştiricili çevrimde 70/15/15 oranında en yüksek STK değerleri elde edilmektedir.

Sabit R125 oranında R290 oranı arttıkça ve sabit R290 oranında R125 oranı arttıkça HSK değişimi artmaktadır. Bu durum düzenli olarak iki çevrimde de geçerlidir. BO değişimi ise bekleniği üzere HSK ile ters yönde gelişmektedir.

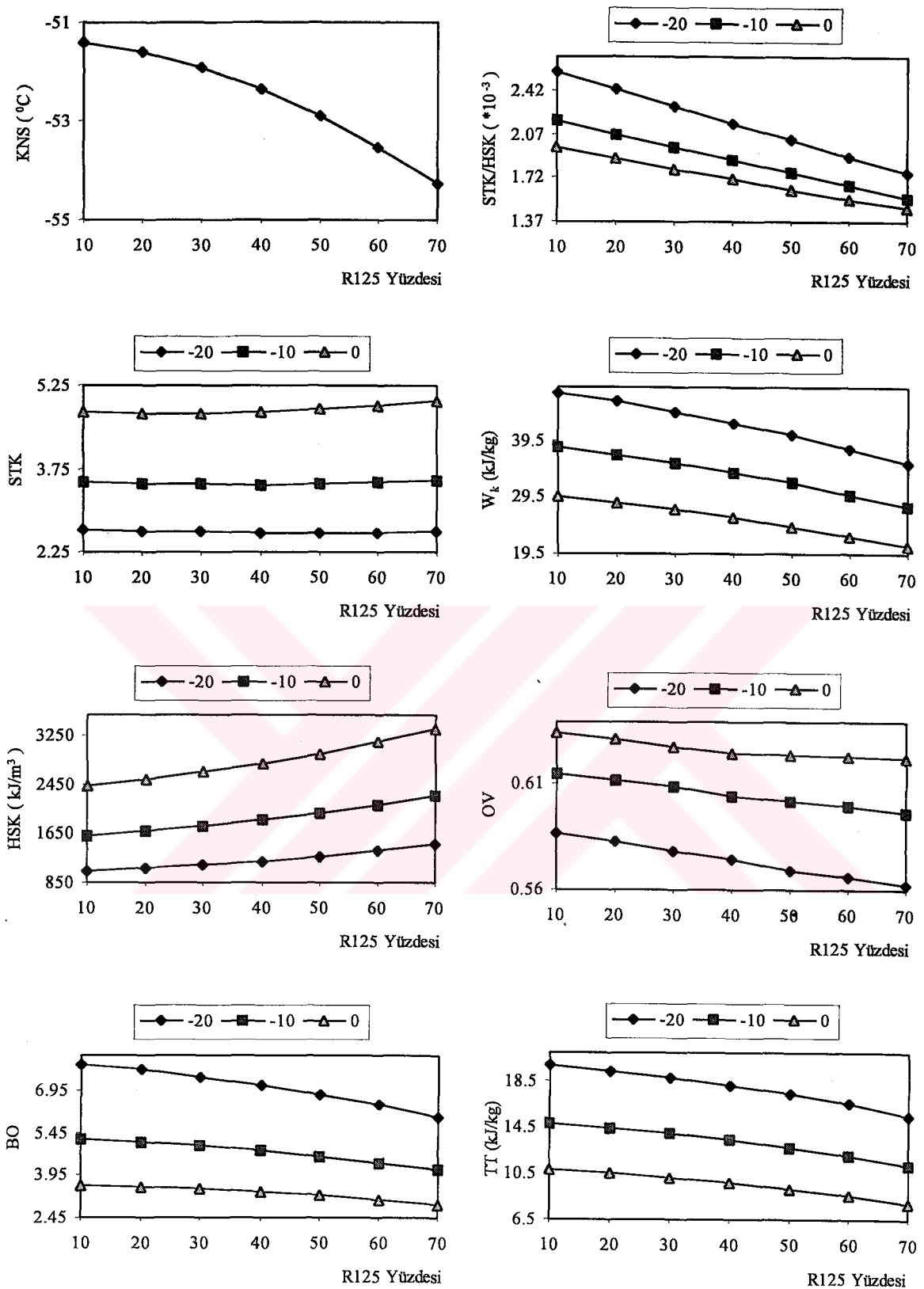
W_k değişimi ise sabit R125 oranında R290 oranı arttıkça artarken sabit R290 oranında R125 oranı arttıkça azalmaktadır. İki çevrim için de bu durum geçerlidir.

Isı değiştiricili çevrimde sabit R125 oranında R290 oranı arttıkça OV değerleri azalmaktadır. Bu durum için klasik çevrimde düzenli bir azalma sözkonusu değildir. Sabit R290 oranı için R125 oranının değişmesiyle de düzenli bir azalma veya artma gözlenmemektedir.

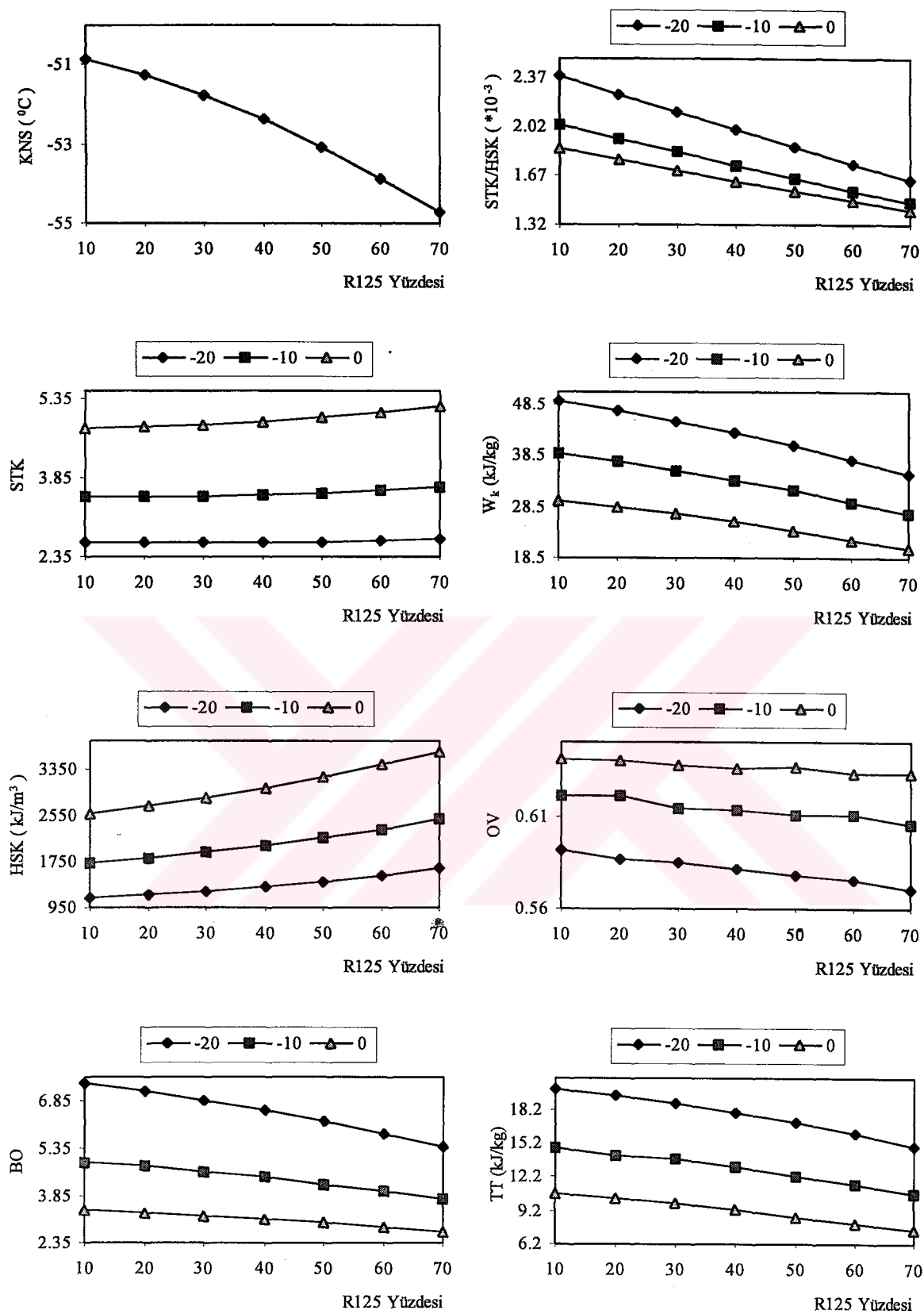
OV değişimi düzenli değilken TT değişiminde bir kararlılık sözkonusudur. Sabit R125 oranında R290 oranı arttıkça ve sabit R290 oranında R125 oranı azaldıkça TT değerleri artmaktadır. Bu durum iki çevrim için de geçerlidir.



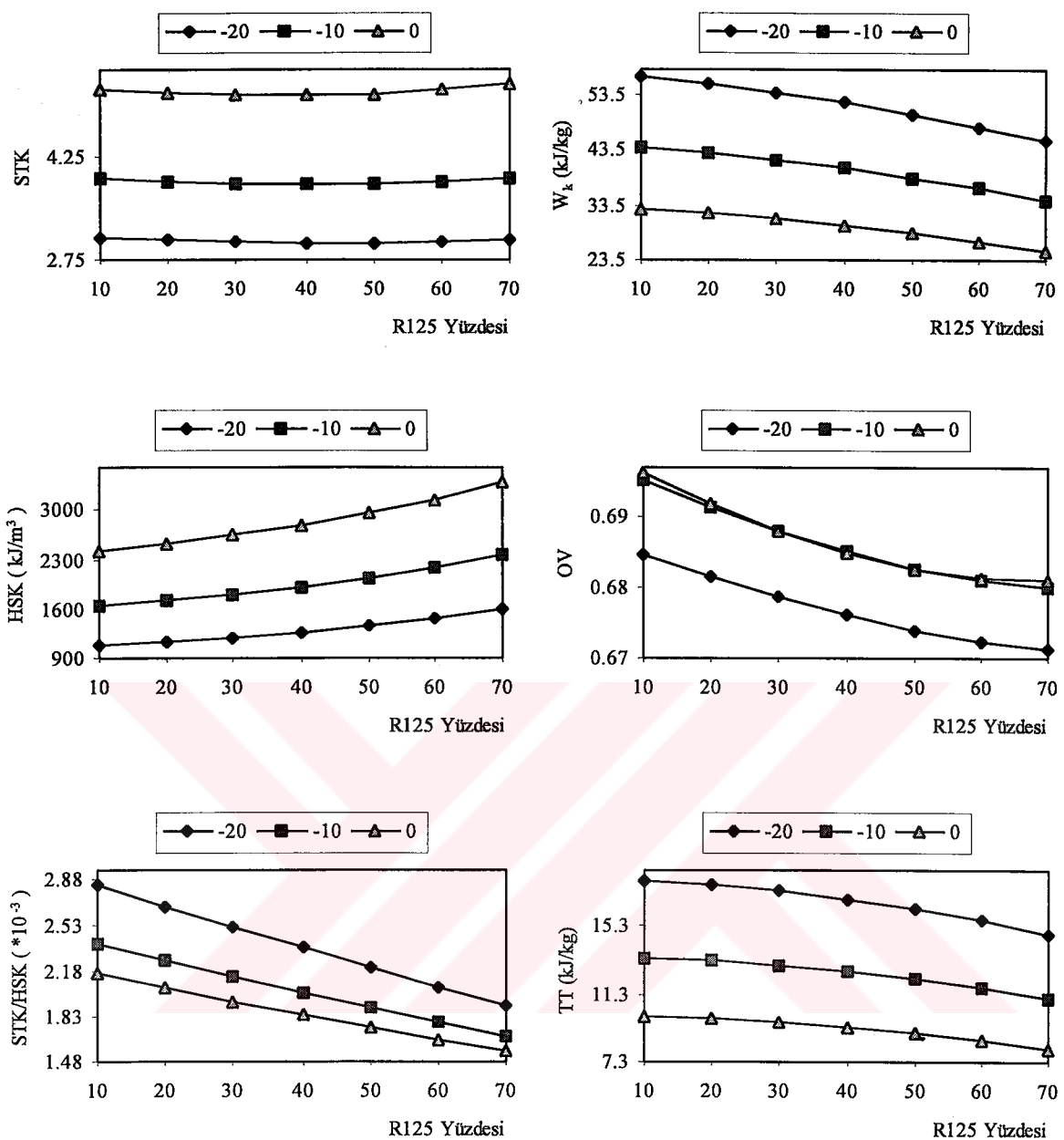
Şekil 3.38. R125/R290/R134a karışımı için termodinamik ve performans değerlerinin kütle oranıyla değişimi (Sabit sıcaklık, klasik çevrim %5'lik sabit R290 yüzdesi)



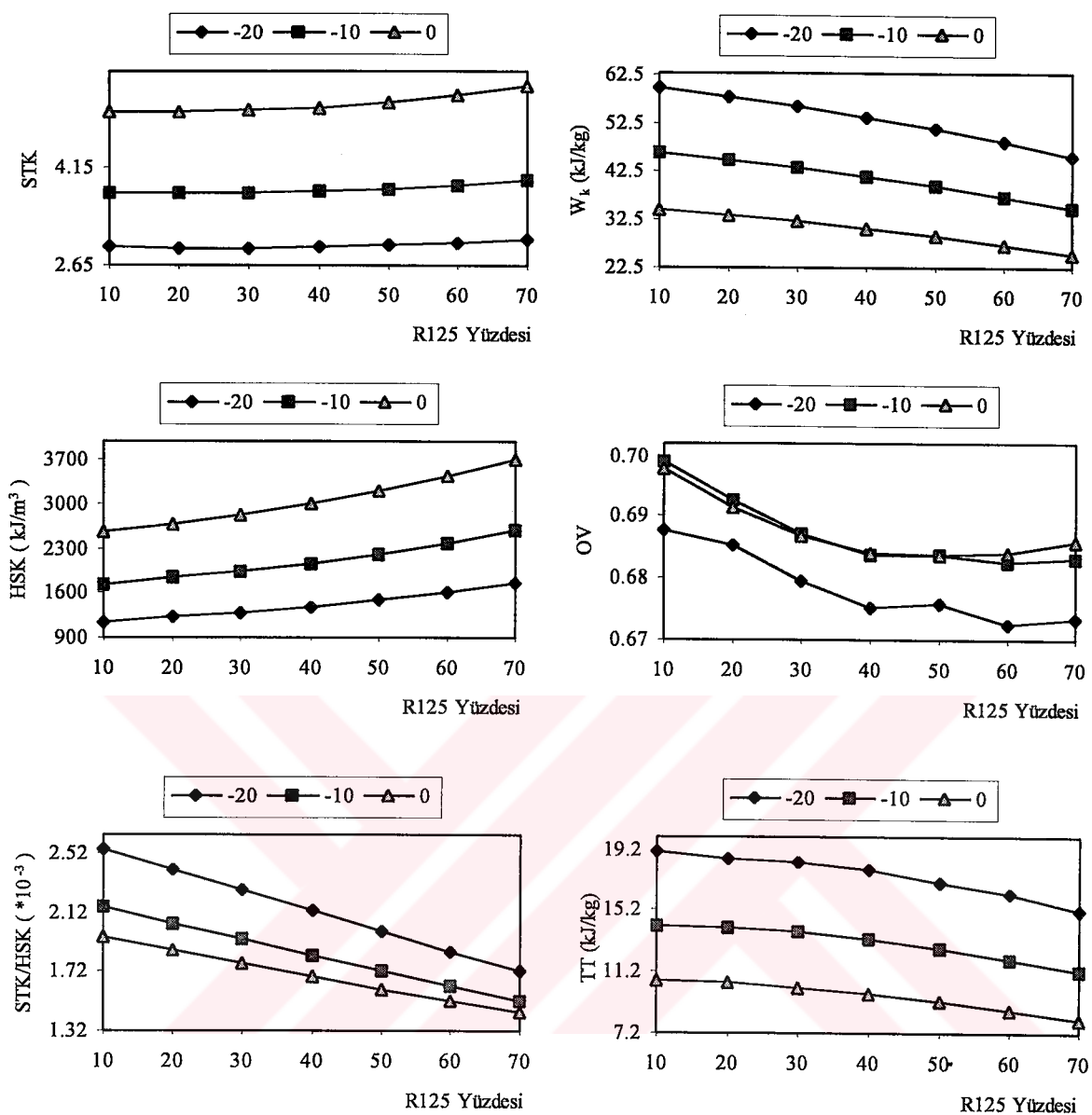
Şekil 3.39. R125/R290/R134a karışımı için termodinamik ve performans değerlerinin kütle oranıyla değişimi (Sabit sıcaklık, klasik çevrim %10'luk sabit R290 yüzdesi)



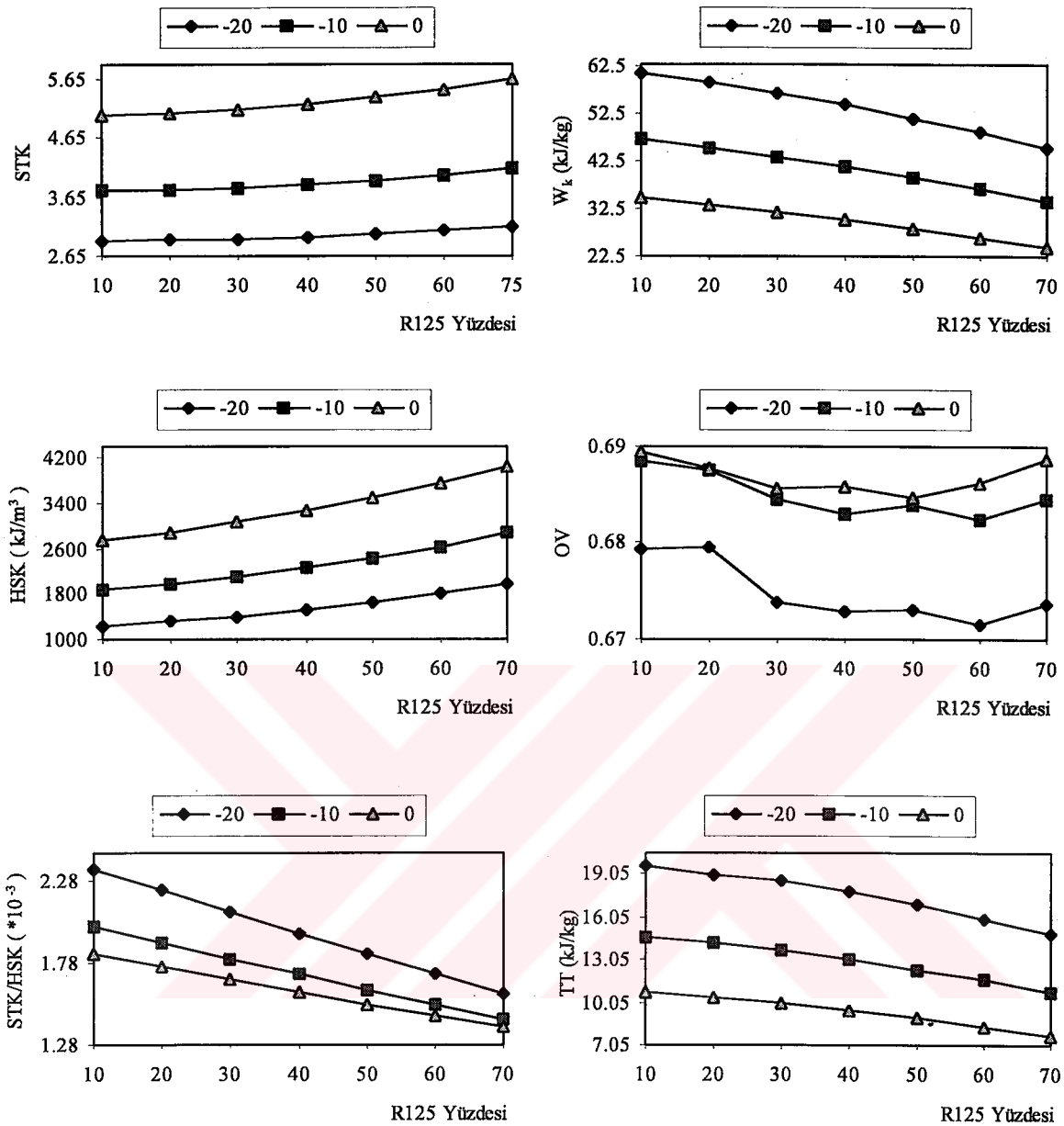
Şekil 3.40. R125/R290/R134a karışımı için termodinamik ve performans değerlerinin kütle oranıyla değişimi (Sabit sıcaklık, klasik çevrim %15'lik sabit R290 yüzdesi)



Şekil 3.41. R125/R290/R134a karışımı için termodinamik ve performans değerlerinin kütle oraniyla değişimi (Sabit sıcaklık, ısı değiştiricili çevrim, %5'lik sabit R290 yüzdesi)



Sekil 3.42. R125/R290/R134a karışımı için termodinamik ve performans değerlerinin kütleye orayıyla değişimi (Sabit sıcaklık, ısı değiştiricili çevrim, %10'luk sabit R290 yüzdesi)



Şekil 3.43. R125/R290/R134a karışımı için termodinamik ve performans değerlerinin kütle oraniyla değişimi (Sabit sıcaklık, ısı değiştiricili çevrim, %15'lik sabit R290 yüzdesi)

3.2.2.12. R32/R125/R290/R134a Karışımı

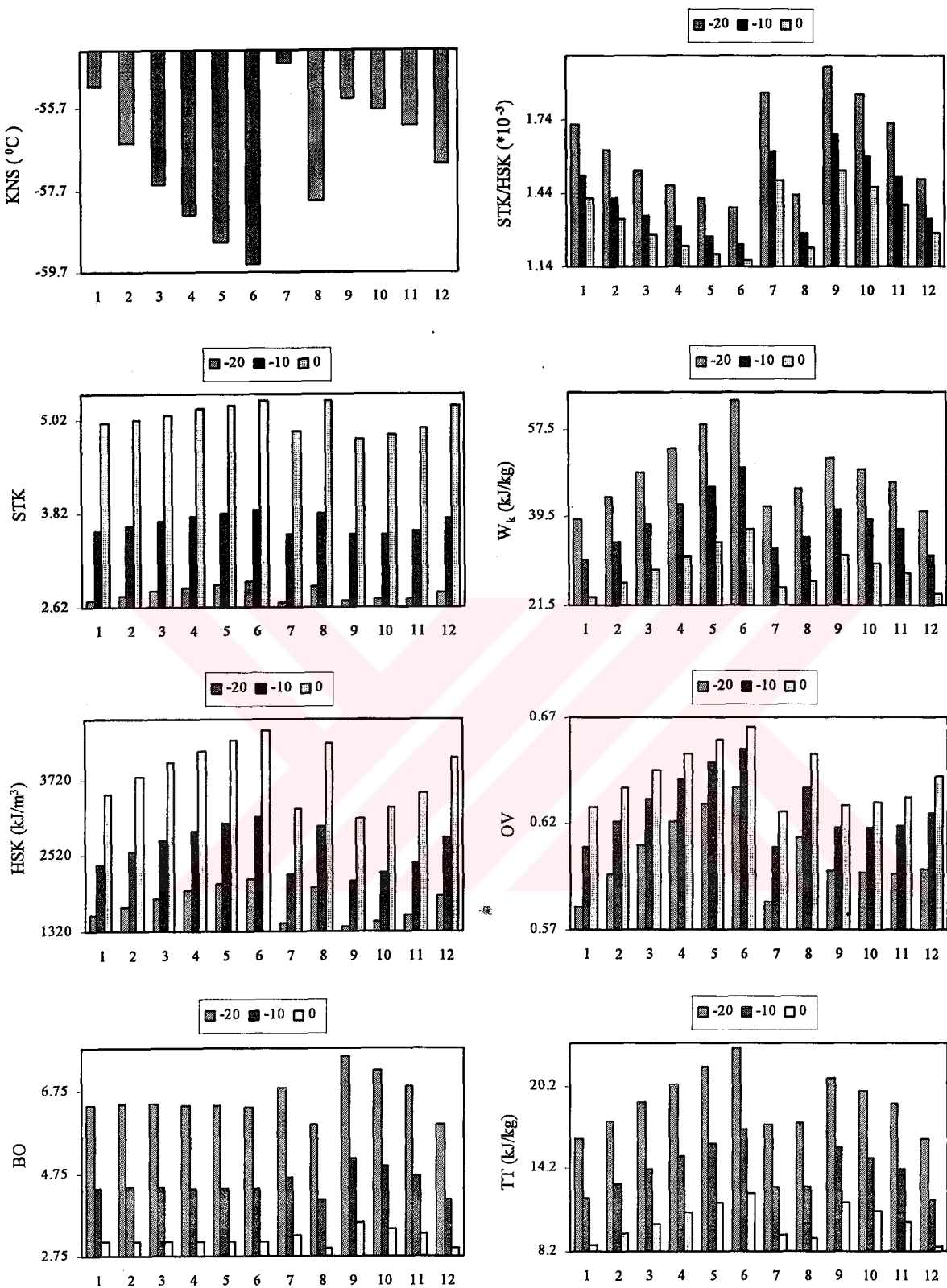
Bu karışımında R290 oranı %5'de sabit tutulmuş, R290'la birlikte ayrı ayrı diğer bir bileşenin oranı sabit tutularak geri kalan diğer iki bileşenin oranı değiştirilmiştir. (Çizelge Ek 1.13., Şekil 3.44.-3.45.)

Sabit R290 ve R134a oranında R32 oranının artması ile, sabit R125 ve R290 oranında R32 oranının artması ile, sabit R32 ve R290 oranında da R125 oranının artması ile KNS'de düşme gözlenmektedir. KNS ile uyumlu olarak sözü edilen 3 durumda (sabit R290 ve R134a oranında R32 oranının artması ile, sabit R125 ve R290 oranında R32 oranının artması ile, sabit R32 ve R290 oranında da R125 oranının artması ile) klasik çevrimde STK artmaktadır. Isı değiştiricili çevrimde sabit R290 ve R134a oranında R32 oranının artması ile STK azalırken diğer durumlarda klasik çevrime benzer davranış sözkonusudur. Isı değiştiricili çevrimde daha yüksek STK değerleri elde edilmiştir. Klasik çevrimde 60/15/5/20 oranında ($T_b=0^\circ\text{C}$ hariç), ısı değiştiricili çevrimde 20/65/5/10 oranında en yüksek STK değerleri elde edilmektedir.

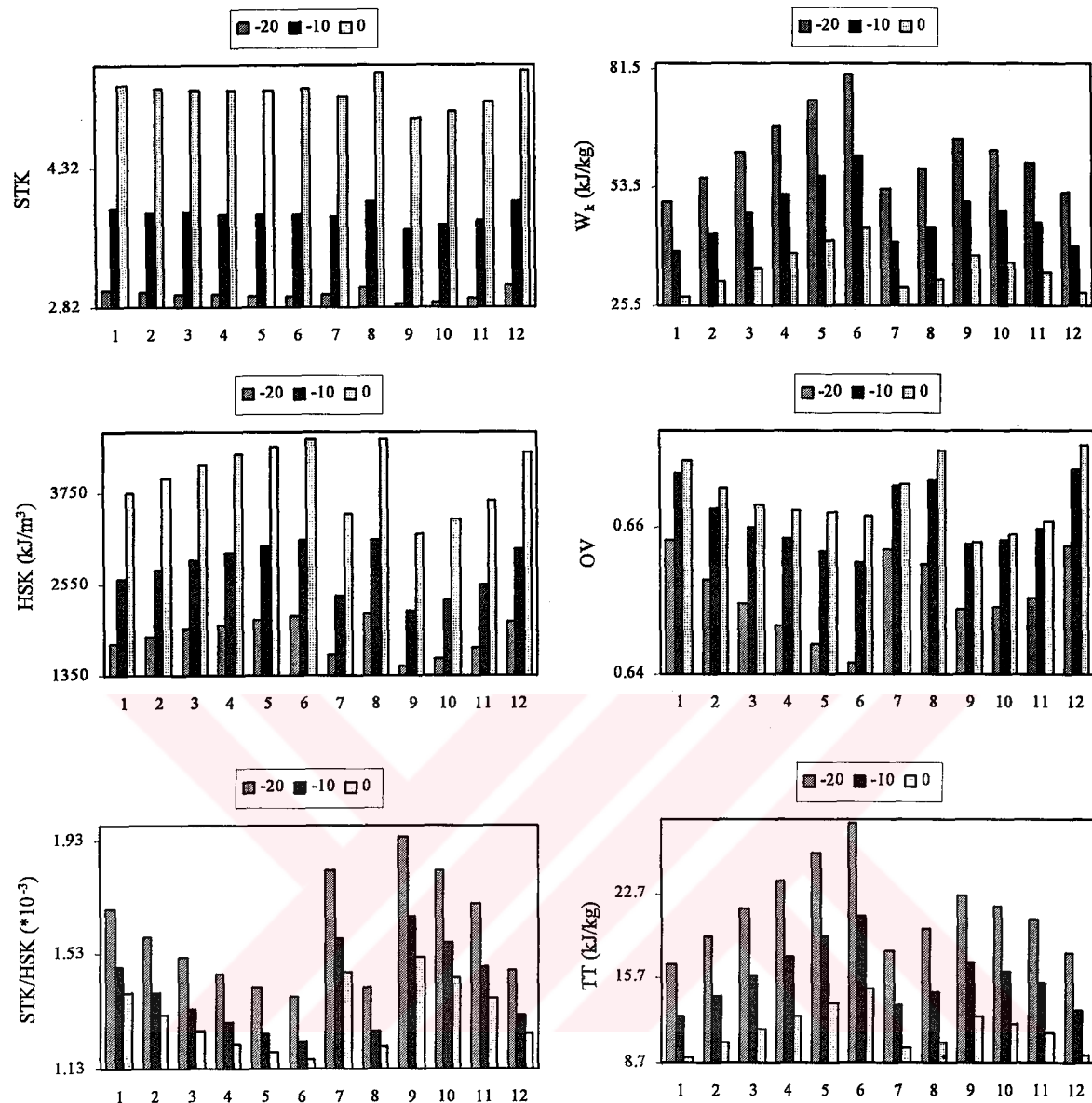
KNS değişiminde akışkanların oranıyla ilgili verilen durumlar için iki çevrime ait HSK değerlerinde de artış gözlenmektedir. Aynı şartlarda BO değişimi ise genel itibariyle azalma eğilimindedir.

İki çevrimde de akışkan oranlarına ait verilen ilk iki durum için W_k değerleri artarken, son durum için azalmaktadır. Klasik çevrimde bu üç durum için OV değerleri artarken ısı değiştiricili çevrimde ise ilk durum için azalma olmakta, diğer iki durum içinse klasik çevrimdeki gibi artmaktadır.

TT değişimi ise W_k değişimi ile paralel bir davranış sergilemektedir.



Şekil 3.44. Sabit sıcaklık için klasik çevrimde R32/R125/R290/R134a karışımına ait termodynamik ve performans değerlerinin kütle oranıyla değişimi



Şekil 3.45. Sabit sıcaklık için ısı değiştiricili çevrimde R32/R125/R290/R134a karışımına ait termodinamik ve performans değerlerinin kütle oranıyla değişimi

3.2.3. R12, R22, R502 ve Alternatif Karışımlarının İncelenmesi

Alternatif karışımlar için şekildeki numaralandırmada, ilgili çizelgelerde verilen karışım numaralandırması esas alınmıştır. Çizelgedeki sıralamalar KNS'nin azalması yönündedir ve şekillerdeki numaralandırma için çizelgelere bakılmalıdır.

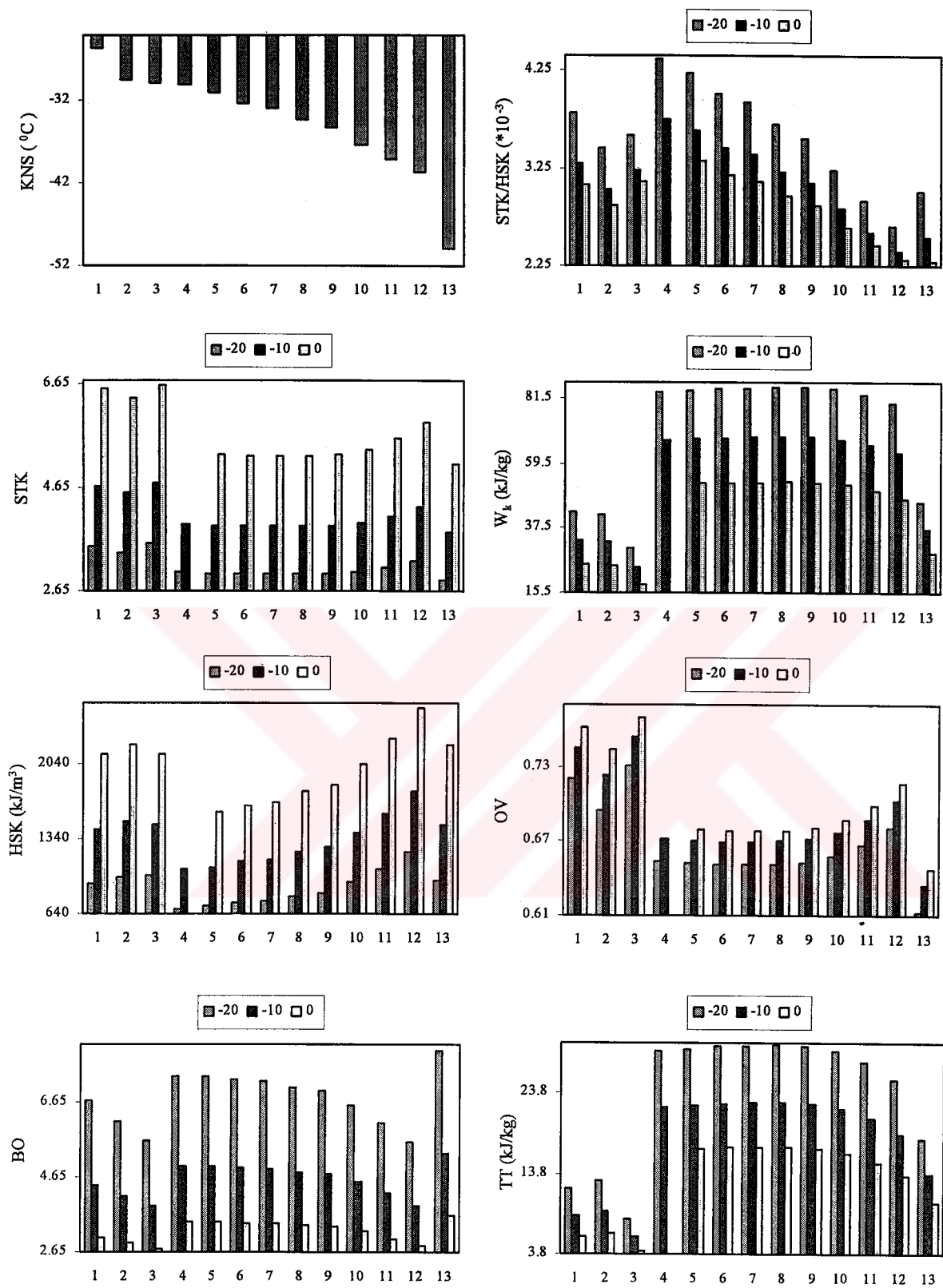
3.2.3.1. R12 ve Alternatif Karışımıları

Alternatif olarak 12 tane karışım kaynaklardan^(30,38,40,43,49) alınmıştır. Bunlardan 9 tanesi R290/R600a'nın farklı oranlarda karışımıdır. (Çizelge Ek 1.14. Şekil 3.46.-3.47.)

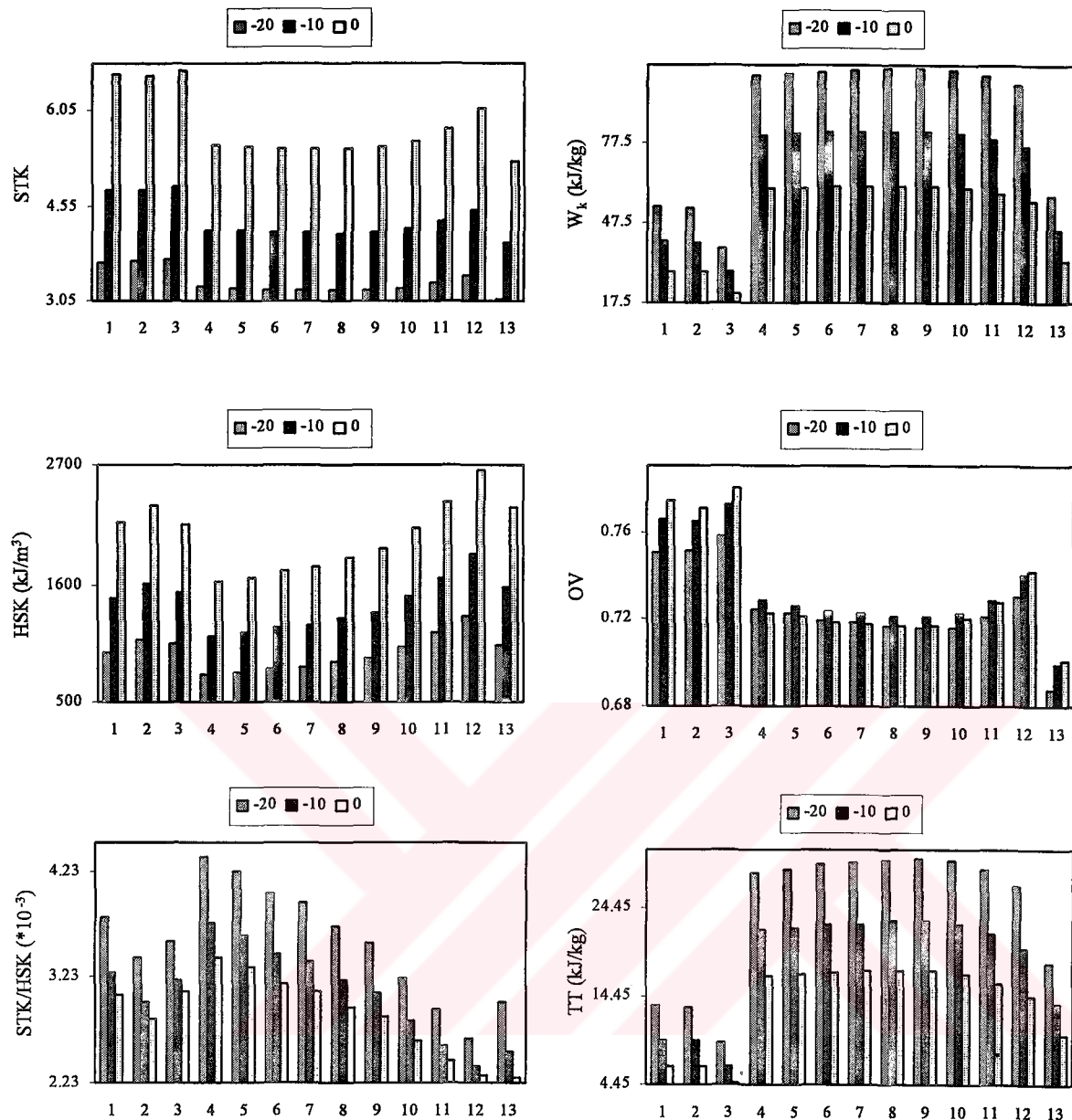
STK değişimi genel itibarıyle KNS'nin azalmasıyla düşmektedir. Bütün durumlarda en yüksek STK değerleri R12'ye aittir. Böylece kaynaklarda verilen alternatif karışımının STK'ları R12'ninkinin altında kalmaktadır. Genelde bütün durumlar için STK açısından R12'ye en yakın karışım R152a/R134a karışımıdır. Isı değiştiricili çevrimde daha yüksek STK değerleri elde edilmektedir.

HSK sıralaması KNS ile tam uyum içinde değildir. Mevcut sistemlerde R12'nin yerine kullanılabilecek karışımlar, R600a/R134a (klasik çevrimde -20°C hariç), R290/R600a (80/20, 90/10) ve R290/R134a (-20°C hariç)'dır. STK ve HSK beraberce düşünüldüğünde mevcut sistemlerde R600a/R134a karışımının kullanılması avantajlı olmaktadır.

Kompresör işi genelde STK ile uyumlu değişmekte, en az iş girdisi R12'de gerçekleşmektedir. Isı değiştiricili çevrimde daha fazla iş girdisi olmaktadır.



Şekil 3.46. Sabit sıcaklık için klasik çevrimde R12 ve alternatif karışımımlarına ait termodinamik ve performans değerlerinin değişimi



Şekil 3.47. Sabit sıcaklık için ısı değiştiricili çevrimde R12 ve alternatif karışımlarına ait termodynamik ve performans değerlerinin değişimi

OV değerleri de en fazla R12'de elde edilmekte, R12'yi genelde R152a/R134a karışımı takip etmektedir. TT değişimi ise genel itibariyle W_k değişimiyle benzerlik taşımaktadır. Dolayısıyla en az tersinmezlik R12'de elde edilmektedir.

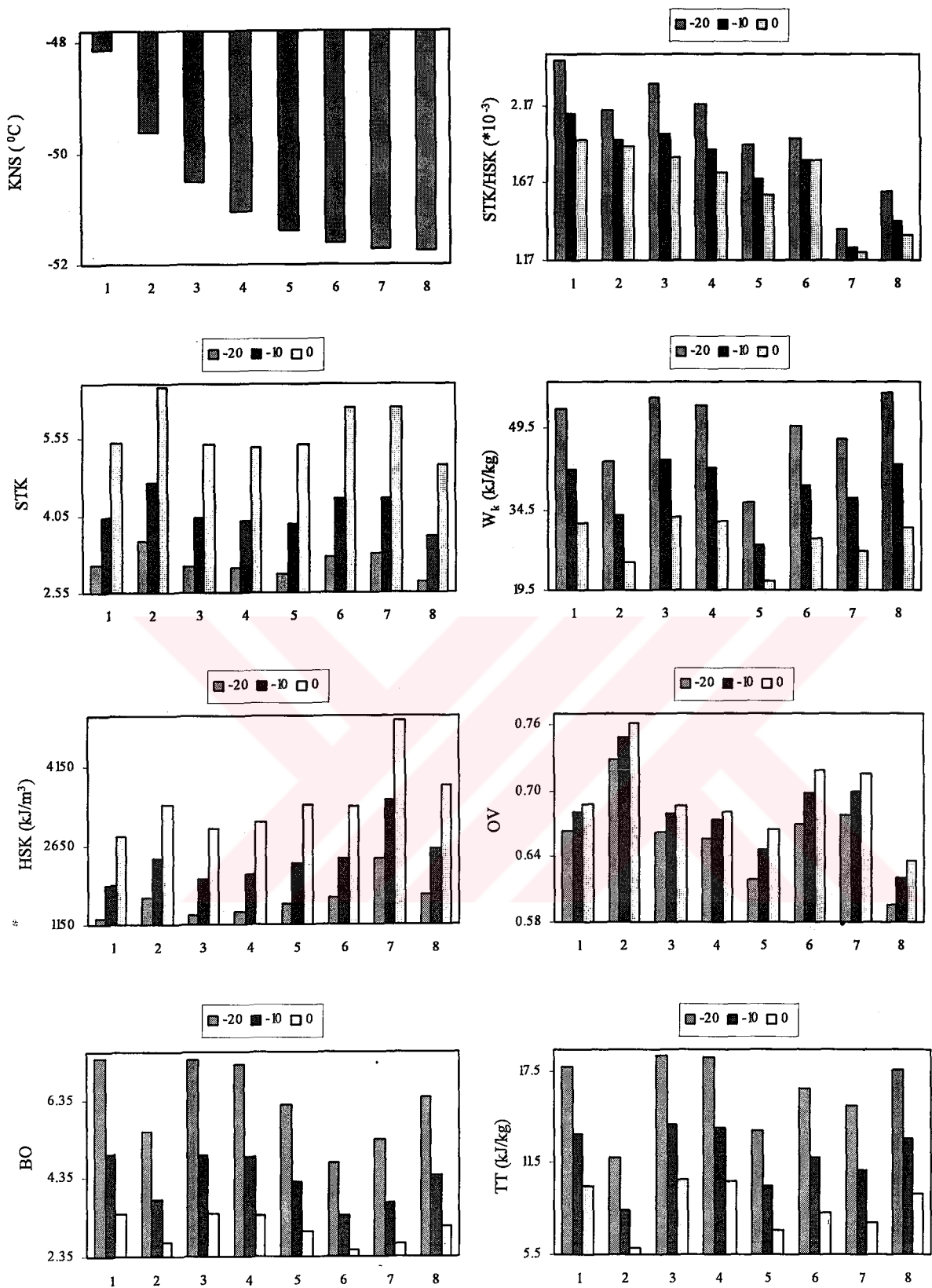
3.2.3.2. R22 ve Alternatif Karışımaları

Alternatif olarak 8 tane karışım kaynaklarından^(8,33,34) alınmıştır. (Çizelge Ek 1.15., Şekil 3.48.-3.49.)

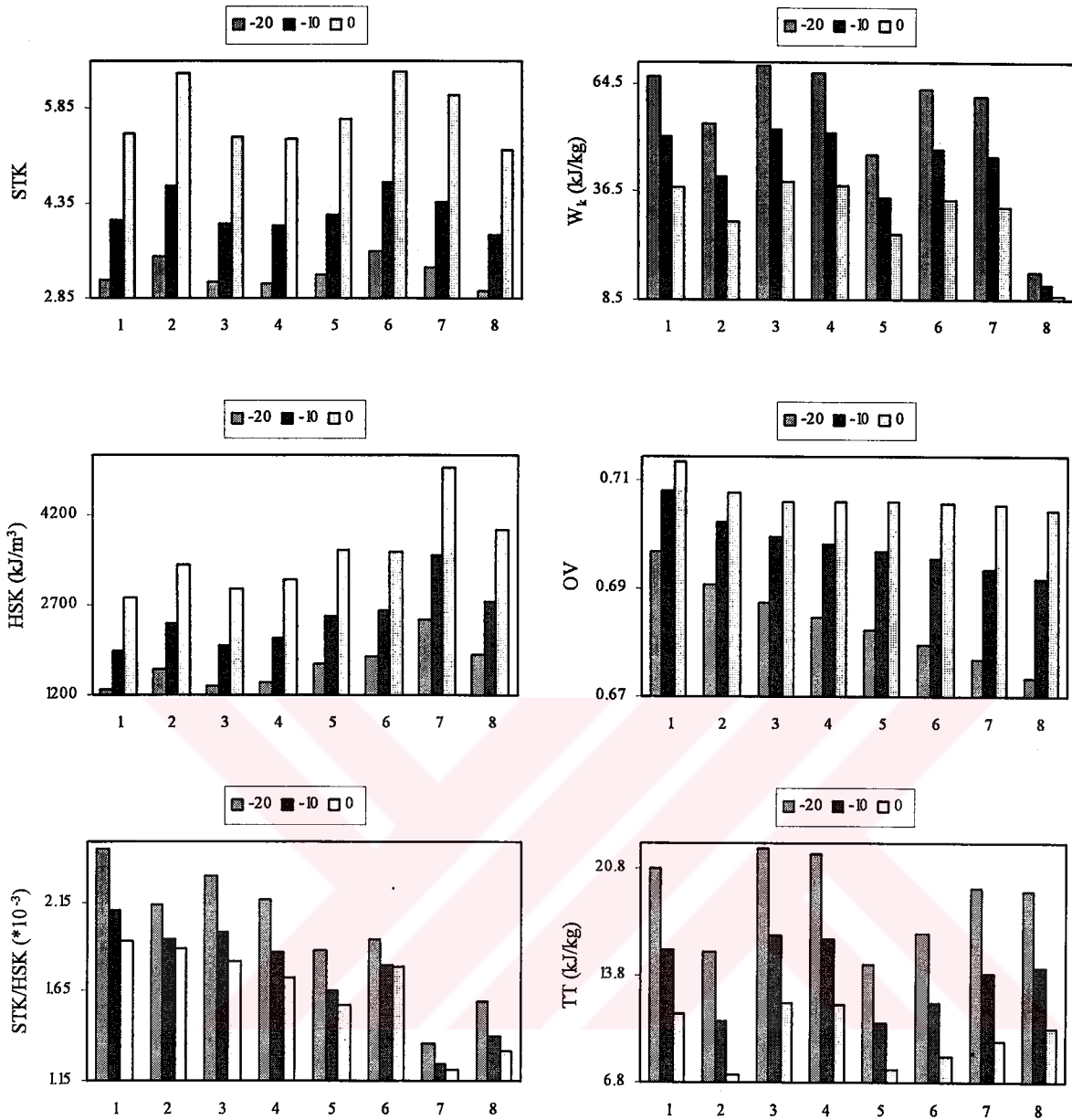
STK değişimi KNS ile uyumlu değildir. En yüksek STK değeri R22'de elde edilmektedir. Isı değiştiricili çevrim bazı karışımlarda olumsuz gözükmektedir. R22'ye en yakın STK değerleri klasik çevirimde R32/R125 (50/50) karışımında elde edilmektedir. Isı değiştiricili çevirimde R290/R134a (46/54) oranında en yüksek STK değerleri elde edilmektedir. Bu karışımı R22 takip etmektedir.

HSK değişimi de beklentiği şekilde değildir. Mevcut sistemlerde R32/R125 (50/50), R32/R125/R290/R134a ve R290/R134a (46/54) (ısı değiştiricili çevirimde) karışımları R22 yerine kullanılabilecektir. STK değerleri ile beraber düşünüldüğünde klasik çevirimde R32/R125 karışımı, ısı değiştiricili çevirimde R290/R134a karışımı avantajlı olmaktadır.

En düşük BO değeri R290/R134a karışımında en yüksek değer ise R32/R134a (25/75) karışımında elde edilmektedir. STK değeri itibariyle 2.sırada olan bu karışım beklenmedik bir şekilde en yüksek BO değerine sahip olmaktadır.



Şekil 3.48. Sabit sıcaklık için klasik çevrimde R22 ve alternatif karışıntılarına ait termodinamik ve performans değerlerinin değişimi



Şekil 3.49. Sabit sıcaklık için ısı değiştiricili çevrimde R22 ve alternatif karışımımlarına ait termodynamik ve performans değerlerinin değişimi

W_k değişimi de beklentiği şekilde değildir. STK değeri oldukça düşük olan R32/R125/R134a (10/70/20) karışımı, klasik çevrimde en az iş girdisine sahiptir. Isı değiştiricili çevrimde ise en az iş girdisi 4'lü karışımında gerekmektedir.

OV değerleri açısından klasik çevrimde R22 en iyi durumda iken, ısı değiştiricili çevrimde R32/R134a (25/75) karışımı daha avantajlıdır. TT değişiminde OV'de olduğu gibi klasik çevrim için R22 avantajlıdır. Isı değiştiricili çevrimde ise R290/R134a karışımı da düşük TT değerlerine sahiptir.

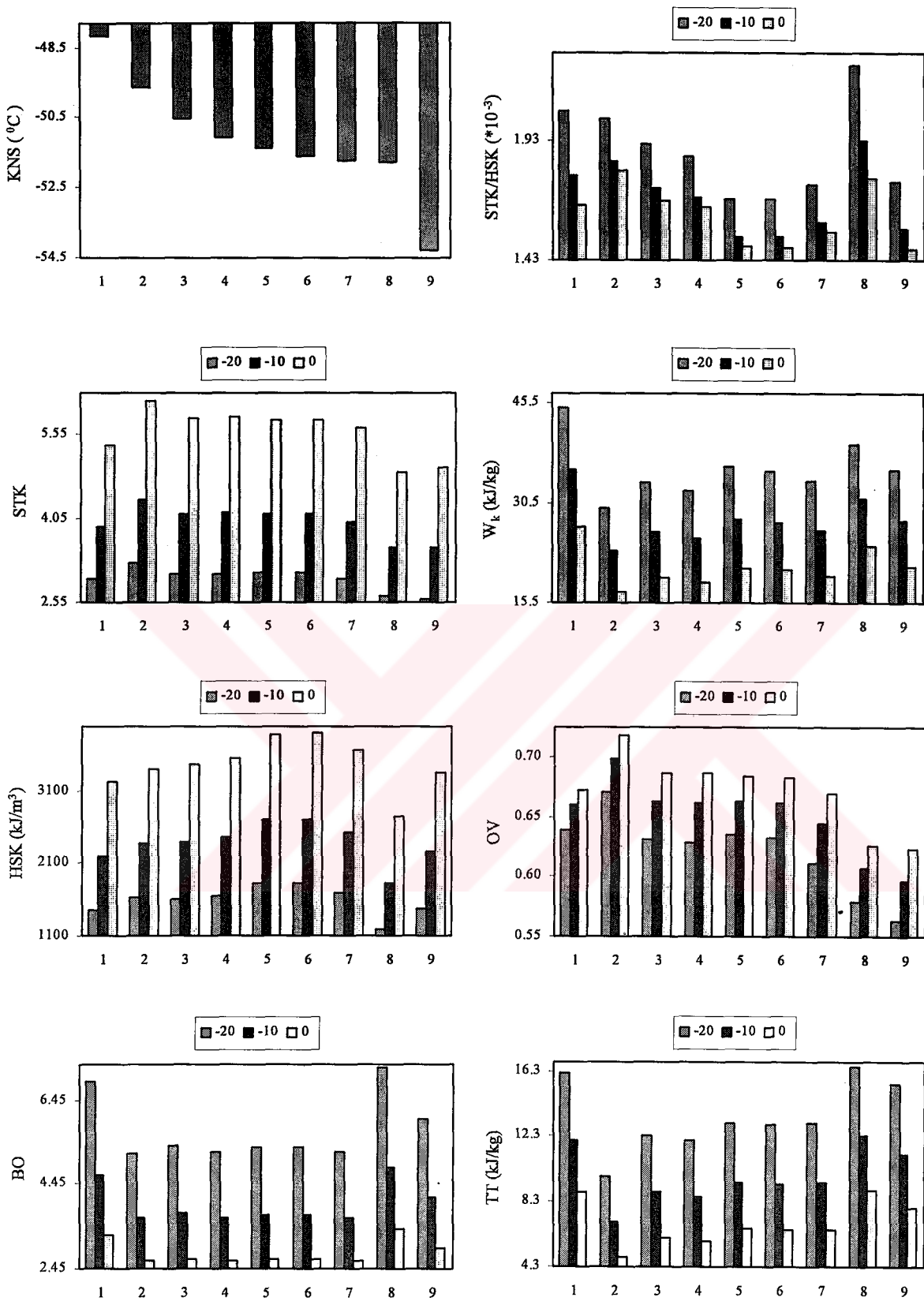
3.2.3.3. R502 ve Alternatif Karışımıları

Alternatif 9 karışım literatürden^(38,40) alınmıştır. (Çizelge Ek 1.16., Şekil 3.50.-3.51.)

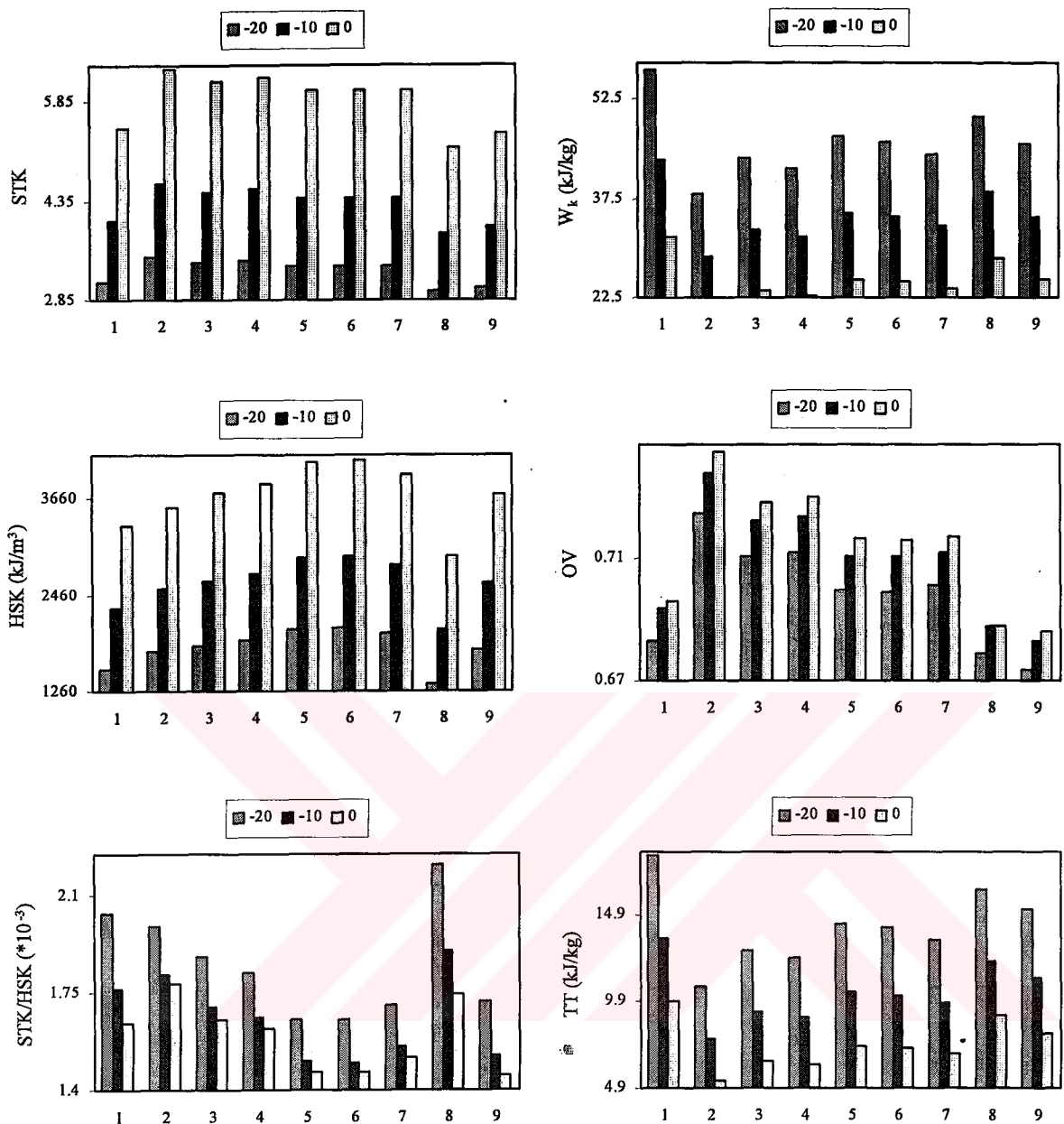
STK değişimi KNS ile uyumlu değildir. En yüksek STK değeri iki çevrimde de R502'de elde edilmektedir. R502'yi R125/R143a (50/50) karışımı takip etmektedir. Isı değiştiricili çevrim her durumda avantajlı gözükmektedir.

HSK değişimi de bekleniği şekilde değildir. R502'nin HSK değerinden düşük değerli karışımlar R32/R125/R134a (20/40/40), R125/R290/R134a (50/5/45, 70/10/20(klasik çevrimde))'dır. Dolayısıyla bu karışımların mevcut sistemlerde kullanılması beklenmez. HSK ile beraber düşünüldüğünde de R502 dışında en avantajlı karışım R125/R143a (50/50) karışımıdır.

Kompresör işi bekleniği üzere en az R502'de elde edilmektedir. R125/R143a (50/50) karışımı da iş girdisi açısından R502'den sonra gelmektedir. OV açısından ısı değiştiricili çevrim daha iyi durumdadır ve iki çevrimde de R502 en yüksek değerlere



Şekil 3.50. Sabit sıcaklık için klasik çevrimde R502 ve alternatif karışımlarına ait termodinamik ve performans değerlerinin değişimi



Şekil 3.51. Sabit sıcaklık için ısı değiştiricili çevrimde R502 ve alternatif karışımımlarına ait termodinamik ve performans değerlerinin değişimi

sahiptir. R502'yi ısı değiştiricili çevrimde R125/R143a karışımı takip etmekte, klasik çevrimde buharlaştırıcı sıcaklıklarına göre farklı karışımlar ikinci sırada yer almaktadır.

TT de en az R502'de ortaya çıkmakta, OV ile uyumlu olarak ısı değiştiricili çevrimde R125/R143a karışımı R502'yi takip etmektedir.

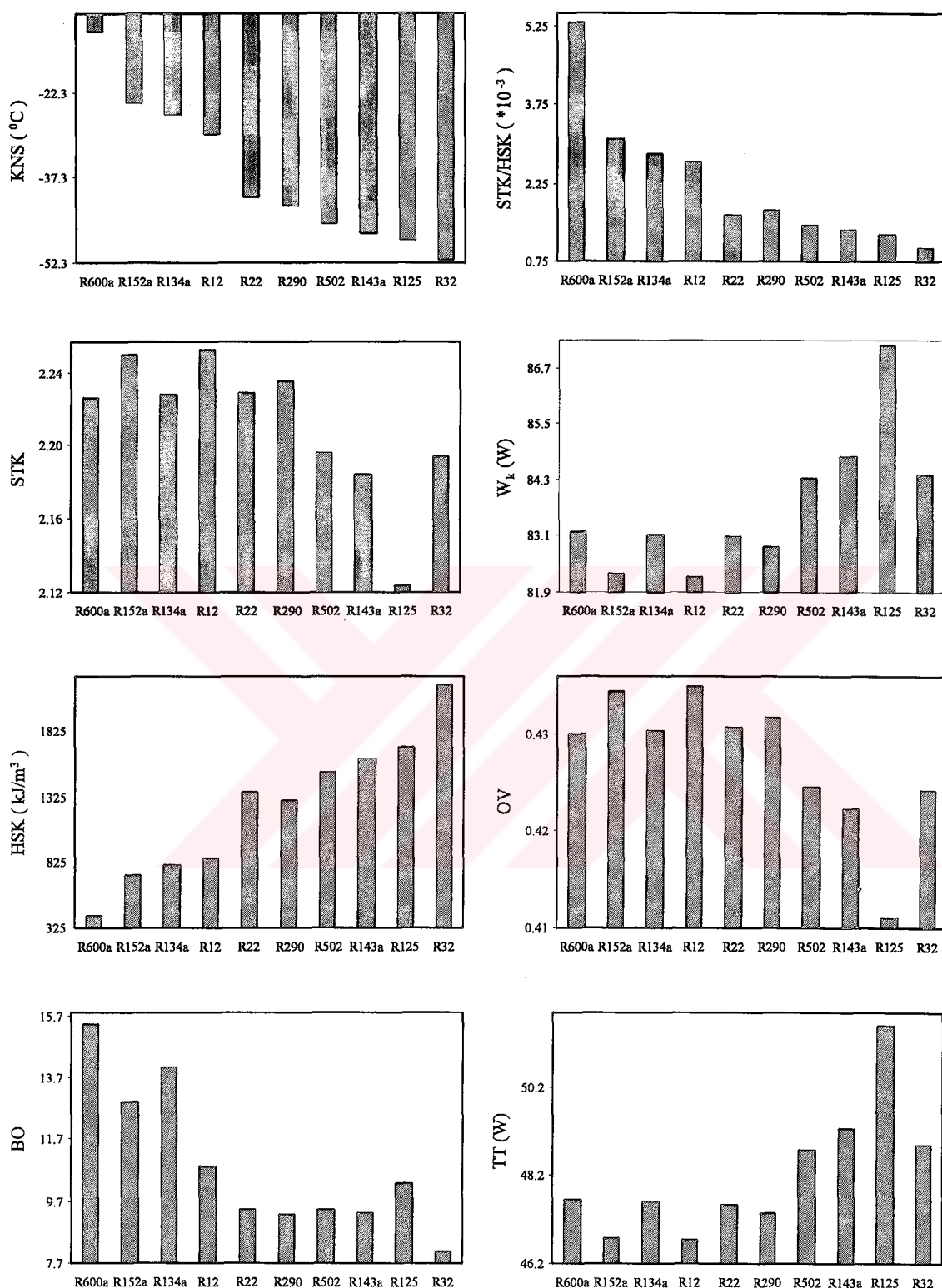
3.3. Sabit Soğutma Yüküne Dayalı Hesaplamalar

İnceleme kapsamındaki bütün akışkanlar ve karışımları için KNS, STK, HSK, BO, STK/HSK, W_k , OV ve TT değerleri aşağıdaki bölümlerde çizelge ve grafik olarak verilmiş ve değerlendirilmiştir. Hesaplamalar emme/sıvı hattı ısı değiştiricili çevrim kullanılarak sabit 180 W'luk soğutma yükü için yapılmıştır.

3.3.1. Saf Akışkanların İncelenmesi

Akışkan sırası ile veya artan uçuculukla STK değerinde genel eğilim baştaki birkaç akışkan için ufak çapta karmaşa ile birlikte azalma yönündedir. (Çizelge Ek 1.17., Şekil 3.52.) Akışkanların KNS dışındaki sahip oldukları özelliklerde küçük çapta bozulmalar gözleniyor olsa da sözü edilen genel bir düşme akışkanların tümü için geçerlidir. Bu düşme % olarak çok düşük mertebededir. En yüksek STK R12 için 2.25, en düşüğü R125 için 2.12 seviyesindedir.

STK'daki ufak sapmalarla ortaya çıkan genel eğilim HSK'da bozulmalardan arınmış olarak netleşmektedir. R22'deki ufak sıradışılık hariç uçuculuk arttıkça HSK



Şekil 3.52. Sabit soğutma yükünde saf akışkanlar için termodinamik ve performans değerlerinin değişimi

düzgün bir artış göstermektedir. HSK 418 kJ/m³'den 2185 kJ/m³'e kadar çıkmaktadır.

BO'da da R134a ve R125'teki ufk sapmalarla birlikte beklenildiği üzere uçuculuğun artması ile BO düşmektedir. STK/HSK oranı KNS sıralaması açısından daha net bir sonuç vermektedir, R22'de ufk bir sapma hariç KNS değeri azaldıkça bu oran da azalmaktadır.

W_k STK ile ters orantılı dolayısıyla STK arttıkça W_k da düşmektedir. Dolayısıyla en yüksek W_k değeri R125'te elde edilmektedir.

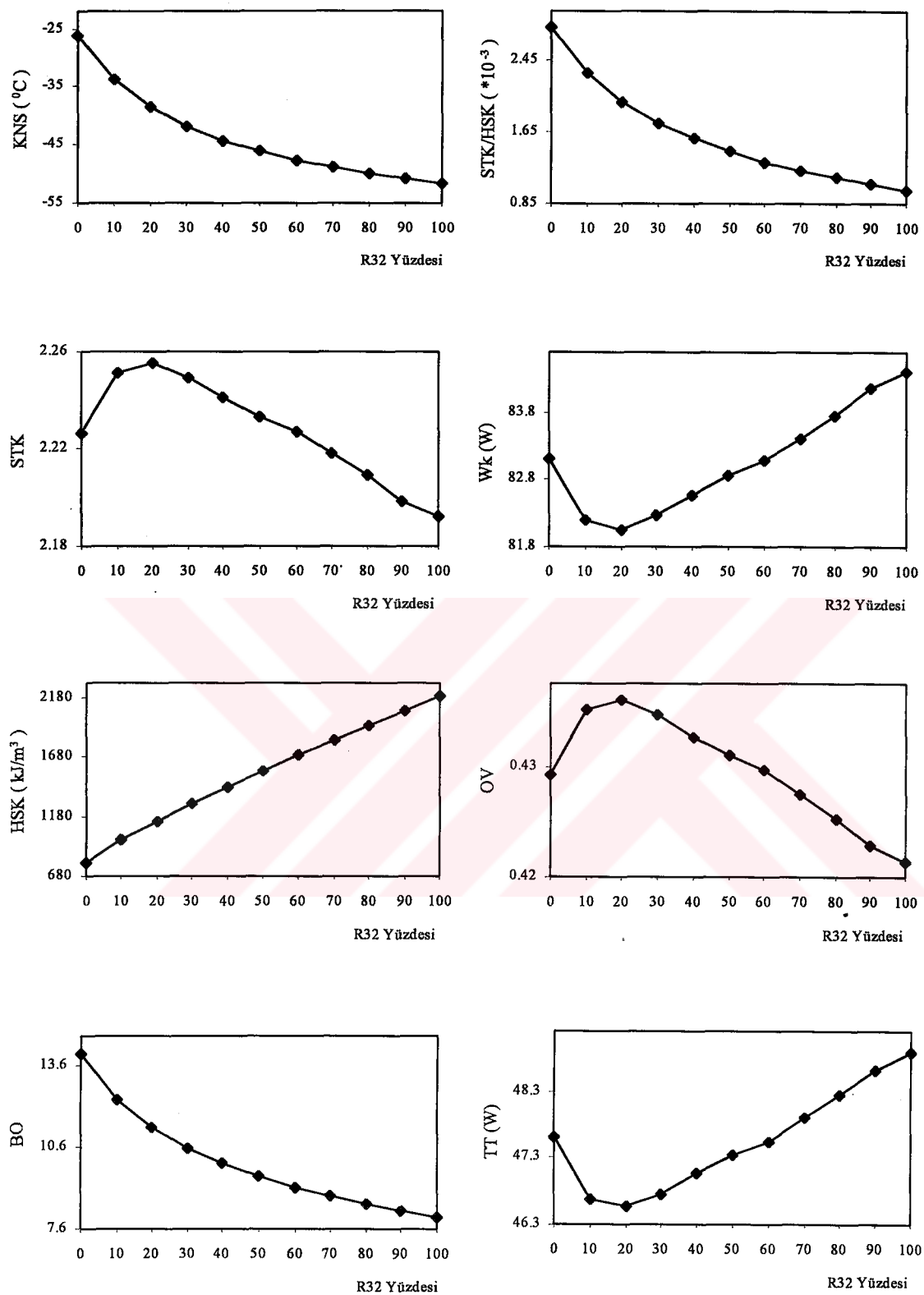
OV değişimi STK değişimi ile, TT değişimi ise W_k değişimi ile paralellik arz etmektedir. Dolayısıyla en az tersinmezlik R152a'da iken en fazla tersinmezlik R125'te gerçekleşmektedir.

3.3.2. Karışımların İncelenmesi

Karışımalar için de çizelgelerde KNS, STK, HSK, BO, STK/HSK, W_k , OV ve TT değerleri yer almaktır ve bunlara ait grafikler verilmektedir.

3.3.2.1. R32/R134a Karışımları

R32'nin KNS değerinin R134a'dan daha düşük olduğu daha önce de belirtilmiştir. Dolayısıyla bu karışımı ait KNS değerleri R32 oranının artması ile azalmaktadır. (Çizelge Ek 1.18., Şekil 3.53.)



Şekil 3.53. Sabit soğutma yükünde R32/R134a karışımı için termodinamik ve performans değerlerinin kütle oranıyla değişimi

20/80 oranına sahip karışımında en yüksek STK değerine ulaşmaktadır. Daha sonra R32 oranı arttıkça STK azalmaktadır. Dolayısıyla genelde KNS'deki değişimle uyum söz konusudur.

Beklendiği gibi, R32 oranı arttıkça BO azalırken HSK artmaktadır. STK/HSK oranı da BO ile aynı değişimi göstermektedir.

W_k değişimi beklentiği gibi STK ile ters orantılıdır. Dolayısıyla en düşük W_k 20/80 oranında elde edilmekte ve sonra R32 oranı arttıkça W_k artmaktadır.

OV değişimi de bekleniği gibi STK ile benzerlik arz etmektedir. TT değişimi de W_k ile aynı değişime sahiptir.

35.2/64.8 oranındaki karışımında HSK değeri R22'nin HSK değerine eşitlenmektedir. Bu karışım R22 yerine mevcut sistemlerde kullanılacaksa 35.2/64.8 oranındaki karışım kullanılmalıdır. Bu durumda, R22'ninkinden %0.8 daha yüksek STK değeri elde edilmiştir. Yeni tasaranacak sisteme kullanılacaksa 20/80 oranındaki karışım kullanılmalıdır. Bu durumda R22'den %1.3 daha yüksek STK değeri geçerlidir. Bu ikili karışım için 25/75 ve 30/70 oranları R22 için alternatif karışım olarak teklif edilmektedir.

3.3.2.2. R290/R134a Karışımı

R290'nın KNS değeri R134a'dan yüksektir. (Çizelge Ek 1.19., Şekil 3.54.) Karışma ait KNS değerleri ise bu iki bileşenin KNS değerleri arasında değişmesi beklenirken R290'nın KNS değerinden daha düşük değerler elde edilmektedir. Bu durum 46/54 oranında azeotrop bir karışım oluşmasıyla açıklanabilir. En düşük KNS

değeri ani bir düşüşle 10/90 oranında elde edilmekte ve daha sonra R290 oranı arttıkça artmaktadır.

Bu ikilinin STK değişimi oldukça farklı seyretmektedir. En yüksek STK değerine 90/10 oranında, en düşük değerine de 30/70 oranında ulaşılmaktadır. 30/70 oranından sonra R290 yüzdesinin artması ile STK artmaktadır.

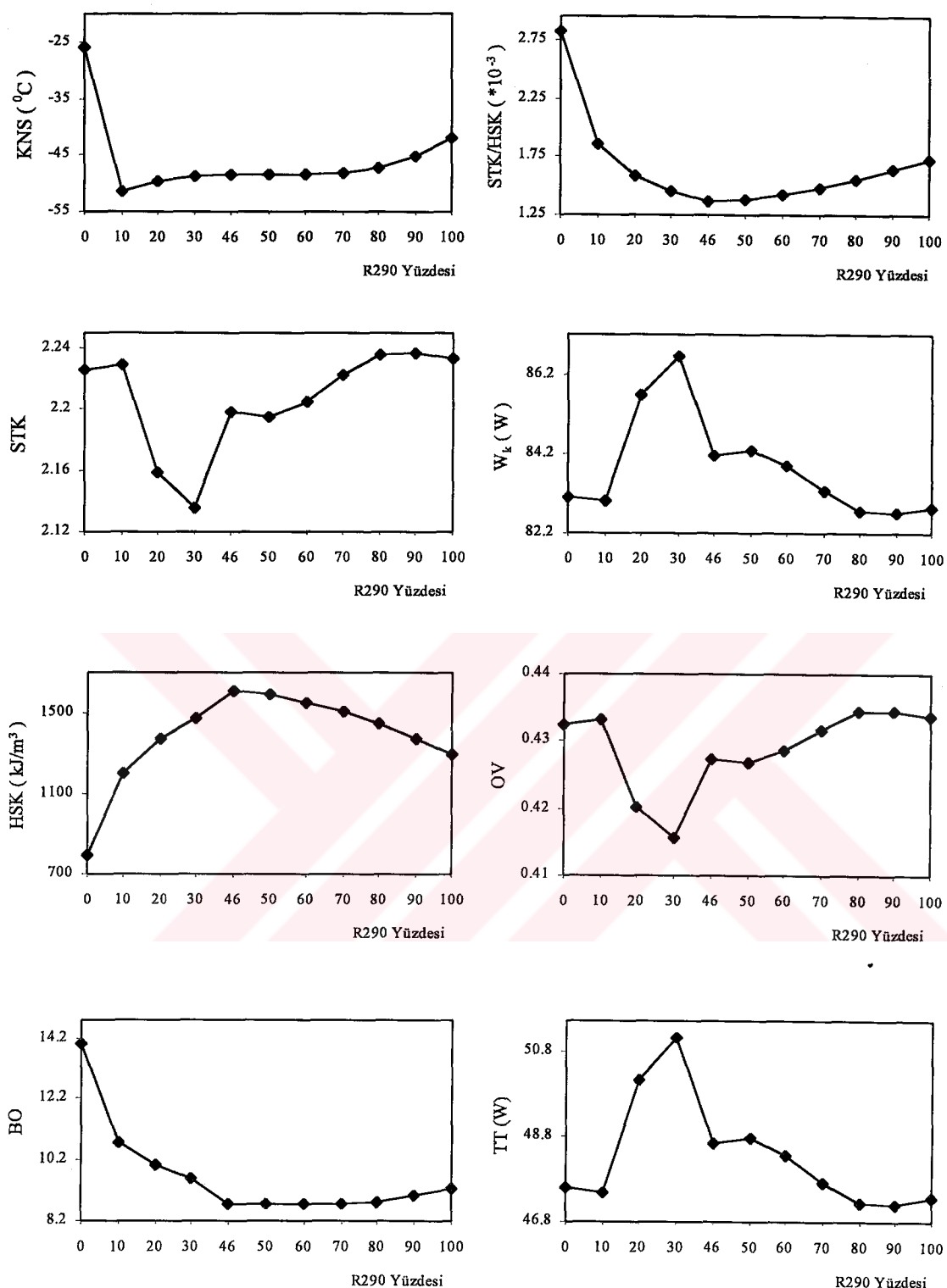
R290'ın %46'dan düşük oranlarında sıcaklık kayması %46'dan yüksek oranlardakinden oldukça yüksektir. R290'nın 10-12 civarındaki oranlarında en yüksek sıcaklık kaymasına ulaşılmaktadır.

HSK'daki değişim ise azeotrop noktaya kadar artış göstermekte daha sonra ise azalmaktadır. BO değişimi de bekleniği gibi HSK'nın tersi yönünde gelişmektedir. STK/HSK değişimi ise BO'daki değişime benzer davranış göstermektedir. Dolayısıyla HSK, BO ve STK/HSK değişimi kendi aralarında beklenen davranışını göstermektedir.

19/81 oranındaki karışımında HSK değeri R22'nin HSK değerine eşitlenmektedir. Bu durumda R22'ninkinden daha düşük bir STK değeri elde edilmiştir.

W_k değişimi STK ile ters yönlü olmakta dolayısıyla en yüksek W_k değeri 30/70 oranında elde edilmektedir.

OV değişimi STK ile, TT değişimi de W_k değişimiyle benzer olmaktadır.



Şekil 3.54. Sabit soğutma yükünde R290/R134a karışımı için termodinamik ve performans değerlerinin kütle oranıyla değişimi

3.3.2.3. R600a/R134a Karışımı

Bu karışımın 18/82 oranında azeotrop bir karışım söz konusudur ve bu karışım R12 için alternatif bir karışım olarak kaynaklarda verilmektedir. Dolayısıyla bu nokta önem kazanmaktadır.

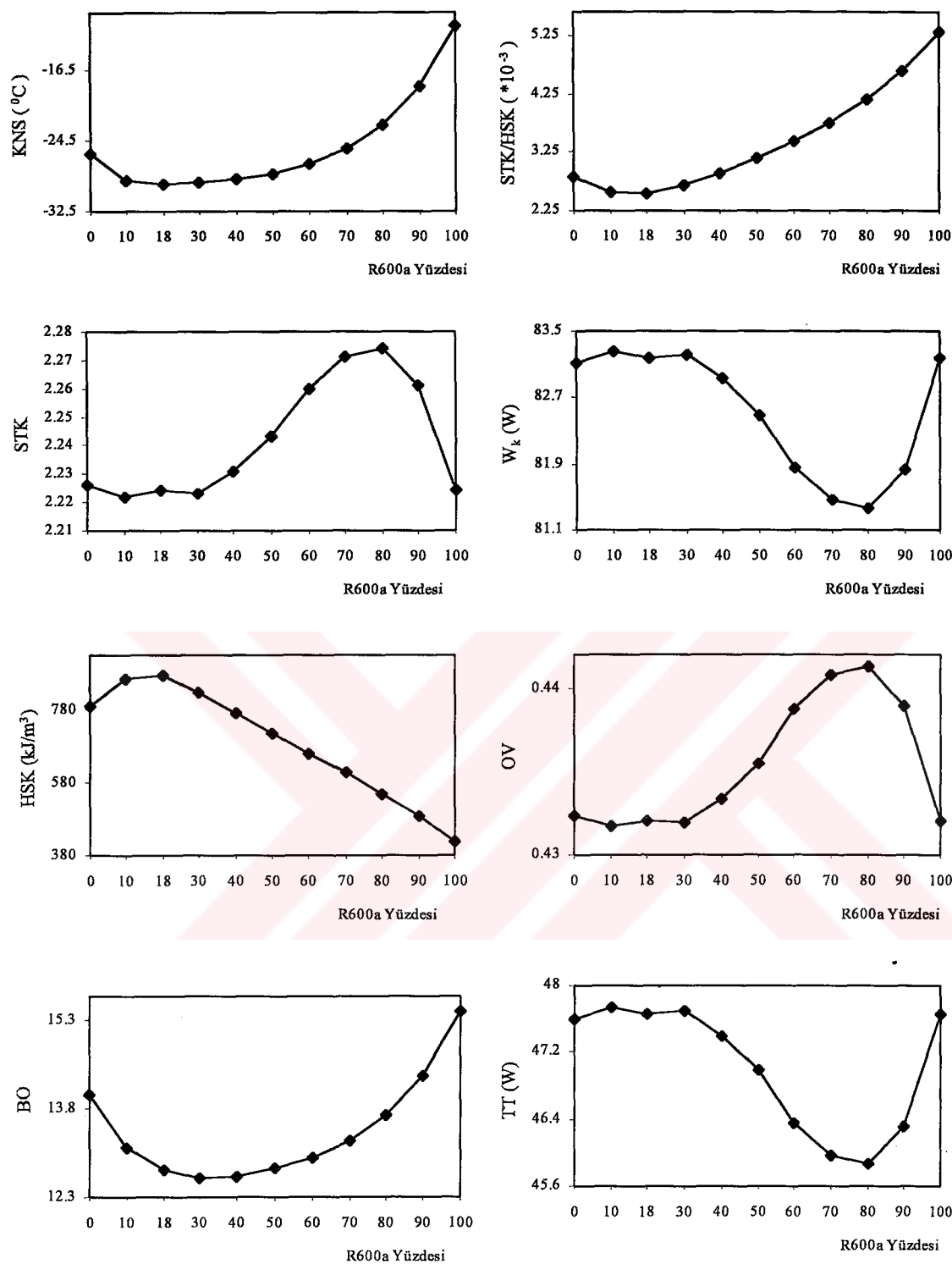
Azeotrop noktaya kadar KNS değeri iki bileşenin de altında bir değere düşmekte, daha sonra R600a yüzdesi arttıkça KNS değeri de artarak R600a'nın değerine yaklaşmaktadır. (Çizelge Ek 1.20., Şekil 3.55.)

Azeotrop nokta civarlarında düşük STK değerleri elde edilirken daha sonra R600a yüzdesi arttıkça STK artış göstermektedir. 80/20 oranındaki karışımda STK en yüksek değere ulaşmakta ve sonra düşmektedir.

HSK değişimi 18/82 oranındaki karışıma kadar R600a'nın yüzdesinin artması ile artış göstermekte, bu orandan sonra ise R600a oranının artması ile azalmaktadır. KNS değişimine bakıldığında HSK'daki değişim açıklanabilmektedir. Çünkü 18/82 oranına kadar KNS değeri azalırken daha sonra bu oran R600a lehine arttıkça KNS değeri de artmaktadır. BO değişimi HSK ile ters yönde değişmekte dolayısıyla beklenen gelişme gözlenmektedir.

W_k 'nın değişimi STK ile ters yönlü gerçekleşmekte yani en düşük güç girdisine 80/20 oranındaki karışımında ulaşılmaktadır.

OV değişimi de STK'daki değişimle benzerlik göstermekte, TT'deki değişim de OV ile ters yönde olmakta veya W_k değişimiyle benzerlik arz etmektedir.



Şekil 3.55. Sabit soğutma yükünde R600a/R134a karışımı için termodinamik ve performans değerlerinin kütle oranıyla değişimi

3.3.2.4. R152a/R134a Karışımı

R152a oranı arttıkça KNS yükselmektedir. (Çizelge Ek 1.21., Şekil 3.56.)

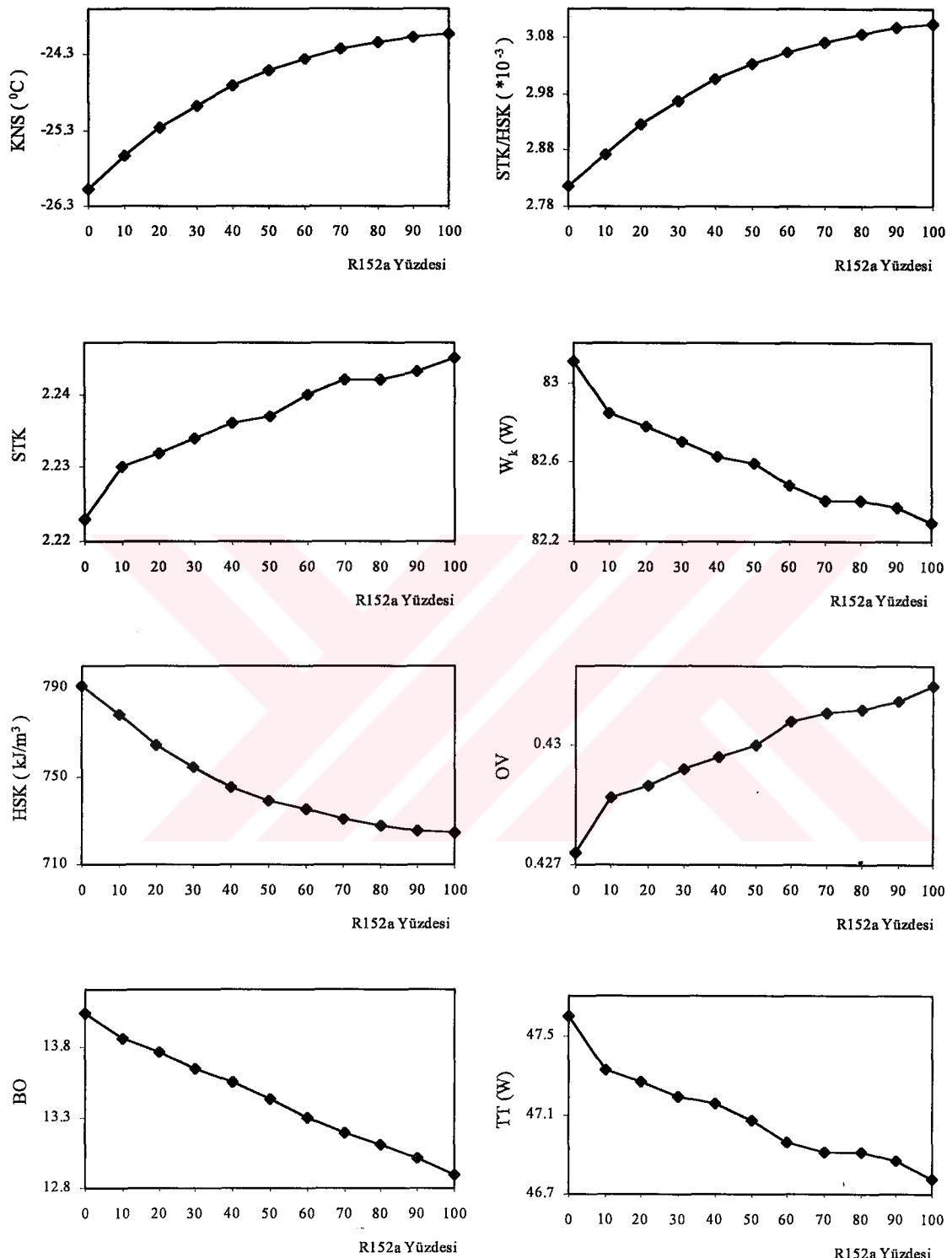
R152a'nın yüzdesinin artmasıyla STK değeri artmakta ve bekleniği gibi HSK değeri de düşmektedir. En yüksek STK değeri 90/10 karışımında elde edilmektedir. Fakat BO değişimi farklılık arz etmekte, normalde R152a oranının artması ile artması beklenirken azalmaktadır. STK/HSK değişimi de KNS ile benzerlik arz etmektedir.

Bu ikilinin 14/86 oranındaki karışımı R12 için kaynaklarda alternatif karışım olarak verilmektedir. Fakat HSK değeri R12'ye yakın olmadığı için mevcut sistemlerden ziyade yeni sistemlerde kullanılması beklenmektedir. Bu ikilinin hiçbir oranında R12'nin HSK'sına yakın değere ulaşılamamaktadır. Çünkü saf akışkanların KNS'lerine dayalı eşleştirmede R12 için uygun bir alternatif olmadığı gözlenmiştir.

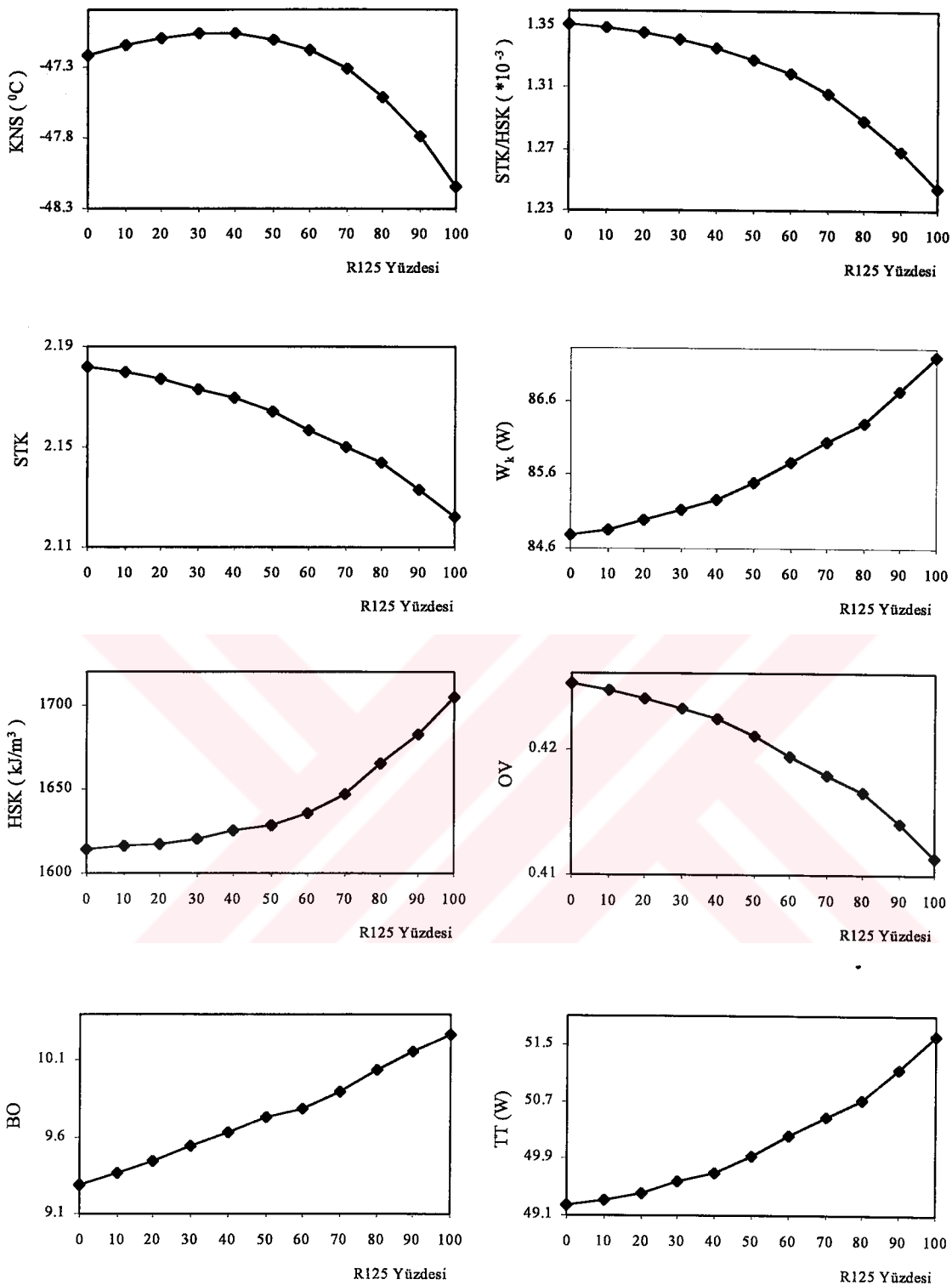
Kompresör işi R152a yüzdesinin artması ile azalmaktadır. OV değişimi bekleniği gibi STK ile benzerlik arz etmekte, TT değişimi de OV'nin tersine R152a yüzdesi arttıkça azalmaktadır. BO değişimi dışında diğer değerler KNS değişimine dayalı beklenen değişimi göstermektedir.

3.3.2.5. R125/R143a Karışımı

Bileşenlerin KNS'leri birbirine oldukça yakın olduğu için hemen hemen 40/60 oranına kadar azeotropluk sözkonusudur. Bu durum KNS değişiminde de gözlenmektedir. Çünkü bu orana kadar karışımın KNS değeri bileşenlerinkinden daha yüksek olmaktadır. (Çizelge Ek 1.22., Şekil 3.57.)



Şekil 3.56. Sabit soğutma yükünde R152a/R134a karışımı için termodinamik ve performans değerlerinin kütle oranıyla değişimi



Şekil 3.57. Sabit soğutma yükünde R125/R143a karışımı için termodinamik ve performans değerlerinin kütleye oranıyla değişimi

STK değişimi düzenli olarak R125 yüzdesinin artmasıyla azalmaktadır. HSK değişimi de STK ile ters yönde gerçekleşmekte ve beklenliğinin aksine BO değişimi de HSK ile benzerlik taşımaktadır. STK/HSK değişimi STK ile aynı olmakta, W_k da bekleniği üzere STK ile ters yönde değişmektedir.

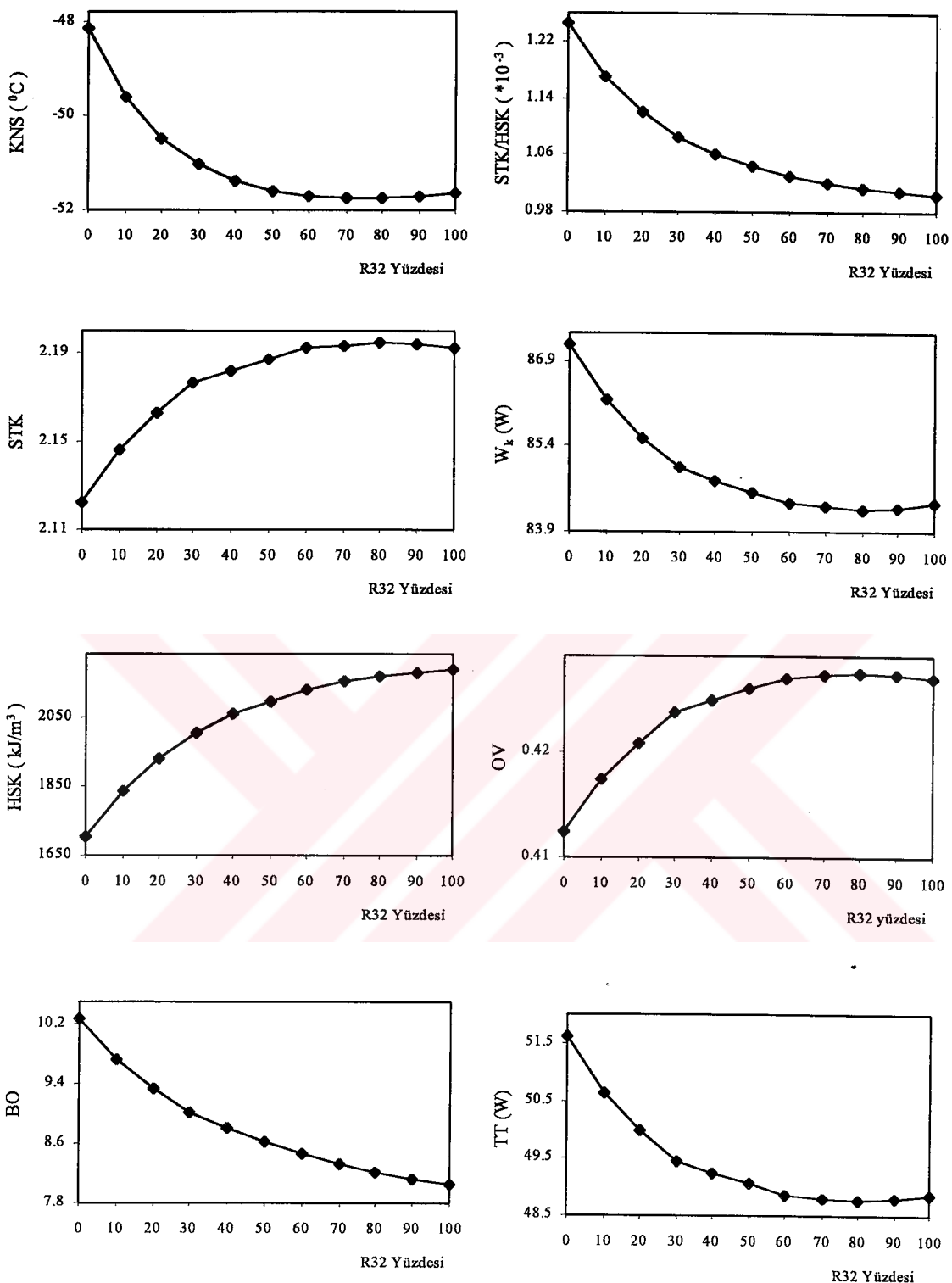
Bu karışımın 50/50 oranı R502 için alternatif karışım olarak kaynaklarda verilmiştir. Fakat karışımın hiçbir oranında R502'nin HSK'sına ulaşamamaktadır. Dolayısıyla mevcut sistemlerden ziyade yeni sistemlerde bu karışım kullanılmalıdır.

OV değişimi STK ile, TT de kompresör işi ile aynı değişime ugramaktadır.

3.3.2.6. R32/R125 Karışımı

60/40 oranından sonra azeotropluk gözlenmektedir. Dolayısıyla KNS değeri 60/40 oranından sonra iki bileşenin de altında bir değere düşmektedir. 60/40 oranından önce R32 yüzdesinin artmasıyla R32'nin değerine yaklaşarak KNS azalmaktadır. (Çizelge Ek 1.23., Şekil 3.58.)

STK değişimi beklenenin aksine azeotrop noktaya kadar R32 yüzdesinin artması ile artmaktadır, azeotrop noktada artma çok az miktarda olmaktadır. En yüksek STK değerine 80/20 oranındaki karışımda ulaşmakta ve daha sonra STK'da düşme gözlenmektedir. KNS değişimine bakıldığından en düşük değerin 80/20 oranındaki karışımında olduğu görülmektedir. R32 yüzdesi %60'lara ulaşana kadar STK'daki artışın belirgin olduğu daha sonra ise çok küçük artımların gerçekleştiği görülmektedir.



Şekil 3.58. Sabit soğutma yükünde R32/R125 karışımı için termodinamik ve performans değerlerinin kütle oranıyla değişimi

HSK değişimi bekleniği gibi KNS'nin düşmesi ile artış göstermekte, fakat azeotrop bölge civarında bu artma düşük oranda kalmaktadır. BO değişimi de bekleniği üzere R32 oranı arttıkça azalmaktadır.

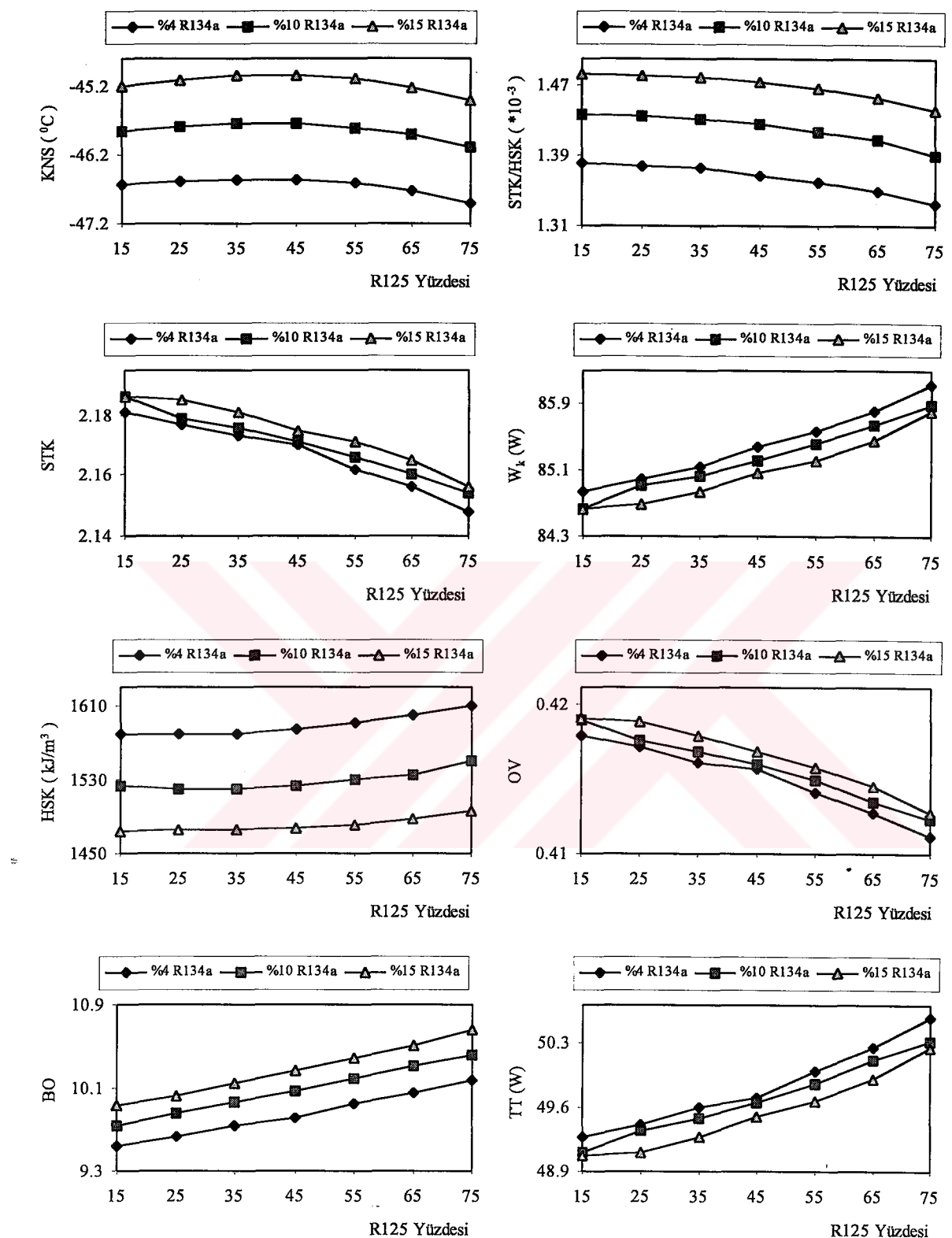
Bu ikilinin 50/50 oranındaki karışımı R22 için alternatif karışım olarak kaynaklarda teklif edilmektedir. Fakat, ikilinin hiçbir oranında R22'nin HSK değerine ulaşılamamaktadır. Dolayısıyla mevcut sistemlerde R22 yerine doğrudan bu karışımının kullanılması söz konusu değildir.

Kompresör işi SKT ile ters yönde değişmekte, en az iş 80/20 oranında elde edilmektedir. STK/HSK değişimi ise bekleniği şekilde BO değişimiyle benzer davranış göstermektedir. OV değişimi de STK değişimiyle benzerlik arz etmektedir. TT değişimi ise kompresör içindeki değişimle aynı olmaktadır.

3.3.2.7. R125/R143a/R134a Karışımı

R134a oranının artması ile bekleniği şekilde KNS değeri artmaktadır. Çünkü R134a'nın KNS değeri diğer iki bileşenden daha yüksektir. Sabit R134a oranı için %45'lik R125 oranına kadar KNS artmakta daha sonra azalmaktadır. Bu üçluğun 44/52/4 oranındaki karışımı R502'nin alternatif karışımı olarak teklif edilmektedir. Bu orandaki karışım azeotrop karışımına yakın bir karışımındır. (Çizelge Ek 1.24., Şekil 3.59.)

R134a oranı arttıkça ve R125 oranı azaldıkça STK değeri artmaktadır. Dolayısıyla 15/70/15 oranındaki karışımında en yüksek STK değeri elde edilmektedir.



Şekil 3.59. Sabit soğutma yükünde R125/R143a/R134a karışımı için termodinamik ve performans değerlerinin kütle oranıyla değişimi

HSK değerleri KNS ile uyum açısından beklentiği gibi R134a oranının azalması ve R125 oranının artması ile artış göstermektedir. BO değerleri ise R134a ve R125 oranlarının artması ile artış göstermektedir.

KNS ile uyum açısından en uygun değişim STK/HSK değişimidir. Kompressor işi R134a oranının azalması ve R125 oranının artması ile artış göstermekte, dolayısıyla en fazla iş $15/81/4$ oranındaki karışımında harcanmaktadır.

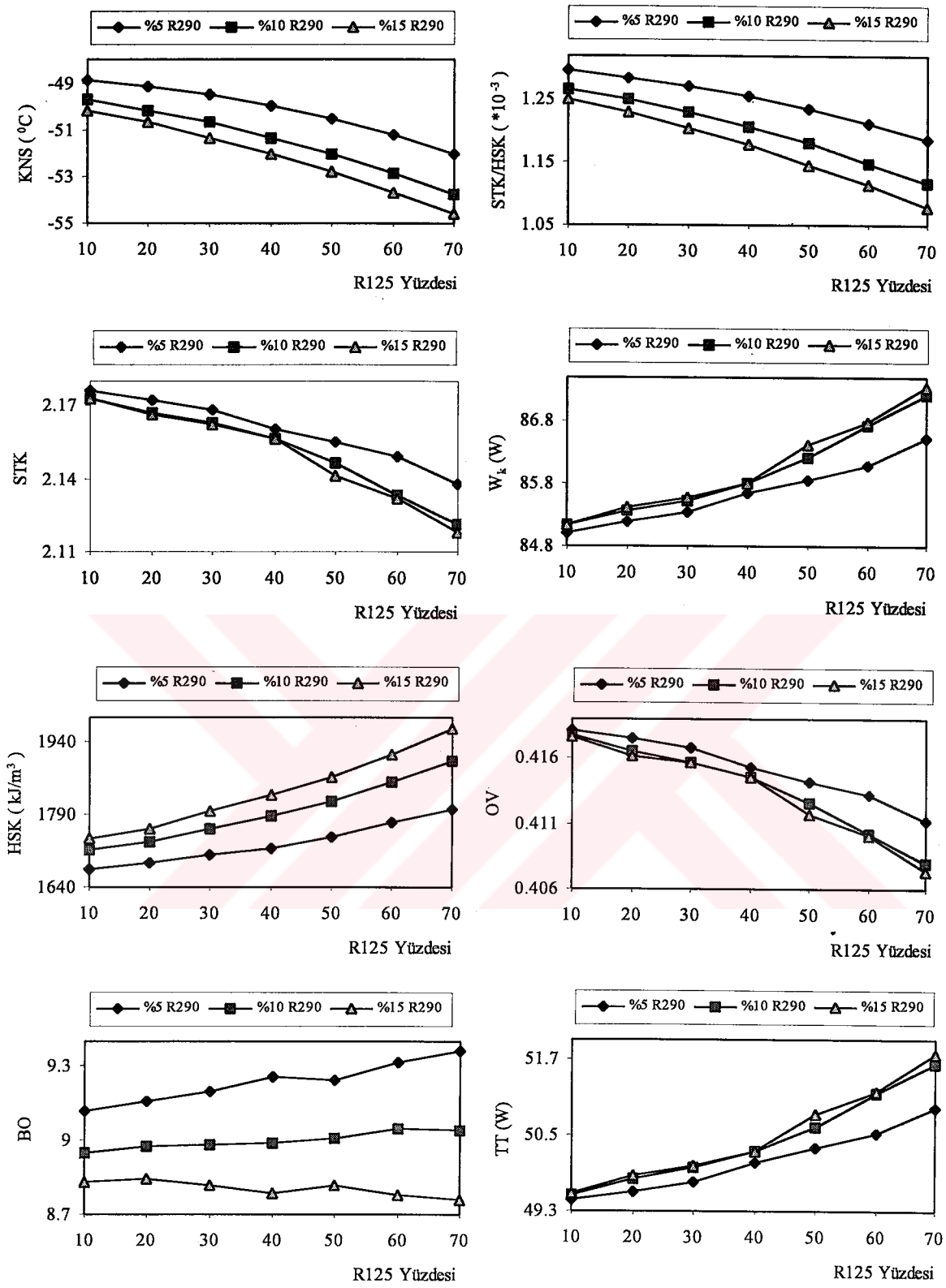
OV değişimi STK ile, TT değişimi de W_k değişimiyle uyum göstermektedir.

3.3.2.8. R125/R143a/R290 Karışımı

R290 ve R125 oranının azalması ile KNS değerleri yükselmektedir. Aynı durum için bekleniği şekilde STK değeri de artmaktadır. Dolayısıyla en yüksek STK değeri $10/85/5$ oranında elde edilmektedir. (Çizelge Ek 1.25., Şekil 3.60.)

HSK değişimi de KNS'ye uyumlu olarak R290 ve R125 oranının artması ile artış göstermektedir. BO değişimi R290 oranının artması ile azalmakta, sabit %5 ve 10'luk R290 oranlarında R125 oranının artması ile artarken %15 R290 oranında R125 yüzdesinin artması ile az da olsa azalmaktadır.

50/45/5 oranındaki karışım R502 için kaynaklarda alternatif karışım olarak teklif edilmektedir. Fakat bu üçluğun seçilen karışımlarında R502'nin HSK'sı elde edilememiştir. STK/HSK değişimi KNS açısından oldukça uyumlu davranış göstermektedir.



Şekil 3.60. Sabit soğutma yükünde R125/R143a/R290 karışımı için termodinamik ve performans değerlerinin kütleye oranıyla değişimi

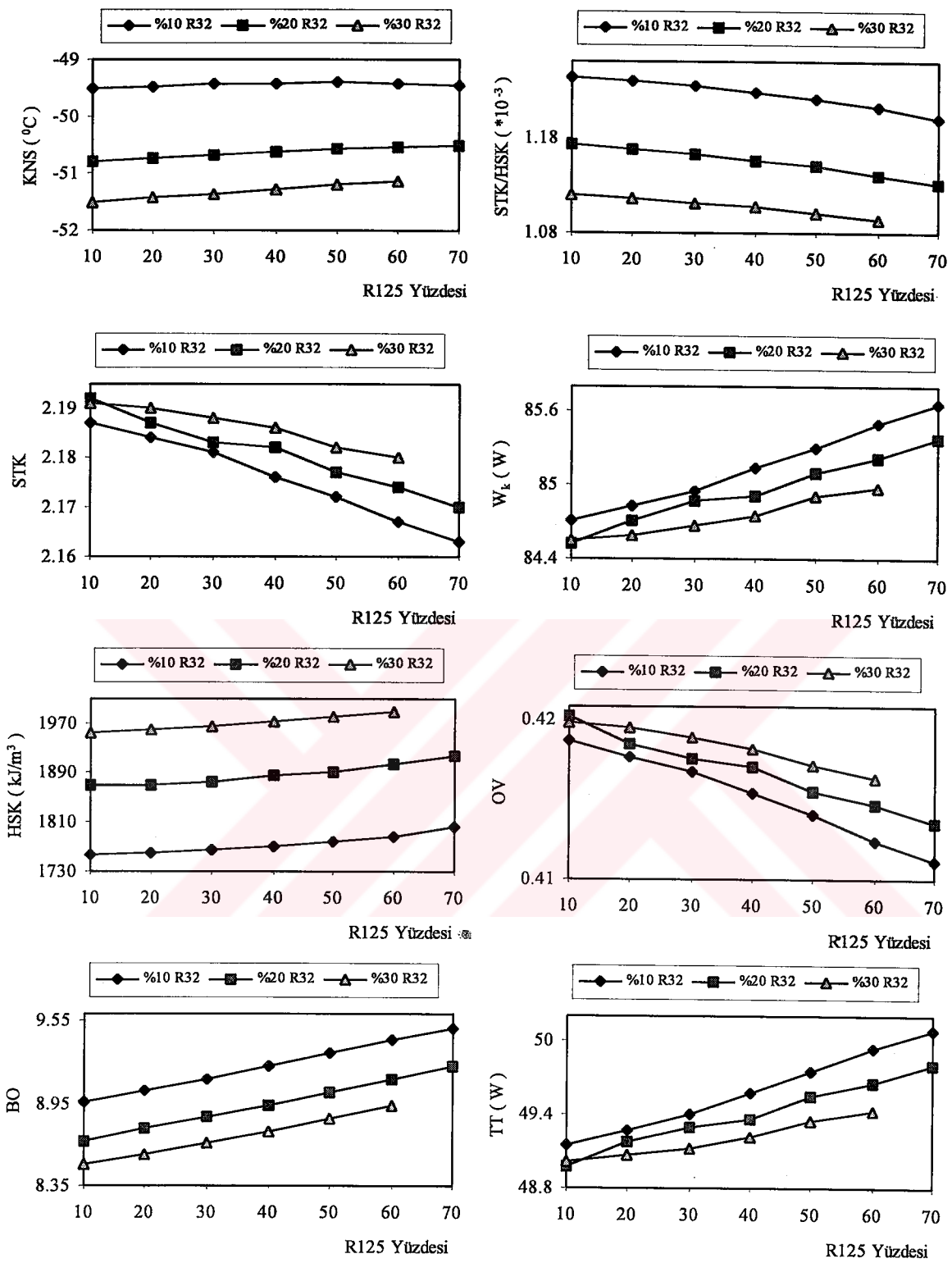
W_k değişimi STK ile ters yönlü olmakta, dolayısıyla en fazla iş 70/15/15 oranında harcanmaktadır. OV değişimi STK ile, TT değişimi de W_k değişimiyle benzerlik taşımaktadır.

3.3.2.9. R32/R125/R143a Karışımı

R32 oranı azaldıkça ve R125 oranı arttıkça KNS değeri genelde artmakte ve KNS'ye uyumlu olarak genelde STK değişimi azalmaktadır. En yüksek STK değerine 20/10/70 karışımında ulaşılmaktadır. (Çizelge Ek 1.26., Şekil 3.61.)

HSK değişimi ise R32 ve R125 oranının artması ile yükselmektedir. Fakat R32'nin oranının artması durumunda daha belirgin bir HSK artışı sözkonusudur. 10/50/40 ve 10/45/45 oranlarındaki karışım R502 için alternatif karışım olarak kaynaklarda verilmektedir. Bu iki karışımın HSK'sı R502'nin HSK'sından büyük olduğu için mevcut sistemlerde kullanılabilir. Fakat bu üçlü karışımın hiçbir oranında R502'nin HSK değeri elde edilememekte, daha büyük değerlere ulaşılmaktadır.

BO değişimi ise R32 oranının azalması ve R125 oranının artması ile artış göstermektedir. STK/HSK değişimi HSK değişiminin tersi yönünde gerçekleşmektedir. Kompresör işi STK ile zıt yönde değişim göstermektedir. OV değişimi bekleniği şekilde STK ile, TT değişimi ise W_k ile aynı davranışa sahiptir.



Şekil 3.61. Sabit soğutma yükünde R32/R125/R143a karışımı için termodinamik ve performans değerlerinin kütle oranıyla değişimi

3.3.2.10. R32/R125/R134a Karışımı

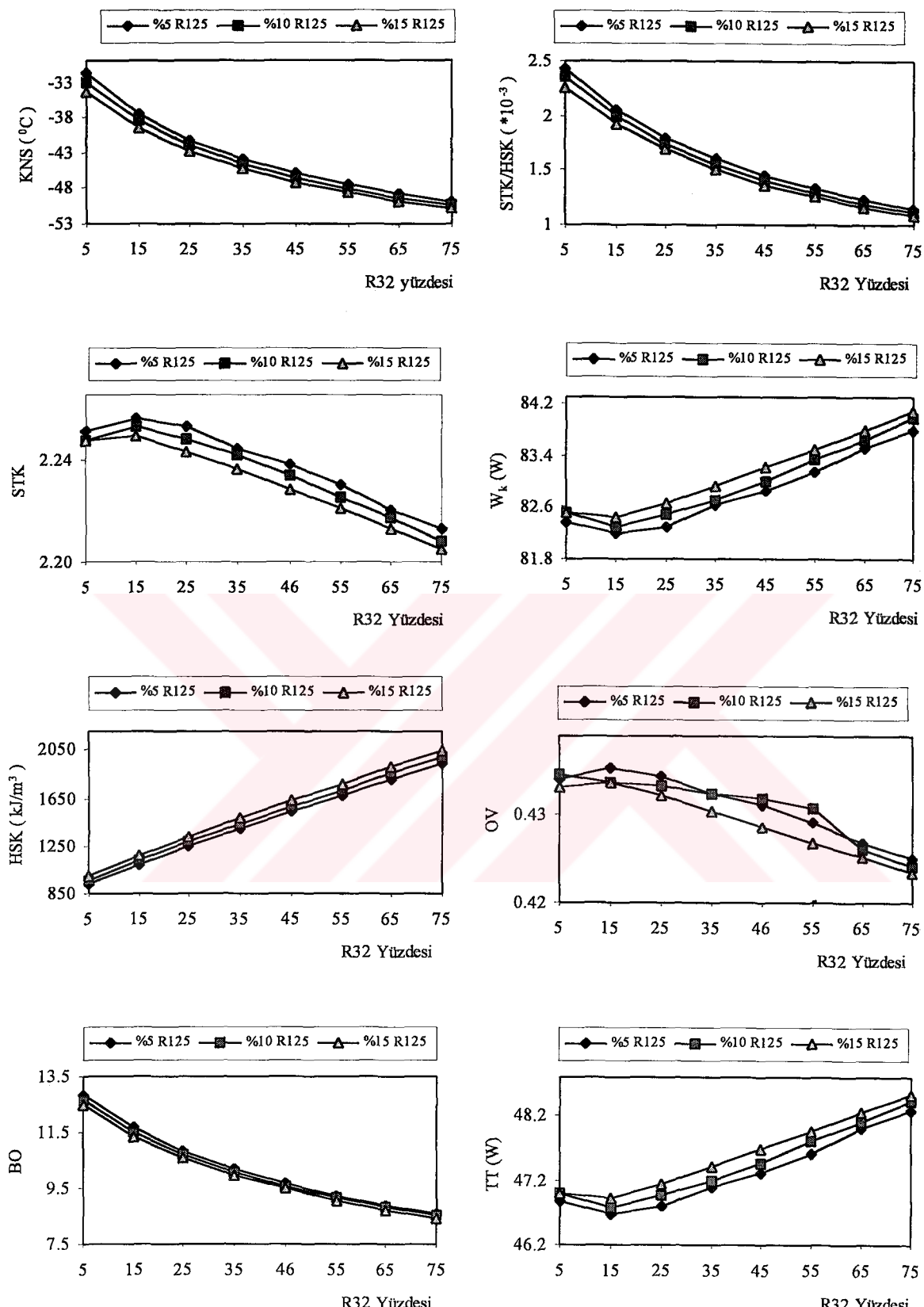
R32 ve R125 yüzdelerinin artmasıyla KNS değerleri düşmektedir.

%15'lik R32 oranlarında en yüksek STK değeri elde edilen bu üçlü karışımında, daha sonra R32 oranının artması ile STK değeri düşmektedir. R125 oranının artması ile de STK azalmaktadır. 15/5/80 oranında en yüksek STK değeri elde edilmektedir. (Çizelge Ek 1.27., Şekil 3.62.)

R32 ve R125 oranının artması ile HSK'da artış olmaktadır. Bu değişim KNS açısından beklenen bir durumdur. Yine KNS'ye uyumlu olarak BO değişimi R32 ve R125 oranının artması ile azalmaktadır.

Bu üçlünün 30/10/60 ve 10/70/20 oranlarındaki karışımı R22 için, 20/40/40 oranındaki karışımı ise R502 için alternatif karışım olarak kaynaklarda verilmektedir. R502'nin alternatifi olan karışımın HSK'sı R502'nin HSK'sından düşüktür. Bu sebeple mevcut sistemlerde R502 yerine kullanılması beklenemez. R22 için verilen alternatif karışımlar mevcut sistemlerde kullanılabilir. Özellikle 30/10/60 oranındaki karışımın HSK'sı hemen hemen R22'nin HSK'sı ile aynıdır.

STK/HSK değişimi bekendiği gibi KNS ve BO değişimi ile aynı şekildedir. W_k değişimi STK'nın tersi yönde gelişmekte, OV değişimi ise STK ile aynı davranışını göstermektedir. TT değişimi de bekendiği gibi W_k ile aynı şekilde davranmaktadır.



Şekil 3.62. Sabit soğutma yükünde R32/R125/R134a karışımı için termodinamik ve performans değerlerinin kütle oranıyla değişimi

3.3.2.11. R125/R290/R134a Karışımı

R290 ve R125 oranlarının artması ile genelde KNS değerleri azalmaktadır. (Çizelge Ek 1.28., Şekil 3.63.) STK değişimi ise KNS gibi R290 ve R125 oranlarının artması ile azalmakta, dolayısıyla beklenen değişim gözlenmektedir. 10/5/85 oranında en yüksek STK değeri elde edilmektedir. HSK değişimi de beklentiği şekilde R290 ve R125 oranlarının artması ile artış göstermektedir. 50/5/45, 70/10/20 oranlarındaki karışım R502 için alternatif karışım olarak teklif edilmektedir. 70/10/20 oranındaki karışım mevcut sistemlerde R502 yerine kullanılabilecekken diğer karışımın HSK değerinin düşük olması sebebiyle yeni sistemlerde kullanılması gerekmektedir.

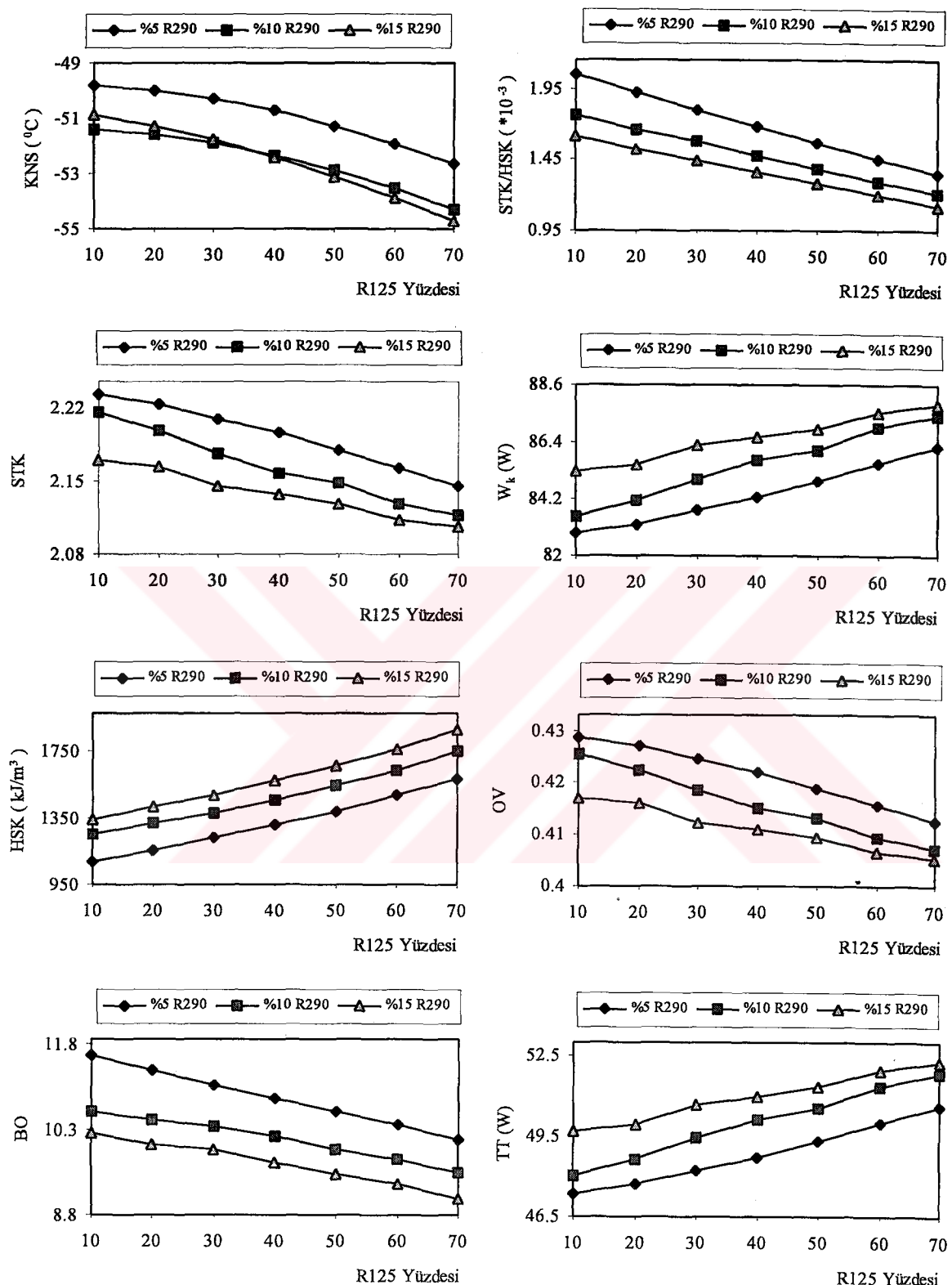
STK/HSK ve BO değişimleri ise KNS'ye uyumlu olarak iki bileşenin oranlarının artması ile azalmaktadır.

Kompresör işi ve TT değişimi STK ile zıt yönde değişmekte, OV değişimi ise STK ile benzer davranışlı göstermektedir.

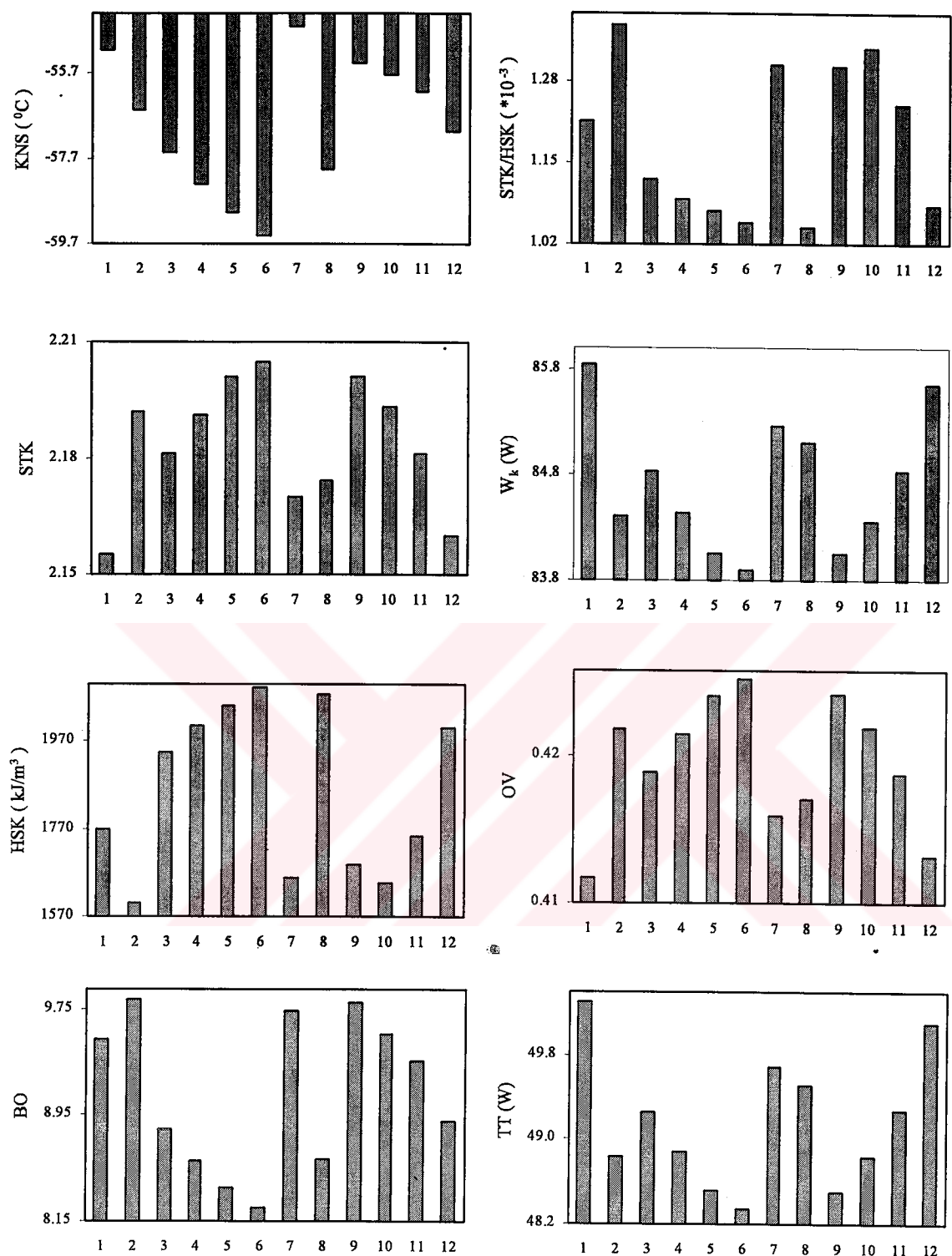
3.3.2.12. R32/R125/R290/R134a Karışımı

R290 oranı %5'de sabit tutulmuş, R290'la birlikte ayrı ayrı diğer bir bileşenin oranı sabit tutularak geri kalan diğer iki bileşenin oranı değiştirilmiştir. Bu şekilde elde edilen karışımlara ait hesaplamalar yapılmıştır. (Çizelge Ek 1.29., Şekil 3.64.)

%5 R290 ve %20 R134a oranı sabit tutulduğunda R32 oranının artması ile KNS'de düşme gözlenmektedir. Bu durumda genelde STK, HSK ve OV'de artış, STK/HSK, BO, W_k ve TT değişiminde ise genel itibarıyle azalma olmaktadır; sadece



Şekil 3.63. Sabit soğutma yükünde R125/R290/R134a karışımı için termodinamik ve performans değerlerinin kütle oranıyla değişimi



Şekil 3.64. Sabit soğutma yükünde R32/R125/R290R134a karışımı için termodinamik ve performans değerlerinin kütle oranıyla değişimi

20/55/5/20 karışımı her iki grup için de farklı davranışmaktadır. Bu karışım için görülebildiği kadarıyla tek fark buharlaştırıcı ve yoğunşturucuda daha düşük sıcaklık farkının oluşmasıdır. Bu karışım kaynaklarda R22 için alternatif karışım olarak sunulmaktadır. Faz değişimindeki sıcaklık farkının az oluşu bir etken olarak düşünülebilir. HSK değeri R22'nin HSK değerinden yüksek olduğu için de mevcut sistemlerde kullanılması beklenir.

%5 R290 ve %55 R125 oranı sabit alındığında yine R32 oranı artınca KNS, STK/HSK, BO, W_k ve TT azalmakta diğerleri artmaktadır.

%5 R290 ve %20 R32 sabit oranında ise R125 oranı arttıkça KNS STK/HSK, BO, W_k ve TT düşmekte, diğerleri artmaktadır. Sadece STK/HSK ve HSK'da ufak sıradışılık vardır. 60/15/5/20 oranındaki karışımında en yüksek STK değeri elde edilmektedir.

3.3.3. R12, R22, R502 ve Alternatif Karışımların İncelenmesi

Alternatif karışımlar için şekillerdeki numaralandırmada, çizelgede verilen karışımın numaralandırması esas alınmıştır. Çizelgedeki sıralama KNS'nin azalması yönündedir.

3.3.3.1. R12 ve Alternatif Karışımları

Alternatif olarak 12 tane karışım kaynaklardan^(30,38,40,43,49) alınmıştır. Bunlardan 9 tanesi R290/R600a'nın farklı oranlarda karışımıdır. KNS'ye uygunluk

açısından bu ikili diğer değerlerde beklenen değişimi göstermektedir. Fakat diğer alternatif karışımlarda farklı değişimler söz konusudur. (Çizelge Ek 1.30., Şekil 3.65.)

STK açısından R12'den daha düşük değerde olan alternatif karışımlar R152a/R134a (14/86), R600a/R134a (18/82), R290/R134a (5/95), R290/R600a (80/20, 90/10)'dır. Diğer karışımların STK'ları R12'ninkinden yüksektir. En yüksek STK değeri R290/R600a (40/60)'da, en düşük değer ise R600a/R134a'da elde edilmektedir.

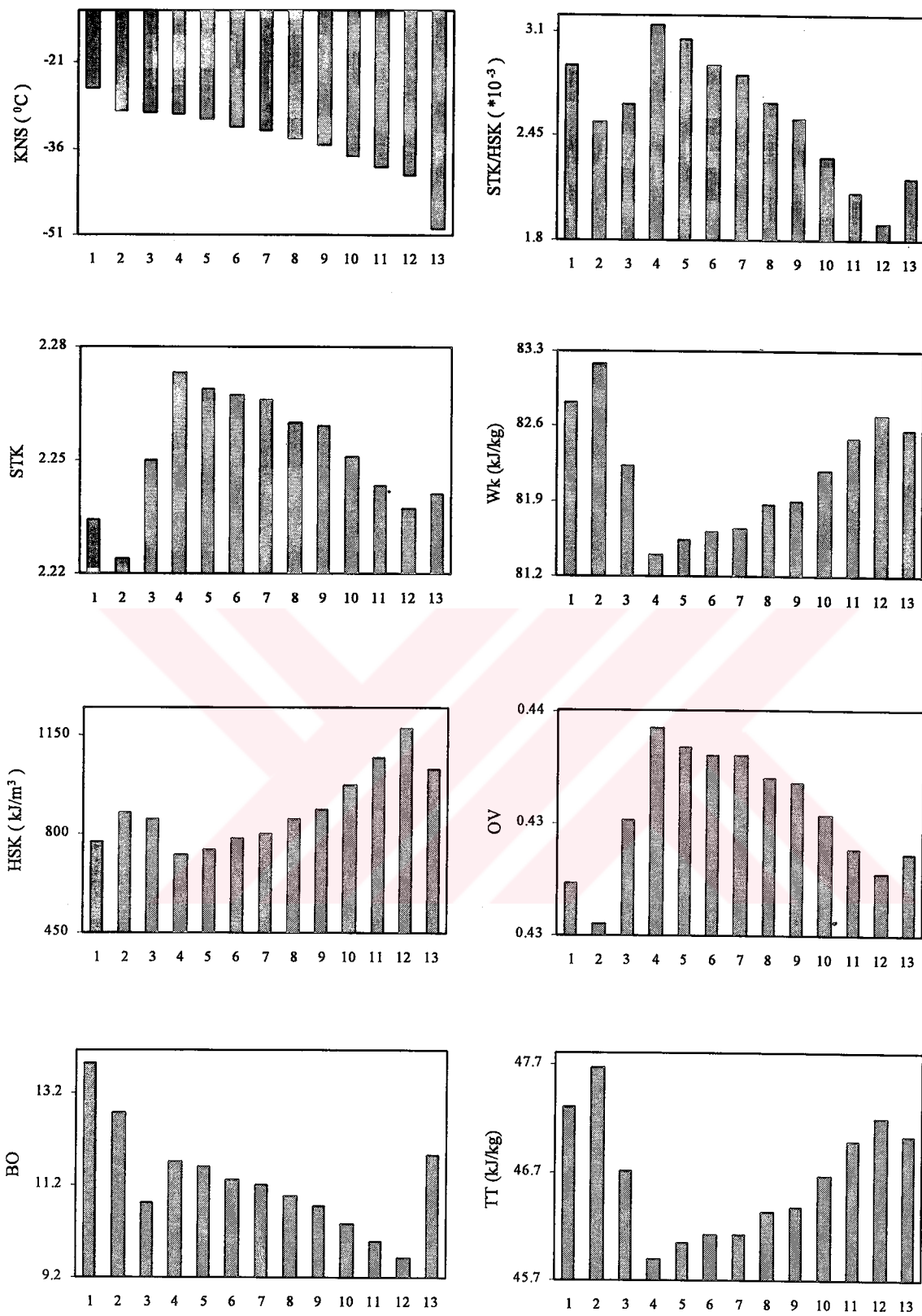
R12'den düşük HSK'ya sahip olan alternatifler R152a/R134a, R290/R600a (40/60, 43/57, 48/52, 50/50)'dır. En yakın HSK değeri R290/R600a (56/44) karışımında elde edilmektedir. STK ve HSK beraber düşünüldüğünde mevcut sistemler için en uygunu R290/R600a (56/44) karışımı gözükmektedir.

OV değişimi ise bekleniği gibi STK ile benzerlik taşımaktadır. TT değişimi de OV ve STK ile zıt yönde olmakta, dolayısıyla en az tersinmezlik R290/R600a (40/60)'da elde edilmektedir.

3.3.3.2. R22 ve Alternatif Karışımları

R22'den daha yüksek STK'ya sahip olan alternatifler^(8,33,34) R32/R134a (25/75, 30/70), R32/R125/R134a (30/10/60) karışımlarıdır. En yüksek STK değeri R32/R134a (25/75)'de elde edilmektedir. En düşük değer ise R32/R125/R134a (10/70/20) karışımında elde edilmektedir. (Çizelge Ek 1.31., Şekil 3.66.)

R22'ye en yakın HSK değeri R32/R125/R134a (30/10/60) karışımında elde edilmektedir. R32/R134a (25/75, 30/70) karışımlarında R22'ye göre daha düşük



Şekil 3.65. Sabit soğutma yükünde R12 ve alternatif karışımıları için termodinamik ve performans değerlerinin değişimi

HSK değeri olduğu için mevcut sistemlerde kullanılması beklenmez. STK ve HSK birarada düşünüldüğünde mevcut sistemlerde en uygun karışım, HSK'sı da yakın değerde olan R32/R125/R134a (30/10/60) karışımıdır.

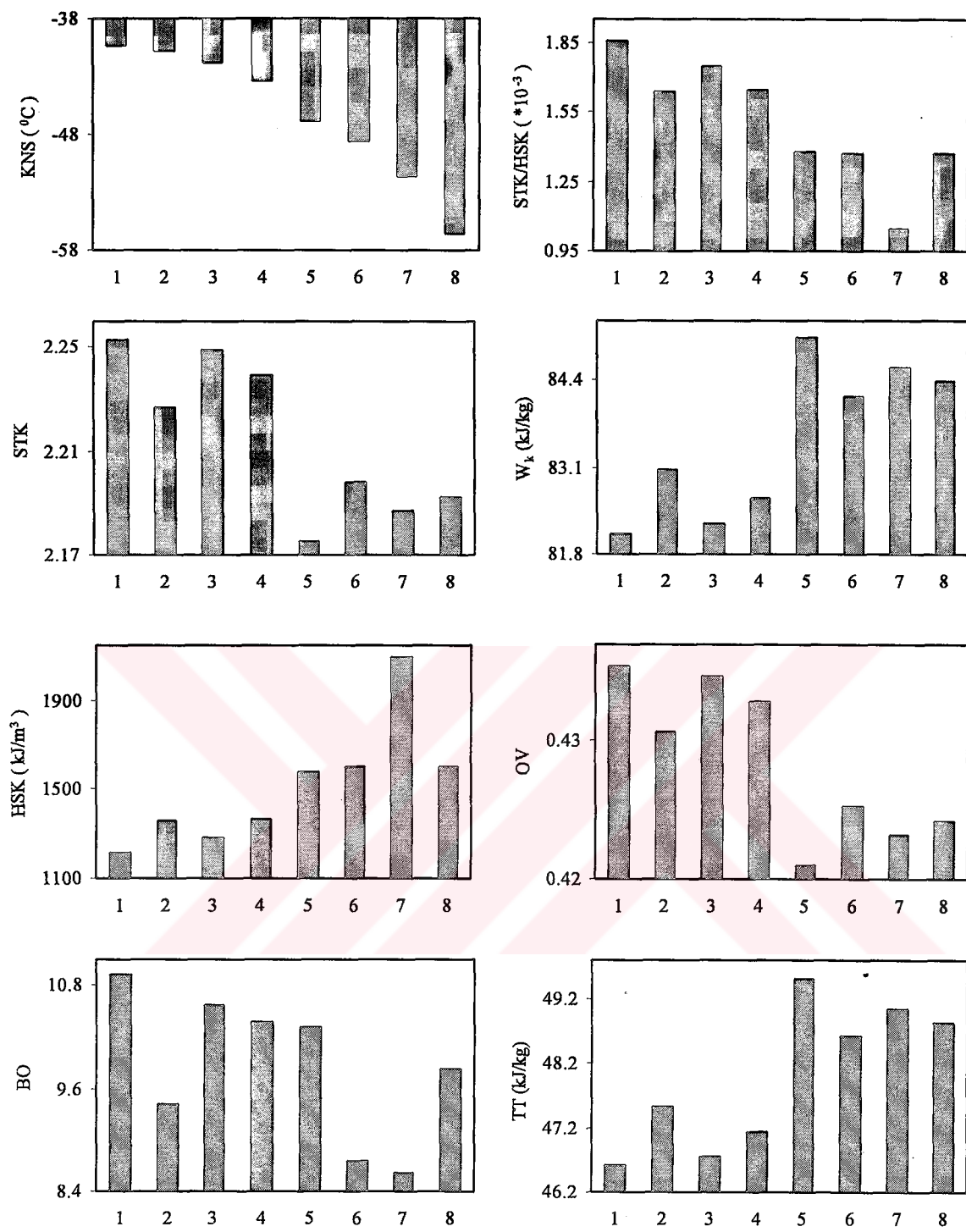
OV değişimi STK ile aynı olmakta, TT değişimi ise STK ve OV ile ters yönlü gerçekleşmektedir.

3.3.3.3. R502 ve Alternatif Karışıntıları

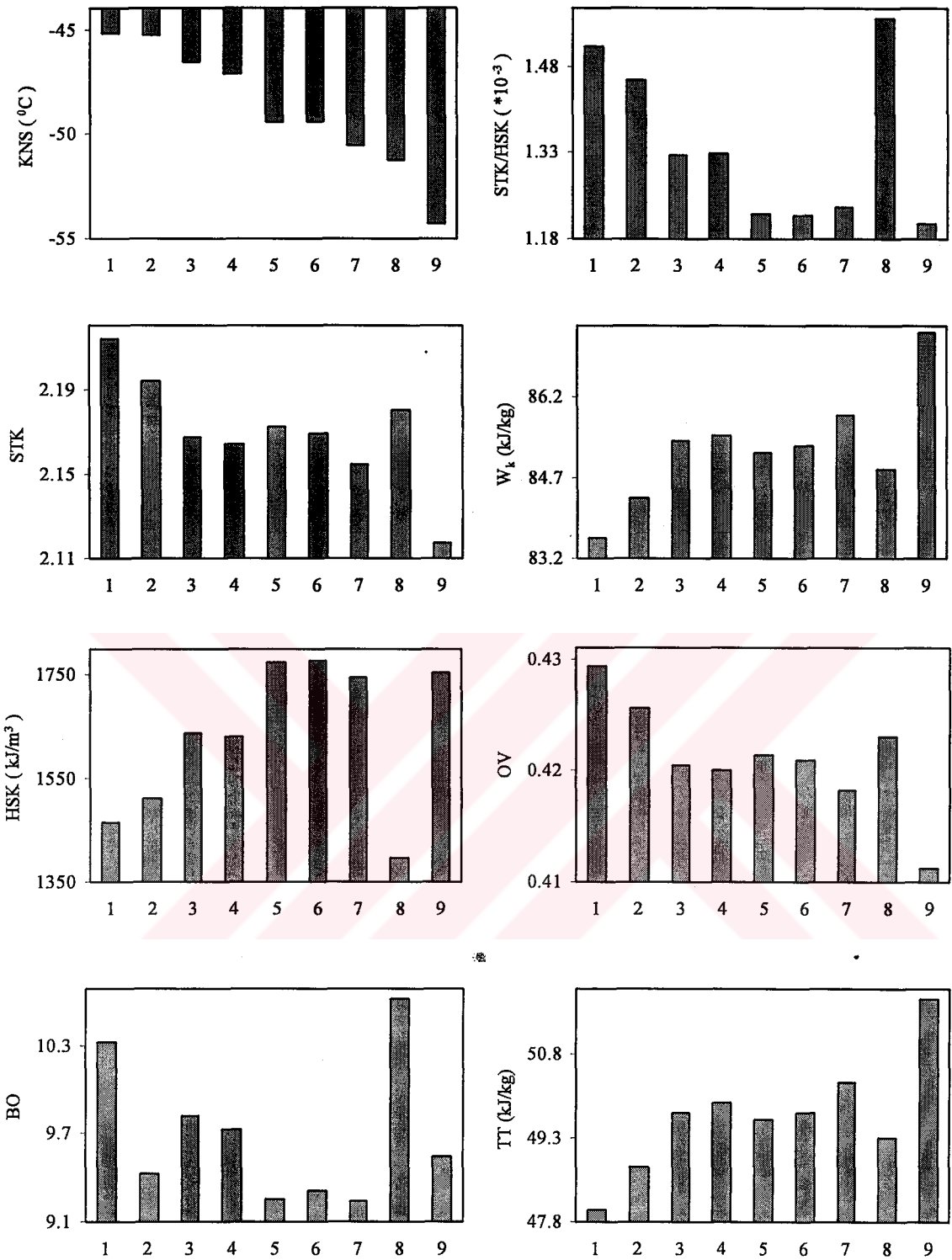
STK değişimi az da olsa KNS değişimine uymaktadır. R502'nin STK değerinden yüksek STK değeri sadece R32/R125/R134a (20/40/40) karışımında elde edilmekte ve bu değer en yüksek STK değeri olmaktadır. Diğer karışıntılar R502'ye göre daha düşük STK değerlere sahip olmakta, en düşük değer ise R125/R290/R134a (70/10/20) karışımında elde edilmektedir. (Çizelge Ek 1.32., Şekil 3.67.)

En yüksek STK değerine sahip karışımın ve R125/R290/R134a (50/5/45) karışımının HSK değeri, R502'nin HSK değerinden düşüktür. Dolayısıyla bu karışıntıların mevcut sistemlerde kullanılması beklenmez. HSK ve STK beraberce düşünüldüğünde mevcut sistemler için R32/R125/R143a (10/50/40) karışımı avantajlı gözükmektedir.

OV değişimi STK ile paralel, TT değişimi ise STK ve OV ile ters yönlü gerçekleşmektedir.



Şekil 3.66. Sabit soğutma yükünde R22 ve alternatif karışımıları için termodinamik ve performans değerlerinin değişimi



Şekil 3.67. Sabit soğutma yükünde R502 ve alternatif karışımıları için termodinamik ve performans değerlerinin değişimi

3.3.4. HSK Eşitlemeleri

Mevcut soğutma sistemlerinde R12, R22 ve R502'nin yerine başka bir akışkanı kullanabilmenin ancak akışkanların HSK'larının birbirine çok yakın olması ile mümkün olabileceği söylemişti. Çalışma konusu yapılan karışıntımlar bu amaçla da incelenmiştir. Örneğin R12'nin HSK'sına en yakın HSK değerinin, alternatifi olarak teklif edilen R290/R600a karışımının hangi oranında elde edildiği tespit edilmiştir. Benzer şekilde R22 ve R502 yerine teklif edilen karışıntımların, HSK'ları eşit olacak şekilde ilgili karışım oranları da belirlenmiştir.

R12 alternatiflerinden R152a/R134a karışımının hiçbir oranında HSK değeri, R12'nin HSK değerine yaklaşamamaktadır. R290/R134a karışımının %1-1.5'lik R290 oranında, azeotrop bir karışım olan R600a/R134a karışımının 8/92 ve 26/74 oranlarında, R290/R600a'nın 56/44 oranında R12'nin HSK değerine ulaşılabilmektedir. Bunlar içinde R290/R600a karışımının STK değeri R12'ninkinden yüksek çıkmaktadır. Dolayısıyla mevcut sistemlerde bu karışımın kullanılması önerilebilir.

R22 alternatiflerinden R290/R134a'nın 19/81 oranında, R32/R134a'nın 35.2/64.8 oranında, R32/R125/R134a'nın 32.5/5/62.5, 30/10/60 ve 27.1/15/57.9 oranlarında HSK değerleri yaklaşık olarak eşitlenmektedir. R32/R125/R290/R134a dörtlü karışımında R22'nin HSK değerine ulaşlamamaktadır. R32/R134a ve R32/R125/R134a karışımının yukarıda verilen oranlarında R22'ye göre daha yüksek, R290/R134a karışımında ise daha düşük STK değerleri elde edilmektedir. R32/R134a karışımı en yüksek değere sahiptir, çok az bir farkla bunu

R32/R125/R134a (32.5/5/62.5) karışımı takip etmektedir. Böylece mevcut sistemlerde R22 yerine kullanılacaksa R32/R134a karışımının kullanılması beklenir.

R502 alternatiflerinden R32/R125/R134a'nın 43/5/52, 40/10/50 ve 37/15/48 oranlarında, R125/R290/R134a'nın 62/5/33, 46.3/10/43.7 ve 31.7/15/53.3 oranlarında HSK değerleri yaklaşık olarak eşitlenmektedir. R502'nin alternatifi olarak görülebildiği kadarıyla kaynaklarda verilmemesine rağmen, R32/R134a karışımının 46/54 oranında ve R290/R134a'nın 69/31 oranında HSK değerleri R502'nin HSK değerlerine oldukça yaklaşmaktadır. R125/R143a/R290, R125/R143a/R134a ve R125/R143a karışımlarında R502'nin HSK değerine ulaşlamamaktadır. R125/R290/R134a'nın yukarıda verilen oranlarında, R502'ye göre daha düşük STK değerleri elde edilmektedir. R32/R125/R134a, R32/R134a ve R290/R134a'nın yukarıda verilen oranlarında ise R502'ye göre daha yüksek STK değerleri bulunmaktadır. Bunlardan R32/R134a karışımı en yüksek değerdedir. Böylece mevcut sistemlerde R502 yerine bu karışımın kullanılması uygun olur.

4. SONUÇ

İki farklı soğutma çevriminde iki farklı karşılaştırma yöntemiyle soğutucu akışkan ve karışımlarının performansı belirlenmiştir.

Sabit sıcaklık yöntemine dayalı hesaplamalarda sabit soğutma yüküne göre daha yüksek STK değerleri elde edilmektedir. Daha önce de söylendiği gibi sabit soğutma yüküne dayalı hesaplama yöntemi, gerçegé daha yakın sonuçlar vermektedir. Bu yöntemde STK değerleri 2.1 ile 2.27 arasında değişmektedir. Sabit sıcaklık yönteminde ise STK değerleri 2.6 ile 6.9 arasında değişmektedir. Düşük değerler - 20°C'lik buharlaştırıcı sıcaklığına, yüksek değerler de 0°C'lik buharlaştırıcı sıcaklığına ait değerlerdir. STK büyülük sıralaması açısından sabit soğutma yükü ile sabit sıcaklık yöntemi bazen farklı sonuç verebilmektedir. Örneğin saf akışkanlarda sabit soğutma yükünde sıralama R12>R152a>R290 şeklinde iken, sabit sıcaklık yönteminde R600a>R152a>R134a şeklinde gerçekleşmektedir. Benzer örnekler, karışımlar için de verilebilir.

Saf akışkanların STK değerleri, azeotroplar haricinde karışımlara ait STK'ların oluşumunda belirleyici olmaktadır. Örneğin R125'in STK değeri R143a'nından küçüktür. R125/R143a karışımında ise R125 oranı arttıkça STK değeri düşmektedir. Benzer şekilde R32/R125/R143a karışımında sabit R32 oranı için R125 oranı arttıkça STK değeri düşmektedir. Azeotrop bir karışımlarda karışım bileşenlerinin STK değerlerinden yüksek STK değeri elde edilebilmektedir. Yukarıda bahsedilen örnekler sabit soğutma yüküne ait idi. Sabit sıcaklık yönteminde de bu durum geçerlidir.

OV değerleri sabit sıcaklık yönteminde 0.56 ile 0.8 arasında değişmekte, yüksek değerler genel itibariyle ısı değiştiricili çevrimde elde edilmektedir. Sabit soğutma yükünde ise 0.4 ile 0.44 arasında değişmektedir. OV değişimi sabit soğutma yükünde STK değişimi ile paralel gitmektedir. Soğutma yükünün sabit olması dolayısıyla STK ile W_k ters orantılı davranış göstermektedir, W_k da OV hesabında işleme katılmaktadır. Sabit sıcaklık yönteminde ise soğutma yükü değişken olduğu için hem W_k hem de OV değişimi STK ile değişken bir davranış göstermektedir.

Bu çalışmaya esas alınan referansların ilgi alamıyla sınırlı kalmak üzere karışımıları bu kadar geniş aralıkta inceleyen çalışma olmamıştır. Daha önceki çalışmalar genelde R12, R22 veya R502 ile bunların alternatif olarak teklif edilen üç veya dört karışımından oluşmaktadır. Bu tez çalışmasında elde edilen sonuçlar genel olarak kaynaklarda dar çerçevede bulunan sonuçlarla uyum sağlamaktadır. Örneğin R22 ile R32/R134a (25/75) karışımının performans açısından bir karşılaştırmasının yapıldığı çalışmada⁽²⁹⁾, karışımın STK'sının R22'den büyük olduğu tespit edilmiştir. R12 ile R290/R134a (5/95) karışımının karşılaştırıldığı bir başka çalışmada⁽³⁸⁾, R12'nin STK değeri daha yüksek bulunmuştur. Yine aynı çalışmada R502'nin STK değeri, R125/R290/R134a (70/10/20, 50/5/45) karışımlarından yüksek olduğu tespit edilmiştir. Bu sonuçlar bu tez çalışmasında elde edilen bulgularla örtüşmektedir. Karşılaştırma yöntemlerinin farklı olması dolayısıyla kaynaklarla uyuşmayan sonuçlar az da olsa ortaya çıkmaktadır.

Yukarıda verilen daha önceki çalışmalarla ilgili değerlendirmeler, ağırlıklı olarak sabit soğutma yüküne dayalı hesaplamalar için geçerlidir. Önceden de söylendiği gibi bu yöntem gerçek değerlere oldukça yakın sonuçlar vermektedir,

dolayısıyla deneysel çalışmalarında elde edilen sonuçlarla uyusmaktadır. Sabit sıcaklık yöntemi ile, kaynaklarda verilenlerden farklı sonuçlara ulaşılabilmektedir. Örneğin R22'nin STK değeri R32/R134a (25/75) karışımından yüksek olmaktadır.

KNS sıralaması ile HSK ve BO sıralamasının (ayrıca dolaylı olarak STK sıralamasının) uyumlu olması beklenmekte iken, özellikle azeotrop karışımlarda farklı durumlar ortaya çıkmaktadır. STK/HSK oranının bu anlamda daha düzenli değişim gösterdiği gözlenmektedir.

Literatürde verilen alternatif karışımlar içinde;

- R12 için en uygunu R290/R600a (40/60) karışımı,
- R22 için en uygunu R32/R134a (25/75) karışımı,
- R502 için en uygunu R125/R290/R134a (50/5/45) karışımıdır.

İnceleme konusu yapılan karışımların kendi içlerinde maksimum STK'yi veren oranlar seçildiğinde HSK değerlerinin çok geniş bir aralığa ($549\text{--}2166 \text{ kJ/m}^3$) dağıldığı gözlenmektedir. Böylece bu tür bir değerlendirme sağlıklı sonuç vermemektedir. Şöyle ki; sabit soğutma yüküne dayalı hesaplamalarda bütün karışımlar dikkate alındığında herbir karışım için en yüksek STK değerleri sırasıyla;

- R600a/R134a (80/20) karışımı ($\text{HSK}=549 \text{ kJ/m}^3$),
- R32/R134a (20/80) karışımı ($\text{HSK}=1137.7 \text{ kJ/m}^3$),
- R32/R125/R134a (15/5/80) karışımı ($\text{HSK}=1093 \text{ kJ/m}^3$),
- R152a/R134a (90/10) karışımı ($\text{HSK}=725 \text{ kJ/m}^3$),
- R290/R134a (90/10) karışımı ($\text{HSK}=1370 \text{ kJ/m}^3$),
- R125/R290/R134a (10/5/85) karışımı ($\text{HSK}=1091 \text{ kJ/m}^3$),
- R32/R125 (80/20) karışımı ($\text{HSK}=2166 \text{ kJ/m}^3$),
- R32/R125/R143a (20/10/70) karışımı ($\text{HSK}=1868 \text{ kJ/m}^3$),

-R125/R143a/R134a (15/75/10) karışımı ($HSK=1522 \text{ kJ/m}^3$),

-R125/R143a (10/90) karışımı ($HSK=1616 \text{ kJ/m}^3$),

-R125/R143a/R290 (10/85/5) karışımı ($HSK=1678 \text{ kJ/m}^3$),

Mevcut sistemlerde kullanılacak karışımların HSK'ları, yerine kullanılacağı akışkanın HSK'sı ile yakın değerde olmalıdır. Bu şekilde tespit edilen karışımlar içinde;

-R12 için en uygunu R290/R600a (56/44) karışımı,

-R22 için en uygunu R32/R134a (35.2/64.8) karışımı

-R502 için ise en uygunu R32/R134a (46/54) karışımıdır.

KAYNAKLAR

1. Ch. Trepp, P. Savoie and W. E. Kraus, Int. J. Refrig., **15**, 101(1992).
2. M. Barolo, A. Bertucco and G. Scalabrin, Int. J. Refrig., **18**, 550(1995).
3. R. C. Reid , J. M. Prausnitz, T. K. Sherwood, *The Properties of Gases and Liquids*, McGraw Hill Co. Inc., New York, 1988.
4. E. W. Lemmon, A generalized model for the prediction of the thermodynamic properties of mixtures including vapor-liquid equilibrium, Doktora Tezi, USA, 1996.
5. M. Nagel and K. Bier, Int. J. Refrig., **21**, 556(1998).
6. H. Kiyouro, J. Takebe, H. Uchida, H. Sato and K. Watanebe, J. Chem. Eng. Data, **41**, 1409(1996).
7. E. Chung and M. Kim, J. Chem. Eng. Data, **42**, 1126(1997).
8. M. Nagel and K. Bier, Int. J. Refrig., **18**, 534(1995).
9. K. Strom and U. Gren, Can. J. Chem. Eng., **71**, 940(1993).
10. E. Fransson, A. Barreau and J. Vidal, J. Chem. Eng. Data, **37**, 521(1992)
11. J. Sand, S. Fischer and J. Jones, Int. J. Refrig., **17**, 123(1994).
12. G. Morrison and M. McLinden, Int. J. Refrig., **16**, 129(1993).
13. D. Defibaugh and G. Morrison, Int. J. Refrig., **18**, 518(1995).
14. Y. W. Kang and K. Y. Chung, J. Chem. Eng. Data, **41**, 443(1996).
15. H. Zhang, H. Sato and K. Watanabe, J. Chem. Eng. Data, **41**, 1041(1996).
16. E. Chung and M. Kim, J. Chem. Eng. Data, **42**, 1126(1997).
17. H. Kiyoura, J. Takebe, H. Uchida, H. Sato and K. Watanebe, J. Chem. Eng. Data, **41**, 1409(1996).

18. T.Sato, H. Kiyoura, H. Sato and K. Watanabe, *J. Chem. Eng. Data*, **39**, 855(1994).
19. K.Strom and U.Gren, *Can. J. Chem. Eng.*, **71**, 940(1993).
20. R.T.Roth, *J. Chem. Therm.*, **25**, 1419(1993).
21. J. Lee, H. Kim, J. S. Lim, J. Kim and Y. Y. Lee, *J. Chem. Eng. Data*, **41**, 43(1996).
22. E. Fransson, A. Barreau and J. Vidal, *J. Chem. Eng. Data*, **37**, 521(1992).
23. M. Nagel and K. Bier, *Int. J. Refrig.*, **18**, 534(1995).
24. M. Nagel and K. Bier, *Int. J. Refrig.*, **19**, 264(1996).
25. H. L. Zhang, H. Sato and K. Watanabe, *Int. J. Refrig.*, **20**, 421(1997).
26. D. Gunther and F. Steimle, *Int. J. Refrig.*, **20**, 235(1997).
27. M. O. McLinden and R. Radermacher, *Int. J. Refrig.*, **10**, 318(1987).
28. M. Hogberg, L. Vamling and T. Berntsson, *Int. J. Refrig.*, **16**, 403(1993).
29. D. Jung, H. Kim and O. Kim, *Int. J. Refrig.*, **22**, 402(1999).
30. R. Richardson and J. Butterworth, *Int. J. Refrig.*, **18**, 58(1995).
31. W. J. Mulroy, P. A. Domanski and D. A. Didion, *Int. J. Refrig.*, **17**, 220(1994).
32. D. A. Didion and D. B. Bivens, *Int. J. Refrig.*, **13**, 163(1990).
33. M. S. Kim, W. J. Mulroy and D. A. Didion, *J. En. Res. Tech.*, **116**, 148(1994).
34. A. Stegou-Sagia and M.Damanakis, *Energy Conv. Manag.*, **41**, 1345(2000).
35. Ö. Çomaklı, C. Çelik and S.Erdoğan, *Energy Conv. Manag.*, **40**, 193(1999).
36. Y. S. Chang, M. S. Kim and S. T. Ro, *Int. J. Refrig.*, **23**, 232(2000).
37. F. Rossi and R. Mastrullo, *Appl. Energy*, **38**, 163(1991).
38. R. Camporese, G. Bigolaro, S. Bobbo and G. Cortella, *Int. J. Refrig.*, **20**, 22(1997).
39. G. G. Haselden and J. Chen ,*Int. J. Refrig.*, **17**, 343(1994).

40. C.Aprea and R. Mastrullo, Int. J. Refrig., **19**, 257(1996).
41. J. M. Calm and D. Didion, Int. J. Refrig., **21**, 308(1998).
42. E. W. Lemmon and R. T. Jacobsen, Int. J. Thermophysics, **20**, 1629(1999).
43. S. Devotta, S. Gopichand and V. R. Pendyala, Int. J. Refrig., **16**, 84(1993).
44. D. Jung and R. Radermacher, Int. J. Refrig., **14**, 223(1991).
45. D. Jung and R. Radermacher, Int. J. Refrig., **14**, 254(1991).
46. S. A. Klein, D. T. Reindl and K. Brownell, Int. J. Refrig., **23**, 588(2000).
47. N. Churi and L. E. K. Achenie, Comp.Chem. Engng., **21**, 349(1997).
48. D. Jung, C. Kim, K. Song and B. Park, Int. J. Refrig., **23**, 517(2000).
49. D. Jung, B. Park and H. Lee, Int. J. Refrig., **22**, 558(1999).
50. D. B. Bivens and B. H. Minor, Int. J. Refrig., **21**, 567(1998).
51. A. Bensafi and G. G. Haselden, Int. J. Refrig., **17**, 469(1994).
52. A. Karakaş, N. Eğriçan and S. Uygur, Solar Energy, **37**, 169(1990).
53. S. K. Chaturvedi, T. O. Mohieldin and D. T. Chen, Energy, **16**, 941(1991).
54. H. Liang and T. H. Kuehn, Energy, **16**, 883(1991).
55. S. M Zubair, M. Yaqub and S. H. Khan, Int. J. Refrig., **19**, 506(1996).
56. D. W. Shao and E. Granryd, Int. J. Refrig., **21**, 230(1998).
57. NIST Thermodynamics Properties of Refrigerants and Refrigerant Mixtures Database (REFPROP), Standart Reference Database 23, Version 4.0, Gaithersburg, MD 20899, Nov.1993
58. NIST Thermodynamics Properties of Refrigerants and Refrigerant Mixtures Database (REFPROP), Standart Reference Database 23, Version 6.01, Gaithersburg, MD 20899, 1996
59. Y.A.Çengel and M. A. Boles, Mühendislik Yaklaşımıyla Termodinamik, Çev.T:Derbentli, İstanbul, 1996.

60. P. A. Domanski and D. A. Didion, Int. J. Refrig., **17**, 487(1994).
61. ASHRAE Temel El Kitabı, Bölüm 16: Soğutucu Akışkanlar, Çv:O. Genceli, 1997.
62. R. G. Richard and I. R. Shankland, ASHRAE J., **20**(1992).
63. S. Devotta, S. Gopichand and V. R. Pendyala, Int. J. Refrig., **17**, 32(1994).
65. M. Hogberg and T. Berntsson, Int. J. Refrig., **17**, 417(1994).
66. Peter Rohlin, Zeotropik refrigerant mixtures in systems and in flow boiling, Doktora Tezi, Sweden, 1996.
67. M. O. McLinden, E. W. Lemmon and R. T. Jacobsen, Int. J. Refrig., **21**, 322(1998).
68. R. T. Roth and H. D. Baehr, J. Phys. Chem. Ref. Data, **23**, 657(1994).
69. R. T. Roth, J. Chem. Thermodynamics, **25**, 1419(1993).
70. J. M. Smith and H. C. Ness, Introduction to Chemical Engineering Thermodynamics, McGraw Hill Co. Inc., New York, 1987.
71. A. R. Büyüktürk, Termodinamik, Uludağ Ünv. Basımevi, Bursa, 1992.
72. Öztürk A., Kılıç A., Termodinamik Problemleri, Seç Dağıtım, İstanbul, 1987.
73. M. J. Moran and E. Scibba, J. Eng. Gases and Power, **116**, 285(1994). .
74. T. J. Kotas, The Exergy Method of Thermal Plant Analysis, London Butterworths, 1985.
75. W. F. Stoecker, Design of Thermal Systems, McGraw Hill Co. Inc., New York, 1989.

Çizelge Ek 1.1. Sabit sıcaklıkta saf akışkanlar için termodynamik ve performans değerleri

Sogutucu Akışkan	KNS $^{\circ}\text{C}$	T_b $^{\circ}\text{C}$	Klasik	S TK	HSK	(kJ/m ³)	BO	STK/HSK	(*10 ³)	W _k	(kJ/kg)	O V	Klasik	İsi Değ.	Klasik	İsi Değ.	TT (kJ/kg)	İsi Değ.	
R600a	-11.61	-20		3.869	550.561	6.454		7.027		84.848	0.7925						17.605		
	-10			5.053	829.759	4.304		6.09		64.714	0.8036						12.707		
	0			6.927	1211.38	2.969		5.718		46.952	0.8077						9.0279		
R152a	-24.02	-20	3.658	3.659	917.477	914.931	6.584	3.987	3.999	63.129	77.724	0.7493	0.7493	0.7701	0.7661	0.7764	15.828	19.482	
	-10	4.842	4.817	1391.59	1385.27	4.376	3.479	3.477	49.183	58.678	0.7701	0.7661	0.7764	0.7764	0.7831	0.7764	11.309	13.727	
R134a	-26.07	-20	3.476	3.665	2046.41	2033.35	3.009	3.282	3.274	36.496	42.093	0.7831	0.7764	0.7831	0.7764	0.7831	0.7764	9.4121	
	-10	4.643	4.813	1440.43	1505.24	4.425	3.223	3.198	30.943	37.354	0.7384	0.7654	0.7384	0.7654	0.7384	0.7654	11.399	12.312	
	0	6.494	6.636	2155.77	2219.18	3.031	3.012	2.99	23.036	26.84	0.7573	0.7738	0.7573	0.7738	0.7573	0.7738	8.0945	8.7622	
R12	-29.75	-20	3.571	3.701	996.193	1039.67	5.621	3.585	3.56	30.68	38.076	0.7314	0.758	0.7314	0.758	0.7314	0.758	8.239	9.2132
	-10	4.745	4.857	1473.59	1519.87	3.871	3.22	3.196	24.069	28.845	0.7545	0.7724	0.7545	0.7724	0.7545	0.7724	5.9078	6.5661	
	0	6.602	6.69	2118.82	2161.24	2.748	3.116	3.095	17.981	20.772	0.7698	0.78	0.7698	0.78	0.7698	0.78	4.1387	4.5692	
R22	-40.81	-20	3.554	3.502	1659.14	1633.83	5.528	2.142	2.143	43.336	53.95	0.7278	0.7172	0.7278	0.7172	0.7278	0.7172	11.794	15.255
	-10	4.707	4.623	2419.81	2381.59	3.821	1.945	1.941	33.598	40.528	0.7485	0.7352	0.7485	0.7352	0.7485	0.7352	8.449	10.732	
	0	6.533	6.408	3435.01	3379.52	2.722	1.902	1.896	24.795	28.906	0.7618	0.7472	0.7618	0.7472	0.7618	0.7472	5.9064	7.3076	
R290	-42.09	-20	3.425	3.651	1419.8	1522.62	4.987	2.412	2.398	75.356	94.548	0.7016	0.7478	0.7016	0.7478	0.7016	0.7478	22.486	23.842
	-10	4.57	4.778	2057.42	2168.09	3.53	2.221	2.204	59.02	71.629	0.7267	0.7599	0.7267	0.7599	0.7267	0.7599	16.13	17.201	
	0	6.384	6.566	2907.81	3012.99	2.568	2.195	2.179	44.011	51.516	0.7444	0.7657	0.7444	0.7657	0.7444	0.7657	11.247	12.072	
R502	-45.26	-20	3.27	3.51	1617.72	1763.33	5.188	2.021	1.991	29.823	38.126	0.6703	0.7197	0.6703	0.7197	0.6703	0.7197	9.832	10.587
	-10	4.386	4.603	2381.03	2536.25	3.639	1.842	1.815	23.262	28.755	0.6982	0.7328	0.6982	0.7328	0.6982	0.7328	7.021	7.6843	
	0	6.159	6.34	3413.13	3557.55	2.627	1.805	1.782	17.261	20.569	0.7187	0.7399	0.7187	0.7399	0.7187	0.7399	4.8551	5.3507	
R143a	-47.22	-20	3.173	3.457	1695.51	1881.86	5.156	1.87	1.837	38.192	49.584	0.6499	0.7081	0.6499	0.7081	0.6499	0.7081	13.373	14.472
	-10	4.269	4.53	2502.2	2701.82	3.626	1.706	1.677	29.693	37.32	0.679	0.7205	0.679	0.7205	0.679	0.7205	9.5329	10.433	
	0	6.013	6.235	3598.25	3786.89	2.622	1.671	1.646	21.951	26.602	0.7011	0.727	0.7011	0.727	0.7011	0.727	6.5604	7.2612	
R125	-48.14	-20	2.87	3.409	1606.5	1969.43	5.26	1.786	1.731	26.211	34.419	0.5879	0.6983	0.5879	0.6983	0.5879	0.6983	10.802	10.385
	-10	3.937	4.462	2437.81	2844.03	3.678	1.6145	1.569	20.442	25.941	0.6261	0.7096	0.6261	0.7096	0.6261	0.7096	7.644	7.5342	
	0	5.637	6.131	3595.33	4004.77	2.648	1.568	1.531	15.16	18.52	0.6573	0.7149	0.6573	0.7149	0.6573	0.7149	5.1961	5.2793	
R32	-51.65	-20	3.427	3.247	2727.2	2567.61	5.4	1.257	1.265	71.399	90.706	0.7019	0.6665	0.7019	0.6665	0.7019	0.6665	21.282	30.388
	-10	4.545	4.313	3927.95	3722.47	3.76	1.157	1.159	54.511	67.384	0.7228	0.6859	0.7228	0.6859	0.7228	0.6859	15.112	21.162	
	0	6.319	6.021	5518.82	5264.7	2.694	1.145	1.144	39.566	47.399	0.7368	0.702	0.7368	0.702	0.7368	0.702	10.413	14.123	

Çizelge Ek 1.2. Sabit sıcaklıkta R32/R134a karışımına ait değişik kütle oranları için termodynamik ve performans değerleri

R32/R134a Karışımı	KNS (°C)	T _b °C	S TK Klasik Isı Değ.	HSK (kJ/m ³) Klasik Isı Değ.	BO STK/HSK Klasik Isı Değ.	*10 ³ W _k (kJ/kg) Klasik Isı Değ.	O V Klasik Isı Değ.	TT (kJ/kg) Klasik Isı Değ.							
0/100	-26.07	-20	3.476	3.665	931.63	988.92	6.689	3.731	3.706	39.573	49.38	0.7119	0.7507	11.399	12.312
	-10	4.643	4.813	1440.4	1505.2	4.425	3.223	3.198	30.943	37.354	0.7384	0.7654	8.0945	8.7622	
10/90	-33.75	-20	3.237	3.361	1053	1098.8	7.261	3.074	2.990	23.036	26.84	0.7573	0.7738	5.5917	6.0724
	-10	4.262	4.363	1617	1667.2	4.819	2.636	2.617	3.059	45.709	57.066	0.6796	0.7144	14.645	16.296
20/80	-38.53	-20	3.123	3.198	1184.8	1217.3	7.445	2.636	2.627	50.786	63.426	0.6664	0.6929	16.942	19.476
	-10	4.085	4.136	1807.5	1840.7	4.959	2.260	2.247	40.208	48.657	0.6843	0.7034	12.693	14.431	
30/70	-41.83	-20	3.073	3.108	1329.3	1346.4	7.399	2.312	2.308	30.605	35.788	0.6927	0.7056	9.4044	10.537
	-10	4.01	4.019	2014.4	2028.2	4.948	1.991	1.982	43.574	52.799	0.6786	0.6898	14.005	16.378	
40/60	-44.26	-20	3.062	3.063	1486.8	1486.6	7.219	2.059	2.060	55.104	68.861	0.6618	0.6779	18.636	22.104
	-10	3.995	3.968	2237.8	2229.6	4.85	1.785	1.780	46.366	56.272	0.6778	0.6814	14.929	17.931	
50/50	-46.15	-20	3.08	3.048	1658	1638.1	6.962	1.858	1.861	33.149	38.833	0.6859	0.6924	10.413	11.947
	-10	4.022	3.961	2478	2445	4.701	1.623	1.620	48.674	59.19	0.6806	0.6765	15.544	19.148	
60/40	-47.67	-20	3.118	3.057	1843	1801	6.663	1.692	1.697	36.71	43.201	0.6879	0.6816	11.458	13.754
	-10	4.081	3.986	2734.9	2674.1	4.524	1.492	1.491	50.555	61.626	0.6856	0.6744	15.895	20.066	
70/30	-48.92	-20	3.174	3.083	2042.3	1975.5	6.346	1.554	1.561	66.981	84.251	0.6751	0.6589	21.764	28.739
	-10	4.165	4.037	3008.4	2916.7	4.335	1.384	1.384	52.051	63.629	0.6924	0.6746	16.009	20.708	
80/20	-49.97	-20	3.245	3.125	2256.2	2161.6	6.024	1.438	1.446	38.735	45.856	0.7013	0.6834	11.568	14.518
	-10	4.271	4.11	3298.6	3172.6	4.141	1.295	1.295	53.192	65.237	0.701	0.6767	15.905	21.092	
90/10	-50.87	-20	3.33	3.18	2485.1	2359.6	5.706	1.340	1.348	70.291	88.96	0.6918	0.6616	21.665	30.107
	-10	4.398	4.203	3605.9	3442	3.948	1.220	1.221	53.998	66.474	0.7112	0.6806	15.595	21.232	
	0	6.075	5.822	5099.4	4893.5	2.812	1.191	1.190	39.544	47.168	0.7232	0.694	10.948	14.433	

Cizelge Ek 1.2. (devam)

100/0	-51.65	-20	3.427	3.247	2727.2	2567.6	5.4	1.257	1.265	71.399	90.706	0.7019	0.665	21.282	30.388
	-10	4.545	4.313	3928	3722.5	3.76	1.157	1.159	54.511	67.384	0.7228	0.6859	15.112	21.162	
	0	6.319	6.021	5518.8	5264.7	2.694	1.145	1.144	39.566	47.399	0.7368	0.702	10.413	14.123	

Cizelge Ek 1.3. Sabit sıcaklıkta R290/R134a karışımına ait değişik kütle oranları için termodynamik ve performans değerleri

R290/R134a Karışımı	KNS (°C)	T _b °C	S TK Klasik	HSK Isı Değ.	(kJ/m ³) Klasik	BO Isı Deg.	STK/HSK Klasik	(*10 ³) Isı Deg.	W _k (kJ/kg) Klasik	O V Isı Değ. Klasik	TT (kJ/kg) Klasik	Isı Değ.				
0/100	-26.07	-20	3.476	3.665	931.63	988.92	6.689	3.731	3.706	39.573	49.38	0.7119	0.7507	11.399	12.312	
	-10	4.643	4.813	1440.4	1505.2	4.425	3.223	3.198	30.943	37.354	0.7384	0.7654	8.0945	8.7622		
	0	6.494	6.636	2155.8	2219.2	3.031	3.012	2.990	23.036	26.84	0.7573	0.7738	5.5917	6.0724		
	10/90	-51.39	-20	2.694	2.932	996.45	1093	8.026	2.704	2.682	49.434	61.558	0.5907	0.6847	20.235	19.407
20/80	-10	3.537	3.759	1547.6	1660.4	5.319	2.286	2.264	39.58	47.692	0.6179	0.6965	15.123	14.473		
	0	4.794	4.99	2324.4	2441.9	3.651	2.062	2.044	30.582	35.571	0.6373	0.6975	11.091	10.762		
	-10	3.563	3.833	1766.6	1918.3	4.675	2.017	1.998	40.39	48.689	0.6025	0.6864	20.364	20.011		
	0	4.942	5.19	2647.8	2806.2	3.228	1.866	1.850	30.567	35.577	0.6607	0.7003	10.371	10.662		
30/70	-48.86	-20	2.86	3.173	1351.4	1512	5.857	2.116	2.098	50.428	63.076	0.6286	0.6972	18.729	19.097	
	-10	3.904	4.209	2080.5	2265.8	3.941	1.877	1.858	38.918	47.132	0.6626	0.7143	13.133	13.463		
	0	5.56	5.848	3080.6	3270.5	2.762	1.805	1.788	28.674	33.525	0.689	0.7247	8.9184	9.2228		
	40/60	-48.6	-20	3.537	1812.6	4.864	1.951	1.951	60.82	0.7314	16.335					
50/50	-10	4.37	4.696	2406.1	2614.1	3.403	1.816	1.796	37.226	45.391	0.697	0.7489	11.28	11.398		
	0	6.163	6.468	3409.4	3612.4	2.491	1.808	1.791	27.721	32.562	0.7195	0.7552	7.7747	7.9729		
	50/50	-48.6	-20	3.236	3.558	1639.2	1820.5	4.805	1.974	1.954	51.956	65.511	0.6677	0.7341	17.267	17.417
	-10	4.334	4.643	2371.2	2567.3	3.437	1.828	1.809	40.854	49.759	0.6953	0.7449	12.447	12.695		
60/40	0	6.068	6.354	3344.3	3534.7	2.524	1.814	1.798	30.629	35.937	0.7147	0.7489	8.7382	9.0224		
	-20	3.182	3.481	1569	1731.7	4.991	2.028	2.010	57.78	72.7	0.6633	0.7282	19.454	19.757		
	-10	4.245	4.53	2275	2451.5	3.555	1.866	1.848	45.553	55.385	0.6894	0.7381	14.15	14.505		
	0	5.91	6.17	3215.6	3387.2	2.602	1.838	1.822	34.302	40.191	0.7073	0.7409	10.039	10.412		
70/30	-48.16	-20	3.175	3.451	1512.8	1657.6	5.12	2.099	2.082	63.285	79.529	0.6637	0.7268	21.283	21.725	

Çizelge Ek 1.3. (devam)

	-10	4.222	4.483	2195.1	2352.4	3.638	1.923	1.906	49.979	60.711	0.6885	0.7362	15.569	16.016	
	0	5.852	6.088	3105.5	3258	2.656	1.884	1.869	37.74	44.19	0.705	0.7383	11.134	11.565	
80/20	-47.21	-20	3.214	3.471	1471.6	1600.3	5.166	2.184	2.169	68.159	85.604	0.6696	0.7299	22.518	23.125
	-10	4.268	4.507	2135.2	2274.5	3.664	1.999	1.981	53.815	65.349	0.6937	0.7394	16.485	17.033	
	0	5.909	6.122	3020.7	3155.2	2.671	1.956	1.940	40.625	47.563	0.7094	0.7416	11.804	12.293	
90/10	-45.34	-20	3.298	3.537	1442.4	1556.3	5.12	2.287	2.273	72.22	90.685	0.682	0.7365	22.966	23.892
	-10	4.383	4.604	2091.5	2214.5	3.628	2.096	2.079	56.872	69.062	0.706	0.7469	16.723	17.478	
	0	6.083	6.277	2957.5	3075.1	2.642	2.057	2.041	42.763	50.076	0.7219	0.7503	11.893	12.504	
100/0	-42.09	-20	3.425	3.651	1419.8	1522.6	4.987	2.412	2.398	75.356	94.548	0.7016	0.7478	22.486	23.842
	-10	4.57	4.778	2057.4	2168.1	3.53	2.221	2.204	59.02	71.629	0.7267	0.7599	16.13	17.201	
	0	6.384	6.566	2907.8	3013	2.568	2.195	2.179	44.011	51.516	0.7444	0.7657	11.247	12.072	

Çizelge Ek 1.4. Sabit sıcaklıkta R600a/R134a karışımına ait değişik kütle oranları için termodynamik ve performans değerleri:

R600a/R134a KNS Karışımu (°C)	T _b (°C)	S TK Klasik İsi Değ.	HSK Klasik İsi Değ.	BO Klasik İsi Değ.	STK/HSK Klasik İsi Değ.	(*10 ³) W _k KJ/kg)	O V Klasik İsi Değ.	TT (kJ/kg) Klasik İsi Değ.							
0/100	-26.07	-20	3.476	3.665	931.63	988.92	6.689	3.731	3.706	39.573	49.38	0.7119	0.7507	11.399	12.312
	-10	4.643	4.813	1440.4	1505.2	4.425	3.223	3.198	30.943	37.354	0.7384	0.7654	8.0945	8.7622	
	0	6.494	6.636	2155.8	2219.2	3.031	3.012	2.990	23.036	26.84	0.7573	0.7738	5.5917	6.0724	
10/90	-29.1	-20	3.387	3.631	970.97	1049.8	6.408	3.488	3.459	41.06	51.449	0.6974	0.7485	12.427	12.938
	-10	4.541	4.767	1494.6	1584.4	4.277	3.038	3.009	32.089	38.898	0.7258	0.7627	8.7998	9.2298	
	0	6.371	6.571	2227.3	2317	2.955	2.860	2.836	23.883	27.935	0.7465	0.7704	6.0534	6.413	
20/80	-29.45	-20	3.381	3.665	977.97	1070.1	6.144	3.457	3.425	42.585	53.475	0.6928	0.7509	13.08	13.319
	-10	4.526	4.794	1489.5	1594	4.155	3.039	3.007	33.42	40.579	0.7206	0.7633	9.3369	9.6047	
	0	6.334	6.576	2199.6	2304.8	2.903	2.880	2.853	25.003	29.277	0.7405	0.7689	6.4881	6.7661	
30/70	-29.29	-20	3.193	3.492	871.67	961.34	6.629	3.663	3.632	47.646	59.583	0.671	0.7339	15.675	15.856
	-10	4.239	4.522	1331.6	1434.7	4.472	3.183	3.152	37.793	45.693	0.6956	0.7427	11.505	11.759	
	0	5.853	6.112	1972.3	2078	3.117	2.968	2.941	28.72	33.488	0.7105	0.7435	8.3141	8.5907	
40/60	-28.93	-20	3.007	3.307	754.8	835.9	7.364	3.984	3.956	54.003	67.18	0.6506	0.7171	18.869	19.005

Çizelge Ek 1.4. (devam)

-10	3.952	4.237	1159.2	1253.7	4.941	3.409	3.380	43.333	52.115	0.6727	0.7226	14.182	14.457
0	5.636	5.636	1823.6	3.426	3.091	3.85	3.091	38.85	0.7185	0.7106	0.6356	0.7135	10.936
50/50	-28.3	-20	2.912	3.21	672.21	745.28	7.933	4.332	4.307	59.752	74.041	21.774	21.429
-10	0	4.081	1120.3	5.308	3.643	57.923	3.643	57.923	0.7068	43.708	0.7068	16.593	12.814
0	0	5.367	1632.7	3.672	3.287	47.617	3.287	47.617	0.703	0.703	0.703	23.12	23.12
60/40	-27.24	-20	3.187	680.95	8.252	4.680	4.680	79.782	0.7102	0.7116	0.7116	0.7116	18.081
-10	4.036	1024.8	5.513	3.938	4.281	66.194	4.281	66.194	0.7175	0.7175	0.7175	18.697	18.697
0	5.278	1494.9	3.808	3.531	3.834	50.319	3.834	50.319	0.7081	0.7081	0.7081	14.144	14.144
70/30	-25.5	-20	3.229	634.08	8.283	5.092	84.17	84.17	0.7166	0.7166	0.7166	23.853	23.853
-10	4.088	954.87	5.529	4.281	4.281	66.194	4.281	66.194	0.7175	0.7175	0.7175	18.697	18.697
0	5.343	1393.5	3.817	3.531	3.834	50.319	3.834	50.319	0.7081	0.7081	0.7081	14.686	14.686
80/20	-22.73	-20	3.339	598.92	8.003	5.575	86.88	86.88	0.7284	0.7284	0.7284	23.598	23.598
-10	4.242	902.28	5.34	4.701	4.701	68.088	4.701	68.088	0.7301	0.7301	0.7301	18.378	18.378
0	5.576	1317	3.685	4.234	4.234	51.491	4.234	51.491	0.7214	0.7214	0.7214	14.344	14.344
90/10	-18.39	-20	3.535	571.86	7.397	6.182	87.397	87.397	0.7509	0.7509	0.7509	21.774	21.774
-10	4.533	861.72	4.934	5.260	5.260	67.876	5.260	67.876	0.7553	0.7553	0.7553	16.611	16.611
0	6.041	1258	3.404	4.802	4.802	50.642	4.802	50.642	0.75	0.75	0.75	12.659	12.659
100/0	-11.61	-20	3.869	550.56	6.454	7.027	84.848	84.848	0.7925	0.7925	0.7925	17.605	17.605
-10	5.053	829.76	4.304	6.090	6.090	64.714	6.090	64.714	0.8036	0.8036	0.8036	12.707	12.707
0	6.927	1211.4	2.969	5.718	5.718	46.952	5.718	46.952	0.8077	0.8077	0.8077	9.0279	9.0279

Çizelge Ek 1.5. Sabit sıcaklıkta R152a/R134a karışımına ait değişik kütle oranları için termodynamik ve performans değerleri

R152a/R134a KNS Karışımı (°C)	T _b °C	S TK Klasik	HSK İsi Değ.	(kJ/m ³) İsi Değ.	BO Klasik	STK/HSK İsi Değ.	(*10 ⁻³) Klasik	W _k (kJ/kg) Klasik İsi Değ.	O V Klasik İsi Değ.	TT (kJ/kg) Klasik İsi Değ.					
0/100	-26.07	-20	3.476	3.665	931.63	988.92	6.689	3.731	3.706	39.573	49.38	0.7119	0.7507	11.399	12.312
-10	4.643	4.813	1440.4	1505.2	4.425	3.223	3.198	3.0943	37.354	0.7384	0.7654	8.0945	8.7622		
0	6.494	6.636	2155.8	2219.2	3.031	3.012	2.990	23.036	26.84	0.7573	0.7738	5.5917	6.0724		
10/90	-25.64	-20	3.158	3.459	1687.3	1882.9	5.166	3.788	3.769	41.972	52.28	0.6469	0.7085	13.071	14.017
-10	4.254	4.532	2493.2	2704.8	3.631	3.275	3.253	32.815	39.552	0.6765	0.7207	9.3117	10.109		

Cizelge Ek 1.5. (devam)

20/80	-25.27	-20	0	5.997	6.237	3591.3	3792.8	2.625	3.063	3.043	24.433	28.428	0.6993	0.7272	6.4025	7.0398
	-10	4.234	4.53	3.458	1676.4	1883.1	5.181	3.838	3.822	44.363	55.167	0.6431	0.7083	12.797	13.594	
	0	5.975	6.234	3582.7	3798.1	2.629	3.639	3.321	3.302	34.675	41.732	0.6734	0.7205	9.1119	9.8088	
30/70	-24.97	-20	3.119	3.457	1665.7	1884.6	5.196	3.877	3.867	46.731	58.023	0.6389	0.708	12.528	13.176	
	-10	4.212	4.528	2472.3	2711.1	3.647	3.359	3.342	3.376	36.511	43.884	0.6698	0.7201	8.9159	9.5123	
	0	5.949	6.229	3575.3	3806	2.633	3.146	3.130	3.146	27.171	31.538	0.6938	0.7264	6.12	6.6332	
40/60	-24.72	-20	3.096	3.454	1655.3	1887.8	5.21	3.908	3.903	49.083	60.859	0.6341	0.7075	12.266	12.763	
	-10	4.186	4.524	2462.8	2717.4	3.655	3.390	3.376	3.376	38.333	46.017	0.6658	0.7195	8.7243	9.2201	
	0	5.92	6.222	3569.4	3817.1	2.637	3.178	3.164	3.178	28.514	33.063	0.6904	0.7257	5.9833	6.4344	
50/50	-24.52	-20	3.069	3.45	1645.3	1892.9	5.224	3.933	3.931	51.425	63.682	0.6287	0.7068	12.009	12.356	
	-10	4.156	4.518	2454.4	2726.5	3.662	3.415	3.404	3.404	40.144	48.138	0.6611	0.7187	8.5373	8.9323	
	0	5.886	6.213	3565.4	3831.9	2.641	3.205	3.192	3.192	29.848	34.577	0.6865	0.7247	5.8496	6.2388	
60/40	-24.36	-20	3.039	3.445	1635.8	1900.3	5.238	3.951	3.954	53.762	66.497	0.6226	0.7059	11.759	11.954	
	-10	4.123	4.51	2447.1	2739	3.669	3.435	3.426	3.426	41.949	50.252	0.6559	0.7176	8.3548	8.6487	
	0	5.847	6.2	3563.7	3851.4	2.645	3.227	3.216	3.216	31.176	36.084	0.6821	0.7234	5.7189	6.0462	
70/30	-24.23	-20	3.005	3.439	1627	1910.8	5.25	3.965	3.971	56.095	69.307	0.6156	0.7046	11.514	11.557	
	-10	4.085	4.501	2441.3	2755.7	3.676	3.450	3.444	3.444	43.752	52.361	0.6499	0.7162	8.1759	8.3685	
	0	5.803	6.186	3564.9	3876.6	2.648	3.245	3.236	3.236	32.502	37.588	0.6771	0.7219	5.59	5.8555	
80/20	-24.14	-20	2.966	3.43	1619.1	1925.2	5.259	3.974	3.984	58.426	72.114	0.6077	0.703	11.274	11.163	
	-10	4.041	4.489	2437.6	2777.9	3.68	3.462	3.459	3.459	45.552	54.468	0.643	0.7145	7.9986	8.0896	
	0	5.753	6.169	3570.1	3909.3	2.651	3.260	3.252	3.252	33.826	39.09	0.6713	0.72	5.4611	5.665	
90/10	-24.07	-20	2.922	3.421	1612.7	1944.8	5.263	3.980	3.993	60.757	74.92	0.5986	0.701	11.032	10.768	
	-10	3.993	4.477	2436.8	2807.3	3.681	3.471	3.470	3.470	47.352	56.573	0.6352	0.7124	7.8189	7.8085	
	0	5.698	6.151	3580.4	3951.9	2.651	3.272	3.264	3.264	35.149	40.591	0.6649	0.7178	5.3286	5.4713	
	-10	3.658	4.817	1391.6	1385.3	4.376	3.479	3.477	3.477	49.183	58.678	0.7701	0.7661	11.309	13.727	
	0	6.716	6.658	2046.4	2033.4	3.009	3.282	3.274	3.274	36.496	42.093	0.7831	0.7764	7.9144	9.4121	

Çizelge Ek 1.6. Sabit sıcaklıkta R125/R143a karışımına ait değişik kütle oranları için termodynamik ve performans değerleri

	R125/R143a Karışımı	KNS ($^{\circ}\text{C}$)	T _b ($^{\circ}\text{C}$)	S TK Klasik	STK Klasik	HSK Klasik	(kJ/m ³)	BO Klasik	STK/HSK (*10 ⁻³)	W _k (kJ/kg)	O V Klasik	İst. Değ.	TT (kJ/kg) Klasik	İst. Değ.	
0/100	-47.22	-20	3.173	3.457	1696.5	1881.9	5.156	1.870	1.837	38.192	49.584	0.6499	0.7081	13.37	14.472
		-10	4.269	4.53	2502.2	2701.8	3.626	1.706	1.677	29.693	37.32	0.679	0.7205	9.5329	10.433
10/90	0	6.013	6.235	3598.3	3786.9	2.622	1.671	1.646	21.951	26.602	0.7011	0.7227	6.5604	7.2612	
	-47.15	-20	3.158	3.459	1687.3	1882.9	5.166	1.872	1.837	37.015	48.085	0.6469	0.7085	13.071	14.017
20/80	-10	4.254	4.532	2493.2	2704.8	3.631	1.706	1.676	28.788	36.199	0.6765	0.7207	9.3117	10.109	
	0	5.997	6.237	3591.3	3792.8	2.625	1.670	1.644	21.289	25.808	0.6993	0.7272	6.4025	7.0398	
30/70	-47.1	-20	3.14	3.458	1676.4	1883.1	5.181	1.873	1.836	35.858	46.61	0.6431	0.7083	12.797	13.594
	-10	4.234	4.53	2482.4	2707	3.639	1.706	1.673	27.897	35.095	0.6734	0.7205	9.1119	9.8088	
40/60	0	5.975	6.234	3582.7	3798.1	2.629	1.668	1.641	20.638	25.027	0.6967	0.7269	6.2599	6.8351	
	-47.07	-20	3.119	3.457	1665.7	1884.6	5.196	1.873	1.834	34.694	45.128	0.6389	0.708	12.528	13.176
50/50	-10	4.212	4.528	2472.3	2711.1	3.647	1.704	1.670	27.002	33.986	0.6698	0.7201	8.9159	9.5123	
	0	5.949	6.229	3575.3	3806	2.633	1.664	1.637	19.984	24.242	0.6938	0.7264	6.12	6.6332	
60/40	-47.07	-20	3.096	3.454	1655.3	1887.8	5.21	1.870	1.830	33.524	43.641	0.6341	0.7075	12.266	12.763
	-10	4.186	4.524	2462.8	2717.4	3.655	1.700	1.665	26.101	32.872	0.6658	0.7195	8.7243	9.2201	
70/30	0	5.92	6.222	3569.4	3817.1	2.637	1.659	1.630	19.326	23.454	0.6904	0.7257	5.9833	6.4344	
	-47.11	-20	3.069	3.45	1645.3	1892.9	5.224	1.865	1.823	32.346	42.145	0.6287	0.7068	12.009	12.356
80/20	-10	4.156	4.518	2454.4	2726.5	3.662	1.693	1.657	25.194	31.753	0.6611	0.7187	8.5373	8.9323	
	0	5.886	6.213	3565.4	3831.9	2.641	1.651	1.621	18.662	22.661	0.6865	0.7247	5.8496	6.2388	
90/10	-47.19	-20	3.039	3.445	1635.8	1900.3	5.238	1.858	1.813	31.157	40.64	0.6226	0.7059	11.759	11.954
	-10	4.123	4.51	2447.1	2739	3.669	1.685	1.647	24.278	30.625	0.6559	0.7176	8.3548	8.6487	
0/100	0	5.847	6.2	3563.7	3851.4	2.645	1.641	1.610	17.991	21.863	0.6821	0.7234	5.7189	6.0462	
	-47.32	-20	3.005	3.439	1627	1910.8	5.25	1.847	1.800	29.955	39.122	0.6156	0.7046	11.514	11.557
10/90	-10	4.085	4.501	2441.3	2755.7	3.676	1.673	1.633	23.351	29.487	0.6499	0.7162	8.1759	8.3685	
	0	5.803	6.186	3564.9	3876.6	2.648	1.628	1.596	17.311	21.055	0.6771	0.7219	5.59	5.8555	
20/80	-47.52	-20	2.966	3.43	1619.1	1925.2	5.259	1.832	1.782	28.734	37.583	0.6077	0.703	11.274	11.163
	-10	4.041	4.489	2437.6	2777.9	3.68	1.658	1.616	22.406	28.331	0.643	0.7145	7.9986	8.0896	
30/70	0	5.753	6.169	3570.1	3909.3	2.651	1.611	1.578	16.616	20.233	0.6713	0.72	5.4611	5.665	
	-47.79	-20	2.922	3.421	1612.7	1944.8	5.263	1.812	1.759	27.484	36.014	0.5986	0.701	11.032	10.768
40/60	-10	3.993	4.477	2436.8	2807.3	3.681	1.639	1.595	21.436	27.149	0.6352	0.7124	7.8189	7.8085	
	0	5.698	6.151	3580.4	3951.9	2.651	1.591	1.556	15.9	19.388	0.6649	0.7178	5.3286	5.4713	

Cizelge EK 1.6. (devam)

100/0	-48.14	-20	2.87	3.409	1606.5	1969.4	5.26	1.786	1.731	26.211	34.419	0.5879	0.6983	10.802	10.385
	-10	3.937	4.462	2437.8	2844	3.678	1.615	1.569	20.442	25.941	0.6261	0.7096	7.644	7.5342	
0	5.637	6.131	3.369	1831.7	2113.7	5.336	1.634	1.594	30.442	39.783	0.6142	0.6922	11.745	12.244	

Cizelge EK 1.7. Sabit sıcaklıkta R32/R125 karışımına ait değişik kütle oranları için termodinamik ve performans değerleri

R32/R125 Karışımı	KNS ($^{\circ}$ C)	T _b ($^{\circ}$ C)	S TK Klasik	STK Klasik	HSK Klasik	(kJ/m ³)	BO Klasik	STK/HSK (*10 ⁻³)	W _k (kJ/kg)	O V Klasik	TT (kJ/kg)	
						Isı Değ.	Isı Değ.	Isı Değ.	Isı Değ.	Klasik Isı Değ.	Klasik Isı Değ.	
0/100	-48.14	-20	2.87	3.409	1606.5	199.4	5.26	1.786	1.731	26.211	34.419	
	-10	3.937	4.462	2437.8	2844	3.678	1.615	1.569	20.442	25.941	0.6261	
	0	5.637	6.131	3.369	1831.7	2113.7	5.336	1.634	1.594	30.442	0.6573	
	-10	4.051	4.408	2741.8	3052.9	3.73	1.477	1.444	23.719	29.992	0.6142	
10/90	-49.63	-20	2.993	3.369	1831.7	2113.7	5.336	1.634	1.594	34.597	45.035	
	-10	4.051	4.408	2741.8	3052.9	3.73	1.477	1.444	23.719	29.992	0.6461	
	0	5.729	6.049	3995.3	4300.9	2.684	1.434	1.406	17.586	21.433	0.6708	
	-10	3.097	3.352	2020.7	2228.6	5.353	1.533	1.504	34.597	45.035	0.6357	
20/80	-50.51	-20	4.16	4.391	2995.5	3219.6	3.741	1.389	1.364	26.886	33.9	
	-10	0	5.844	6.034	4326.8	4537.6	2.691	1.351	1.330	19.881	24.187	
	-10	4.256	4.386	2178.7	2319.7	5.35	1.461	1.441	38.775	50.299	0.653	
	0	5.955	6.041	4600.4	4725.4	2.688	1.294	1.278	30.046	37.789	0.6785	
30/70	-51.05	-20	3.183	3.342	2309.5	2390.3	5.346	1.408	1.395	43.044	55.655	
	-10	4.334	4.383	3379.8	3454.8	3.735	1.282	1.269	33.263	41.731	0.6904	
	-10	4.334	4.383	3379.8	3454.8	3.739	1.327	1.309	22.147	26.9	0.6969	
	0	6.051	6.051	4824	4872.3	2.685	1.254	1.242	24.443	29.638	0.7072	
40/60	-51.39	-20	3.252	3.334	2309.5	2390.3	5.346	1.408	1.395	47.436	61.141	
	-10	4.334	4.383	3379.8	3454.8	3.735	1.282	1.269	36.566	45.761	0.6998	
	-10	4.334	4.383	3379.8	3454.8	3.739	1.327	1.309	26.797	32.433	0.7155	
	0	6.051	6.051	4824	4872.3	2.685	1.254	1.242	24.443	29.638	0.7072	
50/50	-51.6	-20	3.305	3.323	2417.2	2444.5	5.346	1.367	1.359	47.436	61.141	
	-10	4.397	4.378	3521.8	3534.2	3.733	1.249	1.239	39.966	49.889	0.7072	
	0	6.128	6.057	5005.8	4986.1	2.682	1.224	1.215	29.22	35.295	0.7221	
	-10	4.397	4.378	3521.8	3534.2	3.735	1.249	1.239	31.964	66.769	0.6856	
60/40	-51.71	-20	3.346	3.311	2505.5	2485.5	5.35	1.335	1.332	39.966	49.889	
	-10	4.445	4.369	3638	3595.1	3.735	1.222	1.215	29.22	35.295	0.7221	
	0	6.189	6.057	5153.6	5074.1	2.682	1.201	1.194	36.626	72.542	0.6918	
	-10	3.377	3.296	2578.2	2516.5	5.358	1.310	1.310	56.626	72.542	0.6752	
70/30	-51.76	-20	3.377	3.296	2578.2	2516.5	5.358	1.310	1.310	56.626	72.542	0.6918
	-10	0	6.131	3.595.3	4004.8	2.648	1.568	1.531	15.16	18.52	0.6573	0.7149
	0	5.637	6.131	3595.3	4004.8	2.648	1.568	1.531	15.16	18.52	0.6261	0.7096
	-10	3.937	4.462	2437.8	2844	3.678	1.615	1.569	20.442	25.941	0.6573	0.7149

Cizelge Ek 1.7. (devam)

	-10	4.483	4.358	3733.3	3641.6	3.738	1.201	1.197	43.463	54.118	0.713	0.6932	12.476	16.605	
	0	6.236	6.053	5274.2	5142.1	2.683	1.182	1.177	31.711	38.225	0.7273	0.7059	8.6468	11.24	
80/20	-51.76	-20	3.4	3.281	2638.3	2539.7	5.369	1.289	1.292	61.418	78.453	0.6965	0.6772	18.642	25.732
	-10	4.511	4.345	3811.8	3677.2	3.744	1.183	1.182	47.053	58.442	0.7173	0.691	13.3	18.059	
90/10	-51.73	-20	3.417	3.265	2688.1	2557.1	5.383	1.271	1.277	34.266	41.219	0.7314	0.7049	9.2027	12.163
	-10	4.531	4.33	3876.8	3704.5	3.751	1.169	1.169	50.728	62.856	0.7207	0.6887	14.17	19.569	
100/0	-51.65	-20	3.427	3.247	2727.2	2567.6	5.4	1.257	1.265	71.399	90.706	0.7019	0.6665	21.282	30.388
	-10	4.545	4.313	3928	3722.5	3.76	1.157	1.159	54.511	67.384	0.7228	0.6859	15.112	21.162	
	0	6.319	6.021	5518.8	5264.7	2.694	1.145	1.144	39.566	47.399	0.7368	0.702	10.413	14.123	

Cizelge Ek 1.8. Sabit sıcaklıkta R125/R134a/R143a/R134a karışımına ait değişik kütle oranları için termodynamik ve performans değerleri

R125/R143a/R134a Karışımlı	KNS	T _b (°C)	S _{TK} Klasik	HSK İsi Değ.	(kJ/m ³) BO Klasik	STK/HSK İsi Değ.	(*10 ⁻³) W _k Klasik	(kJ/kg) İsi Değ.	O V Klasik	TT (kJ/kg) İsi Değ.					
15/81/4	-46.63	-20	3.128	3.43	1628.7	1819.7	5.307	1.921	1.885	36.955	47.883	0.6439	0.707	13.16	14.03
	-10	4.211	4.491	2418.2	2626.2	3.712	1.741	1.710	28.777	36.09	0.6735	0.7191	9.3962	10.138	
	0	5.928	6.171	3497.3	3696.8	2.672	1.695	1.669	21.327	25.788	0.6959	0.7252	6.4851	7.0857	
25/71/4	-46.58	-20	3.108	3.429	1617.5	1819.5	5.325	1.921	1.885	35.783	46.392	0.6399	0.7068	12.885	13.603
	-10	4.19	4.488	2407.1	2627.9	3.722	1.741	1.708	27.876	34.975	0.6701	0.7188	9.1952	9.8354	
	0	5.903	6.166	3488.2	3701.7	2.677	1.692	1.666	20.668	24.998	0.6932	0.7248	6.3417	6.8796	
35/61/4	-46.56	-20	3.086	3.427	1606.5	1820.6	5.343	1.921	1.882	34.607	44.897	0.6354	0.7064	12.616	13.184
	-10	4.165	4.484	2396.5	2631.6	3.732	1.738	1.704	26.971	33.856	0.6663	0.7183	8.9997	9.5385	
	0	5.875	6.159	3480.3	3709.2	2.683	1.688	1.660	20.007	24.206	0.69	0.7241	6.2023	6.6776	
45/51/4	-46.57	-20	3.061	3.423	1595.8	1823.3	5.362	1.918	1.877	33.425	43.398	0.6304	0.7057	12.356	12.772
	-10	4.137	4.478	2386.6	2637.5	3.742	1.733	1.698	26.062	32.734	0.6619	0.7175	8.8102	9.2474	
	0	5.842	6.149	3473.9	3719.8	2.689	1.682	1.653	19.342	23.412	0.6863	0.7232	6.0672	6.48	
55/41/4	-46.62	-20	3.033	3.417	1585.3	1827.9	5.381	1.913	1.869	32.237	41.893	0.6245	0.7048	12.104	12.367
	-10	4.105	4.47	2377.6	2646.1	3.753	1.727	1.689	25.147	31.608	0.6569	0.7165	8.6269	8.9622	

Çizelge Ek 1.8. (devam)

65/31/4	-46.73	-20	3	3.41	1575.3	1834.9	5.401	1.904	1.858	31.04	40.38	0.6179	0.7036	11.86	11.97
75/21/4	-46.9	-20	2.962	3.401	1565.9	1844.9	5.419	1.892	1.843	29.829	38.853	0.6103	0.702	11.624	11.579
15/75/10	-45.87	-20	3.101	3.394	1554.1	1731.1	5.503	1.995	1.961	37.661	48.602	0.6427	0.7054	13.457	14.318
25/65/10	-45.8	-20	3.082	3.392	1542.4	1729.4	5.526	1.998	1.961	36.474	47.094	0.6387	0.7052	13.177	13.886
35/55/10	-45.76	-20	3.06	3.389	1530.7	1728.9	5.55	1.999	1.960	35.286	45.587	0.6342	0.7047	12.906	13.462
45/45/10	-45.76	-20	4.122	4.43	2295.6	2514.6	3.851	1.796	1.762	27.548	34.438	0.6645	0.7164	9.2413	9.7662
55/35/10	-45.81	-20	3.004	3.377	1507.5	1731.8	5.605	1.993	1.950	19.829	23.904	0.6835	0.7208	6.2751	6.6749
65/25/10	-45.92	-20	2.97	3.367	1496.1	1736	5.636	1.985	1.939	31.705	41.059	0.6164	0.7015	12.163	12.256
75/15/10	-46.1	-20	2.93	3.355	1485.1	1742.8	5.667	1.973	1.925	30.499	39.54	0.6086	0.6997	11.939	11.875
15/70/15	-45.2	-20	3.084	3.37	1496.3	1662.6	5.661	2.061	2.027	38.182	49.123	0.6422	0.7045	13.664	14.514
25/60/15	-45.11	-20	3.065	3.367	1484.1	1659.8	5.689	2.065	2.029	36.985	47.604	0.6382	0.7043	13.38	14.077
	0	5.773	6.019	3255.3	3445	2.801	1.773	1.747	21.539	25.872	0.689	0.7212	6.6993	7.2141	

Cizelge Ek 1.8. (devam)

35/50/15	-45.06	-20	3.042	3.363	1471.8	1657.9	5.719	2.067	2.029	35.789	46.089	0.63337	0.7038	13.109	13.653
	-10	4.092	4.393	2216.4	2423.1	3.949	1.846	1.813	27.982	34.869	0.66335	0.7153	9.415	9.9257	
	0	5.742	6.008	3244	3447.3	2.811	1.770	1.743	20.869	25.072	0.6856	0.7203	6.5604	7.0115	
45/40/15	-45.06	-20	3.016	3.357	1459.4	1657	5.753	2.067	2.026	34.594	44.578	0.6285	0.703	12.852	13.241
	-10	4.062	4.383	2203.9	2424.3	3.968	1.843	1.808	27.065	33.741	0.659	0.7144	9.2297	9.6368	
55/30/15	-45.1	-20	2.986	3.349	1447	1657.4	5.79	2.064	2.021	33.4	43.07	0.6225	0.7018	12.61	12.843
	-10	4.026	4.37	2191.8	2427.6	3.989	1.837	1.800	26.148	32.615	0.6537	0.713	9.0559	9.359	
	0	5.705	5.992	3233.8	3452.2	2.822	1.764	1.736	20.2	24.276	0.6817	0.7192	6.4297	6.8169	
65/20/15	-45.22	-20	2.95	3.337	1434.6	1659.5	5.83	2.056	2.011	32.206	41.563	0.6155	0.7002	12.383	12.459
	-10	3.984	4.353	2180.3	2433.3	4.012	1.827	1.789	25.231	31.491	0.6475	0.7113	8.8937	9.0922	
	0	5.607	5.943	3217.5	3471.6	2.848	1.743	1.712	18.864	22.689	0.6717	0.7156	6.1935	6.4526	
75/10/15	-45.41	-20	2.908	3.323	1422.3	1663.6	5.874	2.045	1.997	31.006	40.053	0.6074	0.6982	12.172	12.09
	-10	3.935	4.332	2169.7	2442.4	4.037	1.814	1.774	24.309	30.363	0.6404	0.709	8.7423	8.8356	
	0	5.545	5.91	3212.4	3488.1	2.863	1.726	1.694	18.192	21.893	0.6654	0.7131	6.0865	6.2816	

Cizelge Ek 1.9. Sabit sıcaklıkta R125/R143a/R290 karışımına ait değişik kütle oranları için termodynamik ve performans değerleri

R125/R143a/R290 KNS Karışımı	T _b (°C)	S TK Klasik Isı Deg.	HSK Klasik Isı Deg.	BO Klasik Isı Deg.	STK/HSK (*10 ⁻³)	W _k (kJ/kg)	Klasik Isı Deg.	Klasik Isı Deg.	O V	TT (kJ/kg)	Klasik Isı Deg.	Klasik Isı Deg.			
10/85/5	-48.87	-20	3.116	3.426	1723.6	1931.6	5.115	1.808	1.774	38.398	49.933	0.64	0.7046	13.825	14.748
	-10	4.198	4.486	2541.6	2766.8	3.606	1.652	1.621	29.871	37.603	0.6697	0.7165	9.8664	10.66	
	0	5.917	6.167	3654.1	3869	2.613	1.619	1.594	22.104	26.827	0.6925	0.7226	6.798	7.4427	
20/75/5	-49.16	-20	3.085	3.414	1716.4	1938.1	5.135	1.797	1.761	37.256	48.491	0.6341	0.7031	13.631	14.397
	-10	4.161	4.468	2536.6	2777.6	3.617	1.640	1.609	28.998	36.531	0.6645	0.7148	9.7304	10.418	
	0	5.868	6.139	3654	3885.9	2.621	1.606	1.580	21.473	26.077	0.6877	0.7206	6.7054	7.2856	
30/65/5	-49.54	-20	3.049	3.399	1709.2	1946.2	5.157	1.784	1.747	36.116	47.054	0.6275	0.7012	13.454	14.06
	-10	4.118	4.446	2532	2790.7	3.631	1.626	1.593	28.127	35.464	0.6584	0.7127	9.6074	10.189	
	0	5.812	6.105	3655.1	3905.9	2.629	1.590	1.563	20.845	25.332	0.6823	0.7182	6.6227	7.1379	
40/55/5	-50	-20	3.009	3.381	1702	1956	5.181	1.768	1.729	34.976	45.619	0.6199	0.6988	13.294	13.738

Çizelge Ek 1.9. (devam)

50/45/5	-10	4.068	4.42	2527.9	2806.4	3.646	1.609	1.575	27.256	34.399	0.6515	0.7101	9.4974	9.9714	
	0	5.747	6.064	3657.8	3929.6	2.639	1.571	1.543	20.217	24.59	0.676	0.7154	6.5496	6.9992	
	-20	2.963	3.359	1694.9	1968.2	5.207	1.748	1.707	33.831	44.183	0.6113	0.696	13.151	13.431	
	-10	4.013	4.39	2524.6	2825.4	3.662	1.590	1.554	26.381	33.332	0.6437	0.707	9.3998	9.7648	
	0	5.674	6.016	3662.2	3957.9	2.649	1.549	1.520	19.586	23.847	0.6689	0.712	6.4853	6.8689	
60/35/5	-51.25	-20	2.911	3.334	1687.9	1983.2	5.233	1.725	1.681	32.676	42.738	0.6015	0.6926	13.022	13.136
	-10	3.949	4.354	2522.2	2848.6	3.679	1.566	1.528	25.497	32.259	0.6347	0.7034	9.3129	9.5677	
	0	5.591	5.962	3669.1	3992	2.66	1.524	1.493	18.948	23.098	0.6607	0.708	6.428	6.745	
70/25/5	-52.07	-20	2.853	3.305	1681.2	2001.9	5.26	1.697	1.651	31.503	41.276	0.5903	0.6887	12.906	12.851
	-10	3.879	4.314	2521.1	2877	3.695	1.539	1.499	24.597	31.171	0.6246	0.6992	9.2335	9.377	
10/80/10	-49.73	-20	3.108	3.425	1756.3	1972.7	5.034	1.770	1.736	39.631	51.567	0.6382	0.704	14.339	15.263
	-10	4.189	4.485	2582.7	2816.5	3.56	1.622	1.592	30.825	38.825	0.6681	0.7158	10.232	11.035	
	0	5.908	6.166	3703.7	3927	2.587	1.595	1.570	22.803	27.69	0.691	0.7217	7.0469	7.7052	
20/70/10	-50.18	-20	3.072	3.409	1754.3	1986.7	5.046	1.751	1.716	38.449	50.087	0.6315	0.7018	14.169	14.934
	-10	4.146	4.462	2585.1	2837.2	3.568	1.604	1.573	29.919	37.723	0.662	0.7134	10.114	10.811	
	0	5.851	6.131	3713.9	3956.4	2.593	1.575	1.550	22.147	26.918	0.6854	0.7191	6.9672	7.5617	
30/60/10	-50.71	-20	3.031	3.39	1752.7	2002.9	5.059	1.729	1.693	37.262	48.605	0.6239	0.6992	14.015	14.619
	-10	4.096	4.435	2588.5	2861.1	3.576	1.582	1.550	29.008	36.619	0.655	0.7106	10.007	10.598	
40/50/10	-51.33	-20	2.985	3.368	1751.5	2022	5.072	1.704	1.666	36.066	47.117	0.6153	0.6962	13.874	14.316
	-10	4.041	4.404	2593.2	2889.1	3.585	1.558	1.524	28.089	35.508	0.6472	0.7073	9.9094	10.394	
	0	5.714	6.043	3741	4029.7	2.605	1.527	1.500	20.82	25.365	0.672	0.7124	6.829	7.2956	
50/40/10	-52.05	-20	2.934	3.343	1750.8	2044.5	5.084	1.676	1.635	34.854	45.611	0.6057	0.6926	13.744	14.021
	-10	3.979	4.369	2599.4	2922	3.592	1.531	1.495	27.154	34.382	0.6385	0.7035	9.8173	10.195	
	0	5.634	5.991	3759.1	4076	2.61	1.499	1.470	20.138	24.571	0.6641	0.7083	6.7651	7.1681	
60/30/10	-52.87	-20	2.876	3.315	1750.8	2071.5	5.092	1.643	1.600	33.614	44.077	0.5948	0.6884	13.62	13.733
	-10	3.91	4.332	2607.7	2961.3	3.597	1.499	1.463	26.192	33.228	0.6286	0.6991	9.7267	9.9982	
	0	5.548	5.936	3781.5	4131	2.613	1.467	1.437	19.431	23.752	0.6553	0.7036	6.6986	7.0391	
70/20/10	-53.79	-20	2.813	3.284	1752	2104.4	5.093	1.606	1.561	32.332	42.496	0.5827	0.6837	13.492	13.44
	-10	3.836	4.291	2618.8	3008.9	3.597	1.465	1.426	25.19	32.03	0.6178	0.6942	9.6286	9.7945	
	0	5.455	5.879	3809.4	4197.3	2.614	1.432	1.401	18.687	22.893	0.6457	0.6985	6.6217	6.9015	
10/75/15	-50.17	-20	3.114	3.434	1779.6	2000.2	4.961	1.750	1.717	40.918	53.237	0.6387	0.7048	14.785	15.715
	-10	4.197	4.496	2609	2846.8	3.52	1.609	1.579	31.835	40.09	0.6684	0.7164	10.555	11.37	

Çizelge Ek 1.9. (devam)

20/65/15	0	5.918	6.18	3731.2	3958	2.566	1.586	1.561	23.557	28.597	0.6912	0.7222	7.2736	7.9445	
	-20	3.076	3.417	1783.1	2021.2	4.965	1.725	1.691	39.68	51.7	0.6315	0.7023	14.62	15.391	
	-10	4.151	4.472	2618.5	2876.2	3.523	1.585	1.555	30.886	38.946	0.6619	0.7137	10.443	11.152	
	0	5.858	6.143	3750.3	3997.8	2.569	1.562	1.537	22.87	27.796	0.6852	0.7192	7.1991	7.8063	
30/55/15	-51.34	-20	3.034	3.398	1787.6	2045.7	4.966	1.697	1.661	38.424	50.146	0.6236	0.6994	14.464	15.073
	-10	4.1	4.444	2630	2910.3	3.525	1.559	1.527	29.921	37.786	0.6546	0.7105	10.335	10.938	
	0	5.792	6.101	3772.9	4043.9	2.571	1.535	1.509	22.169	26.982	0.6785	0.7157	7.1266	7.6704	
	-20	2.988	3.377	1793.6	2074.5	4.964	1.666	1.628	37.141	48.562	0.6147	0.6961	14.31	14.757	
40/45/15	-52.04	-10	4.045	4.415	2644.1	2950.3	3.524	1.530	1.496	28.931	36.6	0.6465	0.707	10.227	10.724
	0	5.721	6.057	3799.9	4097.8	2.572	1.506	1.478	21.446	26.145	0.6712	0.7119	7.0515	7.5326	
50/35/15	-52.82	-20	2.938	3.355	1801.4	2109	4.955	1.631	1.591	35.816	46.933	0.6049	0.6924	14.151	14.436
	-10	3.985	4.385	2661.6	2997.9	3.52	1.497	1.463	27.903	35.373	0.6376	0.7031	10.111	10.503	
60/25/15	0	5.646	6.012	3832.6	4161.7	2.57	1.473	1.445	20.69	25.271	0.6632	0.7077	6.9676	7.3868	
	-20	2.883	3.332	1811.9	2150.9	4.935	1.591	1.549	34.43	45.235	0.5941	0.6883	13.975	14.099	
	-10	3.922	4.355	2683.8	3055.6	3.508	1.461	1.425	26.818	34.085	0.6228	0.6988	9.9773	10.266	
	0	5.57	5.97	3872.7	4238.6	2.563	1.438	1.408	19.883	24.345	0.6547	0.7032	6.8658	7.2245	
70/15/15	-54.6	-20	2.825	3.31	1826.1	2202.9	4.898	1.547	1.503	32.957	43.437	0.5823	0.6839	13.766	13.73
	-10	3.857	4.328	2712.6	3127	3.485	1.422	1.384	25.653	32.706	0.6176	0.6943	9.8108	9.9975	
	0	5.496	5.935	3923.3	4333.2	2.549	1.401	1.370	19.004	23.339	0.6457	0.6986	6.7334	7.0335	

Çizelge Ek 1.10. Sabit sıcaklıkta R32/R125/R143a karışımına ait değişik kütle oranları için termodynamik ve performans değerleri

R32/R125/R143a Karışımı	KNS ($^{\circ}\text{C}$)	T _b ($^{\circ}\text{C}$)	S TK Klasik	HSK Klasik	(kJ/m ³) BO Klasik	STK/HSK Klasik	(*10 ³) W _k Klasik	(kJ/kg) Isı Değ.	O V Klasik	TT Isı Değ.	Klasik	Isı Değ.	(kJ/kg) Isı Değ.		
10/10/80	-49.52	-20	3.137	3.367	1844.1	2010.8	5.257	1.701	1.674	40.135	52.095	0.6459	0.6949	14.212	15.894
	-10	4.198	4.402	2709.1	2886.2	3.698	1.550	1.525	31.246	39.288	0.6722	0.7067	10.242	11.524	
	0	5.871	6.033	3881.8	4044.8	2.674	1.512	1.492	23.167	28.105	0.6912	0.7124	7.1531	8.0829	
10/20/70	-49.48	-20	3.123	3.367	1838.4	2014.9	5.274	1.699	1.671	38.97	50.609	0.643	0.6948	13.912	15.448
	-10	4.183	4.401	2705.8	2894.4	3.707	1.546	1.521	30.347	38.172	0.6698	0.7065	10.02	11.204	
	0	5.855	6.032	3883.7	4058.9	2.679	1.508	1.486	22.507	27.311	0.6893	0.7121	6.9934	7.8625	

Cizelge Ek 1.10. (devam)

10/30/60	-49.44	-20	3.109	3.367	1833.4	2020.6	5.289	1.696	1.666	37.794	49.111	0.6399	0.6946	13.609	15
	-10	4.168	4.401	2703.9	2904.9	3.714	1.541	1.515	29.438	37.046	0.6672	0.7062	9.7971	10.883	
	0	5.838	6.031	3888	4076.5	2.683	1.502	1.479	21.838	26.508	0.6872	0.7118	6.8318	7.6402	
10/40/50	-49.42	-20	3.093	3.367	1829.4	2028.4	5.303	1.691	1.660	36.607	47.6	0.6365	0.6943	13.306	14.55
	-10	4.151	4.4	2703.7	2918.3	3.722	1.535	1.508	28.52	35.909	0.6644	0.7059	9.5721	10.56	
10/50/40	-49.41	-20	3.076	3.367	1826.5	2038.5	5.316	1.684	1.652	35.407	46.075	0.6328	0.694	13	14.097
	-10	4.134	4.4	2705.4	2935.2	3.728	1.528	1.499	27.591	34.76	0.6613	0.7056	9.3447	10.234	
10/60/30	-49.42	-20	3.058	3.367	1824.9	2051.3	5.327	1.676	1.641	34.194	44.534	0.6288	0.6937	12.692	13.642
	-10	4.115	4.401	2709.4	2956	3.732	1.519	1.489	26.649	33.597	0.658	0.7052	9.1145	9.9051	
10/70/20	-49.46	-20	3.038	3.367	1825	2067.6	5.334	1.665	1.628	32.964	42.975	0.6244	0.6933	12.382	13.183
	-10	4.095	4.402	2716.4	2981.8	3.735	1.508	1.476	25.692	32.417	0.6543	0.7047	8.8805	9.5717	
20/10/70	-50.79	-20	3.165	3.332	2001.3	2133.7	5.261	1.581	1.562	42.944	55.674	0.6522	0.688	14.935	17.367
	-10	4.221	4.359	2924.5	3060.8	3.703	1.443	1.424	33.379	41.949	0.6766	0.7003	10.794	12.571	
20/20/60	-50.73	-20	3.157	3.333	2000	2140.6	5.278	1.579	1.557	41.782	54.189	0.6637	0.7066	7.5692	8.7976
	-10	4.212	4.361	2927.6	3073.5	3.711	1.439	1.419	32.479	40.831	0.675	0.7003	10.555	12.235	
20/30/50	-50.68	-20	3.148	3.335	1999.7	2149.2	5.293	1.574	1.552	40.609	52.693	0.6482	0.6882	14.287	16.432
	-10	4.203	4.363	2932.6	3088.8	3.719	1.433	1.413	31.571	39.703	0.6733	0.7004	10.313	11.895	
20/40/40	-50.63	-20	3.138	3.337	2000.7	2159.9	5.308	1.568	1.545	39.426	51.186	0.646	0.6882	13.957	15.958
20/50/30	-50.58	-20	3.129	3.34	2003.1	2172.8	5.322	1.562	1.537	38.234	49.666	0.6437	0.6883	13.624	15.48
20/60/20	-50.54	-20	3.119	3.344	2007.1	2188.2	5.334	1.554	1.528	37.031	48.134	0.6412	0.6885	13.287	14.996
20/70/10	-50.52	-20	3.108	3.348	2012.9	2206.7	5.344	1.544	1.517	35.819	46.591	0.6386	0.6886	12.947	14.508

Çizelge Ek 1.10. (devam)

-10	4.169	4.383	2976.5	3184.3	3.74	1.401	1.376	27.843	35.084	0.6659	0.7009	9.3036	10.492	
0	5.847	6.02	4290	4483.3	2.692	1.363	1.343	20.6	25.047	0.686	0.7073	6.4688	7.3314	
30/10/60	-51.51	-20	3.213	3.321	2150.1	2244.3	5.24	1.494	1.480	45.712	59.166	0.6611	0.6844	
	-10	4.276	4.352	3127.9	3219	3.689	1.367	1.352	35.439	44.495	0.6842	0.6975	15.49	18.675
30/20/50	-51.43	-20	3.208	3.324	2151.8	2252.5	5.259	1.491	1.476	44.568	57.703	0.6599	0.6846	
	-10	4.272	4.356	3135.6	3234.2	3.698	1.362	1.347	34.552	43.392	0.6833	0.6978	11.191	13.458
30/30/40	0	5.951	5.981	4441.4	4509	2.669	1.340	1.326	26.157	31.728	0.7001	0.7049	7.8433	9.3638
	0	5.95	5.988	4459.2	4534.7	2.673	1.334	1.320	25.501	30.937	0.6995	0.7051	7.6623	9.1228
30/40/30	-51.36	-20	3.203	3.326	2154.6	2262.2	5.277	1.487	1.470	43.417	56.233	0.6586	0.6848	
	-10	4.268	4.36	3145.2	3251.9	3.707	1.357	1.341	33.66	42.282	0.6824	0.698	14.822	18.202
30/50/20	0	5.949	5.995	4479.9	4563.9	2.677	1.328	1.314	24.839	30.14	0.6989	0.7054	10.943	13.114
	-20	3.198	3.33	2158.6	2273.7	5.295	1.481	1.465	42.261	54.756	0.6573	0.6851	7.6623	9.1228
30/60/10	-51.28	-10	4.264	4.365	3156.9	3272.2	3.715	1.351	1.334	32.762	41.165	0.6814	0.6984	
	0	5.949	6.004	4504	4597.1	2.68	1.321	1.306	24.173	29.337	0.6984	0.7058	10.692	12.767
30/70/0	-51.2	-20	3.193	3.334	2163.9	2286.9	5.313	1.476	1.458	41.101	53.273	0.6559	0.6854	
	-10	4.261	4.372	3170.8	3295.4	3.723	1.344	1.327	31.86	40.044	0.6805	0.6988	14.483	17.243
30/80/-10	0	5.95	6.015	4531.8	4634.7	2.683	1.313	1.298	23.501	28.529	0.6979	0.7063	14.141	16.759
	-20	3.188	3.338	2170.6	2302.2	5.332	1.469	1.450	39.938	51.787	0.6545	0.6858	13.797	16.272
30/90/-20	-51.13	-10	4.258	4.378	3187.2	3321.8	3.731	1.336	1.318	30.954	38.918	0.6795	0.6992	
	0	5.952	6.027	4563.8	4677.2	2.686	1.304	1.289	22.826	27.717	0.6974	0.7068	9.9215	11.706
30/100/-30	0	5.95	6.042	4604.2	4727.7	2.686	1.304	1.289	22.826	27.717	0.6974	0.7068	6.9078	8.1254

Çizelge Ek 1.11. Sabit sıcaklıkta R32/R125/R134a karışımına ait değişik kütle oranları için termodynamik ve performans değerleri

R32/R125/R134a Karışımlı	KNS (°C)	T _b °C	S TK Klasik İsi Değ.	HSK Klasik İsi Değ.	(kJ/m ³) BO Klasik İsi Değ.	STK/HSK (*10 ⁻³) Klasik İsi Değ.	W _k (kJ/kg) Klasik İsi Değ.	O V Klasik İsi Değ.	TT (kJ/kg) Klasik İsi Değ.					
5/5/90	-31.78	-20	3.282	3.444	1007.7	1064.5	3.257	42.582	53.211	0.684	0.725	13.455	14.633	
	-10	4.341	4.482	1552.5	1616.2	4.707	2.796	2.773	33.568	40.598	0.7065	0.7369	9.8533	10.682
15/5/80	0	5.981	6.091	2316.3	2377.6	3.231	2.582	2.562	25.331	29.575	0.7201	0.7411	7.0911	7.6581
	-20	3.134	3.24	1138.9	1183.1	7.396	2.752	2.739	47.933	59.922	0.6659	0.699	16.013	18.034
	-10	4.11	4.192	1742.7	1790.2	4.923	2.358	2.342	37.952	45.955	0.685	0.7094	11.956	13.354

Cizelge Ek 1.11. (devam)

25/5/70	-41.18	-20	3.069	3.13	1283.3	1312.8	7.407	2.391	2.384	52.415	65.563	0.6596	0.683	17.844	20.786
	-10	4.01	4.046	1950.2	1979	4.95	2.056	2.044	41.487	50.3	0.677	0.6934	13.398	15.423	
35/5/60	-43.87	-20	3.051	3.075	1441.6	1454.3	7.251	2.116	2.114	56.232	70.403	0.6589	0.6725	19.184	23.059
	-10	3.983	3.98	2175.3	2182.8	4.868	1.831	1.823	44.385	53.901	0.6756	0.6836	14.397	17.053	
45/5/50	-45.91	-20	3.065	3.054	1614.3	1607.8	7.001	1.899	1.899	59.485	74.577	0.6614	0.6657	20.143	24.928
	-10	4.004	3.965	2418.3	2401.6	4.724	1.656	1.651	46.761	56.9	0.6778	0.6778	15.057	18.321	
55/5/40	-47.53	-20	3.103	3.06	1801.9	1773.7	6.699	1.722	1.725	62.232	78.167	0.6661	0.6619	20.78	26.431
	-10	4.061	3.986	2679.3	2635.2	4.546	1.516	1.513	48.683	59.382	0.683	0.6755	15.433	19.27	
65/5/30	-48.85	-20	3.159	3.086	2004.8	1952	6.373	1.576	1.581	64.516	81.227	0.6726	0.6603	21.124	27.59
	-10	4.145	4.037	2958.2	2883.4	4.351	1.401	1.400	50.198	61.408	0.69	0.6755	15.56	19.929	
75/5/20	-49.95	-20	3.232	3.128	2223.3	2142.9	6.04	1.454	1.460	66.365	83.798	0.6806	0.6608	21.196	28.424
	-10	4.254	4.111	3255.2	3146.1	4.15	1.307	1.307	51.341	63.018	0.6989	0.6776	15.458	20.319	
5/10/85	-33.08	-20	5.84	5.647	4640.4	4497	2.94	1.259	1.256	37.958	45.125	0.7092	0.6887	11.26	14.015
	-10	4.273	4.423	1579	1649.1	4.742	2.706	2.682	33.396	40.437	0.6986	0.7317	10.064	10.849	
15/10/75	-38.45	-20	3.102	3.216	1162	1211.4	7.388	2.669	2.655	47.451	59.395	0.6608	0.6959	16.097	18.06
	-10	4.068	4.159	1777.5	1831	4.923	2.289	2.271	37.587	45.57	0.68	0.7061	12.029	13.395	
25/10/65	-42.01	-20	3.049	3.118	1313.4	1347.7	7.357	2.321	2.314	51.743	64.812	0.6561	0.6809	17.795	20.681
	-10	3.986	4.03	1994.6	2028.9	4.923	1.998	1.986	40.948	49.716	0.6739	0.6912	13.355	15.35	
35/10/55	-44.59	-20	3.042	3.071	1479.7	1496.7	7.168	2.056	2.052	55.369	69.431	0.6567	0.6713	19.009	22.821
	-10	3.974	3.977	2230.6	2242.8	4.82	1.782	1.773	43.677	53.125	0.6738	0.6825	14.247	16.867	
45/10/45	-46.55	-20	3.065	3.06	1661.6	1658.8	6.891	1.845	1.845	58.427	73.382	0.6604	0.6654	19.843	24.551
	-10	4.009	3.974	2485.9	2472.9	4.66	1.613	1.607	45.884	55.933	0.6774	0.6778	14.802	18.02	
	0	5.443	5.371	3612.2	3581	3.254	1.507	1.500	34.607	40.813	0.6854	0.6826	10.888	12.955	

Cizelge Ek 1.11. (devam)

55/10/35	-48.1	-20	3.112	3.074	1859.7	1834.2	6.569	1.673	1.676	60.973	76.743	0.6662	0.6624	20.352	25.907
	-10	4.079	4.008	2760.5	2718.9	4.469	1.478	1.474	47.634	58.224	0.6835	0.6762	15.074	18.851	
	0	5.558	5.446	3983.4	3918.2	3.137	1.395	1.390	35.682	42.212	0.6922	0.6828	10.984	13.389	
65/10/25	-49.37	-20	3.179	3.108	2074.5	2023.2	6.229	1.532	1.536	63.047	79.567	0.6738	0.6618	20.564	26.913
	-10	4.177	4.071	3054.5	2980.7	4.264	1.367	1.366	48.975	60.056	0.6918	0.6772	15.095	19.389	
75/10/15	-50.43	-20	3.262	3.159	2306.3	2225.9	5.885	1.414	1.419	64.678	81.892	0.683	0.6631	20.5	27.586
	-10	4.301	4.158	3368.1	3258.1	4.057	1.277	1.276	49.94	61.468	0.7019	0.6803	14.886	19.654	
	0	5.719	5.566	4376.5	4273.2	3.011	1.307	1.303	36.404	43.221	0.7014	0.6858	10.869	13.578	
	0	5.921	5.726	4791.1	4645.3	2.881	1.236	1.233	36.81	43.88	0.713	0.6913	10.564	13.547	
5/15/80	-34.32	-20	3.186	3.367	1043.3	1111.5	7.172	3.054	3.029	41.974	52.58	0.6689	0.7161	13.897	14.93
	-10	4.21	4.37	1607.3	1684.3	4.767	2.619	2.595	33.169	40.211	0.6914	0.727	10.236	10.98	
	0	5.786	5.914	2398.3	2473.5	3.279	2.413	2.391	25.126	29.401	0.7048	0.7299	7.4169	7.9409	
15/15/70	-39.42	-20	3.073	3.195	1187	1242	7.364	2.589	2.573	46.911	58.799	0.6559	0.6931	16.141	18.046
	-10	4.031	4.13	1815	1875	4.914	2.221	2.203	37.168	45.123	0.6754	0.703	12.065	13.4	
	0	5.484	5.551	2689.8	2744.6	3.392	2.039	2.022	28.307	33.191	0.6854	0.7047	8.9045	9.8019	
25/15/60	-42.82	-20	3.032	3.108	1345.9	1385.5	7.292	2.253	2.243	51.008	63.989	0.6529	0.6791	17.704	20.532
	-10	3.967	4.018	2042.5	2082.7	4.888	1.942	1.929	40.353	49.067	0.671	0.6894	13.275	15.239	
	0	5.38	5.397	3006.3	3037.4	3.387	1.790	1.777	30.701	36.077	0.6797	0.6915	9.8339	11.129	
35/15/50	-45.28	-20	3.035	3.071	1521.1	1542.8	7.07	1.995	1.991	54.439	68.382	0.6549	0.6704	18.79	22.536
	-10	3.97	3.979	2290.4	2307.7	4.764	1.733	1.724	42.91	52.281	0.6724	0.6817	14.059	16.641	
	0	5.386	5.36	3347.8	3351.5	3.317	1.609	1.599	32.508	38.297	0.6807	0.6851	10.381	12.061	
45/15/40	-47.16	-20	3.069	3.069	1713.2	1714.3	6.769	1.791	1.790	57.295	72.103	0.6597	0.6655	19.496	24.122
	-10	4.019	3.989	2559.1	2550.2	4.587	1.570	1.564	44.942	54.894	0.6772	0.678	14.508	17.676	
	0	5.467	5.399	3713.9	3686.1	3.21	1.472	1.465	33.838	39.982	0.6857	0.683	10.634	12.673	
55/15/30	-48.65	-20	3.126	3.092	1922.9	1900.3	6.429	1.626	1.627	59.632	75.226	0.6668	0.6633	19.872	25.326
	-10	4.103	4.036	2848.7	2809.8	4.385	1.440	1.436	46.516	56.988	0.6846	0.6774	14.673	18.385	
	0	5.604	5.494	4104	4040.6	3.086	1.366	1.360	34.764	41.219	0.6938	0.6844	10.643	13.009	
65/15/20	-49.87	-20	3.203	3.135	2150.8	2101.1	6.074	1.489	1.492	61.489	77.804	0.6756	0.6636	19.949	26.172
	-10	4.216	4.111	3159.3	3086.6	4.172	1.334	1.332	47.678	58.62	0.6941	0.6793	14.585	18.798	
	0	5.788	5.635	4517.6	4414.1	2.953	1.281	1.277	35.339	42.066	0.7045	0.6885	10.442	13.102	
75/15/10	-50.89	-20	3.298	3.196	2397.6	2317.1	5.721	1.376	1.379	62.893	79.875	0.6861	0.666	19.743	26.678
	-10	4.356	4.212	3491.4	3380.4	3.957	1.248	1.246	48.459	59.829	0.7056	0.6835	14.267	18.935	
	0	6.016	5.818	4954.7	4806	2.82	1.214	1.211	35.598	42.563	0.7176	0.6952	10.053	12.973	

Çizelge Ek 1.12. Sabit sıcaklıkta R125/R290/R134a karışımına ait değişik kitle oranları için termodynamik ve performans değerleri

R125/R290/R134a KNS Karışımı (°C)	T _b °C	S TK Klasik Isı Değ.	HSK (kJ/m ³) Klasik Isı Değ.	STK/HSK (*10 ⁻³) Klasik Isı Değ.	W _k (kJ/kg) Klasik Isı Değ.	O V Isı Değ. Klasik Isı Değ.	TT (kJ/kg) Klasik Isı Değ.
10/5/85	-49.85	-20 2.824 3.055	987.21 1077.7 7.971	2.861 45.443	56.798 0.6055	0.6847	17.929 17.911
	-10 3.704 3.916	1530.9 1635.8 5.287	2.420 2.394	36.381 43.994	0.6278 0.6951	13.541 13.416	
20/5/75	-49.98	0 5.018 5.202	2297 2404.9 3.631	2.185 2.163	28.095 32.787	0.6415 0.6961	10.071 9.9649
	-20 2.775 3.026	1025.7 1130.7 7.863	2.705 2.676	44.188 55.388	0.5982 0.6817	17.757 17.631	
30/5/65	-10 3.647 3.879	1590.5 1712.3 5.228	2.293 2.265	35.357 42.876	0.6218 0.6914	13.371 13.23	
	0 4.951 5.154	2386.6 2512.2 3.599	2.074 2.052	27.285 31.927	0.6367 0.6918	9.9116 9.8386	
40/5/55	-50.29	-20 2.732 3.005	1070.5 1192.6 7.704	2.552 2.520	42.767 53.784	0.5913 0.6788	17.48 17.274
	-10 3.601 3.856	1659.5 1801.2 5.137	2.170 2.141	34.181 41.585	0.6163 0.6881	13.115 12.972	
50/5/45	0 4.903 5.128	2489.5 2635.9 3.546	1.969 1.945	26.338 30.915	0.6325 0.6881	9.6792 9.6425	
	-50.73	-20 2.695 2.994	1123 1265.9 7.489	2.400 2.365	41.166 51.971	0.5848 0.6762	17.093 16.829
60/5/35	-10 3.566 3.846	1739.8 1905.3 5.013	2.050 2.019	32.844 40.112	0.6112 0.6851	12.768 12.633	
	0 4.874 5.124	2608.6 2779.8 3.472	1.868 1.843	25.248 29.743	0.6288 0.685	9.3707 9.3699	
70/5/25	-51.28	-20 2.667 2.995	1185.3 1353.7 7.218	2.250 2.212	39.368 49.93	0.5786 0.6739	16.588 16.283
	-10 3.543 3.853	1834.1 2028.7 4.853	1.932 1.899	31.334 38.442	0.6067 0.6826	12.325 12.201	
80/5/15	0 4.868 5.146	2747.3 2948.4 3.376	1.772 1.745	24.006 28.404	0.6258 0.6827	8.982 9.0132	
	-51.93	-20 2.647 3.009	1260 1460.2 6.886	2.101 2.061	37.353 47.638	0.5729 0.6722	15.955 15.616
90/5/0	-10 3.536 3.88	1945.8 2176.4 4.658	1.817 1.783	29.638 36.563	0.6026 0.6811	11.778 11.662	
	0 4.888 5.2	2909.7 3147.5 3.257	1.680 1.652	22.607 26.891	0.6236 0.6813	8.509 8.5698	
10/10/80	-52.66	-20 2.639 3.04	1350.4 1591 6.495	1.911 1.911	35.103 45.076	0.5675 0.6714	15.182 14.813
	-10 3.547 3.931	2078.8 2354.6 4.426	1.706 1.670	27.748 34.464	0.599 0.6801	11.126 11.026	
20/10/70	0 4.94 5.292	3100.4 3384 3.117	1.593 1.564	21.049 25.202	0.6219 0.681	7.9588 8.0382	
	-20 2.662 2.919	1036.8 1147.4 7.871	2.567 2.544	47.969 59.907	0.5866 0.6827	19.833 19.011	
30/10/60	-51.41	-20 3.662 3.919	1350.4 1591 6.495	1.911 1.911	35.103 45.076	0.5675 0.6714	15.182 14.813
	-10 3.504 3.745	1610 1739.1 5.228	2.176 2.153	38.356 46.35	0.6148 0.6938	14.775 14.192	
40/10/50	0 4.764 4.978	2417.8 2552.2 3.597	1.970 1.950	29.586 34.507	0.6346 0.6927	10.812 10.602	
	-20 2.635 2.912	1083.5 1210.7 7.674	2.432 2.405	46.356 58.087	0.5826 0.6802	19.351 18.576	
50/10/40	-10 3.48 3.741	1681.8 1830 5.113	2.069 2.044	37 44.861	0.6116 0.6876	14.369 14.015	
	0 4.748 4.982	2524.5 2678.8 3.528	1.881 1.860	28.471 33.313	0.6317 0.6863	10.485 10.45	
60/10/30	-20 2.613 2.914	1138 1285.1 7.434	2.296 2.268	44.579 56.08	0.5786 0.6745	18.786 18.253	
	-10 3.465 3.749	1764.9 1936 4.971	1.963 1.936	35.499 43.209	0.6085 0.6822	13.899 13.731	
70/10/20	0 4.748 5.005	2647.1 2825 3.442	1.794 1.772	27.231 31.982	0.6279 0.6817	10.131 10.18	
	0						

Qizege Ek 1.12. (devam)

40/10/50	-52.36	-20	2.598	2.925	1202.2	1373.6	7.147	2.161	2.129	42.618	53.863	0.5746	0.6702	18.129	17.763
	-10	3.461	3.771	1861.8	2060.6	4.801	1.859	1.830	33.84	41.382	0.6041	0.6786	13.397	13.301	
	0	4.768	5.05	2788.8	2995.1	3.339	1.710	1.686	25.857	30.504	0.6244	0.6789	9.7112	9.7958	
50/10/40	-52.91	-20	2.591	2.948	1278.6	1480.1	6.811	2.026	1.992	40.454	51.414	0.5695	0.6708	17.416	16.926
	-10	3.47	3.811	1975.6	2208.3	4.602	1.756	1.726	32.01	39.365	0.6022	0.6786	12.735	12.652	
	0	4.809	5.121	2953.2	3193.9	3.218	1.628	1.603	24.343	28.874	0.6239	0.6786	9.1563	9.2806	
60/10/30	-53.55	-20	2.594	2.986	1370	1609.4	6.427	1.893	1.855	38.066	48.712	0.566	0.6675	16.52	16.199
	-10	3.494	3.871	2109.5	2384.6	4.374	1.656	1.623	30	37.148	0.5993	0.6776	12.021	11.978	
	0	4.878	5.225	3143.9	3427.2	3.08	1.552	1.525	22.687	27.089	0.6231	0.6779	8.5508	8.6953	
70/10/20	-54.27	-20	2.608	3.042	1479.5	1767.9	5.997	1.763	1.721	35.441	45.743	0.5626	0.6684	15.502	15.166
	-10	3.536	3.956	2266.9	2595.6	4.121	1.560	1.524	27.81	34.73	0.5969	0.6778	11.211	11.183	
	0	4.976	5.367	3364	3700.5	2.927	1.479	1.450	20.895	25.157	0.6228	0.6807	7.8823	8.0323	
10/15/75	-50.86	-20	2.627	2.907	1107.5	1236.9	7.389	2.372	2.350	49.048	61.261	0.5916	0.6793	20.034	19.648
	-10	3.488	3.754	1719.5	1870.7	4.92	2.028	2.007	38.943	47.071	0.6208	0.6884	14.768	14.665	
	0	4.793	5.035	2580.2	2738	3.395	1.858	1.839	29.755	34.717	0.6407	0.6895	10.69	10.778	
20/15/65	-51.27	-20	2.616	2.917	1164.7	1312.9	7.151	2.246	2.222	47.173	59.154	0.5864	0.6796	19.511	18.952
	-10	3.487	3.774	1806.2	1978.9	4.78	1.931	1.907	37.357	45.336	0.6212	0.6875	14.153	14.165	
	0	4.813	5.075	2707.1	2886.8	3.311	1.778	1.758	28.447	33.319	0.64	0.6877	10.241	10.405	
30/15/55	-51.78	-20	2.612	2.936	1231.7	1402.8	6.875	2.121	2.093	45.122	56.85	0.5849	0.6739	18.729	18.541
	-10	3.497	3.808	1906.7	2105.3	4.617	1.834	1.809	35.624	43.438	0.6139	0.6845	13.756	13.705	
	0	4.85	5.136	2852.4	3058.4	3.212	1.700	1.679	27.02	31.792	0.6372	0.6857	9.8021	9.9915	
40/15/45	-52.39	-20	2.616	2.967	1310.8	1509.9	6.559	1.996	1.965	42.877	54.327	0.5818	0.6728	17.93	17.776
	-10	3.519	3.857	2023.6	2253.6	4.431	1.739	1.711	33.734	41.368	0.6134	0.683	13.042	13.115	
	0	4.908	5.22	3019.1	3256.7	3.101	1.626	1.603	25.47	30.134	0.6357	0.6858	9.279	9.4673	
50/15/35	-53.1	-20	2.629	3.011	1404.6	1638.7	6.204	1.872	1.837	40.423	51.569	0.5778	0.673	17.068	16.863
	-10	3.555	3.925	2159.5	2428.2	4.223	1.646	1.616	31.685	39.122	0.6109	0.6839	12.328	12.365	
60/15/25	-53.87	-20	2.652	3.072	1515.4	1793.9	5.815	1.750	1.712	37.756	48.574	0.5751	0.6716	16.043	15.952
	-10	3.606	4.013	2316	2633	3.997	1.557	1.524	29.486	36.714	0.6103	0.6824	11.491	11.661	
	0	5.092	5.473	3423.8	3746.7	2.844	1.487	1.461	22.039	26.462	0.6332	0.6862	8.083	8.3032	
70/15/15	-54.72	-20	2.684	3.149	1644.1	1979.4	5.402	1.633	1.591	34.905	45.376	0.57	0.6736	15.009	14.813
	-10	3.669	4.122	2492.2	2869.6	3.762	1.472	1.436	27.175	34.187	0.6055	0.6845	10.719	10.788	
	0	5.214	5.64	3659.1	4040.2	2.707	1.425	1.396	20.212	24.509	0.6332	0.6886	7.4133	7.6315	

Çizelge Ek 1.13. Sabit sıcaklıkta R32/R125/R290/R134a karışımına ait değişik kütle oranları için termodynamik ve performans değerleri

R32/R125/R290/R134a Karışımı	KNS (°C)	T _b °C	S TK Klasik	HSK Klasik	(kJ/m ³) BO İsi Değ.	STK/HSK (*10 ³) İsi Değ.	W _k (kJ/kg)	O V Klasik İsi Değ.	TT (kJ/kg) Klasik İsi Değ.
1) 10/65/5/20	-55.17	-20	2.698	3.004	1566.2	1776.6	6.402	1.723	1.691
	-10	3.6	3.886	2379.6	2617.1	4.384	1.513	1.485	30.67
	0	4.978	5.231	3508.5	3747.2	3.099	1.419	1.396	23.219
2) 20/55/5/20	-56.56	-20	2.761	2.976	1711.8	1870.9	6.434	1.613	1.591
	-10	3.658	3.851	2578.3	2754.4	4.408	1.419	1.398	43.72
	0	5.027	5.185	3772	3942.9	3.117	1.333	1.315	34.433
3) 30/45/5/20	-57.55	-20	2.819	2.961	1840.2	1951.5	6.428	1.532	1.517
	-10	3.719	3.836	2752.1	2871.2	4.407	1.351	1.336	38.138
	0	5.09	5.171	4000.7	4108.5	3.118	1.272	1.259	28.769
4) 40/35/5/20	-58.32	-20	2.87	2.951	1952.5	2019.8	6.408	1.470	1.461
	-10	3.775	3.829	2903.1	2969.6	4.397	1.300	1.289	53.371
	0	5.154	5.171	4197.9	4247.5	3.111	1.228	1.217	41.852
5) 50/25/5/20	-58.96	-20	2.914	2.944	2050.5	2077.4	6.385	1.421	1.417
	-10	3.825	3.826	3034	3052.4	4.384	1.261	1.253	45.61
	0	5.213	5.175	32367.4	4364.1	3.104	1.194	1.186	34.244
6) 60/15/5/20	-59.5	-20	2.951	2.938	2135.9	2126.1	6.364	1.382	1.382
	-10	3.868	3.823	3147.3	3122	4.371	1.229	1.225	63.293
	0	5.265	5.18	4513.2	4461.8	3.096	1.167	1.161	37.032
7) 10/55/5/30	-54.6	-20	2.681	2.954	1448.9	1622	6.842	1.850	1.821
	-10	3.556	3.808	2211.3	2407.8	4.647	1.608	1.582	49.429
	0	4.88	5.099	3272.7	3470.7	3.261	1.491	1.469	30.211
8) 30/55/5/10	-57.94	-20	2.88	3.044	2013.2	2153.5	5.951	1.431	1.413
	-10	3.541	3.669	2108.9	2206.5	5.114	1.679	1.663	41.059
	0	4.775	5.375	4323.3	4459	2.938	1.220	1.205	32.902
9) 20/25/5/50	-55.45	-20	2.711	2.86	1384.9	1472.6	7.604	1.958	1.942
	-10	3.56	3.706	2238.5	2357	4.91	1.590	1.572	51.527
10) 20/35/5/40	-55.75	-20	2.714	2.882	1473.8	1580.2	7.266	1.842	1.824
	-10	3.56	4.94	3298.1	3412.7	3.429	1.463	1.448	31.578
	0	4.825	4.94						49.193

Cizelge Ek 1.13.(devam)

11) 20/45/5/30	-56.12	-20	2.73	2.92	1581	1710.6	6.876	1.727	1.707	46.6	59.273	0.5957	0.6544	18.839	20.485
	-10	3.597	3.765	2392.8	2536.9	4.674	1.503	1.484	36.87	45.448	0.6183	0.6636	14.072	15.287	
	0	4.907	5.041	3515.1	3654.8	3.283	1.396	1.379	28.066	33.411	0.6319	0.6646	10.33	11.207	
12) 20/65/5/10	-57.05	-20	2.811	3.056	1873.2	2070.5	5.946	1.501	1.476	40.53	52.335	0.5981	0.6615	16.291	17.715
	-10	3.748	3.971	2802.4	3019.5	4.114	1.337	1.315	31.754	39.736	0.6243	0.6718	11.929	13.043	
	0	5.195	5.381	4077.4	4287.2	2.935	1.274	1.255	23.812	28.768	0.6423	0.6749	8.5164	9.3516	

Cizelge Ek 1.14. Sabit sıcaklıkta R12 ve alternatif karşıtları için termodynamik ve performans değerleri

R12 ve Alternatifleri	KNS (°C)	T _b °C	S TK Klasik	HSK Klasik	(kJ/m ³) İsi Değ.	BO Klasik	STK/HSK (*10 ³) İsi Değ.	W _k (kJ/kg) İsi Değ.	O V Klasik	TT (kJ/kg)	Klasik	İsi Değ.	Klasik	İsi Değ.	
1) R152a/R134a -25.49	-20	3.515	3.663	922.78	966.08	6.695	3.809	3.792	42.932	53.439	0.7203	0.7507	12.008	13.324	
14/86	-10	4.683	4.81	1421.3	1469.4	4.432	3.295	3.273	33.562	40.428	0.7453	0.7656	8.5494	9.475	
0	6.534	6.631	2119.9	2165.2	3.037	3.082	3.062	24.988	29.059	0.7626	0.7741	5.9328	6.5642		
2) R600a/R134a -29.45	-20	3.391	3.668	983.66	1074.2	6.155	3.447	3.415	42.097	52.859	0.6946	0.7514	12.857	13.143	
18/82	-10	4.545	4.807	1501.5	1604.3	4.152	3.027	2.996	32.972	40.039	0.7229	0.7645	9.1368	9.4307	
0	6.373	6.608	2221	2324.2	2.895	2.869	2.843	24.609	28.822	0.7434	0.7709	6.3145	6.6037		
3) R12	-29.75	-20	3.571	3.701	996.19	1039.7	5.621	3.585	3.560	30.68	38.076	0.7314	0.7558	8.239	9.2132
	-10	4.745	4.857	1473.6	1519.9	3.871	3.220	3.196	24.069	28.845	0.7545	0.7724	5.9078	6.5661	
	0	6.602	6.69	2118.8	2161.2	2.748	3.116	3.095	17.981	20.772	0.7698	0.78	4.1387	4.5692	
4) R290/R600a -29.98	-20	3.013	3.268	690.97	750.44	7.36	4.361	4.355	83.668	103.01	0.6535	0.7246	28.992	28.363	
40/60	-10	83.668	4.173	1049.5	1118.8	4.965	79.721	7.730	67.411	80.271	0.672	0.7287	22.112	21.776	
0	5.52			1617.7	3.461	3.412		60.258		0.7232		16.679			
5) R290/R600a -30.87	-20	3.001	3.253	710.1	770.74	4.226	4.221	84.15	103.65	0.6523	0.7225	29.255	28.761		
43/57	-10	3.915	4.154	1077.3	1147.7	4.95	3.634	3.619	67.793	80.765	0.6708	0.7266	22.317	22.08	
0	5.277	5.494	1584.4	1657.9	3.454	3.331	3.314	52.723	60.629	0.6791	0.7212	16.92	16.904		
6) R290/R600a -32.27	-20	2.989	3.236	744.21	806.92	7.251	4.016	4.010	84.774	104.5	0.6512	0.7196	29.567	29.302	
48/52	-10	3.899	4.132	1126.5	1199.2	4.908	3.461	3.446	68.262	81.395	0.6697	0.7239	22.545	22.477	
0	5.255	5.467	1653.7	1729.1	3.432	3.178	3.162	53.059	61.07	0.6781	0.7187	17.082	17.182		

Cizelge El 1.14. (devam)

7) R290/R600a	-32.79	-20	2.986	3.231	758.69	822.28	7.212	3.936	3.929	84.96	104.77	0.651	0.7187	29.647	29.475
50/50	-10	3.895	4.127	1147.4	1221	4.886	3.395	3.380	68.39	81.578	0.6696	0.723	22.597	22.597	
0	5.252	5.461	1682.9	1759.2	3.419	3.121	3.104	53.139	61.184	0.678	0.7179	17.111	17.258		
8) R290/R600a	-34.28	-20	2.984	3.224	805.41	871.82	7.066	3.705	3.698	85.294	105.3	0.6514	0.7166	29.735	29.843
56/44	-10	3.896	4.122	1214.4	1290.9	4.801	3.208	3.193	68.569	81.891	0.6701	0.7213	22.618	22.822	
0	5.259	5.463	1776.5	1855.3	3.369	2.960	2.944	53.188	61.315	0.6788	0.7168	17.082	17.367		
9) R290/R600a	-35.2	-20	2.989	3.227	839.59	908.05	6.947	3.560	3.554	85.324	105.43	0.6523	0.7159	29.665	29.956
60/40	-10	3.906	4.129	1263.2	1341.8	4.73	3.092	3.077	68.513	81.897	0.6713	0.7209	22.521	22.857	
0	5.279	5.48	1844.4	1924.9	3.326	2.862	2.847	53.061	61.222	0.6803	0.7168	16.965	17.339		
10) R290/R600a	-37.27	-20	3.026	3.258	937.99	1012.3	6.579	3.226	3.219	84.685	104.9	0.6572	0.7164	29.026	29.747
70/30	-10	3.967	4.183	1402.5	1486.8	4.509	2.829	2.813	67.73	81.173	0.677	0.7226	21.877	22.52	
0	5.385	5.579	2036.3	2121.7	3.188	2.644	2.629	52.164	60.341	0.687	0.7199	16.326	16.902		
11) R290/R600a	-39.08	-20	3.102	3.33	1060.3	1141.6	6.121	2.926	2.917	82.923	103.06	0.6662	0.721	27.677	28.752
80/20	-10	4.084	4.296	1572.9	1664	4.229	2.596	2.582	65.962	79.314	0.6872	0.7286	20.632	21.524	
0	5.583	5.771	2268.2	2358.9	3.012	2.461	2.446	50.4	58.486	0.6989	0.7279	15.176	15.912		
12) R290/R600a	-40.67	-20	3.229	3.454	1216.3	1306.3	5.585	2.655	2.644	79.872	99.696	0.6805	0.7308	25.521	26.841
90/10	-10	4.276	4.484	1786.2	1885.2	3.899	2.394	2.379	63.093	76.191	0.7032	0.7403	18.728	19.785	
0	5.901	6.083	2553.3	2649.7	2.803	2.311	2.296	47.699	55.577	0.7173	0.7423	13.486	14.32		
13) R290/R134a	-49.91	-20	2.88	3.091	953.78	1032	8.032	3.020	2.995	46.542	58.027	0.6132	0.6878	18.001	18.118
5/95	-10	3.771	3.964	1478.8	1569.4	5.316	2.550	2.526	37.261	44.949	0.6343	0.6996	13.626	13.505	
0	5.103	5.268	2218.4	2311.2	3.644	2.300	2.279	28.771	33.5	0.6469	0.7007	10.159	10.026		

Çizelge Ek 1.15. Sabit sıcaklıkta R22 ve alternatif kanışmları için termodynamik ve performans değerleri

R22 ve Alternatifleri	KNS (°C)	T _b (°C)	S TK Klasik	HSK Isı Değ.	BO (kJ/m ³)	STK/HSK (*10 ⁻³)	W _k (kJ/kg)	O V	TT (kJ/kg)
						Klasik Isı Değ.	Klasik Isı Değ.	Klasik Isı Değ.	Klasik Isı Değ.
1) R32/R134a 25/75	-40.31	-20	3.092	3.146	1255.5	7.443	2.457	53.028	66.243
	-10	4.038	4.067	1908.9	1932.7	4.968	2.115	2.104	41.971
2) R22	0	5.468	5.465	2814	2828.7	3.429	1.943	1.932	31.953
	-20	3.554	3.502	1659.1	1633.8	5.528	2.142	2.143	43.336
3) R32/R134a 30/70	-10	4.707	4.623	2419.8	2381.6	3.821	1.945	1.941	33.598
	0	6.533	6.408	3435	3379.5	2.722	1.902	1.896	24.795
4) R32/R125/ R134a 30/10/60	-20	3.073	3.108	1329.3	1346.4	7.399	2.312	2.308	55.104
	-10	4.01	4.019	2014.4	2028.2	4.948	1.991	1.982	43.574
5) R32/R125/ R134a 10/70/20	0	5.424	5.4	2960.6	2963.4	3.422	1.832	1.822	33.149
	-20	3.041	3.089	1394.6	1420.6	7.277	2.180	2.174	53.632
6) R290/R134a 46/54	-10	3.973	3.996	2110.2	2133.8	4.881	1.883	1.873	42.383
	0	5.382	5.371	3097.6	3110.1	3.385	1.737	1.727	32.214
7) R32/R125 50/50	-46.8	-20	2.927	3.216	1525.3	1706	6.225	1.919	1.885
	-10	3.913	4.179	2315.3	2517.7	4.255	1.690	1.660	28.068
8) R32/R125/ R290/R134a 20/55/5/20	0	5.439	5.671	3412.1	3612.6	3.002	1.594	1.570	21.108
	-20	3.263	3.593	1665.3	1853.2	4.738	1.959	1.939	49.732
9) R32/R125 20/55/5/20	-10	4.376	4.694	2406	2609	3.394	1.819	1.799	39.076
	0	6.138	6.434	3390.2	3587.1	2.497	1.811	1.794	29.252
10) R32/R125 20/55/5/20	-51.6	-20	3.305	3.323	2417.2	2444.5	5.346	1.367	1.359
	-10	4.397	4.378	3521.8	3534.2	3.733	1.249	1.239	36.566
11) R32/R125/ R290/R134a 20/55/5/20	0	6.128	6.057	5005.8	4986.1	2.682	1.224	1.215	26.797
	-10	3.658	3.851	2578.3	2754.4	6.434	1.613	1.591	55.982
12) R32/R125/ R290/R134a 20/55/5/20	0	5.027	5.185	3772	3942.9	3.117	1.333	1.315	31.193
	-10	3.027	3.185	5.185	5.354	1.333	1.315	1.315	9.64

Çizelge Ek 1.16. Sabit sıcaklıkta R502 ve alternatif karışıntıları için termodynamik ve performans değerleri

R502 ve Alternatifleri	KNS (°C)	T _b (°C)	S TK Klasik	HSK Klasik	(kJ/m ³) Isı Değ.	BO	STK/HSK (*10 ⁻³)	W _k (kJ/kg)	O V	TT (kJ/kg)	
						Klasik	Isı Değ.	Klasik	Isı Değ.	Klasik	Isı Değ.
1) R32/R125/	-45.23	-20	2.977	3.121	1449.4	1533.3	6.893	2.054	2.035	44.928	56.849
R134a	-10	3.921	4.041	2197.5	2288.7	4.655	1.784	1.766	35.465	43.478	0.6597
20/40/40	0	5.359	5.443	3233.3	3317.4	3.248	1.657	1.641	26.881	31.828	0.6716
2) R502	-45.26	-20	3.27	3.51	1617.7	1763.3	5.188	2.021	1.991	29.823	38.126
	-10	4.386	4.603	2381	2536.3	3.639	1.842	1.815	23.262	28.755	0.6982
	0	6.159	6.34	3413.1	3557.5	2.627	1.805	1.782	17.261	20.569	0.7187
3) R125/R143a/	-46.56	-20	3.064	3.423	1596.8	1823	5.36	1.919	1.878	33.544	43.548
R134a	-10	4.14	4.479	2387.6	2636.8	3.741	1.734	1.699	26.153	32.847	0.6309
44/52/4	0	5.846	6.15	3474.5	3718.6	2.688	1.683	1.654	19.409	23.492	0.7058
4) R125/R143a	-47.11	-20	3.069	3.45	1645.3	1892.9	5.224	1.865	1.823	32.346	42.145
50/50	-10	4.156	4.518	2454.4	2726.5	3.662	1.693	1.657	25.194	31.753	0.6624
0	5.886	6.213	3565.4	3831.9	2.641	1.651	1.621	18.662	22.661	0.7176	
5) R32/R125/	-49.41	-20	3.085	3.367	1827.8	2033.1	5.31	1.688	1.656	36.009	46.84
R143a	-10	4.143	4.4	2704.3	2926.3	3.725	1.532	1.504	28.057	35.336	0.6629
10/45/45	0	5.812	6.031	3899.6	4110.6	2.687	1.490	1.467	20.819	25.287	0.7058
6) R32/R125/	-49.41	-20	3.076	3.367	1826.5	2038.5	5.316	1.684	1.652	35.407	46.075
R143a	-10	4.134	4.4	2705.4	2935.2	3.728	1.528	1.499	27.591	34.76	0.6613
10/50/40	0	5.803	6.031	3905.2	4124.4	2.689	1.486	1.462	20.474	24.874	0.6837
7) R125/R143a/	-50.57	-20	2.963	3.359	1694.9	1968.2	5.207	1.748	1.707	33.831	44.183
R290	-10	4.013	4.39	2524.6	2825.4	3.662	1.590	1.554	26.381	33.332	0.6437
50/45/5	0	5.674	6.016	3662.2	3957.9	2.649	1.549	1.520	19.586	23.847	0.6689
8) R125/R290/	-54.27	-20	2.667	2.995	1185.3	1353.7	7.218	2.250	2.213	39.368	49.93
R134a	-10	3.543	3.853	1834.1	2028.7	4.853	1.932	1.899	31.334	38.44	0.6067
50/5/45	0	4.868	5.146	2747.3	2948.4	3.376	1.772	1.745	24.01	28.4	0.6258
9) R125/R290/	-54.27	-20	2.608	3.042	1479.5	1767.9	5.997	1.763	1.721	35.441	45.743
R134a	-10	3.536	3.956	2266.9	2595.6	4.121	1.560	1.524	27.81	34.73	0.5969
70/10/20	0	4.976	5.367	3364	3700.5	2.927	1.479	1.450	20.895	25.157	0.6228

Çizelge Ek 1.17. Sabit soğutma yükünde saf akışkanlar için termodinamik ve performans değerleri

Saf Soğutucu Akışkan	KNS (°C)	STK	HSK (kJ/m ³)	BO	STK/HSK (*10 ⁻³)	W _k (W)	OV	TT (W)
R600a	-11.61	2.224	418.175	15.445	5.318	83.183	0.427	47.65
R152a	-24.02	2.248	724.48	12.897	3.103	82.295	0.4315	46.78
R134a	-26.07	2.226	790.949	14.037	2.814	83.109	0.4273	47.6
R12	-29.75	2.25	850.395	10.811	2.646	82.222	0.4319	46.71
R22	-40.81	2.227	1361.542	9.421	1.636	83.071	0.4277	47.54
R290	-42.09	2.233	1291.277	9.273	1.729	82.848	0.4287	47.34
R502	-45.26	2.194	1508.507	9.42	1.454	84.321	0.4215	48.77
R143a	-47.22	2.182	1614.607	9.286	1.351	84.785	0.4193	49.24
R125	-48.14	2.122	1704.76	10.272	1.245	87.182	0.4081	51.61
R32	-51.65	2.192	2185.486	8.049	1.003	84.398	0.4211	48.87

Çizelge Ek 1.18. Sabit soğutma yükünde R32/R134a karışımına ait değişik kütle oranları için termodinamik ve performans değerleri

R32/R134a Karışımlı	KNS (°C)	STK	HSK (kJ/m ³)	BO	STK/HSK (*10 ⁻³)	W _k (W)	OV	TT (W)
0/100	-26.07	2.226	790.949	14.037	2.814	83.109	0.4273	47.6
10/90	-33.75	2.251	976.653	12.36	2.305	82.186	0.4321	46.68
20/80	-38.53	2.255	1137.73	11.324	1.982	82.040	0.4328	46.58
30/70	-41.83	2.249	1286.41	10.576	1.748	82.259	0.4317	46.75
40/60	-44.26	2.241	1425.31	10.004	1.572	82.552	0.4301	47.05
50/50	-46.15	2.233	1561.57	9.526	1.430	82.848	0.4288	47.32
60/40	-47.67	2.227	1695.04	9.116	1.314	83.071	0.4277	47.54
70/30	-48.92	2.218	1820.51	8.794	1.218	83.408	0.4259	47.9
80/20	-49.97	2.209	1942.53	8.513	1.137	83.748	0.4242	48.23
90/10	-50.87	2.198	2061.95	8.277	1.066	84.167	0.4223	48.61
100/0	-51.65	2.192	2185.49	8.049	1.003	84.398	0.4211	48.87

Çizelge Ek 1.19. Sabit soğutma yükünde R290/R134a karışımına ait değişik kütle oranları için termodinamik ve performans değerleri

R290/R134a Karışımı	KNS ($^{\circ}\text{C}$)	STK	HSK (kJ/m 3)	BO	STK/HSK (*10 $^{-3}$)	W _k (W)	OV	TT (W)
0/100	-26.07	2.226	790.949	14.037	2.814	83.109	0.4273	47.6
10/90	-51.39	2.229	1198.76	10.76	1.859	82.997	0.4281	47.46
20/80	-49.76	2.159	1369.38	10.036	1.577	85.688	0.4151	50.11
30/70	-48.86	2.135	1475.34	9.597	1.447	86.651	0.4105	51.09
46/54	-48.6	2.198	1604.44	8.761	1.370	84.167	0.4223	48.62
50/50	-48.6	2.195	1587.02	8.774	1.383	84.282	0.4217	48.74
60/40	-48.54	2.205	1548.12	8.751	1.424	83.900	0.4235	48.36
70/30	-48.16	2.222	1502.29	8.752	1.479	83.258	0.4267	47.73
80/20	-47.21	2.236	1444.32	8.823	1.548	82.737	0.4293	47.22
90/10	-45.34	2.237	1370.34	9.019	1.632	82.700	0.4294	47.19
100/0	-42.09	2.233	1291.28	9.273	1.729	82.848	0.4287	47.34

Çizelge Ek 1.20. Sabit soğutma yükünde R600a/R134a karışımına ait değişik kütle oranları için termodinamik ve performans değerleri

R600a/R134a Karışımı	KNS ($^{\circ}\text{C}$)	STK	HSK (kJ/m 3)	BO	STK/HSK (*10 $^{-3}$)	W _k (W)	OV	TT (W)
0/100	-26.07	2.226	790.949	14.037	2.814	83.109	0.4273	47.6
10/90	-29.1	2.222	863.063	13.122	2.575	83.258	0.4267	47.73
18/82	-29.45	2.224	876.225	12.747	2.538	83.183	0.427	47.66
30/70	-29.29	2.223	829.407	12.624	2.680	83.221	0.4269	47.69
40/60	-28.93	2.231	771.908	12.657	2.890	82.922	0.4284	47.39
50/50	-28.3	2.243	713.674	12.796	3.143	82.479	0.4305	46.98
60/40	-27.24	2.26	660.981	12.956	3.419	81.858	0.4337	46.36
70/30	-25.5	2.271	606.489	13.244	3.745	81.462	0.4358	45.97
80/20	-22.73	2.274	549.251	13.671	4.140	81.354	0.4363	45.86
90/10	-18.39	2.261	487.134	14.348	4.641	81.822	0.4339	46.31
100/0	-11.61	2.224	418.175	15.445	5.318	83.183	0.427	47.65

Çizelge Ek 1.21. Sabit soğutma yükünde R152a/R134a karışımına ait değişik kütle oranları için termodinamik ve performans değerleri

R152a/R134a Karışımlı	KNS (°C)	STK	HSK (kJ/m ³)	BO	STK/HSK (*10 ⁻³)	W _k (W)	OV	TT (W)
0/100	-26.07	2.226	790.949	14.037	2.814	83.109	0.4273	47.6
10/90	-25.64	2.233	777.882	13.857	2.871	82.848	0.4287	47.33
20/80	-25.27	2.235	764.299	13.756	2.924	82.774	0.429	47.27
30/70	-24.97	2.237	754.128	13.641	2.966	82.700	0.4294	47.19
40/60	-24.72	2.239	745.191	13.546	3.005	82.626	0.4297	47.16
50/50	-24.52	2.24	739.054	13.424	3.031	82.589	0.43	47.07
60/40	-24.36	2.243	735.032	13.299	3.052	82.479	0.4306	46.96
70/30	-24.23	2.245	730.838	13.193	3.072	82.405	0.4308	46.91
80/20	-24.14	2.245	727.279	13.108	3.087	82.405	0.4309	46.91
90/10	-24.07	2.246	725.156	13.01	3.097	82.369	0.4311	46.87
100/0	-24.02	2.248	724.48	12.897	3.103	82.295	0.4315	46.78

Çizelge Ek 1.22. Sabit soğutma yükünde R125/R143a karışımına ait değişik kütle oranları için termodinamik ve performans değerleri

R125/R143a Karışımlı	KNS (°C)	STK	HSK (kJ/m ³)	BO	STK/HSK (*10 ⁻³)	W _k (W)	OV	TT (W)
0/100	-47.22	2.182	1614.61	9.286	1.351	84.785	0.4193	49.24
10/90	-47.15	2.18	1616.06	9.361	1.349	84.862	0.4189	49.31
20/80	-47.1	2.177	1617.22	9.444	1.346	84.979	0.4184	49.42
30/70	-47.07	2.173	1619.9	9.537	1.341	85.136	0.4177	49.57
40/60	-47.07	2.17	1625.01	9.625	1.335	85.253	0.417	49.7
50/50	-47.11	2.164	1628.83	9.731	1.329	85.490	0.4159	49.94
60/40	-47.19	2.157	1635.53	9.788	1.319	85.767	0.4146	50.22
70/30	-47.32	2.15	1646.72	9.889	1.306	86.047	0.4134	50.47
80/20	-47.52	2.144	1664.62	10.034	1.288	86.287	0.4123	50.71
90/10	-47.79	2.133	1681.88	10.158	1.268	86.732	0.4103	51.14
100/0	-48.14	2.122	1704.76	10.272	1.245	87.182	0.4081	51.61

Çizelge Ek 1.23. Sabit soğutma yükünde R32/R125 karışımına ait değişik kütle oranları için termodinamik ve performans değerleri

R32/R125 Karışımlı	KNS (°C)	STK	HSK (kJ/m ³)	BO	STK/HSK (*10 ⁻³)	W _k (W)	OV	TT (W)
0/100	-48.14	2.122	1704.76	10.272	1.245	87.182	0.4081	51.61
10/90	-49.63	2.146	1834.792	9.725	1.17	86.207	0.4126	50.64
20/80	-50.51	2.163	1931.279	9.332	1.12	85.529	0.4157	49.98
30/70	-51.05	2.176	2004.865	9.022	1.085	85.018	0.4182	49.46
40/60	-51.39	2.182	2056.164	8.806	1.061	84.785	0.4193	49.23
50/50	-51.6	2.187	2094.687	8.624	1.044	84.591	0.4202	49.05
60/40	-51.71	2.192	2127.592	8.459	1.03	84.398	0.4211	48.86
70/30	-51.76	2.193	2149.144	8.334	1.02	84.359	0.4214	48.81
80/20	-51.76	2.195	2166.052	8.218	1.013	84.282	0.4216	48.76
90/10	-51.73	2.194	2177.548	8.128	1.008	84.321	0.4214	48.8
100/0	-51.65	2.192	2185.486	8.049	1.003	84.398	0.4211	48.87

Çizelge Ek 1.24. Sabit soğutma yükünde R125/R143a/R134a karışımına ait değişik kütle oranları için termodinamik ve performans değerleri

R125/R143a/R134a Karışımlı	KNS (°C)	STK	HSK (kJ/m ³)	BO	STK/HSK (*10 ⁻³)	W _k (W)	OV	TT (W)
15/81/4	-46.63	2.181	1578.3	9.534	1.382	84.823	0.4191	49.27
25/71/4	-46.58	2.177	1579.6	9.631	1.378	84.979	0.4184	49.41
35/61/4	-46.56	2.173	1579.76	9.734	1.376	85.136	0.4175	49.6
45/51/4	-46.57	2.167	1584.99	9.824	1.367	85.371	0.4164	49.74
55/41/4	-46.62	2.162	1590.1	9.945	1.360	85.569	0.4157	49.99
65/31/4	-46.73	2.156	1598.65	10.057	1.349	85.807	0.4145	50.24
75/21/4	-46.9	2.148	1609.12	10.172	1.335	86.127	0.413	50.56
15/75/10	-45.87	2.186	1522.77	9.732	1.436	84.629	0.42	49.1
25/65/10	-45.8	2.179	1519.41	9.86	1.434	84.901	0.4188	49.34
35/55/10	-45.76	2.176	1520.05	9.963	1.432	85.018	0.4181	49.48
45/45/10	-45.76	2.171	1523.34	10.071	1.425	85.214	0.4174	49.64
55/35/10	-45.81	2.166	1529.1	10.189	1.417	85.411	0.4164	49.85
65/25/10	-45.92	2.16	1535.15	10.309	1.407	85.648	0.4151	50.1
75/15/10	-46.1	2.154	1549.64	10.415	1.390	85.887	0.4141	50.31
15/70/15	-45.2	2.186	1474.03	9.9291	1.483	84.629	0.4201	49.07
25/60/15	-45.11	2.185	1475.53	10.017	1.481	84.668	0.4199	49.11
35/50/15	-45.06	2.181	1475.29	10.139	1.478	84.823	0.4191	49.28
45/40/15	-45.06	2.175	1476.41	10.265	1.473	85.057	0.4181	49.49
55/30/15	-45.1	2.171	1480.7	10.384	1.466	85.214	0.4172	49.67
65/20/15	-45.22	2.165	1486.61	10.51	1.456	85.450	0.4161	49.91
75/10/15	-45.41	2.156	1496.07	10.655	1.441	85.807	0.4145	50.24

Çizelge Ek 1.25. Sabit soğutma yükünde R125/R143a/R290 karışımına ait değişik kütle oranları için termodinamik ve performans değerleri

R125/R143a/R290 Karışımlı	KNS ($^{\circ}\text{C}$)	STK	HSK (kJ/m 3)	BO	STK/HSK (*10 $^{-3}$)	W _k (W)	OV	TT (W)
10/85/5	-48.87	2.176	1677.8	9.118	1.297	85.018	0.4181	49.47
20/75/5	-49.16	2.172	1690.48	9.159	1.285	85.175	0.4175	49.61
30/65/5	-49.54	2.168	1705.74	9.198	1.271	85.332	0.4168	49.76
40/55/5	-50	2.16	1720.84	9.259	1.255	85.648	0.4153	50.07
50/45/5	-50.57	2.155	1743.54	9.243	1.236	85.847	0.4142	50.3
60/35/5	-51.25	2.149	1772.66	9.312	1.212	86.087	0.4132	50.51
70/25/5	-52.07	2.138	1801.61	9.36	1.187	86.529	0.4112	50.94
10/80/10	-49.73	2.173	1715.7	8.947	1.267	85.136	0.4177	49.56
20/70/10	-50.18	2.167	1733.77	8.978	1.250	85.371	0.4165	49.82
30/60/10	-50.71	2.163	1759.91	8.981	1.229	85.529	0.4157	49.98
40/50/10	-51.33	2.156	1787.61	8.989	1.206	85.807	0.4145	50.24
50/40/10	-52.05	2.146	1817.71	9.01	1.181	86.207	0.4126	50.63
60/30/10	-52.87	2.133	1857.38	9.046	1.148	86.732	0.4102	51.15
70/20/10	-53.79	2.121	1899.56	9.042	1.117	87.223	0.408	51.63
10/75/15	-50.17	2.173	1739.17	8.828	1.249	85.136	0.4176	49.58
20/65/15	-50.71	2.166	1761.66	8.841	1.230	85.411	0.4162	49.87
30/55/15	-51.34	2.162	1796.57	8.815	1.203	85.569	0.4156	50.01
40/45/15	-52.04	2.156	1830.64	8.788	1.178	85.807	0.4145	50.25
50/35/15	-52.82	2.141	1868.29	8.82	1.146	86.408	0.4117	50.83
60/25/15	-53.68	2.132	1914.97	8.778	1.113	86.773	0.4101	51.18
70/15/15	-54.6	2.118	1966.14	8.757	1.077	87.347	0.4074	51.76

Çizelge Ek 1.26. Sabit soğutma yükünde R32/R125/R143a karışımına ait değişik kütle oranları için termodinamik ve performans değerleri

R32/R125/R143a Karışımlı	KNS ($^{\circ}\text{C}$)	STK	HSK (kJ/m 3)	BO	STK/HSK (*10 $^{-3}$)	W _k (W)	OV	TT (W)
10/10/80	-49.52	2.184	1756.24	8.959	1.244	84.707	0.4197	49.15
10/20/70	-49.48	2.181	1759.35	9.04	1.240	84.823	0.4191	49.27
10/30/60	-49.44	2.178	1763.51	9.123	1.235	84.940	0.4185	49.4
10/40/50	-49.42	2.173	1769.2	9.217	1.228	85.136	0.4177	49.57
10/50/40	-49.41	2.169	1777.01	9.309	1.221	85.293	0.4169	49.74
10/60/30	-49.42	2.164	1785.6	9.409	1.212	85.490	0.4159	49.94
10/70/20	-49.46	2.16	1801.11	9.496	1.199	85.648	0.4152	50.08
20/10/70	-50.79	2.189	1867.87	8.671	1.172	84.513	0.4206	48.97
20/20/60	-50.73	2.184	1869.73	8.768	1.168	84.707	0.4196	49.17
20/30/50	-50.68	2.18	1875.2	8.854	1.163	84.862	0.419	49.3
20/40/40	-50.63	2.179	1885.04	8.929	1.156	84.901	0.4187	49.36
20/50/30	-50.58	2.174	1891.08	9.031	1.150	85.097	0.4178	49.55
20/60/20	-50.54	2.171	1903.95	9.122	1.140	85.214	0.4173	49.66
20/70/10	-50.52	2.167	1915.44	9.219	1.131	85.371	0.4166	49.8
30/10/60	-51.51	2.188	1953.71	8.509	1.120	84.552	0.4204	49.01
30/20/50	-51.43	2.187	1958.82	8.578	1.116	84.591	0.4202	49.06
30/30/40	-51.36	2.185	1965.86	8.654	1.111	84.668	0.4198	49.12
30/40/30	-51.28	2.183	1972.55	8.74	1.107	84.746	0.4194	49.21

Çizelge Ek 1.26. (Devam)

30/50/20	-51.2	2.179	1980.73	8.839	1.100	84.901	0.4188	49.34
30/60/10	-51.13	2.177	1989.79	8.933	1.094	84.979	0.4183	49.43

Çizelge Ek 1.27. Sabit soğutma yükünde R32/R125/R134a karışımına ait değişik kütle oranları için termodinamik ve performans değerleri

R32/R125/R134a Karışımlı	KNS (°C)	STK	HSK (kJ/m ³)	BO	STK/HSK (*10 ⁻³)	W _k (W)	OV	TT (W)
5/5/90	-31.78	2.246	923.413	12.831	2.432	82.369	0.4311	46.87
15/5/80	-37.44	2.251	1093.48	11.643	2.059	82.186	0.4321	46.68
25/5/70	-41.18	2.248	1249.39	10.805	1.799	82.295	0.4314	46.8
35/5/60	-43.87	2.239	1395.11	10.181	1.605	82.626	0.4299	47.1
45/5/50	-45.91	2.233	1537.89	9.654	1.452	82.848	0.4288	47.31
55/5/40	-47.53	2.225	1672.94	9.235	1.330	83.146	0.4273	47.62
65/5/30	-48.85	2.215	1801.38	8.896	1.230	83.521	0.4254	48
75/5/20	-49.95	2.208	1930.92	8.587	1.143	83.786	0.424	48.27
5/10/85	-33.08	2.242	954.288	12.661	2.349	82.516	0.4316	47
15/10/75	-38.45	2.248	1129.9	11.493	1.990	82.295	0.4309	46.78
25/10/65	-42.01	2.243	1287.99	10.689	1.741	82.479	0.4306	46.96
35/10/55	-44.59	2.237	1438.75	10.061	1.555	82.700	0.4299	47.19
45/10/45	-46.55	2.229	1582.61	9.558	1.408	82.997	0.4294	47.46
55/10/35	-48.1	2.22	1716.73	9.157	1.293	83.333	0.4286	47.82
65/10/25	-49.37	2.212	1851.92	8.807	1.194	83.635	0.4249	48.1
75/10/15	-50.43	2.203	1981.66	8.519	1.112	83.976	0.4233	48.43
5/15/80	-34.32	2.242	992.388	12.45	2.259	82.516	0.4304	47
15/15/70	-39.42	2.244	1167.59	11.35	1.922	82.442	0.4308	46.92
25/15/60	-42.82	2.238	1326.98	10.575	1.687	82.663	0.4297	47.14
35/15/50	-45.28	2.231	1479.33	9.968	1.508	82.922	0.4283	47.41
45/15/40	-47.16	2.223	1625.49	9.478	1.368	83.221	0.4269	47.69
55/15/30	-48.65	2.216	1767.56	9.07	1.254	83.484	0.4255	47.96
65/15/20	-49.87	2.208	1904.05	8.727	1.160	83.786	0.4241	48.25
75/15/10	-50.89	2.2	2037.73	8.433	1.080	84.091	0.4227	48.53

Çizelge Ek 1.28. Sabit soğutma yükünde R125/R290/R134a karışımına ait değişik kütle oranları için termodinamik ve performans değerleri

R125/R290/R134a Karışımlı	KNS (°C)	STK	HSK (kJ/m ³)	BO	STK/HSK (*10 ⁻³)	W _k (W)	OV	TT (W)
10/5/85	-49.85	2.232	1090.97	11.606	2.046	82.885	0.4285	47.37
20/5/75	-49.98	2.223	1160.22	11.336	1.916	83.221	0.4269	47.7
30/5/65	-50.29	2.209	1230.14	11.103	1.796	83.748	0.4244	48.2
40/5/55	-50.73	2.196	1310.23	10.859	1.676	84.244	0.4219	48.7
50/5/45	-51.28	2.18	1394.65	10.627	1.563	84.862	0.419	49.3
60/5/35	-51.93	2.162	1486.39	10.399	1.455	85.569	0.4157	49.99
70/5/25	-52.66	2.146	1590.33	10.14	1.349	86.207	0.4127	50.62
10/10/80	-51.41	2.215	1258.17	10.614	1.760	83.521	0.4253	48.01
20/10/70	-51.59	2.198	1320.7	10.472	1.664	84.167	0.4222	48.63

Çizelge Ek 1.28.(Devam)

30/10/60	-51.91	2.177	1383.93	10.355	1.573	84.979	0.4184	49.42
40/10/50	-52.36	2.158	1457.47	10.205	1.481	85.728	0.415	50.14
50/10/40	-52.91	2.149	1552.77	9.961	1.384	86.087	0.4132	50.52
60/10/30	-53.55	2.128	1640.78	9.799	1.297	86.936	0.4094	51.34
70/10/20	-54.27	2.117	1753.45	9.543	1.207	87.388	0.4072	51.81
10/15/75	-50.86	2.17	1347.1	10.257	1.611	85.253	0.417	49.71
20/15/65	-51.27	2.164	1423.39	10.05	1.520	85.49	0.4159	49.94
30/15/55	-51.78	2.145	1486.56	9.95	1.443	86.247	0.4124	50.68
40/15/45	-52.39	2.137	1574.04	9.738	1.358	86.57	0.411	50.99
50/15/35	-53.1	2.129	1668.81	9.519	1.276	86.895	0.4095	51.32
60/15/25	-53.87	2.113	1762.37	9.35	1.199	87.553	0.4066	51.95
70/15/15	-54.72	2.106	1878.47	9.096	1.121	87.844	0.4053	52.24

Çizelge Ek 1.29. Sabit soğutma yükünde R32/R125/R290/R134a karışımına ait değişik kütle oranları için termodinamik ve performans değerleri

R32/R125/R290/R134a Karışımları	KNS ($^{\circ}\text{C}$)	STK	HSK (kJ/m 3)	BO	STK/HSK (*10 $^{-3}$)	W _k (W)	OV	TT (W)
1) 10/65/5/20	-55.17	2.155	1770.046	9.519	1.217	85.847	0.4142	50.3
2) 20/55/5/20	-56.56	2.192	1598.785	9.822	1.371	84.398	0.4212	48.84
3) 30/45/5/20	-57.55	2.181	1942.396	8.846	1.123	84.823	0.4192	49.26
4) 40/35/5/20	-58.32	2.191	2005.679	8.608	1.092	84.436	0.421	48.88
5) 50/25/5/20	-58.96	2.201	2052.036	8.403	1.073	84.053	0.4228	48.52
6) 60/15/5/20	-59.5	2.205	2091.102	8.252	1.054	83.900	0.4236	48.35
7) 10/55/5/30	-54.6	2.17	1657.994	9.741	1.309	85.253	0.4171	49.69
8) 30/55/5/10	-57.94	2.174	2075.966	8.619	1.047	85.097	0.4179	49.52
9) 20/25/5/50	-55.45	2.201	1686.826	9.795	1.305	84.053	0.4229	48.5
10) 20/35/5/40	-55.75	2.193	1645.144	9.566	1.333	84.359	0.4213	48.83
11) 20/45/5/30	-56.12	2.181	1752.218	9.359	1.245	84.823	0.4191	49.27
12) 20/65/5/10	-57.05	2.16	1999.059	8.9	1.081	85.648	0.4152	50.1

Çizelge Ek 1.30. Sabit soğutma yükünde R12 ve alternatif karışımıları için termodinamik ve performans değerleri

R12 ve Alternatifleri	KNS (°C)	STK	HSK (kJ/m ³)	BO	STK/HSK (*10 ⁻³)	W _k (W)	OV	TT (W)
1)R152a/R134a 14/86	-25.49	2.234	772.50	13.815	2.892	82.811	0.4289	47.3
2)R600a/R134a 18/82	-29.45	2.224	876.23	12.747	2.538	83.183	0.427	47.66
3)R12	-29.75	2.25	850.40	10.811	2.646	82.222	0.4319	46.71
4)R290/R600a 40/60	-29.98	2.273	724.37	11.711	3.138	81.390	0.4362	45.89
5)R290/R600a 43/57	-30.87	2.269	745.32	11.583	3.044	81.534	0.4353	46.05
6)R290/R600a 48/52	-32.27	2.267	785.36	11.322	2.887	81.606	0.4349	46.12
7)R290/R600a 50/50	-32.79	2.266	802.43	11.21	2.824	81.642	0.4349	46.13
8)R290/R600a 56/44	-34.28	2.26	850.70	10.947	2.657	81.858	0.4338	46.34
9)R290/R600a 60/40	-35.2	2.259	885.72	10.753	2.550	81.895	0.4336	46.38
10)R290/R600a 70/30	-37.27	2.251	974.64	10.346	2.310	82.186	0.4321	46.67
11)R290/R600a 80/20	-39.08	2.243	1069.58	9.978	2.097	82.479	0.4305	46.98
12)R290/R600a 90/10	-40.67	2.237	1174.21	9.617	1.905	82.700	0.4294	47.19
13)R290/R134a 5/95	-49.91	2.241	1028.58	11.86	2.179	82.552	0.4303	47.03

Çizelge Ek 1.31. Sabit soğutma yükünde R22 ve alternatif karışımıları için termodinamik ve performans değerleri

R22 ve Alternatifleri	KNS (°C)	STK	HSK (kJ/m ³)	BO	STK/HSK (*10 ⁻³)	W _k (W)	OV	TT (W)
1) R32/R134a 25/75	-40.31	2.253	1213.43	10.915	1.857	82.113	0.4324	46.62
2) R22	-40.81	2.227	1361.54	9.421	1.636	83.071	0.4277	47.54
3) R32/R134a 30/70	-41.83	2.249	1286.41	10.576	1.748	82.259	0.4317	46.75
4) R32/R125/R134a 30/10/60	-43.39	2.239	1362.51	10.37	1.643	82.626	0.4299	47.13
5) R32/R125/R134a 10/70/20	-46.8	2.175	1576.48	10.318	1.380	85.057	0.418	49.51
6) R290/R134a 46/54	-48.6	2.198	1604.44	8.761	1.370	84.167	0.4223	48.62
7) R32/R125 50/50	-51.6	2.187	2094.69	8.624	1.044	84.591	0.4202	49.05
8) R32/R125/R290/R134a 20/55/5/20	-56.56	2.192	1598.79	9.822	1.371	84.398	0.4212	48.84

Çizelge Ek 1.32. Sabit soğutma yükünde R502 ve alternatif karışımıları için termodinamik ve performans değerleri

R502 ve Alternatifleri	KNS (°C)	STK	HSK (kJ/m ³)	BO	STK/HSK (*10 ⁻³)	W _k (W)	OV	TT (W)
1)R32/R125/R134a 20/40/40	-45.23	2.214	1463.28	10.328	1.513	83.559	0.4253	48.02
2)R502	-45.26	2.194	1508.51	9.42	1.454	84.321	0.4215	48.77
3)R125/R143a/R134a 44/52/4	-46.56	2.167	1635.89	9.824	1.325	85.371	0.4164	49.74
4)R125/R143a 50/50	-47.11	2.164	1628.83	9.731	1.329	85.490	0.4159	49.94
5)R32/R125/R143a 10/45/45	-49.41	2.172	1773.17	9.256	1.225	85.175	0.4174	49.62
6)R32/R125/R143a 10/50/40	-49.41	2.169	1777.01	9.309	1.221	85.293	0.4169	49.74
7)R125/R143a/R290 50/45/5	-50.57	2.155	1743.54	9.243	1.236	85.847	0.4142	50.3
8)R125/R290/R134a 50/5/45	-51.28	2.18	1394.65	10.627	1.563	84.862	0.419	49.3
9)R125/R290/R134a 70/10/20	-54.27	2.117	1753.45	9.543	1.207	87.388	0.4072	51.81

ÖZGEÇMİŞ

1971 yılında Beypazarı'nda doğdu. İlk ve orta öğrenimini Ankara'da tamamladı. 1992 yılında İTÜ Sakarya Mühendislik Fakültesi Makine Mühendisliği bölümünü bitirdi. Bir yıl kadar proje mühendisi olarak çalıştı. 1994 yılında Kırıkkale Üniversitesi Mühendislik Fakültesi'ne araştırma görevlisi olarak başladı. 1994-1997 yıllarında Kırıkkale Üniversitesi Fen Bilimleri Enstitüsü'nde yüksek lisansını tamamladı. 1997 yılında aynı enstitüde doktora çalışmasına başladı. Halen Kırıkkale Üniversitesi'nde araştırma görevlisi olarak çalışmaktadır. Evli ve üç çocuk babasıdır.

*TC YÜKSEK ÖĞRETİM KURULU
DOKÜmantasyon MERKEZİ*